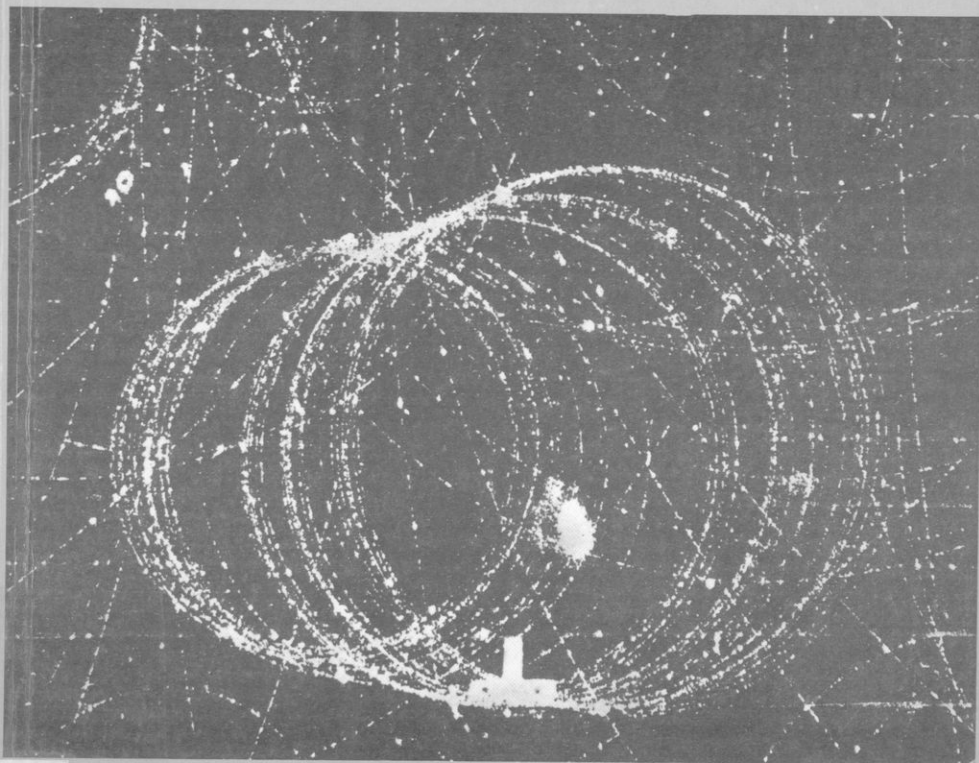


ΑΛΚΙΝΟΟΥ Ε. ΜΑΖΗ

ΦΥΣΙΚΗ

Γ' ΛΥΚΕΙΟΥ
ΥΛΗ ΕΠΙΛΟΓΗΣ



ΟΡΓΑΝΙΣΜΟΣ ΕΚΔΟΣΕΩΣ ΔΙΔΑΚΤΙΚΩΝ ΒΙΒΛΙΩΝ ΑΘΗΝΑ 1982

Ψηφιοποιήθηκε από το Ινστιτούτο Εκπαιδευτικής Πολιτικής

19472

ΦΥΣΙΚΗ

Με απόφαση τῆς Ἑλληνικῆς Κυβερνήσεως τὰ
διδασκτικά βιβλία τοῦ Δημοτικοῦ, Γυμνασίου
καὶ Λυκείου τυπώνονται ἀπὸ τὸν Ὄργανισμό
Ἐκδόσεως Διδακτικῶν Βιβλίων καὶ μοιράζον-
ται ΔΩΡΕΑΝ.

ΦΥΣΙΚΗ

Με απόφαση της Ελληνικής Κυβερνήσεως τα
διδασκικά βιβλία του Δημοτικού Γυμνασίου
και Λυκείου τοποθετούνται από τον Οργανισμό
Έκδοσης Διδακτικών Βιβλίων και μοιράζον-
ται ΔΩΡΕΑΝ.

ΑΛΚΙΝΟΟΥ Ε. ΜΑΖΗ

ΦΥΣΙΚΗ

Γ' ΛΥΚΕΙΟΥ

ΥΛΗ ΕΠΙΛΟΓΗΣ



ΟΡΓΑΝΙΣΜΟΣ ΕΚΔΟΣΕΩΣ ΔΙΔΑΚΤΙΚΩΝ ΒΙΒΛΙΩΝ

ΑΘΗΝΑ 1982

A. KINODY E. MASH

ΦΥΣΙΚΗ

Γ. ΛΥΚΕΙΟΥ

ΥΠΗΡΕΣΙΑ

ΟΡΓΑΝΙΣΜΟΣ ΕΚΔΟΣΕΩΝ ΔΙΔΑΚΤΙΚΩΝ ΒΙΒΛΙΩΝ

ΑΘΗΝΑ 1982

Ταλαντώσεις – Κύματα

1. Φυσικό έκκρεμές

Όνομάζουμε *φυσικό έκκρεμές* ένα στερεό σῶμα πού μπορεί νά στρέφεται γύρω ἀπό ὀριζόντιο ἄξονα O πού δέν περνάει ἀπό τό κέντρο βάρους K τοῦ σώματος (σχ. 1).

α. Ἡ κίνηση τοῦ φυσικοῦ έκκρεμοῦς. Ὄταν τό φυσικό έκκρεμές τό ἀπομακρύνουμε ἀπό τή θέση τῆς ἰσορροπίας του καί ἔπειτα τό ἀφήσουμε ἐλεύθερο, τότε τό έκκρεμές ἐκτελεῖ *στροφική ταλάντωση* γύρω ἀπό τόν ὀριζόντιο ἄξονα O (σχ. 1). Ἡ ροπή ἀδράνειας τοῦ σώματος ὡς πρὸς τόν ἄξονα O εἶναι Θ καί ἡ ἀπόσταση τοῦ κέντρου βάρους K ἀπό τόν ἄξονα περιστροφῆς εἶναι $OK = \delta$. Πάνω στό σῶμα ἐνεργεῖ τό βῆρος τοῦ σώματος $B = m \cdot g$ καί ἡ ἀντίδραση τοῦ ἄξονα ($F_{\alpha\zeta}$). Τό σῶμα ἐκτελεῖ στροφική κίνηση καί ἰσχύει ἡ θεμελιώδης ἐξίσωση τῆς στροφικῆς κινήσεως :

$$M = \Theta \cdot \alpha \quad (1)$$

ὅπου α εἶναι ἡ στιγμιαία γωνιακή ἐπιτάχυνση καί M ἡ συνισταμένη τῶν ροπῶν τῶν δυνάμεων, πού ἐνεργοῦν στό σῶμα, ὡς πρὸς τόν ἄξονα περιστροφῆς. Ἡ ροπή τῆς ἀντίδράσεως τοῦ ἄξονα ($F_{\alpha\zeta}$) εἶναι ἴση μέ μηδέν. Ἔτσι πάνω στό σῶμα ἐνεργεῖ μόνο ἡ ροπή τοῦ βάρους (M) τοῦ σώματος, ἡ ὁποία εἶναι μιὰ ροπή ἑπαναφορᾶς πού σέ κάθε στιγμή τείνει νά ἐπαναφέρει τό σῶμα στή θέση ἰσορροπίας καί κατ' ἀπόλυτη τιμή ἔχει μέτρο :

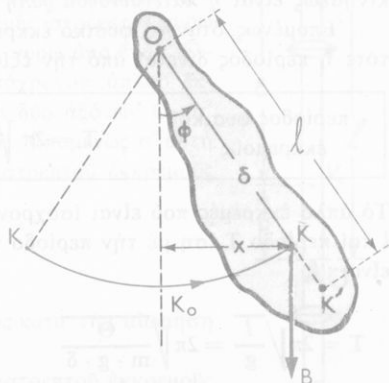
$$M = B \cdot x$$

$$\text{ἢ } M = m \cdot g \cdot \delta \cdot \eta\mu\phi \quad (2)$$

Θεωροῦμε ὅτι τό φυσικό έκκρεμές ἐκτελεῖ *αἰωρήσεις μικροῦ πλάτους*. Τότε κατὰ μεγάλη προσέγγιση τό $\eta\mu\phi$ εἶναι ἴσο μέ ϕ (rad) καί ἐπομένως ἡ ἐξίσωση (2) γράφεται :

$$M = m \cdot g \cdot \delta \cdot \phi \quad (3)$$

Ἡ ἐξίσωση (3) δείχνει ὅτι



Σχ. 1. Στροφική ταλάντωση τοῦ φυσικοῦ έκκρεμοῦς.

Ἡ ἀπόλυτη τιμὴ τῆς ροπῆς ἐπαναφορᾶς M εἶναι ἀνάλογη μὲ τὴ γωνιακὴ ἀπομάκρυνση φ .

Ἐπομένως, ὅταν τὸ πλάτος αἰωρήσεως τοῦ φυσικοῦ ἔκκρεμοῦς εἶναι μικρό, ἡ κίνηση τοῦ φυσικοῦ ἔκκρεμοῦς κατὰ μεγάλην προσέγγιση εἶναι ἁρμονικὴ στροφικὴ ταλάντωση.

Ἡ ἐξίσωση (3) γράφεται

$$M = D \cdot \varphi \quad (4)$$

ὅπου $D = m \cdot g \cdot \delta$. Τὸ μέγεθος D ὀνομάζεται *κατευθύνουσα ροπή* τῆς στροφικῆς ταλάντωσης.

β. Περίοδος τοῦ φυσικοῦ ἔκκρεμοῦς. Στὴν *εὐθύγραμμη ἁρμονικὴ ταλάντωση* ἡ δύναμη ἐπαναφορᾶς κατ' ἀπόλυτη τιμὴ δίνεται ἀπὸ τὴν ἐξίσωση :

$$F = f \cdot x$$

ὅπου $f = F/x$ εἶναι μιὰ σταθερὴ τῆς κινήσεως (*κατευθύνουσα δύναμη*) καὶ x εἶναι ἡ γραμμικὴ ἀπομάκρυνση.

Ἡ περίοδος T τῆς ἁρμονικῆς ταλάντωσης δίνεται ἀπὸ τὴν ἐξίσωση :

$$T = 2\pi \sqrt{\frac{m}{f}}$$

ὅπου m εἶναι ἡ μάζα τοῦ σώματος.

Στὴ στροφικὴ κίνηση τοῦ στερεοῦ σώματος ἀντὶ γιὰ τὴ μάζα m ἔχουμε τὴ *ροπή ἀδράνειας* Θ τοῦ σώματος ὡς πρὸς τὸν ἄξονα περιστροφῆς.

Στὴ *στροφικὴ ἁρμονικὴ ταλάντωση* στερεοῦ σώματος ἡ σταθερὴ τῆς κινήσεως εἶναι ἡ *κατευθύνουσα ροπή* $D = M/\varphi$.

Ἐπομένως, ὅταν τὸ φυσικὸ ἔκκρεμὸς ἐκτελεῖ *αἰωρήσεις μικροῦ πλάτους* τότε ἡ περίοδος δίνεται ἀπὸ τὴν ἐξίσωση :

περίοδος φυσικοῦ ἔκκρεμοῦς	$T = 2\pi \sqrt{\frac{\Theta}{D}} \quad \text{ἢ} \quad T = 2\pi \sqrt{\frac{\Theta}{m \cdot g \cdot \delta}}$	(5)
----------------------------	---	-----

Τὸ ἀπλό ἔκκρεμὸς πού εἶναι ἰσόχρονο μὲ τὸ φυσικὸ ἔκκρεμὸς ἔχει μῆκος l καὶ περίοδο T ἴση μὲ τὴν περίοδο τοῦ φυσικοῦ ἔκκρεμοῦς καὶ ἔπομένως εἶναι :

$$T = 2\pi \sqrt{\frac{l}{g}} = 2\pi \sqrt{\frac{\Theta}{m \cdot g \cdot \delta}} \quad \text{ἄρα} \quad l = \frac{\Theta}{m \cdot \delta} \quad (6)$$

γ. Κέντρο αἰωρήσεως. Ἡ ἐξίσωση (6) φανερώνει ὅτι μπορούμε νὰ θεωρήσουμε ὅτι ἡ μάζα m τοῦ φυσικοῦ ἔκκρεμοῦς εἶναι συγκεντρωμένη σέ

ένα σημείο K' , πού η απόστασή του από τον άξονα περιστροφής O είναι ίση με $OK' = l = \frac{\Theta}{m \cdot \delta}$

Τό σημείο K' ονομάζεται *κέντρο αιώρησης* του φυσικού έκκρεμους.

Τό κέντρο αιώρησης K' έχει τήν εξής ιδιότητα: "Αν θεωρήσουμε ότι η μάζα m του φυσικού έκκρεμους είναι συγκεντρωμένη στό σημείο O και τό φυσικό έκκρεμές αιωρείται γύρω από όριζόντιο άξονα O' πού περνάει από τό κέντρο αιώρησης K' , τότε η περίοδος T του φυσικού έκκρεμους διατηρείται *αμετάβλητη* και τό σημείο O γίνεται τό νέο κέντρο αιώρησης του φυσικού έκκρεμους. "Ωστε :

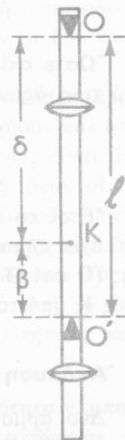
Στό φυσικό έκκρεμές τό σημείο (O) τής στηρίξεως του έκκρεμους πάνω στον άξονα περιστροφής και τό κέντρο αιώρησης (K') του έκκρεμους μπορούν νά ανταλλάξουν τό ρόλο τους χωρίς νά μεταβληθεί η περίοδος (T) του έκκρεμους.

δ. 'Αντιστρεπτό έκκρεμές. 'Εφαρμογή τής παραπάνω ιδιότητας του φυσικού έκκρεμους είναι τό *αντιστρεπτό έκκρεμές*. Αυτό είναι ένα φυσικό έκκρεμές πού μπορεί νά στρέφεται είτε γύρω από τον όριζόντιο άξονα O , είτε γύρω από έναν άλλο όριζόντιο άξονα O' (σχ. 2). Κατά μήκος τής ράβδου του έκκρεμους μπορούμε νά μετακινούμε όρισμένες μάζες και έτσι μεταβάλλουμε τήν απόσταση του κέντρου βάρους K από τον άξονα περιστροφής O . Μετακινώντας κατάλληλα αυτές τις μάζες πετυχαίνουμε, ώστε η περίοδος T του έκκρεμους νά είναι η ίδια και όταν τό έκκρεμές στρέφεται γύρω από τον άξονα O και όταν στρέφεται γύρω από έναν άλλο άξονα O' . Τότε τό μήκος l του ισόχρονου άπλου έκκρεμους είναι ίσο με τήν απόσταση των δύο άξόνων O και O' . 'Η απόσταση αυτή είναι σταθερή. 'Επομένως σ' αυτή τήν περίπτωση η περίοδος του αντιστρεπτού έκκρεμους είναι :

$$T = 2\pi \sqrt{\frac{l}{g}}$$

δπου $l = OO'$ και T η κοινή περίοδος κατά τήν αιώρηση γύρω από τούς άξονες O και O' .

'Η παραπάνω ιδιότητα του αντιστρεπτού έκκρεμους εξηγείται ως εξής: "Αν Θ_x είναι η ροπή αδράνειας του έκκρεμους ως προς όριζόντιο άξονα πού περνάει από τό



Σχ. 2. 'Αντιστρεπτό έκκρεμές.

κέντρο βάρους K , τότε η ροπή αδράνειας ως προς τον άξονα O είναι :

$$\Theta = \Theta_x + m\delta^2$$

Επομένως το μήκος l του ισόχρονου άπλου έκκρεμοϋς είναι :

$$l = \frac{\Theta}{m\delta} = \frac{\Theta_x + m\delta^2}{m\delta} \quad \text{καί} \quad l = \frac{\Theta_x}{m\delta} + \delta \quad (8)$$

Όταν τό έκκρεμές αίωρείται γύρω από τόν άξονα O' , τότε ή απόσταση του κέντρου βάρους K από τόν καινούριο άξονα O' είναι :

$$\beta = O'K = l - \delta$$

Τό μήκος l' του καινούριου ισόχρονου άπλου έκκρεμοϋς είναι :

$$l' = \frac{\Theta'}{m\beta} = \frac{\Theta_x + m\beta^2}{m\beta} = \frac{\Theta_x}{m\beta} + \beta$$

$$\eta \quad l' = \frac{\Theta_x}{m(l-\delta)} + (l-\delta) \quad (9)$$

Από τήν εξίσωση (8) έχουμε : $l - \delta = \frac{\Theta_x}{m\delta}$ (10)

Αν στην εξίσωση (9) βάλουμε τήν τιμή του $(l - \delta)$ από τήν εξίσωση (10), βρίσκουμε :

$$l' = \frac{\Theta_x}{m\delta} + \delta \quad \text{άρα} \quad l' = l$$

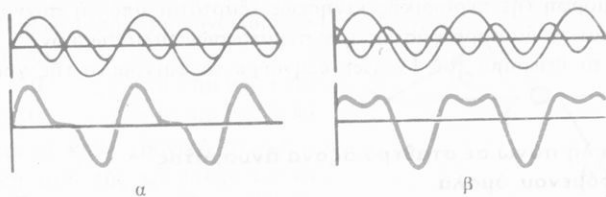
Ωστε στις δύο περιπτώσεις αίωρήσεως του φυσικού έκκρεμοϋς (γύρω από τούς άξονες O και O') ή περίοδος είναι ή ίδια :

$$T = 2\pi \sqrt{\frac{l}{g}} = 2\pi \sqrt{\frac{l'}{g}}$$

Έτσι τό αντίστροφο έκκρεμές είναι *ισόχρονο* μέ ένα άπλό έκκρεμές πού έχει μήκος l ίσο μέ τή σταθερή απόσταση των δύο άξόνων περιστροφής (O και O'). Στο αντίστροφο έκκρεμές οί αποστάσεις του κέντρου βάρους K από τούς δύο άξονες O και O' πρέπει νά είναι *άνισες*.

2. Ανάλυση περιοδικής κινήσεως κατά Fourier

Δύο άρμονικές ταλαντώσεις μέ τήν ίδια διεύθυνση έχουν αντίστοιχα περίοδο T_1 και $T_2 = T_1/2$ (σχ. 3). Τότε οί συχνότητες αυτών των δύο ταλαντώσεων είναι αντίστοιχα ν_1 και $\nu_2 = 2\nu_1$. Η ταλάντωση μέ τή μικρότερη συχνότητα ν_1 είναι ή *θεμελιώδης* ή *πρώτη άρμονική* και ή τα-



Σχ. 3. Ἡ συνισταμένη κίνηση τῶν δύο ἄρμονικῶν ταλαντώσεων εἶναι περιοδική μὴ ἡμιτονοειδῆς κίνηση.

(Οἱ συχνότητες τῶν συνιστωσῶν ταλαντώσεων ἔχουν λόγo 1:2).

λάντωση μὲ τὴ διπλάσια συχνότητα v_2 εἶναι ἡ *δεύτερη ἄρμονική*. Αὐτές οἱ δύο ταλαντώσεις ἔχουν ἀντίστοιχα ἐξισώσεις :

$$y_1 = a_1 \cdot \eta\mu \omega_1 t \quad \text{καὶ} \quad y_2 = \beta \cdot \eta\mu \omega_2 t$$

Ἡ συνισταμένη κίνηση ἔχει σὲ κάθε στιγμή ἀπομάκρυνση y ἴση μὲ τὸ ἀλγεβρικό ἄθροισμα τῶν ἀπομακρύνσεων y_1 καὶ y_2 τῶν δύο συνιστωσῶν ταλαντώσεων, δηλαδή εἶναι

$$y = y_1 + y_2$$

Ἄν γραφικὰ βροῦμε τὴ συνισταμένη κίνηση τῶν δύο ἄρμονικῶν ταλαντώσεων, παρατηροῦμε ὅτι ἡ συνισταμένη κίνηση εἶναι *περιοδική κίνηση* (ταλάντωση) πού ἔχει περίοδο T_1 , ἀλλὰ δὲν εἶναι ἡμιτονοειδῆς κίνηση, δηλαδή δὲν εἶναι *ἄρμονική ταλάντωση*. Ἡ μορφή τῆς περιοδικῆς κινήσεως ἐξαρτᾶται καὶ ἀπὸ τὴ διαφορὰ φάσεως πού ἔχουν οἱ δύο συνιστώσες ταλαντώσεις. (σχ. 3β).

Στὸ παραπάνω παράδειγμα οἱ συχνότητες τῶν δύο συνιστωσῶν ἄρμονικῶν ταλαντώσεων ἔχουν λόγo $v_2/v_1 = 2$. Τὰ ἴδια ὁμοίως ἰσχύουν καὶ ὅταν ἔχουμε πολλές ἄρμονικῆς ταλαντώσεις πού οἱ συχνότητές τους εἶναι ἀκέραια πολλαπλάσια μιᾶς θεμελιώδους συχνότητας v , δηλαδή ὅταν οἱ συχνότητές τους εἶναι $v, 2v, 3v, \dots$ kv. Σ' αὐτὴ τὴν περίπτωση ἀποδεικνύεται ὅτι ἡ συνισταμένη κίνηση εἶναι *περιοδική κίνηση* (ταλάντωση) πού ἔχει συχνότητα v ἴση μὲ τὴ συχνότητα τῆς θεμελιώδους ταλαντώσεως. Τὸ παραπάνω συμπέρασμα ἂν τὸ διατυπώσουμε ἀντίστροφα, ἀποτελεῖ τὸ *θεώρημα τοῦ Fourier* πού ὀνομάζεται καὶ *ἀνάλυση περιοδικῆς κινήσεως κατὰ Fourier* :

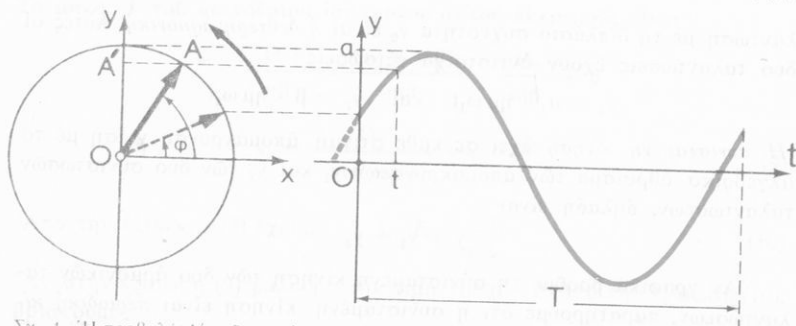
Μιά μὴ ἡμιτονοειδῆς περιοδική κίνηση, πού ἔχει συχνότητα v , μπορεῖ νὰ θεωρηθεῖ ὡς συνισταμένη πολλῶν ἄρμονικῶν ταλαντώσεων πού οἱ συχνότητές τους εἶναι ἀκέραια πολλαπλάσια μιᾶς θεμελιώδους συχνότητας v .

Ἡ μορφή τῆς περιοδικῆς κινήσεως ἐξαρτᾶται ἀπὸ τὴ συχνότητα, τὸ πλάτος καὶ τὴ διαφορά φάσεως τῶν συνιστωσῶν ταλαντώσεων.

Μὲ τὸ θεώρημα τοῦ Fourier ἐξηγοῦμε τὸ φαινόμενο τῆς χροιάς τοῦ ἤχου.

3. Προβολὴ πάνω σὲ σταθερὸ ἄξονα ἀνύσματος στρεφόμενου ὀμαλά

Ἐνα ἄνυσμα \vec{OA} ποῦ ἔχει μέτρο a στρέφεται γύρω ἀπὸ τὴν ἀρχὴ τοῦ O μὲ σταθερῆ γωνιακῆ ταχύτητα ω πάνω στὸ ἐπίπεδο xOy (σχ. 4). Στὴν ἀρχὴ



Σχ. 4. Ἡ προβολὴ A' τοῦ σημείου A πάνω στὸν ἄξονα Oy ἐκτελεῖ ἁρμονικὴ ταλάντωσι.

τῶν χρόνων $(t = 0)$ τὸ ἄνυσμα \vec{OA} σχηματίζει μὲ τὸν ἄξονα τῶν χρόνων Ox μιὰ γωνία φ (ἀρχικὴ φάση). Κατὰ τὴ χρονικὴ στιγμή t ἢ φάση τῆς κινήσεως τοῦ ἀνύσματος \vec{OA} εἶναι ἡ γωνία $\omega t + \varphi$ καὶ ἡ ἀλγεβρική τιμὴ τῆς προβολῆς OA' τοῦ ἀνύσματος \vec{OA} πάνω στὸν ἄξονα Oy εἶναι:

$$y = a \cdot \eta\mu(\omega t + \varphi)$$

Ὄταν λοιπὸν τὸ ἄνυσμα \vec{OA} στρέφεται ὀμαλά, ἡ προβολὴ A' τῆς ἀκρῆς A τοῦ ἀνύσματος \vec{OA} πάνω στὸν ἄξονα Oy ἐκτελεῖ ἁρμονικὴ ταλάντωση, δηλαδή ἡμιτονοειδῆ κίνηση ποῦ ἔχει πλάτος a , ἴσο μὲ τὸ μέτρο τοῦ ἀνύσματος \vec{OA} , καὶ περίοδο $T = 2\pi/\omega$ ἴση μὲ τὴν περίοδο τῆς κινήσεως τοῦ ἀνύσματος \vec{OA} .

Ἡ ἀρχικὴ φάση φ μπορεῖ νά εἶναι θετικὴ ἢ ἀρνητικὴ (σχ. 5) καὶ

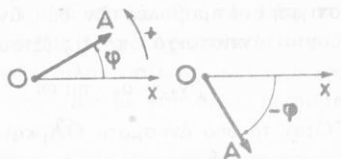
$$(*) \text{ Γιατί εἶναι } f = m \cdot \omega^2 = m \cdot \frac{4\pi^2}{T^2} = \text{σταθ.}$$

τότε η εξίσωση της ήμιτονοειδούς κινήσεως είναι :

$$\text{για } \varphi > 0 \quad y = a \cdot \eta\mu(\omega t + \varphi)$$

$$\text{για } \varphi < 0 \quad y = a \cdot \eta\mu(\omega t - \varphi)$$

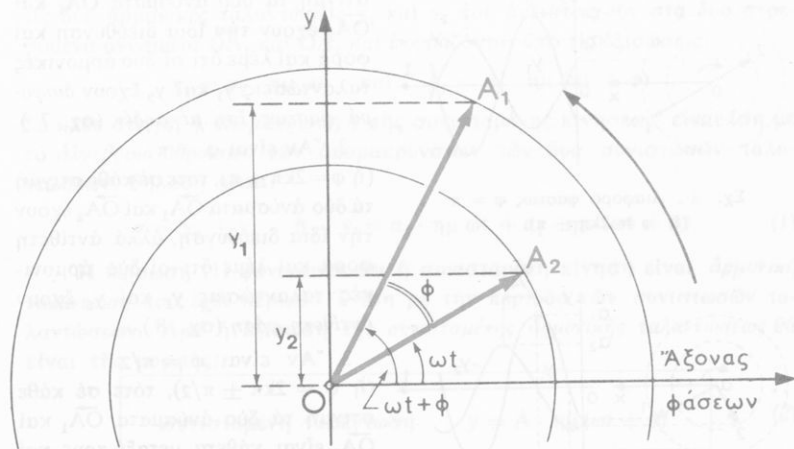
“Ωστε σε κάθε χρονική στιγμή t η άλγεβρική τιμή της προβολής του ανύσματος \vec{OA} πάνω στον άξονα Oy δίνει την τιμή της απομακρύνσεως y .



Σχ. 5. Η αρχική φάση φ μπορεί να είναι θετική ή αρνητική.

4. Διαφορά φάσεως και σύνθεση δύο αρμονικών ταλαντώσεων

Θεωρούμε δύο ανύσματα \vec{OA}_1 και \vec{OA}_2 που αντίστοιχα έχουν μέτρο a_1 και a_2 και στρέφονται πάνω στο ίδιο επίπεδο γύρω από την κοινή άρχή τους O με σταθερή γωνιακή ταχύτητα ω , επομένως έχουν και την ίδια περίοδο T (σχ. 6). Για απλότητα υποθέτουμε ότι το ανύσμα \vec{OA}_2 κατά την άρχή των χρόνων ($t = 0$) περνάει από τον άξονα των



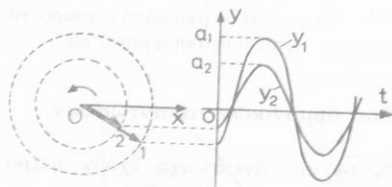
Σχ. 6. Η γωνία φ είναι η διαφορά φάσεως.

φάσεων Ox . Το ανύσμα \vec{OA}_1 προηγείται πάντοτε από το ανύσμα \vec{OA}_2 κατά μία σταθερή γωνία φ που ονομάζεται *διαφορά φάσεως* μεταξύ των κινήσεων των δύο ανυσμάτων. Κατά μία χρονική στιγμή t η θέση των ανυσμάτων \vec{OA}_2 και \vec{OA}_1 σχετικά με τον άξονα των φάσεων Ox προσδιο-

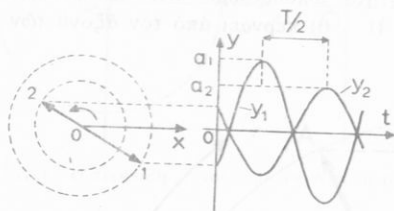
ρίζεται αντίστοιχα από τις γωνίες ωt και $\omega t + \varphi$. Κατά την ίδια χρονική στιγμή t οι προβολές των δύο άνυσμάτων πάνω στον άξονα Oy καθορίζονται αντίστοιχα από τις εξισώσεις:

$$y_2 = a_2 \cdot \eta\mu \omega t \quad \text{καί} \quad y_1 = a_1 \cdot \eta\mu (\omega t + \varphi)$$

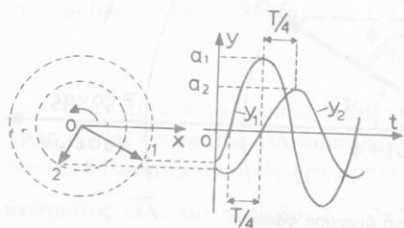
Όταν τά δύο άνυσματα \vec{OA}_1 και \vec{OA}_2 στρέφονται όμαλά, τότε οι προβολές των άκρων τους A_1 και A_2 πάνω στον άξονα Oy έκτελουν *άρμονική ταλάντωση* με περίοδο $T = 2\pi/\omega$. Σ' αυτή την περίπτωση λέμε ότι οι δύο άρμονικές ταλαντώσεις έχουν μεταξύ τους *διαφορά φάσεως* φ (rad), ή όποια είναι μέγεθος σταθερό γι' αυτές τις δύο ταλαντώσεις.



Σχ. 7 Διαφορά φάσεως $\varphi = 0$ (ή $\varphi = 2k\pi$).



Σχ. 8 Διαφορά φάσεως $\varphi = \pi$
(ή $\varphi = 2k\pi \pm \pi$).



Σχ. 9 Διαφορά φάσεως $\varphi = \pi/2$
(ή $\varphi = 2k\pi \pm \pi/2$).

Μερικές περιπτώσεις 1. Αν είναι $\varphi = 0$ (ή $\varphi = 2k\pi$), τότε σε κάθε στιγμή τά δύο άνυσματα \vec{OA}_1 και \vec{OA}_2 έχουν την ίδια διεύθυνση και φορά και λέμε ότι οι δύο άρμονικές ταλαντώσεις y_1 και y_2 έχουν *διαφορά φάσεως ίση με μηδέν* (σχ. 7).

2. Αν είναι $\varphi = \pi$ (ή $\varphi = 2k\pi \pm \pi$), τότε σε κάθε στιγμή τά δύο άνυσματα \vec{OA}_1 και \vec{OA}_2 έχουν την ίδια διεύθυνση, αλλά αντίθετη φορά και λέμε ότι οι δύο άρμονικές ταλαντώσεις y_1 και y_2 έχουν *αντίθετη φάση* (σχ. 8).

3. Αν είναι $\varphi = \pi/2$ (ή $\varphi = 2k\pi \pm \pi/2$), τότε σε κάθε στιγμή τά δύο άνυσματα \vec{OA}_1 και \vec{OA}_2 είναι κάθετα μεταξύ τους και λέμε ότι οι δύο άρμονικές ταλαντώσεις y_1 και y_2 έχουν *διαφορά φάσεως ίση με $\pi/2$* (σχ. 9).

Διαφορά φάσεως και χρονική καθυστέρηση. Στην παράσταση των στρεφόμενων άνυσμάτων \vec{OA}_1 και \vec{OA}_2 (σχ. 7) παρατηρούμε ότι στη διαφο-

ρά φάσεως φ αντιστοιχεί μιά χρονική καθυστέρηση ίση με τό χρόνο τ πού χρειάζεται τό στρεφόμενο άνυσμα \vec{OA}_2 γιά νά πάει από τή θέση πού βρίσκεται στή θέση πού είναι τώρα τό άνυσμα \vec{OA}_1 . Άρα είναι $\tau = \varphi/\omega$. Στή γραφική παράσταση των δύο άρμονικών ταλαντώσεων y_1 και y_2 ή χρονική καθυστέρηση τ τής μιās ταλαντώσεως σχετικά μέ τήν άλλη μετρίεται πάνω στόν άξονα των χρόνων Ot (σχ. 8, 9).

α. Σύνθεση δύο άρμονικών ταλαντώσεων μέ τήν ίδια διεύθυνση και τήν ίδια περίοδο. Οί δύο άρμονικές ταλαντώσεις y_1 και y_2 πού αντιστοιχούν στά δύο στρεφόμενα άνύσματα \vec{OA}_1 και \vec{OA}_2 έχουν τήν ίδια διεύθυνση, τήν ίδια περίοδο T, διαφορά φάσεως φ και τά πλάτη τους a_1 και a_2 είναι αντίστοιχα ίσα μέ τό μέτρο των άνυμάτων \vec{OA}_1 και \vec{OA}_2 (σχ. 6).

Σέ πολλές περιπτώσεις ένα ύλικό σημείο μέ τήν επίδραση δύο ή περισσότερων αιτίων αναγκάζεται νά εκτελέσει ταυτόχρονα δύο ή περισσότερες άρμονικές ταλαντώσεις. Τότε τό ύλικό σημείο εκτελεί μιά συνισταμένη κίνηση πού προκύπτει από τήν άρχή τής ανεξαρτησίας των κινήσεων, άν θεωρήσουμε μικρές μετατοπίσεις τοῦ ύλικού σημείου.

Έστω ότι ένα ύλικό σημείο αναγκάζεται νά εκτελέσει ταυτόχρονα τίς δύο άρμονικές ταλαντώσεις y_1 και y_2 πού αντιστοιχούν στά δύο στρεφόμενα άνύσματα \vec{OA}_1 και \vec{OA}_2 και εκφράζονται από τίς εξισώσεις:

$$y_2 = a_2 \cdot \eta\mu \omega t \quad \text{και} \quad y_1 = a_1 \cdot \eta\mu (\omega t + \varphi)$$

Σέ κάθε στιγμή ή απομάκρυνση y τής συνισταμένης κινήσεως είναι ίση μέ τό άλγεβρικό άθροισμα των απομακρύνσεων των δύο συνιστωσών ταλαντώσεων, δηλαδή είναι:

$$y = y_2 + y_1 \quad \text{ή} \quad y = a_2 \cdot \eta\mu \omega t + a_1 \cdot \eta\mu (\omega t + \varphi) \quad (1)$$

Ή εξίσωση (1) φανερώνει ότι ή συνισταμένη κίνηση είναι άρμονική ταλάντωση πού έχει περίοδο T ίση μέ τήν περίοδο των συνιστωσών ταλαντώσεων. Άρα ή εξίσωση τής συνισταμένης άρμονικής ταλαντώσεως θά είναι τής μορφής:

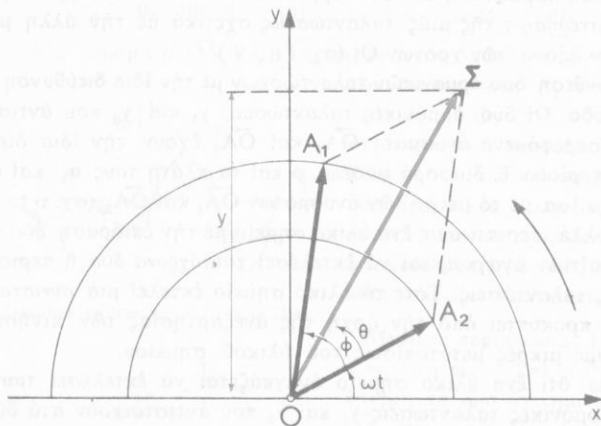
$$\text{συνισταμένη ταλάντωση} \quad y = A \cdot \eta\mu (\omega t + \theta) \quad (2)$$

όπου A είναι τό πλάτος τής συνισταμένης ταλαντώσεως και θ είναι ή διαφορά φάσεως τής συνισταμένης ταλαντώσεως σχετικά μέ τή συνιστώσα ταλάντωση y_2 .

Σέ κάθε στιγμή τά δύο στρεφόμενα άνύσματα \vec{OA}_1 και \vec{OA}_2 έχουν συνισταμένη τό γεωμετρικό άθροισμα $\vec{O\Sigma}$ των δύο άνυμάτων (σχ.10). Τό άνυσμα $\vec{O\Sigma}$ έχει σταθερό μέτρο A ίσο μέ τό πλάτος τής συνισταμένης ταλαντώσεως και δίνεται από τή γνωστή εξίσωση τής συνισταμένης δύο άνυμάτων:

πλάτος συνισταμένης
ταλαντώσεως

$$A = \sqrt{a_1^2 + a_2^2 + 2a_1a_2 \cdot \sin \varphi} \quad (3)$$



Σχ. 10. Τα άνυσματα \vec{OA}_1 και \vec{OA}_2 έχουν συνισταμένη τό άνυσμα \vec{OS} .

*Αν εξισώσουμε τά δεύτερα μέλη τών εξισώσεων (1) και (2) έχουμε:

$$A \cdot \eta\mu(\omega t + \theta) = a_2 \cdot \eta\mu \omega t + a_1 \cdot \eta\mu(\omega t + \varphi) \quad (4)$$

Στήν εξίσωση (4) βάζουμε διαδοχικά $t = 0$ και $\omega t = \pi/2$.

*Έτσι παίρνουμε αντίστοιχα τίς εξισώσεις:

$$A \cdot \eta\mu \theta = a_1 \cdot \eta\mu \varphi \quad (5)$$

$$A \cdot \sigma\upsilon\upsilon \theta = a_2 + a_1 \cdot \sigma\upsilon\upsilon \varphi \quad (6)$$

*Αν διαιρέσουμε κατά μέλη τίς εξισώσεις (5) και (6) βρίσκουμε ότι ή διαφορά φάσεως θ τής συνισταμένης άρμονικής ταλαντώσεως δίνεται από τήν εξίσωση:

διαφορά φάσεως συνισταμένης ταλαντώσεως	$\epsilon\varphi \theta = \frac{a_1 \cdot \eta\mu \varphi}{a_2 + a_1 \cdot \sigma\upsilon\upsilon \varphi} \quad (7)$
--	---

Δύο ενδιαφέρουσες μερικές περιπτώσεις. *Από τήν εξίσωση (3) συνάγεται ότι:

1. άν είναι $\varphi = 0$ (ή $\varphi = 2k\pi$), τότε είναι: $A = a_1 + a_2$

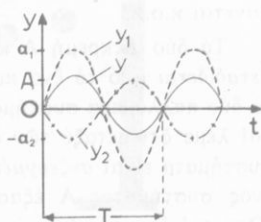
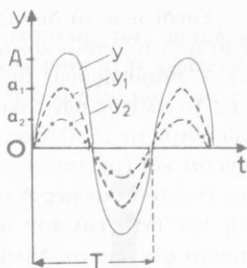
2. άν είναι $\varphi = \pi$ (ή $\varphi = 2k\pi \pm \pi$), τότε είναι: $A = a_1 - a_2$

Στό σχήμα 8α δείχνεται γραφικά ή σύνθεση δύο άρμονικών ταλαντώσεων με διαφορετικό πλάτος. Αν τα πλάτη των συνιστωσών ταλαντώσεων είναι ίσα ($a_1 = a_2 = a$), τότε για $\varphi = 0$ είναι $A = 2a$ και για $\varphi = \pi$ είναι $A = 0$. Στην τελευταία περίπτωση ($\varphi = \pi$) το ύλικό σημείο μένει άκίνητο.

Γενικό συμπέρασμα. Από τα παραπάνω καταλήγουμε στο ακόλουθο συμπέρασμα:

Η συνισταμένη κίνηση δύο άρμονικών ταλαντώσεων, που έχουν την ίδια διεύθυνση και την ίδια περίοδο (T), είναι άρμονική ταλάντωση με περίοδο ίση με την περίοδο που έχουν οι συνιστώσες ταλαντώσεις.

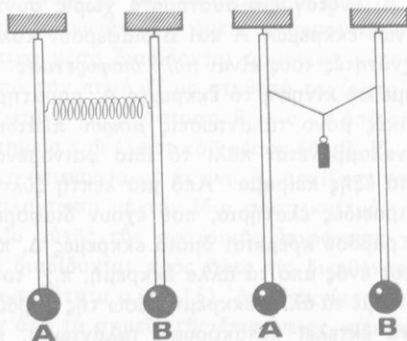
Σημείωση. Τα στρεφόμενα ανύσματα $\vec{O\bar{A}}_1$ και $\vec{O\bar{A}}_2$ που θεωρήσαμε παραπάνω μπορεί να αντίστοιχούν σε οποιοδήποτε φυσικό μέγεθος που μεταβάλλεται ήμιτονοειδώς σε συνάρτηση με το χρόνο t . Σε άλλα κεφάλαια θα γνωρίσουμε τέτοια φυσικά μεγέθη.



Σχ. 11. Σύνθεση δύο άρμονικών ταλαντώσεων y_1 και y_2 και η συνισταμένη ταλάντωση y ($\varphi = 0, \varphi = \pi$)

5. Σύζευξη ταλαντευόμενων συστημάτων

α. Σύζευγμένα συστήματα σε συντονισμό. Δύο έκκρεμη αποτελούνται από πολύ λεπτές ράβδους, έχουν τό ίδιο μήκος και επομένως έχουν και την ίδια ιδιοσυχνότητα ν_0 (σχ. 12). Αρχικά τά δύο έκκρεμη είναι ασύνδετα μεταξύ τους. Αν βάλουμε σε κίνηση τό ένα έκκρεμές, τότε τό άλλο έκκρεμές παραμένει άκίνητο.



Σχ. 12. Σύζευξη δύο έκκρεμων με τό ίδιο μήκος.

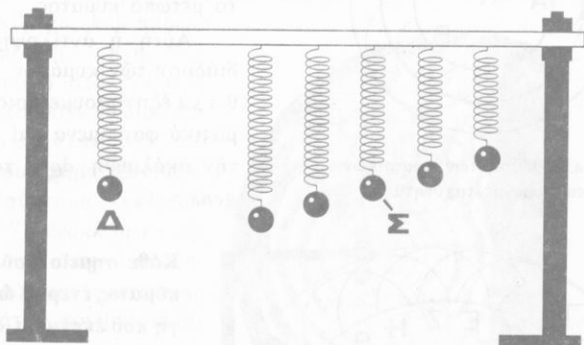
Συνδέουμε τὰ δύο ἔκκρεμὴ μὲ ἓνα ἐλαφρὸ σπειροειδὲς ἐλατήριο ἢ μὲ νῆμα ἀπὸ τὸ ὁποῖο κρέμεται ἓνα βᾶρος. Ἄν βάλουμε σὲ κίνηση τὸ ἔκκρεμὸς Α, παρατηροῦμε ὅτι καὶ τὸ ἔκκρεμὸς Β ἀρχίζει νὰ ἐκτελεῖ ταλαντώσεις. Τὸ πλάτος τῶν ταλαντώσεων τοῦ ἔκκρεμοῦς Α συνεχῶς ἐλαττώνεται, ἐνῶ ἀντίθετα τὸ πλάτος τῶν ταλαντώσεων τοῦ ἔκκρεμοῦς Β συνεχῶς αὐξάνεται καὶ ἔρχεται στιγμὴ πού τὸ ἔκκρεμὸς Β κινεῖται μὲ τὸ μέγιστο πλάτος, ἐνῶ τὸ ἔκκρεμὸς Α μένει ἀκίνητο. Τότε τὸ ἔκκρεμὸς Α ἔχει μεταδώσει ὅλη τὴν ἐνέργειά του στὸ ἔκκρεμὸς Β. Ἐπειτα παρατηροῦμε τὸ ἀντίστροφο φαινόμενο, δηλαδή τὸ ἔκκρεμὸς Β ἀρχίζει νὰ μεταδίδει τὴν ἐνέργειά του στὸ ἔκκρεμὸς Α πού τὸ πλάτος τῆς αἰωρήσεώς του συνεχῶς αὐξάνεται κ.ο.κ.

Τὰ δύο ἔκκρεμὴ Α καὶ Β βρίσκονται σὲ *συντονισμό* καὶ ἡ ἐνέργεια μεταδίδεται ἀπὸ τὸ ἓνα παλλόμενο σύστημα στὸ ἄλλο. Καθένα ἀπὸ αὐτὰ τὰ δύο παλλόμενα συστήματα γίνεται διαδοχικὰ διεγέρτης καὶ συντονιστῆς καὶ λέμε ὅτι μεταξύ τῶν δύο συστημάτων ὑπάρχει *σύζευξη* ἢ ὅτι τὰ δύο συστήματα εἶναι *συζευγμένα*. Σ' αὐτὴ τὴν περίπτωση κατὰ τὴν κίνηση τοῦ ἑνὸς συστήματος Α ἐξασκοῦνται πάνω στὸ ἄλλο σύστημα Β *δυνάμεις*. Ὅσο πιὸ ἰσχυρὴ εἶναι ἡ σύζευξη τῶν δύο συστημάτων τόσο ταχύτερα γίνεται ἡ μεταφορὰ τῆς ἐνέργειας ἀπὸ τὸ ἓνα σύστημα (διεγέρτης) στὸ ἄλλο (συντονιστῆς). Ἀπὸ τὰ παραπάνω συνάγεται τὸ ἀκόλουθο συμπέρασμα :

Ὅταν μεταξύ δύο παλλόμενων συστημάτων πού βρίσκονται σὲ συντονισμό ὑπάρχει σύζευξη, τότε ὅλη ἡ ἐνέργεια τοῦ ἑνὸς συστήματος (τοῦ διεγέρτη) μεταδίδεται στὸ ἄλλο σύστημα (τοῦ συντονιστῆ).

β. *Συζευγμένα συστήματα χωρίς συντονισμό.* Ἄν τὰ μήκη δύο συζευγμένων ἔκκρεμῶν Α καὶ Β διαφέρουν πολὺ μεταξύ τους, τότε καὶ οἱ ἰδιοσυχνότητές τους εἶναι *πολύ διαφορετικές*. Σ' αὐτὴ τὴν περίπτωση, ἂν βάλουμε σὲ κίνηση τὸ ἔκκρεμὸς Α, παρατηροῦμε ὅτι τὸ ἔκκρεμὸς Β ἐκτελεῖ μερικές μόνο ταλαντώσεις *μικροῦ πλάτους*, ἔπειτα *ἡρεμεῖ* γιὰ λίγο καὶ ἐπαναλαμβάνεται πάλι τὸ ἴδιο φαινόμενο. Τὰ παραπάνω ἐπαληθεύονται μὲ τὸ ἐξῆς πείραμα. Ἀπὸ μιά λεπτὴ ξύλινη ράβδο κρέμονται ἔκκρεμὴ μὲ σπειροειδὲς ἐλατήριο, πού ἔχουν διαφορετικὰ μήκη (σχ|13). Στὴν ἄκρη τῆς ράβδου κρέμεται ὁμοιο ἔκκρεμὸς Δ, πού τὸ μήκος του εἶναι ἴσο μὲ τὸ μήκος ἑνὸς ἀπὸ τὰ ἄλλα ἔκκρεμὴ, π.χ. τοῦ Σ. Τὸ ἔκκρεμὸς Δ εἶναι συζευγμένο μὲ τὰ ἄλλα ἔκκρεμὴ μέσω τῆς ράβδου. Ἄν ἀναγκάσουμε τὸ ἔκκρεμὸς Δ νὰ ἐκτελεῖ κατακόρυφη ταλάντωση, παρατηροῦμε ὅτι ἡ μεγαλύτερη ποσότητα ἐνέργειας μεταδίδεται σ' ἐκεῖνο τὸ ἔκκρεμὸς (δηλαδή στὸ ἔκκρεμὸς Σ) πού βρίσκεται σὲ *συντονισμό* μὲ τὸ διεγέρτη (Δ). Ἀπὸ τὰ παραπάνω συνάγεται τὸ ἀκόλουθο συμπέρασμα :

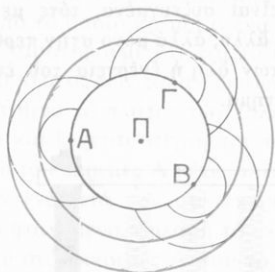
"Όταν δύο παλλόμενα συστήματα είναι συζευγμένα, τότε μεταδίδεται ενέργεια από το ένα σύστημα στο άλλο, αλλά μόνο στην περίπτωση του συντονισμού των δύο συστημάτων όλη ή ενέργεια του ενός συστήματος μεταδίδεται στο άλλο σύστημα.



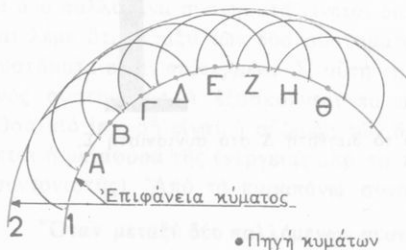
Σχ.13. Μετάδοση ενέργειας από το διεγέρτη Δ στο συντονιστή Σ.

6. Αρχή του Huygens

Σε ένα ομογενές και ισότροπο ελαστικό μέσο μία σημειακή πηγή Π κατά τη χρονική στιγμή $t = 0$ αρχίζει να εκτελεί άμείωτη αρμονική ταλάντωση (σχ.14). Τότε στο ελαστικό μέσο διαδίδονται αρμονικά κύματα προς όλες τις διευθύνσεις γύρω από την πηγή Π με σταθερή ταχύτητα c . Σε μία χρονική στιγμή t το κύμα φτάνει σε απόσταση $R = c \cdot t$ από την πηγή Π. Τη στιγμή αυτή όλα τα σημεία του ελαστικού μέσου (Α, Β, Γ...) που βρίσκονται πάνω στη σφαιρική επιφάνεια με ακτίνα R , αρχίζουν ταυτόχρονα να εκτελούν αρμονική ταλάντωση με την ίδια φάση και με την ίδια συχνότητα. Έτσι κάθε σημείο αυτής της σφαιρικής επιφάνειας γίνεται μία νέα πηγή κυμάτων που διαδίδονται προς όλες τις διευθύνσεις γύρω από κάθε σημείο με την ίδια ταχύτητα c (σχ.15). Αποδεικνύεται ότι *τά στοιχειώδη κύματα* που φεύγουν από τα σημεία της επιφάνειας κύματος l , όταν διαδίδονται προς το εσωτερικό αυτής της επιφάνειας κύματος, συμβάλλουν και *αλληλοαναίρουνται*. Αντίθετα, *τά στοιχειώδη κύματα* διαδίδονται ελεύθερα προς το εξωτερικό της επιφάνειας κύματος l και σε



Σχ.14. Διάδοση των σφαιρικών κυμάτων με ταχύτητα c .



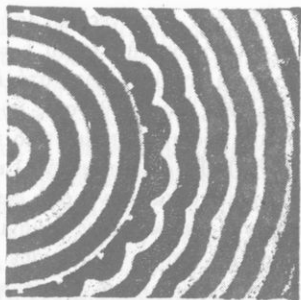
Σχ. 15. Άρχη του Huygens.

Κατά προσέγγιση μπορούμε να παρατηρήσουμε εφαρμογή της άρχης του Huygens με τό εξής πείραμα. Με ένα διαπασών, πού έκτελει άμειώτες ταλαντώσεις, δημιουργούμε πάνω στην ελεύθερη επιφάνεια νερού κυκλικά κύματα (σχ.16). Γύρω από τήν πηγή των κυμάτων τοποθετούμε μία κυλινδρική πλάκα πού έχει τή μορφή χτένας (δηλαδή έχει κατακόρυφες λεπτές σχισμές). Ή άκτινα καμπλότητα της κυλινδρικής πλάκας είναι τόση, ώστε ή επιφάνεια της πλάκας νά συμπίπτει μέ ένα μέτωπο κύματος. Παρατηρούμε ότι από τίς σχισμές της πλάκας φεύγουν στοιχειώδη κύματα και ότι σε όρισμένη άπόσταση από τήν πλάκα αυτά τά κύματα διαμορφώνουν ένα νέο κυκλικό μέτωπο κύματος.

κάθε στιγμή οί σφαιρικές επιφάνειες κύματος των στοιχειωδών κυμάτων έχουν ως περιβάλλουσα επιφάνεια μία νέα σφαιρική επιφάνεια 2 πού άποτελεί τό μέτωπο κύματος.

Αυτή ή αντίληψη για τή διάδοση των κυμάτων μάς βοηθηεί νά εξηγήσουμε όρισμένα κυματικά φαινόμενα και άποτελεί τήν άκόλουθη άρχή του Huygens :

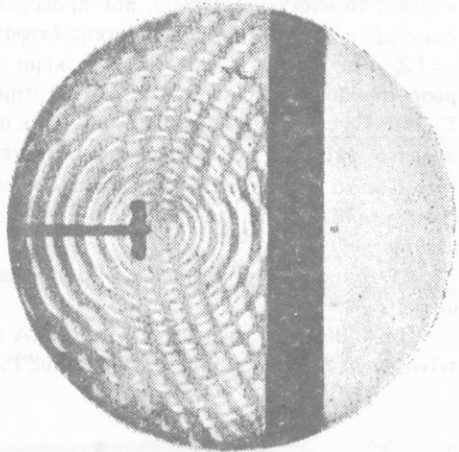
Κάθε σημείο του μετώπου κύματος ενεργεί ως νέα πηγή πού έκπέμπει στοιχειώδη κύματα. Σε κάθε στιγμή τό μέτωπο κύματος είναι μία μεγαλύτερη επιφάνεια πού περιβάλλει τά στοιχειώδη μέτωπα κύματος.



Σχ.16 Πειραματική άπόδειξη της άρχης του Huygens.

7. 'Ανάκλαση τών κυμάτων ελαστικότητας

Πάνω στην ελεύθερη επιφάνεια υδραργύρου πού ήρεμεί, δημιουργούμε κυκλικά κύματα με μία πηγή πού εκτελεί αμείωτες ταλαντώσεις (π.χ. με ένα διαπασών πού διεγείρεται από ηλεκτρομαγνήτη). Μέσα στο δοχείο υπάρχει ένα κατακόρυφο επίπεδο τοίχωμα (σχ.17). Παρατηρούμε ότι τα κυκλικά κύματα, πού προέρχονται από τήν πηγή, *ανακλώνται* πάνω στο τοίχωμα και έξακολουθούν νά διαδίδονται πάνω στην επιφάνεια του υδραργύρου σχηματίζοντας ένα νέο σύστημα κυκλικών κυμάτων. *Τά ανακλώμενα κύματα* φαίνεται σάν νά προέρχονται από μία *φανταστική* πηγή κυμάτων, πού βρίσκεται πίσω από τό τοίχωμα και είναι *συμμετρική* τής πραγματικής πηγής ως προς τό τοίχωμα. Αυτή ή φανταστική πηγή ονομάζεται *είδωλο* τής πραγματικής πηγής τών κυμάτων.



Σχ.17. 'Ανάκλαση επιφανειακών κυμάτων.

Η ανάκλαση τών κυμάτων ελαστικότητας είναι συνέπεια τής αρχής του Huygens και αποδεικνύεται ότι γίνεται σύμφωνα με τούς γνωστούς νόμους τής ανακλάσεως του φωτός:

1. Η ανακλώμενη ακτίνα βρίσκεται πάνω στο επίπεδο προσπτώσεως πού όρίζεται από τήν προσπίπτουσα ακτίνα και τήν κάθετο στο σημείο προσπτώσεως.
2. Η γωνία ανακλάσεως α είναι ίση με τή γωνία προσπτώσεως π (σχ. 18).

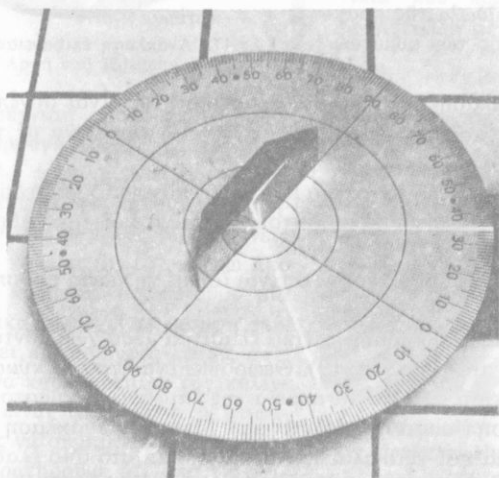
'Απόδειξη. Δύο διαφορετικά ελαστικά μέσα χωρίζονται μεταξύ τους με επίπεδη επιφάνεια (σχ. 19). Θεωρούμε ένα *επίπεδο κύμα* πού διαδίδεται με ταχύτητα c . Όλα τά σημεία τής επιφάνειας κύματος κινούνται με τήν ίδια φάση (ίσοφασική επιφάνεια). Μετά τήν ανάκλαση προκύπτει ένα επίπεδο κύμα πού έξακολουθεί νά διαδίδεται στο ίδιο ελαστικό μέσο.

Οι ακτίνες x_1 , x_2 , x_3 είναι *κάθετες* στην επιφάνεια κύματος ABΓ (σχ. 20). Κατά τή χρονική στιγμή t πρώτο τό σημείο A τής επιφάνειας MN γίνεται πηγή έκτομπης στοιχειωδών κυμάτων. Στή διάρκεια του χρό-

νου Δt τό κύμα διατρέχει τήν απόσταση $\Gamma Z = c \cdot \Delta t$ καί κατά τή χρονική στιγμή $t + \Delta t$ τό σημείο Z τής επιφάνειας MN γίνεται πηγή έκπομπής στοιχειωδών κυμάτων. Στή διάρκεια του χρόνου Δt όλα τά σημεία τής επιφάνειας MN πού βρίσκονται ανάμεσα στά σημεία A καί Z γίνονται διαδοχικά τό ένα μετά τό άλλο πηγές έκπομπής στοιχειωδών κυμάτων. Κατά τή στιγμή $t + \Delta t$, πού τό σημείο Z ἀρχίζει νά εκπέμπει στοιχειώδη κύματα, τό στοιχειώδες κύμα, πού προέρχεται από τό σημείο A , ἔχει φτάσει σέ όλα τά σημεία μιᾶς σφαιρικής επιφάνειας Σ_A πού ἔχει ἀκτίνα $AI = \Gamma Z = c \cdot \Delta t$ καί τό στοιχειώδες κύμα πού προέρχεται από τό ἐνδιάμεσο σημείο Δ ἔχει φτάσει σέ όλα τά σημεία μιᾶς σφαιρικής επιφάνειας Σ_Δ πού ἔχει ἀκτίνα $\Delta\Theta = EZ = c \cdot \Delta t$ κ.ο.κ. Ἄν φέρουμε τό κοινό ἐφαπτόμενο ἐπίπεδο $Z\Theta I$ αὐτῶν τῶν στοιχειωδῶν σφαιρικῶν ἐπιφανειῶν, τότε όλα τά σημεία αὐτοῦ τοῦ ἐπιπέδου κατά τή χρονική στιγμή $t + \Delta t$ ἔχουν τήν ἴδια φάση καί ἀποτελοῦν τό νέο μέτωπο κύματος μετά τήν ἀνάκλαση.

Οἱ ἀνακλώμενες ἀκτίνες y_1, y_2, y_3 εἶναι κάθετες στήν ἐπιφάνεια κύματος $Z\Theta I$.

Τά ὀρθογώνια τρίγωνα $\Lambda\Gamma Z$ καί $Z\Lambda I$ εἶναι ἴσα, γιατί ἔχουν τήν ὑποτείνουσα AZ κοινή καί τίς πλευρές τους ΓZ καί AI ἴσες ($\Gamma Z = AI$).



Σχ.18. Πειραματική ἀπόδειξη τῶν νόμων τῆς ἀνάκλασης τῶν φωτεινῶν κυμάτων.

Άρα είναι: $\widehat{\Gamma\Lambda Z} = \widehat{\Lambda Z\Gamma}$

και $\widehat{\Gamma Z\Lambda} = \widehat{\Lambda Z\Gamma}$

Επίσης βρίσκουμε:

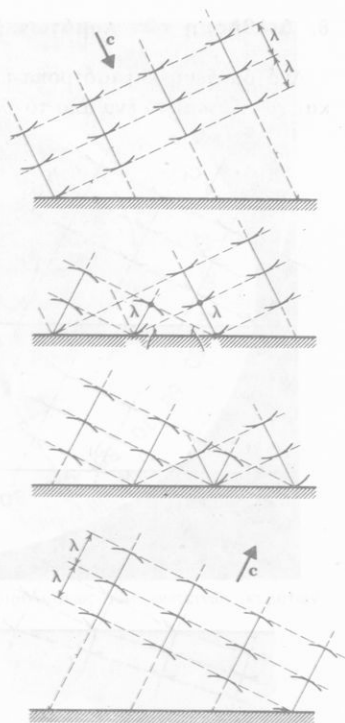
$$\widehat{\Gamma Z\Lambda} = \varphi \quad \text{άρα} \quad \widehat{\Lambda Z\Gamma} = \varphi$$

$$\text{και} \quad \pi = 90^\circ - \varphi$$

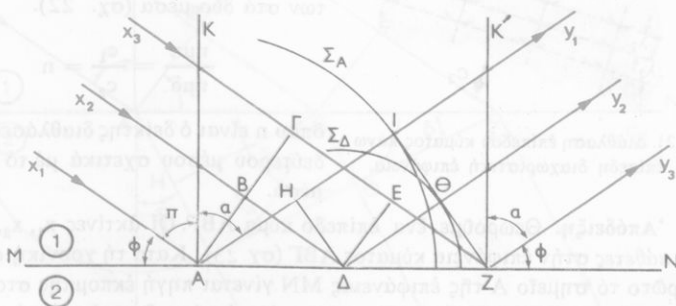
$$\widehat{\Gamma\Lambda Z} = \alpha = 90^\circ - \widehat{\Lambda Z\Gamma} = 90^\circ - \varphi$$

$$\text{και} \quad \alpha = 90^\circ - \varphi$$

Ωστε η γωνία ανάκλασης α είναι ίση με τη γωνία προσπτώσεως π .



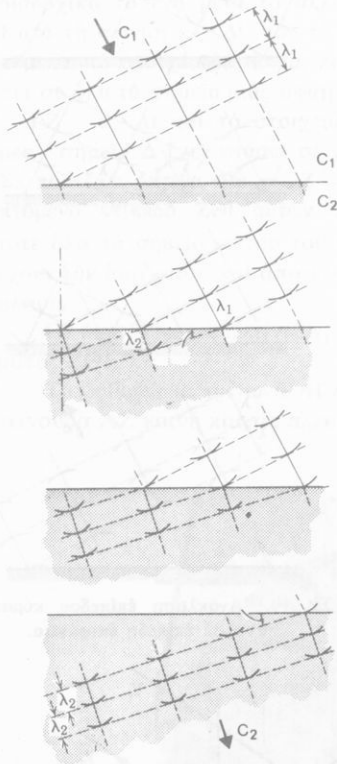
Σχ. 19. Ανάκλαση επίπεδου κύματος πάνω σε επίπεδη επιφάνεια.



Σχ. 20. Για την απόδειξη ότι η γωνία προσπτώσεως (π) είναι ίση με τη γωνία ανάκλασεως (α).

8. Διάθλαση τῶν κυμάτων ελαστικότητας

Δυό ὁμογενή καί ἰσότροπα ἐλαστικά μέσα 1 καί 2 εἶναι διαφορετικά καί χωρίζονται τό ἓνα ἀπό τό ἄλλο μέ ἐπίπεδη ἐπιφάνεια MN. Ἡ ταχύτητα διαδόσεως τῶν κυμάτων στά δύο μέσα εἶναι ἀντίστοιχα c_1 καί c_2 . Θεωροῦμε ἓνα ἐπίπεδο κύμα πού πέφτει πλάγια πάνω στή διαχωριστική ἐπιφάνεια (σχ. 21). Τό κύμα μπαίνοντας ἀπό τό πρῶτο μέσο στό δεύτερο ἀλλάζει ἀπότομα διεύθυνση διαδόσεως καί λέμε ὅτι συμβαίνει *διάθλαση τῶν κυμάτων*.



Σχ. 21. Διάθλαση ἐπίπεδου κύματος πάνω σέ ἐπίπεδη διαχωριστική ἐπιφάνεια.

Ἡ διάθλαση τῶν κυμάτων ελαστικότητας εἶναι συνέπεια τῆς ἀρχῆς τοῦ Huygens καί ἀποδεικνύεται ὅτι γίνεται σύμφωνα μέ τοὺς γνωστούς νόμους τῆς διαθλάσεως τοῦ φωτός :

1. Ἡ διαθλώμενη ἀκτίνα βρίσκεται πάνω στό ἐπίπεδο προσπτώσεως πού ὀρίζεται ἀπό τήν προσπίπτουσα ἀκτίνα καί τήν κάθετο στό σημεῖο προσπτώσεως.

2. Ὁ λόγος τῶν ἡμιτόνων τῶν γωνιῶν προσπτώσεως π καί διαθλάσεως δ εἶναι σταθερός καί ἴσος μέ τό λόγο τῶν ταχυτήτων διαδόσεως τῶν κυμάτων στά δύο μέσα (σχ. 22).

$$\frac{\eta\mu\pi}{\eta\mu\delta} = \frac{c_1}{c_2} = n$$

ὅπου n εἶναι ὁ δείκτης διαθλάσεως τοῦ δευτέρου μέσου σχετικά μέ τό πρῶτο μέσο.

Ἀπόδειξη. Θεωροῦμε ἓνα ἐπίπεδο κύμα ABΓ. Οἱ ἀκτίνες x_1, x_2, x_3 εἶναι κάθετες στήν ἐπιφάνεια κύματος ABΓ (σχ. 23). Κατά τή χρονική στιγμή t πρῶτο τό σημεῖο A τῆς ἐπιφάνειας MN γίνεται πηγὴ ἐκπομπῆς στοιχειωδῶν κυμάτων. Στή διάρκεια τοῦ χρόνου Δt τό κύμα διατρέχει στό μέσο 1 τήν ἀπόσταση $\Gamma Z = c_1 \cdot \Delta t$ καί κατά τή χρονική στιγμή $t + \Delta t$ τό σημεῖο Z γίνεται πηγὴ ἐκπομπῆς στοιχειωδῶν κυμάτων. Στή διάρκεια τοῦ

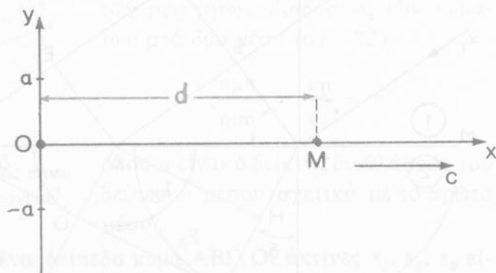
χρόνου Δt όλα τα σημεία της επιφάνειας MN που βρίσκονται ανάμεσα στα σημεία A και Z γίνονται διαδοχικά τό ένα μετά τό άλλο πηγές έκπομπής στοιχειωδών κυμάτων. Κατά τή στιγμή $t + \Delta t$, που τό σημείο Z αρχίζει νά εκπέμπει στοιχειώδη κύματα, τό στοιχειώδες κύμα, που προέρχεται από τό σημείο A, έχει φθάσει στό μέσο 2 σέ όλα τά σημεία μιās σφαιρικής επιφάνειας Σ_A που έχει ακτίνα $AI = c_2 \cdot \Delta t$ και τό στοιχειώδες κύμα που προέρχεται από τό ενδιάμεσο σημείο Δ έχει φθάσει σέ όλα τά σημεία μιās σφαιρικής επιφάνειας Σ_Δ που έχει ακτίνα $\Delta\Theta = c_2 \cdot \Delta t$ κ.ο.κ. "Αν φέρουμε τό κοινό εφαπτόμενο επίπεδο ΖΘΙ αυτών των στοιχειωδών σφαιρικών επιφανειών, τότε όλα τά σημεία αυτού του επιπέδου κατά τή χρονική στιγμή $t + \Delta t$ έχουν τήν ίδια φάση και αποτελούν τό νέο μέτωπο κύματος μετά τή διάθλαση. Οί διαθλωμένες ακτίνες y_1, y_2, y_3 είναι κάθετες στήν επιφάνεια κύματος ΖΘΙ.

Ή από τά ὀρθογώνια τρίγωνα ΓΑΖ και ΙΑΖ ἔχουμε:

$$\begin{aligned}
 & \Gamma Z = AZ \cdot \eta \mu \pi \quad \text{και} \quad AI = AZ \cdot \eta \mu \delta \\
 \text{ἄρα} \quad & \frac{\Gamma Z}{AI} = \frac{\eta \mu \pi}{\eta \mu \delta} \quad \eta \quad \frac{c_1 \cdot \Delta t}{c_2 \cdot \Delta t} = \frac{\eta \mu \pi}{\eta \mu \delta} \\
 \text{και} \quad & \frac{\eta \mu \pi}{\eta \mu \delta} = \frac{c_1}{c_2} = \text{σταθ.}
 \end{aligned}$$

9. Ήξίωση τῶν κυμάτων.

Ήξίωση τῆς κινήσεως ἑνός ὕλικου σημείου τοῦ ἐλαστικοῦ μέσου. Σέ ἕνα γραμμικό ἐλαστικό μέσο τό σημείο Ο εἶναι ἡ πηγή τῶν ἁρμονικῶν κυμάτων που διαδίδονται κατά μήκος τοῦ ἐλαστικοῦ μέσου μέ σταθερή ταχύτητα c (σχ. 24). Ἡ πηγή Ο τῶν κυμάτων ἀρχίζει νά κινεῖται τή χρονική στιγμή $t = 0$ και ἐπομένως τή χρονική στιγμή t ἡ ἀπομάκρυνση (y_0) τῆς πηγῆς δίνεται ἀπό τήν ἔξίωση:



Σχ. 24. Το κύμα για να φθάσει στό σημείο M, χρειάζεται χρόνο $\tau = d/c$.

$$y_0 = a \cdot \eta \mu \omega t \quad \eta \quad y_0 = a \cdot \eta \mu \frac{2\pi}{T} t \quad (1)$$

δπου a είναι τό πλάτος τής ταλαντώσεως καί T ή περίοδος τής. Ένα ύλικό σημείο M τοῦ ἐλαστικοῦ μέσου βρῖσκεται σέ ἀπόσταση d ἀπό τήν πηγή O . Γιά νά φτάσει τό κύμα ἀπό τήν πηγή O τῶν κυμάτων στό σημείο M , χρειάζεται χρόνο $\tau = d/c$. Τή χρονική στιγμή t ή κίνηση τοῦ σημείου M εἶναι ἴδια μέ τήν κίνηση πού εἶχε ή πηγή O τῶν κυμάτων τή χρονική στιγμή $t - \tau$. Ὡστε τή χρονική στιγμή t ή ἀπομάκρυνση (y_M) τοῦ σημείου M βρῖσκεται, ἂν στήν ἐξίσωση (1) ἀντί τοῦ t βάλουμε $t - \tau$. Ἐτσι ἔχουμε:

$$y_M = a \cdot \eta\mu \frac{2\pi}{T} (t - \tau) \quad \text{ἢ} \quad y_M = a \cdot \eta\mu 2\pi \left(\frac{t}{T} - \frac{d}{cT} \right)$$

Ἐπειδή εἶναι $\lambda = cT$, βρῖσκουμε ὅτι ή ἐξίσωση τής κινήσεως τοῦ ὑλικοῦ σημείου M εἶναι:

ἐξίσωση τής κινήσεως
ἐνός ὑλικοῦ σημείου M

$$y_M = a \cdot \eta\mu 2\pi \left(\frac{t}{T} - \frac{d}{\lambda} \right) \quad (2)$$

Ἡ ἐξίσωση (2) φανερώνει ὅτι κατά μήκος τοῦ γραμμικοῦ ἐλαστικοῦ μέσου Ox παρατηρεῖται μιὰ *χρονική* καί *τοπική* *περιοδικότητα*. Γιά ἕνα δοσμένο ὑλικό σημείο M , δηλαδή γιά $d = \text{σταθ.}$, ή ἀπομάκρυνση y τοῦ ὑλικοῦ σημείου εἶναι *ἡμιτονοειδής συνάρτηση τοῦ χρόνου* t (χρονική περιοδικότητα). Γιά μιὰ ὀρισμένη χρονική στιγμή t , δηλαδή γιά $t = \text{σταθ.}$, ή ἀπομάκρυνση y τοῦ ὑλικοῦ σημείου εἶναι *ἡμιτονοειδής συνάρτηση τής θέσεως* τοῦ ὑλικοῦ σημείου, ἐπομένως τής ἀποστάσεως d ἀπό τήν πηγή O (τοπική περιοδικότητα). Αὐτή τήν ἡμιτονοειδή συνάρτηση παριστάνει ή ἡμιτονοειδής καμπύλη τοῦ σχήματος 10. (Βλέπε βιβλίο κορομοῦ).

Ἡ ἐξίσωση (2) γράφεται:

$$y_M = a \cdot \eta\mu \left(\frac{2\pi t}{T} - \frac{2\pi d}{\lambda} \right)$$

Ἄν σ' αὐτή τήν ἐξίσωση βάλουμε $\varphi = \frac{2\pi d}{\lambda}$, ἔχουμε:

$$y_M = a \cdot \eta\mu \left(\frac{2\pi t}{T} - \varphi \right)$$

Ὡστε ή κίνηση τοῦ ὑλικοῦ σημείου M σχετικά μέ τήν κίνηση τής πηγῆς O τῶν κυμάτων ἔχει μιὰ *διαφορά φάσεως* φ ἴση μέ:

διαφορά φάσεως
σχετικά μέ τήν πηγή

$$\varphi = \frac{2\pi d}{\lambda} \text{ (rad)}$$

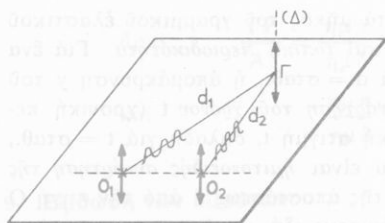
• Αν είναι $\frac{2\pi d}{\lambda} = 2\kappa\pi$, τότε είναι $d = \kappa \cdot \lambda$ (συμφωνία φάσεως).

• Αν είναι $\frac{2\pi d}{\lambda} = (2\kappa + 1)\pi$, τότε είναι $d = (2\kappa + 1) \cdot \frac{\lambda}{2}$ (άντιθεση φάσεως).

10. Συμβολή τών κυμάτων ελαστικότητας

Θεωρούμε δύο σύγχρονες πηγές κυμάτων O_1 και O_2 (σχ. 25) που εκτελούν άμειωτες κατακόρυφες ταλαντώσεις με περίοδο T και πλάτος a . Ός ελαστικό μέσο θεωρούμε (κατά προσέγγιση) την ελεύθερη επιφάνεια ύγρου. Εκλέγοντας κατάλληλα την αρχή τών χρόνων ($t = 0$) βρίσκουμε ότι η απομάκρυνση y τών δύο σύγχρονων πηγών δίνεται σε κάθε στιγμή από την εξίσωση:

$$y = a \cdot \eta\mu \frac{2\pi}{T} t$$



Σχ. 25. Συμβολή τών δύο κυμάτων στό σημείο Γ .

Τά κύματα ελαστικότητας που παράγονται από τίς δύο πηγές φτάνουν σε ένα σημείο Γ του ελαστικού μέσου, που οί αποστάσεις του από τίς δύο πηγές O_1 και O_2 είναι αντίστοιχα d_1 και d_2 . Σέ μία χρονική στιγμή t ή απομάκρυνση του σημείου Γ είναι:

- εξαιτίας τών κυμάτων που προέρχονται από την πηγή O_1

$$y_1 = a \cdot \eta\mu 2\pi \left(\frac{t}{T} - \frac{d_1}{\lambda} \right)$$

- εξαιτίας τών κυμάτων που προέρχονται από την πηγή O_2

$$y_2 = a \cdot \eta\mu 2\pi \left(\frac{t}{T} - \frac{d_2}{\lambda} \right)$$

Οί δύο άρμονικές ταλαντώσεις που αναγκάζεται νά εκτελέσει ταυτόχρονα τό σημείο Γ , παρουσιάζουν μία διαφορά φάσεως φ ίση μέ:

$$\text{διαφορά φάσεως} \quad \varphi = \frac{2\pi}{\lambda} (d_1 - d_2) \quad (1)$$

Ἡ ἀπομάκρυνση y_{Γ} τοῦ σημείου Γ κατά τὴ χρονικὴ στιγμὴ t εἶναι ἴση μὲ τὸ ἀλγεβρικό ἄθροισμα:

$$y_{\Gamma} = y_1 + y_2$$

Τὸ πλάτος A τῆς συνισταμένης ταλαντώσεως δίνεται ἀπὸ τὴν ἐξίσωση:

$$A = \sqrt{\alpha^2 + \alpha^2 + 2\alpha^2 \cdot \text{συν} \varphi} \quad \text{ἢ} \quad A = a \sqrt{2(1 + \text{συν} \varphi)} \quad (2)$$

Ἐπειδὴ εἶναι $(1 + \text{συν} \varphi) = 2 \text{συν}^2 \frac{\varphi}{2}$, ἡ ἐξίσωση (2) γράφεται:

$$A = 2a \cdot \text{συν} \frac{\varphi}{2} \quad \text{ἄρα} \quad \boxed{A = 2a \left[\text{συν} \frac{\pi}{\lambda} (d_1 - d_2) \right]} \quad (3)$$

Ἡ ἐξίσωση (3) δείχνει ὅτι τὸ πλάτος A τῆς συνισταμένης ταλαντώσεως ἐξαρτᾶται ἀπὸ τὴ διαφορά τῶν ἀποστάσεων $d_1 - d_2$ τοῦ θεωρούμενου σημείου ἀπὸ τίς δύο πηγές τῶν κυμάτων.

α. Σημεῖα κινούμενα μὲ μέγιστο πλάτος. Τὸ πλάτος A τῆς συνισταμένης ταλαντώσεως ἔχει τὴ μέγιστη ἀπόλυτη τιμὴ $A = 2a$, ὅταν εἶναι:

$$\text{συν} \frac{\pi}{\lambda} (d_1 - d_2) = \pm 1 \quad \text{ἄρα} \quad \frac{\pi}{\lambda} (d_1 - d_2) = \kappa \pi$$

δηλαδή ὅταν εἶναι :

$$\boxed{d_1 - d_2 = \kappa \cdot \lambda} \quad (4)$$

Γιὰ $\kappa = 0$ ἡ ἐξίσωση (4) ἀντιστοιχεῖ στὰ σημεῖα πού βρίσκονται πάνω στὴν *εὐθεία* πού εἶναι κάθετη στὴ μέση τῆς ἀποστάσεως O_1O_2 (σχ. 26).

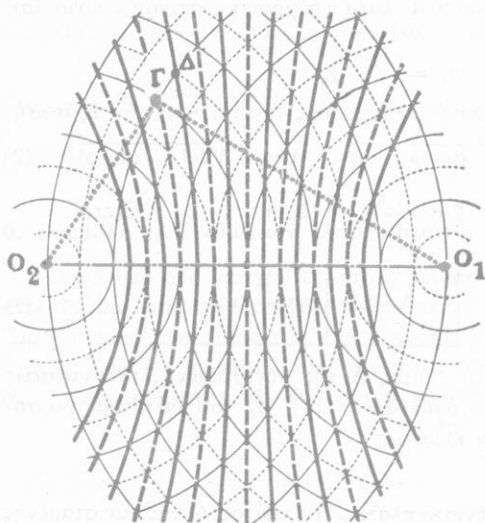
Γιὰ $\kappa = 1, 2, 3, \dots$ ἡ ἐξίσωση (4) ἀντιστοιχεῖ στὰ σημεῖα πού βρίσκονται πάνω σέ *τόξα ὑπερβολῶν*, οἱ ὁποῖες ἔχουν ὡς ἐστίες τίς δύο σύγχρονες πηγές τῶν κυμάτων O_1 καὶ O_2 .

β. Σημεῖα πού μένουν ἀκίνητα. Τὸ πλάτος A τῆς συνισταμένης ταλαντώσεως εἶναι ἴσο μὲ μηδέν, $A = 0$, ὅταν εἶναι

$$\text{συν} \frac{\pi}{\lambda} (d_1 - d_2) = 0 \quad \text{ἄρα} \quad \frac{\pi}{\lambda} (d_1 - d_2) = (2\kappa + 1) \frac{\pi}{2}$$

δηλαδή ὅταν εἶναι

$$\boxed{d_1 - d_2 = (2\kappa + 1) \cdot \frac{\lambda}{2}} \quad (5)$$



Σχ. 26. Έρμηνεία του σχηματισμού των κροσσών συμβολής.

Γιά $\kappa = 0, 1, 2, 3 \dots$
 ή εξίσωση (5) αντιστοιχεί
 σε σημεία που βρίσκο-
 νται πάνω σε τόξα υπερ-
 βολών, οι οποίες έχουν ως
 έστιες τις δύο σύγχρονες
 πηγές των κυμάτων.

Από τις εξισώσεις (4) και
 (5) συνάγεται το ακόλουθο
 γενικό συμπέρασμα :

Τό πλάτος της συνιστα-
 μένης ταλαντώσεως :

- είναι μέγιστο στά
 σημεία που ή δια-
 φορά των αποστά-
 σεών τους από τις
 δύο πηγές των κυ-
 μάτων είναι ίση με

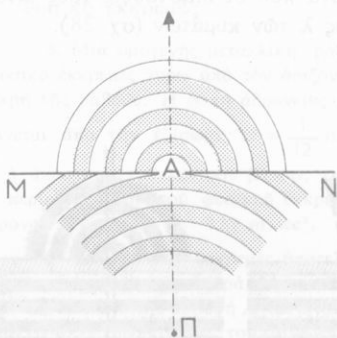
μηδέν ή είναι ίση με άκεραιο αριθμό μηκών κύματος·

- είναι ίσο με μηδέν στά σημεία που ή διαφορά των αποστάσεων τους από τις δύο πηγές των κυμάτων είναι ίση με περιττό αριθμό ήμικυμάτων·
- τά σημεία που κινούνται με μέγιστο πλάτος ή μένουν ακίνητα βρίσκονται πάνω σε τόξα υπερβολών, τά όποια σχηματίζουν τους κροσσούς συμβολής.

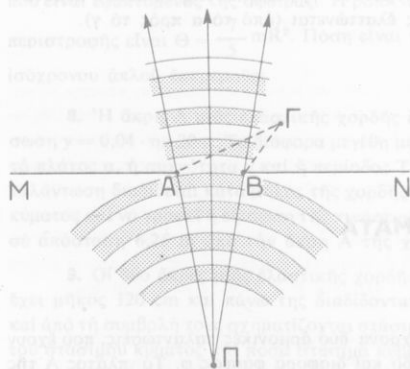
Όλα τά άλλα ενδιάμεσα σημεία κινούνται με διαφορετικά πλάτη A που είναι $0 < A < 2a$.

11. Περίθλαση των κυμάτων ελαστικότητας

Η άρχή του Huygens έρμηνεύει τό φαινόμενο της περιθλάσεως των κυμάτων, που συμβαίνει όταν τά κύματα πέφτουν πάνω σε μικρά ανοίγματα ή αντικείμενα που οι διαστάσεις τους είναι της τάξεως του μήκους κύ-



Σχ. 27. Τό στενό άνοιγμα A προκαλεί περίθλαση των σφαιρικών κυμάτων.



Σχ. 27α Τό μεγάλο άνοιγμα δέν προκαλεί περίθλαση των κυμάτων.

καί BN του διαφράγματος δέν γίνεται διάδοση των κυμάτων. Σ' αυτή τήν περίπτωση πίσω από τό διάφραγμα τά κύματα διαδίδονται εὐθύγραμμα. Τό ἴδιο φαινόμενο παρατηρεῖται καί όταν τά κύματα πέφτουν πάνω σέ ἀντικείμενα πού οἱ διαστάσεις τους εἶναι πολύ μεγαλύτερες ἀπό τό μήκος κύματος λ των κυμάτων.

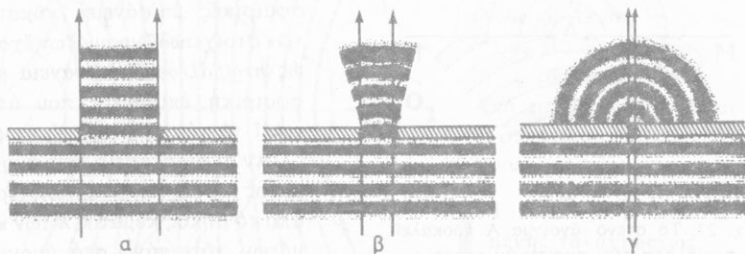
Ὡστε ἡ ἀρχή του Huygens ἐρμηνεύει τήν περίθλαση των κυμάτων πού συμβαίνει, όταν τά κύματα πέφτουν πάνω σέ μικρά ἀνοίγματα ἢ ἀντικείμενα, καθώς καί τήν εὐθύγραμμη διάδοση των κυμάτων, όταν τά κύματα

ματος λ των κυμάτων (σχ. 27). Τότε τά σημεῖα του ἀνοίγματος ἢ του ἀντικείμενου γίνονται πηγές πού ἐκπέμπουν στοιχειώδη κύματα καί σέ κάθε στιγμή οἱ σφαιρικές ἐπιφάνειες κύματος των στοιχειωδών κυμάτων ἔχουν ὡς περιβάλλουσα ἐπιφάνεια μία σφαιρική ἐπιφάνεια πού ἀποτελεῖ τό νέο μέτωπο κύματος.

Ἄν οἱ διαστάσεις του ἀνοίγματος εἶναι πολύ μεγαλύτερες ἀπό τό μήκος κύματος λ των κυμάτων, τότε πάνω στό ἀνοιγμα πέφτει μία ἀποκλίνουσα δέσμη ἀκτίνων ΑΠΒ (σχ.27α). Τότε σέ ἕνα σημεῖο Γ, πού βρίσκεται ἔξω ἀπό τή δέσμη των ἀκτίνων, φτάνουν στοιχειώδη κύματα πού προέρχονται ἀπό ὅλα τά σημεῖα πού ὑπάρχουν μεταξύ των σημείων Α καί Β. Αὐτά τά στοιχειώδη κύματα διατρέχουν ἀνίσους δρόμους καί ἐπομένως φτάνουν στό σημεῖο Γ μέ ὅλες τίς δυνατές φάσεις. Ἀπό τή συμβολή αὐτῶν των κυμάτων προκύπτει σχεδόν τέλεια κατάργηση τῆς κινήσεως στό σημεῖο Γ.

Ἔτσι πίσω ἀπό τά τμήματα ΑΜ

πέφτουν πάνω σε ανοίγματα ή άντικείμενα που οι διαστάσεις τους είναι πολύ μεγαλύτερες από το μήκος κύματος λ των κυμάτων (σχ. 28).



Σχ. 28. Σχηματική παράσταση του φαινομένου της περιθλάσεως επίπεδων κυμάτων από σχισμή, όταν το πλάτος της ελαττώνεται (από το α προς το γ).

ΠΡΟΒΛΗΜΑΤΑ

Σύνθεση ταλαντώσεων

1. Ένα υλικό σημείο εκτελεί ταυτόχρονα δύο αρμονικές ταλαντώσεις, που έχουν το ίδιο πλάτος $a = 10$ cm, την ίδια περίοδο και διαφορά φάσεως φ . Το πλάτος A της συνισταμένης ταλαντώσεως δίνεται από την εξίσωση $A = 2a \cdot \sin \frac{\varphi}{2}$. 1) Να βρεθούν οι τιμές που παίρνει το πλάτος A της συνισταμένης ταλαντώσεως, όταν η διαφορά φάσεως φ παίρνει τις τιμές 0 , $\pi/2$, $2\pi/3$ και π . 2) Για ποιά τιμή του φ το πλάτος A της συνισταμένης ταλαντώσεως είναι ίσο με $a/\sqrt{3}$;

2. Δύο αρμονικές ταλαντώσεις έχουν την ίδια περίοδο και αντίστοιχο πλάτος $a = 2$ cm και $\beta = 3$ cm. Η διαφορά φάσεως είναι $\varphi = 60^\circ$. Πόσο είναι το πλάτος της συνισταμένης ταλαντώσεως;

3. Δύο αρμονικές ταλαντώσεις έχουν την ίδια περίοδο και αντίστοιχο πλάτος $a = 3$ cm και $\beta = 5$ cm. Η συνισταμένη ταλάντωση έχει πλάτος $A = 6$ cm. Πόση είναι η διαφορά φάσεως μεταξύ των δύο συνιστωσών κινήσεων;

4. Ένα απλό εκκρεμές έχει μήκος $l = 60$ cm και βρίσκεται σε έναν τόπο, όπου είναι $g = 980$ cm/sec². Πόση είναι η συχνότητα που διεγείρει το εκκρεμές, ώστε να υπάρχει συντονισμός;

Φυσικό έκκρεμές

5. Μιά όμογενής μεταλλική ράβδος έχει μήκος $L = 90$ cm και αιωρείται ως φυσικό έκκρεμές γύρω από τον οριζόντιο άξονα που απέχει 15 cm από την άνωτερη άκρη της ράβδου. 'Η ροπή αδράνειας Θ της ράβδου ως προς τον άξονα περιστροφής δίνεται από την εξίσωση: $\Theta = \frac{1}{12} mL^2 + m\delta^2$, όπου m είναι ή μάζα της ράβδου και δ ή απόσταση του κέντρου βάρους της από τον άξονα περιστροφής. 1) Πόση είναι ή περίοδος αυτού του φυσικού έκκρεμοϋς; 2) Πόσο είναι τό μήκος του άπλου ισόχρονου έκκρεμοϋς; $g = 9,81$ m/sec².

6. Ένα φυσικό έκκρεμές αποτελείται από ισόπλευρο τρίγωνο ΑΒΓ, που έχει άσημαντή μάζα και πλευρά 10 cm. Τό έκκρεμές αιωρείται γύρω από οριζόντιο άξονα που περνάει από την κορυφή Α και είναι κάθετος στό επίπεδο του τριγώνου. Σέ καθεμία από τίς άλλες δύο κορυφές του τριγώνου είναι στερεωμένη μία μάζα m . Πόση είναι ή περίοδος; Πόσο είναι τό μήκος του ισόχρονου άπλου έκκρεμοϋς;

7. Μιά σφαίρα έχει μάζα m , ακτίνα R και αιωρείται γύρω από οριζόντιο άξονα, που είναι έφαπτόμενος της σφαίρας. 'Η ροπή αδράνειας Θ της σφαίρας ως προς τον άξονα περιστροφής είναι $\Theta = \frac{7}{5} mR^2$. Πόση είναι ή περίοδος και πόσο είναι τό μήκος του ισόχρονου άπλου έκκρεμοϋς;

8. 'Η άκρη Α μιās ελαστικής χορδής εκτελεί άρμονική ταλάντωση, που έχει εξίσωση $y = 0,04 \cdot \eta\mu 20\pi t$. Τά διάφορα μεγέθη μετριοϋνται σέ μονάδες MKS. 1) Νά βρεθοϋν τό πλάτος a , ή συχνότητα ν και ή περίοδος T της κινήσεως της άκρης της χορδής. 2) 'Η ταλάντωση διαδίδεται κατά μήκος της χορδής μέ ταχύτητα 25 m/sec. Νά βρεθεί τό μήκος κύματος και νά γραφεί ή εξίσωση της κινήσεως ενός σημείου Μ της χορδής, που βρίσκεται σέ απόσταση 6,25 m από την άκρη Α της χορδής.

9. Οί δύο άκρες μιās ελαστικής χορδής ΑΒ είναι σταθερά στερεωμένες. 'Η χορδή έχει μήκος 120 cm και πάνω της διαδίδονται κύματα που έχουν μήκος κύματος 40 cm και από τή συμβολή τους σχηματίζονται στάσιμα εγκάρσια κύματα. 1) Πόσο είναι τό μήκος του στάσιμου κύματος και πόσα στάσιμα κύματα σχηματίζονται πάνω στη χορδή; 2) Νά σημειωθοϋν οί αποστάσεις των κοιλιών από την άκρη Α της χορδής.

10. 'Η άκρη Α μιās ελαστικής χορδής είναι σταθερά στερεωμένη, ενώ ή άλλη άκρη της Β είναι ελεύθερη. 'Η χορδή έχει μήκος 90 cm και πάνω της σχηματίζονται στάσιμα εγκάρσια κύματα. Τό μήκος κύματος είναι 40 cm. 1) Πόσα στάσιμα κύματα σχηματίζονται; 2) Νά σημειωθοϋν οί αποστάσεις των κοιλιών από την άκρη Α της χορδής.

11. Ένα διαπασών εκτελεί ταλαντώσεις, που έχουν συχνότητα $\nu = 120$ Hz, και δημιουργεί στην επιφάνεια ενός υγρού δύο σύγχρονες πηγές O_1 και O_2 εγκάρσιων κυμάτων, που διαδίδονται μέ ταχύτητα $c = 48$ cm/sec. Τό πλάτος ταλαντώσεως των μορίων του υγρού είναι $a = 5$ mm και υποθέτοϋμε ότι δέν υπάρχουν άπώλειες ενέργειας. 1) Πόσο είναι τό πλάτος Α της ταλαντώσεως σέ ένα σημείο Β της επιφάνειας του υγρού, που οί αποστάσεις του από τίς δύο πηγές των κυμάτων είναι $O_1B = 8$ cm και $O_2B = 6$ cm; 2) Πόσο είναι τό πλάτος Α της ταλαντώσεως σέ ένα άλλο σημείο Γ, που οί αποστάσεις του από τίς δύο πηγές των κυμάτων είναι $O_1\Gamma = 10$ cm και $O_2\Gamma = 7$ cm;

12. Στις δύο άκρες ενός γραμμικού ελαστικού μέσου, που έχει μήκος 6 m, δύο πηγές O_1 και O_2 κατά τη χρονική στιγμή $t = 0$ αρχίζουν να εκτελούν ταλαντώσεις με συχνότητα $\nu = 5$ Hz και πλάτος $a = 3$ mm. 1) Σέ ποιές χρονικές στιγμές t_1 και t_2 φτάνουν τα δύο εγκάρσια κύματα σέ ένα σημείο B, που ή απόστασή του από τήν πηγή O_1 είναι $O_1B = 80$ cm; 2) Πόσο είναι τό πλάτος τής ταλαντώσεως στό σημείο B και πόσο σέ ένα άλλο σημείο Γ, που ή απόστασή του από τήν πηγή O_1 είναι $O_1\Gamma = 2,50$ m; 'Η ταχύτητα διαδόσεως τών κυμάτων είναι $c = 2$ m/sec.

13. Ένα ευθύγραμμο σύρμα έχει μήκος $L = 60$ cm και μάζα $m = 150$ gr. Τό σύρμα εκτελεί αιωρήσεις γύρω από όριζόντιό άξονα O που περνάει από τήν πάνω άκρη του σύρματος. Νά βρεθεί ή περίοδος T του εκκρεμους και ή απόσταση l του κέντρου αιωρήσεως από τόν άξονα O . Ροπή αδράνειας ως προς τόν άξονα O : $\Theta = \frac{1}{3} mL^2$.
 $g = 9,80$ m/sec².

14. Μιά όμογενής μεταλλική ράβδος έχει μήκος $L = 1$ m και εκτελεί αιωρήσεις γύρω από όριζόντιό άξονα O που απέχει 15 cm από τήν άνωτερη άκρη τής ράβδου. Νά βρεθεί ή περίοδος T του εκκρεμους και νά προσδιοριστεί ό δεύτερος όριζόντιος άξονας O' , όταν ή ράβδος χρησιμοποιείται ως αντίστροφο εκκρεμές. Ροπή αδράνειας τής ράβδου ως προς όριζόντιό άξονα που περνάει από τό κέντρο βάρους: $\Theta = \frac{1}{12} mL^2$.
 $g = 9,80$ m/sec².

15. Μιά μεταλλική κυκλική στεφάνη έχει ακτίνα $R = 10$ cm μάζα m , κέντρο K και κρέμεται από νήμα $OAK\Gamma$ (όπου A και Γ είναι οι άκρες μιάς διαμέτρου και είναι $OK = \beta = 50$ cm). 'Η στεφάνη αιωρείται πάνω στό κατακόρυφο επίπεδο τής Π γύρω από όριζόντιό άξονα που περνάει από τήν άκρη O του νήματος και είναι κάθετος στό επίπεδο Π . 'Η μάζα του νήματος είναι άσήμαντη. 1) Νά βρεθεί ή περίοδος T του εκκρεμους και νά δειχτεί ότι μεταξύ τών σημειών K και Γ ύπάρχει ένα σημείο O' τέτοιο, ώστε ή στεφάνη μπορεί νά εκτελεί αιωρήσεις μέ τήν ίδια περίοδο, όταν αιωρείται γύρω από όριζόντιό άξονα που περνάει από τό σημείο O' . 2) Νά εκφραστεί τό μήκος l του ισόχρονου άπλου εκκρεμους σέ συνάρτηση μέ τά μεγέθη $\beta = OK$ και $\beta' = O'K$. $g = 9,80$ m/sec².

16. Πάνω στην ελεύθερη επιφάνεια υγρού διαδίδονται κύματα μέ ταχύτητα $c = 100$ cm/sec. Τά κύματα θεωρούνται σαν κύματα ελαστικότητας και παράγονται από δύο σύγχρονες πηγές κυμάτων O_1 και O_2 που ή απόστασή τους είναι $O_1O_2 = 6$ cm και εκτελούν άμείωτες ταλαντώσεις μέ συχνότητα $\nu = 200$ Hz και πλάτος $a = 2$ mm. Νά βρεθεί τό πλάτος A τής ταλαντώσεως σέ ένα σημείο Δ που ή απόστασή του από τήν πηγή O_1 είναι $O_1\Delta = d_1 = 10$ cm και ή απόστασή του από τήν πηγή O_2 είναι ή κάθετος $O_2\Delta = d_2$.

17. Δύο σύγχρονες πηγές κυμάτων παράγουν στην ελεύθερη επιφάνεια υγρού κύματα που διαδίδονται μέ ταχύτητα $c = 52,8$ cm/sec. 'Η συχνότητα τών ταλαντώσεων που εκτελούν οι δύο πηγές είναι $\nu = 100$ Hz. Ένα σημείο B βρίσκεται πάνω στην ευθεία O_1O_2 και ή απόστασή του από τήν πηγή O_1 είναι $O_1B = 3$ cm. Ένα σημείο Γ βρίσκεται πάνω στην ευθεία ΓB που είναι κάθετη στην απόσταση O_1O_2 τών δύο πηγών και είναι $\Gamma B = 4$ cm. Δίνεται ότι στό σημείο Γ τό πλάτος ταλαντώσεως είναι μέγιστο, γιατί είναι $O_1\Gamma - O_2\Gamma = \lambda$. Πόση είναι ή απόσταση O_1O_2 τών δύο πηγών; $(4,472)^2 = 20$.

18. Δύο σύγχρονες πηγές O_1 και O_2 , που εκτελούν ταλαντώσεις συχνότητας $\nu = 100$ Hz και πλάτους $a = 1$ mm, δημιουργούν πάνω στην επιφάνεια υγρού κύματα που διαδίδονται με ταχύτητα $c = 100$ cm/sec. 'Η απόσταση των δύο πηγών είναι $O_1O_2 = 5$ cm. Νά βρεθεί το πλάτος A της ταλαντώσεως σε ένα σημείο Γ που απέχει $d_1 = 10$ cm από την πηγή O_1 και ή απόσταση $d_2 = O_2\Gamma$ είναι κάθετη στην απόσταση O_1O_2 των δύο πηγών.

19. Δύο σύγχρονες πηγές κυμάτων O_1 και O_2 παράγουν στην επιφάνεια υγρού κύματα. 'Η συχνότητα των δύο πηγών είναι $\nu = 116$ Hz. Ένα σημείο Γ βρίσκεται πάνω σε έναν κροσσό A και διατηρείται ακίνητο. Οι αποστάσεις του Γ από τις πηγές O_1 και O_2 έχουν διαφορά $d_1 - d_2 = 1,07$ cm. Ένα άλλο σημείο Γ' που διατηρείται και αυτό ακίνητο βρίσκεται πάνω σε έναν κροσσό B που είναι ο δωδέκατος κροσσός μετά τον A και προς την ίδια πλευρά του συστήματος των κροσσών. Οι αποστάσεις του Γ' από τις πηγές O_1 και O_2 έχουν διαφορά $d_1' - d_2' = 2,03$ cm. Νά βρεθούν το μήκος κύματος λ και ή ταχύτητα c διαδόσεως των κυμάτων.

ΑΚΟΥΣΤΙΚΗ

Φαινόμενο Doppler

12. Φαινόμενο Doppler

Όταν ο παρατηρητής Α είναι ακίνητος και η ήχητική πηγή Π είναι και αυτή ακίνητη, τότε η απόσταση μεταξύ του παρατηρητή και της ήχητικής πηγής διατηρείται σταθερή. Σ' αυτή την περίπτωση ο παρατηρητής κατά δευτερόλεπτο δέχεται τόσα κύματα, όσα κύματα εκπέμπει κατά δευτερόλεπτο η ήχητική πηγή. Έπομένως τα ήχητικά κύματα που φθάνουν στον παρατηρητή αναγκάζουν το τύμπανο του αυτιού του να εκτελεί κατά δευτερόλεπτο τόσες ταλαντώσεις, όσες εκτελεί κατά δευτερόλεπτο η ήχητική πηγή. Όσπε, όταν η απόσταση μεταξύ του παρατηρητή και της ήχητικής πηγής διατηρείται σταθερή, η συχνότητα (ν) του ήχου που ακούει ο παρατηρητής διατηρείται σταθερή.

Όταν όμως η απόσταση μεταξύ του παρατηρητή και της ήχητικής πηγής μεταβάλλεται, τότε μεταβάλλεται και η συχνότητα του ήχου που ακούει ο παρατηρητής. Αυτή η μεταβολή της συχνότητας του ήχου αποτελεί τό φαινόμενο Doppler.

Θά εξετάσουμε τή μερική περίπτωση που ο παρατηρητής Α και η ήχητική πηγή έχουν *εθύγραμμη όμαλή κίνηση*. Οί ταχύτητες του παρατηρητή Α και της ήχητικής πηγής Π (σχ. 29) σχετικά μέ τόν άέρα είναι αντίστοιχα u_A και u_P και είναι θετικές. Η ταχύτητα του ήχου στον άέρα είναι c και είναι σταθερή, γιατί εξαρτάται μόνο από τίς ιδιότητες του άέρα και είναι πάντοτε θετική. Ως αρχή τών χρόνων ($t = 0$) παίρνουμε τή χρονική στιγμή που η ήχητική πηγή βρίσκεται στή θέση Β. Τή χρονική στιγμή t η ήχητική πηγή βρίσκεται στή θέση Γ και τά κύματα που έφυγαν από τήν πηγή στήν αρχή τών χρόνων ($t = 0$) έχουν διαδοθει sé απόσταση $BE = BA = c \cdot t$. Έτσι στή χρονική στιγμή t τό μέτωπο κύματος είναι μία σφαιρική επιφάνεια που έχει ακτίνα $c \cdot t$ και ισχύουν οί έξής έξισώσεις:

$$BG = u_{II} \cdot t \quad EG = EB + BG = c \cdot t + u_{II} \cdot t = (c + u_{II})t$$

$$GD = BA - BG = c \cdot t - u_{II} \cdot t = (c - u_{II})t$$

Οι ταχύτητες του παρατηρητή v_A και της ήχητικής πηγής v_{Π} σχετικά με τον αέρα είναι *θετικές*, όταν έχουν φορά από τον παρατηρητή Α προς την ήχητική πηγή Π.

Οι διάφορες περιπτώσεις της σχετικής κινήσεως του παρατηρητή και της ήχητικής πηγής βρίσκονται εύκολα από την εξίσωση (1), αν τηρηθεί ή παραπάνω σύμβαση ως προς τα σημεία των ταχυτήτων v_A και v_{Π} . Έτσι το φαινόμενο Doppler μπορεί να διατυπωθεί γενικά ως εξής :

“Όταν ο παρατηρητής Α και η ήχητική πηγή Π κινούνται πάνω στην ίδια ευθεία με αντίστοιχες ταχύτητες v_A και v_{Π} , τότε ο παρατηρητής ακούει έναν ήχο που έχει φαινομενική συχνότητα ν , η οποία δίνεται από την εξίσωση :

$$\text{φαινόμενο Doppler} \quad \frac{\nu}{c \pm v_A} = \frac{\nu_{\Pi}}{c \pm v_{\Pi}} \quad (2)$$

Το φαινόμενο Doppler είναι *γενικό* και παρατηρείται σε κάθε περίπτωση που *διαδίδονται κύματα* (ήχητικά, ηλεκτρομαγνητικά).

Το φαινόμενο Doppler γίνεται αισθητό, όταν διασταυρώνονται δύο αντίθετα κινούμενα αυτοκίνητα και τότε ένα από αυτά παράγει με τό βομβητή του ήχο. Επίσης γίνεται αισθητό, όταν πλησιάζει ή απομακρύνεται από μās μιά μηχανή σιδηροδρόμου που σφυρίζει.

Μερική περίπτωση. Όταν η ήχητική πηγή ή ο παρατηρητής είναι *ακίνητος* ($v_{\Pi} = 0$ ή $v_A = 0$), από την εξίσωση (2) βρίσκουμε τις σχέσεις που αναφέρονται στον παρακάτω πίνακα.

Ήχητική πηγή	Παρατηρητής	Φαινομενική συχνότητα
ακίνητη, $v_{\Pi} = 0$	πλησιάζει	$\nu = \nu_{\Pi} \cdot \frac{c + v_A}{c}$ $\nu > \nu_{\Pi}$
ακίνητη, $v_{\Pi} = 0$	απομακρύνεται	$\nu = \nu_{\Pi} \cdot \frac{c - v_A}{c}$ $\nu < \nu_{\Pi}$
πλησιάζει	ακίνητος, $v_A = 0$	$\nu = \nu_{\Pi} \cdot \frac{c}{c - v_{\Pi}}$ $\nu > \nu_{\Pi}$
απομακρύνεται	ακίνητος $v_A = 0$	$\nu = \nu_{\Pi} \cdot \frac{c}{c + v_{\Pi}}$ $\nu < \nu_{\Pi}$

Παράδειγμα. Σέ ένα σημείο εὐθύγραμμης σιδηροδρομικῆς γραμμῆς βρίσκεται ἀκίνητος ἕνας παρατηρητής. Μιά μηχανή σιδηροδρόμου πλησιάζει πρὸς τόν παρατηρητή μέ ταχύτητα $v_{\Pi} = 20 \text{ m/sec}$, ἐνῶ ταυτόχρονα σφυρίζει. Ὁ παραγόμενος ἤχος ἔχει συχνότητα $\nu_{\Pi} = 1044 \text{ Hz}$. Ἡ ταχύτητα τοῦ ἤχου στόν ἀέρα εἶναι $c = 340 \text{ m/sec}$. Τότε ὁ παρατηρητής ἀκούει ἤχο πού ἔχει συχνότητα:

$$\nu = \nu_{\Pi} \cdot \frac{c}{c - v_{\Pi}} = 1044 \text{ Hz} \cdot \frac{340 \text{ m/sec}}{(340 - 20) \text{ m/sec}} \quad \text{καί} \quad \nu = 1109 \text{ Hz}$$

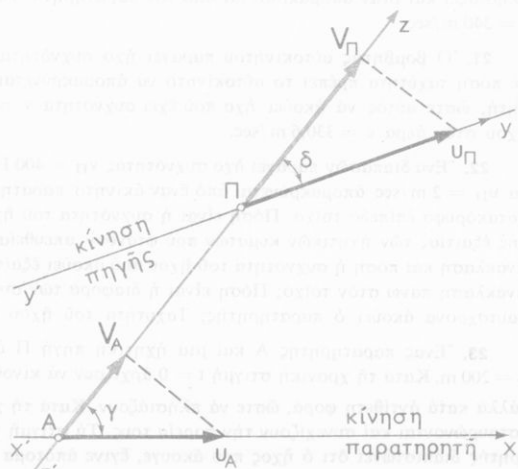
Ὡστε ὁ παρατηρητής ἀκούει ἕναν ἤχο *ψηλότερο* ἀπό τόν πραγματικό ἤχο.

Ὅταν ἡ μηχανή προσπεράσει τόν παρατηρητή καί ἀπομακρύνεται ἀπό αὐτόν, τότε ὁ παρατηρητής ἀκούει ἤχο πού ἔχει συχνότητα:

$$\nu = \nu_{\Pi} \cdot \frac{c}{c + v_{\Pi}} = 1044 \text{ Hz} \cdot \frac{340 \text{ m/sec}}{(340 + 20) \text{ m/sec}} \quad \text{καί} \quad \nu = 986 \text{ Hz}$$

Ὁ παρατηρητής ἀκούει ἕναν ἤχο *βαρύτερο* ἀπό τόν πραγματικό ἤχο.

α. Κίνηση τοῦ παρατηρητῆ καί τῆς ἠχητικῆς πηγῆς κατά διαφορετικές διευθύνσεις. Θεωροῦμε ὅτι ὁ ἀέρας εἶναι ἀκίνητος καί ὅτι οἱ διευθύνσεις $x'x$ καί $y'y$ τῆς κινήσεως τοῦ παρατηρητῆ Α καί τῆς ἠχητικῆς πηγῆς Π σχηματίζουν μεταξὺ τους γωνία $(\sigma\chi. 30)$. Σ' αὐτή τήν περίπτωση ἀποδεικνύεται ὅτι ἰσχύει πάλι ἡ ἐξίσωση (2) μέ τή διαφορά ὅτι ἀντὶ γιά τίς ταχύτητες v_A καί v_{Π} τοῦ παρατηρητῆ Α καί τῆς ἠχητικῆς πηγῆς Π θά λάβουμε τίς ἀντίστοιχες προβολές V_A καί V_{Π} τῶν δύο ταχυτήτων v_A καί v_{Π} πάνω στή διεύθυνση $z'z$.



β. Ἐφαρμογές τοῦ φαινομένου Doppler. Στό φαινόμενο Doppler ἡ φαινομενική μεταβολή $\Delta\nu$ τῆς συχνότητας

Σχ. 30. Οἱ διευθύνσεις τῆς κινήσεως τοῦ παρατηρητῆ Α καί τῆς ἠχητικῆς πηγῆς Π σχηματίζουν γωνία. Ὁ ἀέρας θεωρεῖται ἀκίνητος.

των κυμάτων, που εκπέμπει μία κινούμενη πηγή κυμάτων, είναι ανάλογη με την ταχύτητα v_{Π} της πηγής. Σ' αυτή την άρχη στηρίζεται ή λειτουργία διατάξεων με τις οποίες μπορεί να γίνει με ακρίβεια *αυτόματη μέτρηση* της στιγμιαίας ταχύτητας των αυτοκινήτων καθώς και *ή αυτόματη ρύθμιση* της κυκλοφορίας οχημάτων. Αυτές οι διατάξεις είναι ειδικά ραντάρ στα όποια χρησιμοποιούνται ηλεκτρομαγνητικά κύματα πολύ μεγάλης συχνότητας. Άνάλογες πολύ άνθεκτικές διατάξεις, που βασίζονται στο φαινόμενο Doppler, χρησιμοποιούνται στη σιδηρουργική βιομηχανία για τον έλεγχο των μεταλλικών προϊόντων που παράγονται. Η Άστρονομία με βάση το φαινόμενο Doppler εξετάζει την κίνηση όρισμένων άπλανων σχετικά με τη Γη.

ΠΡΟΒΛΗΜΑΤΑ

20. Μία μηχανή σιδηροδρόμου κινείται με ταχύτητα $v_{\Pi} = 72 \text{ km/h}$ και ταυτόχρονα σφυρίζει παράγοντας έναν ήχο συχνότητας $\nu_{\Pi} = 3000 \text{ Hz}$. Νά βρεθεί πόσος είναι ο λόγος των συχνότητων των δύο ήχων που άκουει ένας άκίνητος παρατηρητής, όταν ή μηχανή πλησιάζει και όταν άπομακρύνεται από τον παρατηρητή. Ταχύτητα του ήχου στον άέρα $c = 340 \text{ m/sec}$.

21. Ό βομβητής αυτοκινήτου παράγει ήχο συχνότητας $\nu_{\Pi} = 2096 \text{ Hz}$. Νά βρεθεί με πόση ταχύτητα πρέπει το αυτοκίνητο να άπομακρύνεται από έναν άκίνητο παρατηρητή, ώστε αυτός να άκουει ήχο που έχει συχνότητα $\nu = (15/16) \cdot \nu_{\Pi}$. Ταχύτητα του ήχου στον άέρα $c = 330,6 \text{ m/sec}$.

22. Ένα διαπασών παράγει ήχο συχνότητας $\nu_{\Pi} = 400 \text{ Hz}$ και κινούμενο με ταχύτητα $v_{\Pi} = 2 \text{ m/sec}$ άπομακρύνεται από έναν άκίνητο παρατηρητή και πλησιάζει σε έναν κατακόρυφο επίπεδο τοίχο. Πόση είναι ή συχνότητα του ήχου που άκουει ό παρατηρητής εξαιτίας των ήχητικών κυμάτων που φτάνουν άπειθείας σ' αυτόν χωρίς να πάθουν άνάκλαση και πόση ή συχνότητα του ήχου που άκουει εξαιτίας των κυμάτων που έπαθαν άνάκλαση πάνω στον τοίχο; Πόση είναι ή διαφορά των συχνότητων των δύο ήχων που ταυτόχρονα άκουει ό παρατηρητής; Ταχύτητα του ήχου στον άέρα $c = 335 \text{ m/sec}$.

23. Ένας παρατηρητής Α και μία ήχητική πηγή Β άρχικά άπέχουν μεταξύ τους $s = 200 \text{ m}$. Κατά τη χρονική στιγμή $t = 0$ άρχίζουν να κινούνται εθύγραμμα και όμαλά, αλλά κατά αντίθετη φορά, ώστε να πλησιάζουν. Κατά τη χρονική στιγμή $t = 5 \text{ sec}$ διασταυρώνονται και συνεχίζουν την πορεία τους. Τή στιγμή της διασταυρώσεως ό παρατηρητής διαπιστώνει ότι ό ήχος που άκουγε, έγινε άπότομα βαρύτερος και ότι οι συχνότητες των δύο ήχων έχουν λόγο 209/273. Η ταχύτητα του ήχου στον άέρα είναι $c = 300 \text{ m/sec}$. Νά βρεθούν οι ταχύτητες του παρατηρητή και της πηγής.

24. Ένας παρατηρητής βρίσκεται σε άπόσταση $s = 1237,5 \text{ m}$ από μία ήχητική πηγή. Ό παρατηρητής κινείται προς την άκίνητη πηγή και διαπιστώνει ότι ή συχνότητα του ήχου που άκουει αξάνει άνάλογα με τό χρόνο και όταν φτάσει στην πηγή βρίσκει ότι

ο λόγος των συχνοτήτων του ήχου που άκουγε και του πραγματικού ήχου που παράγει η πηγή είναι $3/2$. Νά προσδιοριστεί το είδος της κινήσεως του παρατηρητή και νά βρεθεί πόσο χρόνο t χρειάστηκε ο παρατηρητής, για νά διανύσει το διάστημα s . Ταχύτητα του ήχου στον άερα $c = 330$ m/sec.

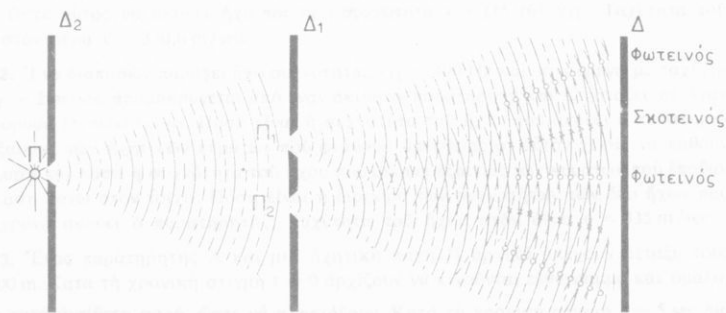
25. Ένα διαπασών που παράγει ήχο συχνότητας $\nu_{\Pi} = 435$ Hz αφήνεται νά πέσει κατακόρυφα χωρίς άρχική ταχύτητα. Ένας παρατηρητής βρίσκεται πάνω στην ίδια κατακόρυφο με το διαπασών και σε απόσταση $s = 80$ m κάτω από το σημείο από το οποίο ξεκίνησε το διαπασών. Νά βρεθεί η συχνότητα του ήχου που άκουει ο παρατηρητής : α) δύο δευτερόλεπτα προτού περάσει το διαπασών από μπροστά του και β) δύο δευτερόλεπτα μετά τη διεύλωση του διαπασών από μπροστά του. Ταχύτητα του ήχου στον άερα $c = 340$ m/sec. $g = 10$ m/sec².

ΟΠΤΙΚΗ

13. Συμβολή του φωτός

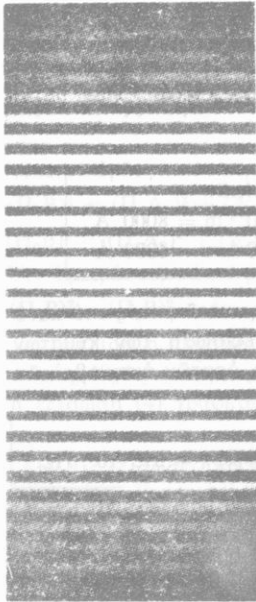
Τό φαινόμενο *της συμβολής του φωτός* τό παρατηρούμε μέ τή διάταξη πού δίχνει τό σχήμα 31 (*σχισμές του Young*). Τό *μονοχρωματικό φώς* μιās ισχυρής φωτεινής πηγής περνάει από μιά λεπτή σχισμή Π και πέφτει πάνω σ' ένα διάφραγμα Δ₁. Αυτό έχει δύο πολύ λεπτές σχισμές Π₁ και Π₂ πού είναι παράλληλες μέ τή σχισμή Π. Ή απόσταση μεταξύ τών δύο σχισμών Π₁ και Π₂ είναι πολύ μικρή. Τότε οί *σχισμές Π₁ και Π₂* είναι *δύο σύγχρονες φωτεινές πηγές*, δηλαδή είναι δύο σύγχρονα κέντρα παραγωγής *φωτεινών κυμάτων*. Τά δύο κύματα φτάνουν στό διάφραγμα Δ και από τή συμβολή τους σχηματίζονται πάνω στό διάφραγμα *κροσσοί συμβολής*, δηλαδή *διαδοχικές φωτεινές και σκοτεινές ραβδώσεις* (σχ.31α).

Ή σχηματισμός τών κροσσών συμβολής εξηγείται εύκολα (σχ.32).

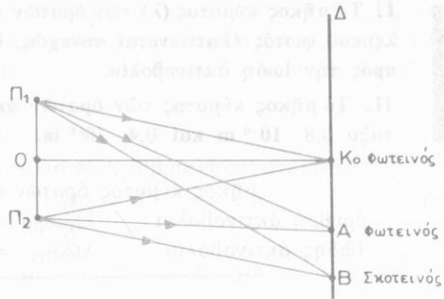


Σχ. 31. Διάταξη για τήν παραγωγή του φαινομένου της συμβολής (σχισμές του Young).

(*) Συμπληρώνοντας τις αντιλήψεις μας για τή φύση του φωτός αναφέρουμε εδώ και τά φωτόνια, ώστε νά είναι γνωστά κατά τήν εξέταση άλλων φαινομένων (άκτινες Röntgen, φωτοηλεκτρικό φαινόμενο).



Σχ.31α. Κροσσοί συμβολής.



Σχ. 32 'Ο σχηματισμός φωτεινού ή σκοτεινού κροσσοῦ εξαρτάται από τή διαφορά τῶν δρόμων τῶν δύο κυμάτων.

Σέ ὅσα σημεία τοῦ διαφράγματος (ὅπως π.χ. τό σημείο Α) ἡ διαφορά δρόμου τῶν δύο κυμάτων ($d = \Pi_1A - \Pi_2A$) εἶναι ἴση μέ ἀκέραιο ἀριθμό κυμάτων, οἱ δύο ταλαντώσεις φτάνουν μέ συμφωνία φάσεως καί ἐπομένως ἡ συνισταμένη ταλάντωση ἔχει μέγιστο πλάτος. Ἄρα σ' αὐτά τά σημεία σχηματίζονται *φωτεινοί κροσσοί*.

Ἐναντίονα σέ ὅσα σημεία τοῦ διαφράγματος (ὅπως π.χ. τό σημείο Β) ἡ διαφορά δρόμου τῶν δύο κυμάτων ($d = \Pi_1B - \Pi_2B$) εἶναι ἴση μέ περιττό ἀριθμό ἡμικυμάτων, οἱ δύο ταλαντώσεις φτάνουν μέ ἀντίθετη φάση καί ἐπομένως ἡ συνισταμένη ταλάντωση ἔχει πλάτος ἴσο μέ μηδέν. Ἄρα σ' αὐτά τά σημεία σχηματίζονται *σκοτεινοί κροσσοί*. Ὡστε σχηματίζονται :

φωτεινοί κροσσοί, ὅταν εἶναι

$$d = \kappa \cdot \lambda$$

σκοτεινοί κροσσοί, ὅταν εἶναι

$$d = (2\kappa + 1) \cdot \frac{\lambda}{2}$$

α. Μήκος κύματος τῶν ὁρατῶν ἀκτινοβολιῶν. Ἄπό τό φαινόμενο τῆς συμβολῆς τοῦ φωτός μετρήσαμε τό μήκος κύματος (λ) τῶν ὁρατῶν ἀκτινοβολιῶν καί καταλήξαμε στά ἑξῆς συμπεράσματα:

I. Τό μήκος κύματος (λ) των όρατων ακτινοβολιών του φάσματος του λευκού φωτός ελαττώνεται συνεχώς, όσο προχωρούμε από την έρυθρή προς την ιώδη ακτινοβολία.

II. Τό μήκος κύματος των όρατων ακτινοβολιών περιλαμβάνεται μεταξύ $0,8 \cdot 10^{-6} \text{ m}$ και $0,4 \cdot 10^{-6} \text{ m}$.

μήκος κύματος όρατων ακτινοβολιών

έρυθρη ακτινοβολία : $\lambda_{\text{έρυθρη}} = 0,8 \cdot 10^{-6} \text{ m} = 8000 \text{ \AA}$

ιώδης ακτινοβολία : $\lambda_{\text{ιώδης}} = 0,4 \cdot 10^{-6} \text{ m} = 4000 \text{ \AA}$

Συχνότητα των όρατων ακτινοβολιών. Ή ταχύτητα του φωτός στο κενό ή στον αέρα είναι $c = 3 \cdot 10^8 \text{ m/sec}$. Από την εξίσωση των κυμάτων $c = \nu \cdot \lambda$ βρίσκουμε ότι η συχνότητα των ακραίων όρατων ακτινοβολιών είναι:

$$\nu_{\text{έρυθρη}} = \frac{c}{\lambda} = \frac{3 \cdot 10^8 \text{ m/sec}}{0,8 \cdot 10^{-6} \text{ m}}$$

και

$$\nu_{\text{έρυθρη}} = 375 \cdot 10^{12} \text{ Hz}$$

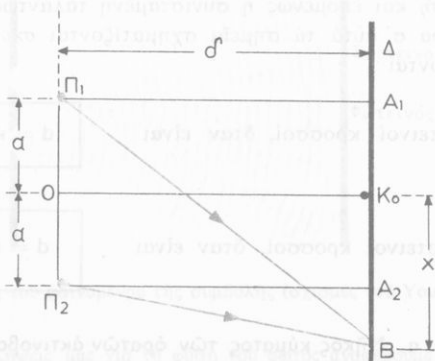
$$\nu_{\text{ιώδης}} = \frac{c}{\lambda} = \frac{3 \cdot 10^8 \text{ m/sec}}{0,4 \cdot 10^{-6} \text{ m}}$$

και

$$750 \cdot 10^{12} \text{ Hz}$$

Όστε η συχνότητα των όρατων ακτινοβολιών ... φάσματος του λευκού φωτός *αξάνει συνεχώς*, όσο προχωρούμε από την έρυθρή προς την ιώδη ακτινοβολία.

β. Υπολογισμός του μήκους κύματος. Στην προηγούμενη διάταξη που χρησιμοποιήσαμε για την παρατήρηση των κροσσών συμβολής, ή απόσταση μεταξύ των δύο σχισμών είναι $\Pi_1 \Pi_2 = 2a$ (σχ. 33) και η απόσταση κάθε φωτεινής πηγής από τό διάφραγμα είναι δ ($\Pi_1 A_1 = \Pi_2 A_2 = OK_0 = \delta$). Στο σημείο K_0 σχηματίζεται ο *κεντρικός φωτεινός κροσσός*, γιατί οι δρόμοι $\Pi_1 K_0$ και $\Pi_2 K_0$ των δύο κυμάτων είναι ίσοι και επομένως οι δύο ταλαντώσεις φτάνουν με διαφορά φάσεως ίση με μηδέν. Ή μο-



Σχ. 33. Για τη μέτρηση του μήκους κύματος λ μιας ακτινοβολίας.

νοχρωματική ακτινοβολία που εκπέμπουν οι δύο φωτεινές πηγές Π_1 και Π_2 έχει μήκος κύματος λ . Σε ένα σημείο Β του διαφράγματος σχηματίζεται φωτεινός κροσσός, γιατί η διαφορά δρόμου d των δύο κυμάτων είναι ίση με άκραιο αριθμό κ κυμάτων, δηλαδή είναι :

$$d = \Pi_1 B - \Pi_2 B = \kappa \cdot \lambda \quad (1)$$

Από τα ορθογώνια τρίγωνα $\Pi_1 A_1 B$ και $\Pi_2 A_2 B$ βρίσκουμε ότι είναι:

$$(\Pi_1 B)^2 = (\Pi_1 A_1)^2 + (A_1 B)^2 \quad \text{ή} \quad (\Pi_1 B)^2 = \delta^2 + (x + a)^2 \quad (2)$$

$$(\Pi_2 B)^2 = (\Pi_2 A_2)^2 + (A_2 B)^2 \quad \text{ή} \quad (\Pi_2 B)^2 = \delta^2 + (x - a)^2 \quad (3)$$

Αν αφαιρέσουμε κατά μέλη τις εξισώσεις (2) και (3), έχουμε:

$$(\Pi_1 B)^2 - (\Pi_2 B)^2 = 4a \cdot x \quad \text{ή} \quad (\Pi_1 B + \Pi_2 B) \cdot (\Pi_1 B - \Pi_2 B) = 4a \cdot x \quad (4)$$

Επειδή η απόσταση $OK_0 = \delta$ είναι πολύ μεγάλη σχετικά με την απόσταση $K_0 A_2 = a$, μπορούμε να λάβουμε $\Pi_1 B + \Pi_2 B = 2\delta$ και έπομένως η εξίσωση (4) γράφεται:

$$2\delta \cdot d = 4a \cdot x \quad (5)$$

Από τις εξισώσεις (1) και (5) βρίσκουμε ότι το μήκος κύματος (λ) της μονοχρωματικής ακτινοβολίας είναι:

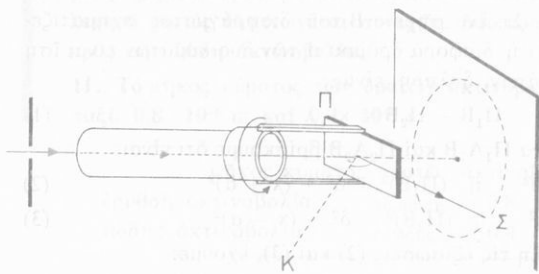
$$\text{μήκος κύματος} \quad \lambda = \frac{2a \cdot x}{\kappa \cdot \delta} \quad (6)$$

Τό κ φανερώνει τον αύξοντα αριθμό του φωτεινού κροσσού (στόν κεντρικό φωτεινό κροσσό αντιστοιχεί $\kappa = 0$) και τό x φανερώνει την απόσταση του κ τάξεως φωτεινού κροσσού από τον κεντρικό φωτεινό κροσσό. Ωστε τά μεγέθη που είναι στό δεύτερο μέλος της εξίσωσης (6) μπορούν νά μετρηθούν μέ ακρίβεια και έτσι μπορούμε νά υπολογίσουμε τό μήκος κύματος λ .

14. Πόλωση του φωτός

α. Συμμετρία από περιστροφή του φυσικού φωτός. Τό φώς, που προέρχεται από μιá φωτεινή πηγή, αν δέν έχει πάθει ανάκλαση ή διάθλαση, ονομάζεται *φυσικό φώς*. Μιά γυάλινη πλάκα Π , που ή μιá επιφάνειά της έχει σκεπαστεί μέ ένα στρώμα καπνιάς (αιθάλης) χρησιμοποιείται ως καθρέφτης¹. Αφήνουμε νά πέσει πλάγια πάνω στόν καθρέφτη Π μιá άκτίνα

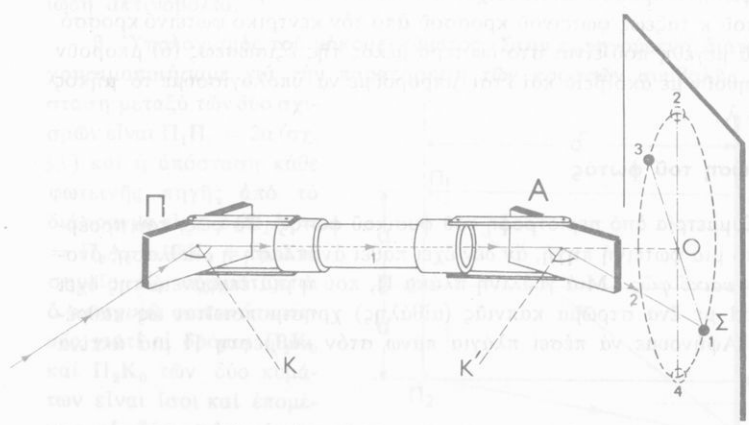
¹ Η δέσμη φωτός, που πέφτει στην πλάκα Π δίνει μιá ανακλώμενη δέσμη και μιá διαθλώμενη δέσμη που απορροφάται από τό στρώμα της καπνιάς.



Σχ. 34. 'Ο φωτισμός της κηλίδας Σ δέ μεταβάλλεται.

διατηρώντας όμως σταθερή τή γωνία προσπτώσεως. Τότε καί ἡ γωνία ἀνακλάσεως διατηρεῖται σταθερή. Ἡ ἀνακλώμενη ἀκτίνα διαγράφει ἐπιφάνεια κώνου καί ἡ φωτεινή κηλίδα Σ διαγράφει ἕναν κύκλο πού ἔχει κέντρο τό σημεῖο Ο. Παρατηροῦμε ὅτι ὁ φωτισμός τῆς κηλίδας Σ δέ μεταβάλλεται, ὅταν γίνεται αὐτή ἡ περιστροφή. Ἀπό τό παραπάνω πείραμα βγά- ζουμε τό ἐξῆς συμπέρασμα:

Τό φυσικό φῶς ἔχει ἀπόλυτη συμμετρία ἀπό περιστροφή γύρω ἀπό τήν ἀκτίνα ἢ ὁποία τό μεταφέρει.



Σχ. 35. 'Ο φωτισμός τῆς κηλίδας I περιοδικά μεταβάλλεται μεταξύ ἑνός μέγιστου καί ἑνός ἐλάχιστου.

β. Πόλωση του φωτός από ανάκλαση. Ἀφήνουμε τώρα νά πέσει πάνω στόν καθρέφτη Π ἡ ἀκτίνα φυσικοῦ φωτός μέ γωνία προσπτώσεως 57° . Ἡ ἀνακλώμενη ἀκτίνα 1 πέφτει μέ τήν ἴδια γωνία προσπτώσεως 57° πάνω σέ ὁμοία πλάκα Α (σχ. 35). Ἀρχικά οἱ δύο καθρέφτες Π καί Α εἶναι παράλληλοι καί τά δύο ἐπίπεδα προσπτώσεως συμπίπτουν. Περιστρέφουμε τόν καθρέφτη Α γύρω ἀπό τήν ἀκτίνα 1, πού τήν παίρνουμε ὡς ἄξονα, διατηρώντας ὅμως σταθερή τή γωνία προσπτώσεως. Ἡ ἀνακλώμενη ἀκτίνα 2 διαγράφει πάλι ἐπιφάνεια κώνου καί ἡ φωτεινὴ κηλίδα Σ διαγράφει μιά περιφέρεια πού ἔχει κέντρο τό σημεῖο Ο. Παρατηροῦμε ὅτι σ' αὐτή τήν περίπτωση ὁ φωτισμός τῆς κηλίδας Σ δέ διατηρεῖται σταθερός. Ὁ φωτισμός τῆς κηλίδας Σ:

— εἶναι μέγιστος, ὅταν τά δύο ἐπίπεδα προσπτώσεως συμπίπτουν (θέσεις τῆς κηλίδας 1 καί 3)

— εἶναι ἴσος μέ μηδέν, ὅταν τά δύο ἐπίπεδα προσπτώσεως εἶναι κάθετα μεταξύ τους (θέσεις τῆς κηλίδας 2 καί 4).

Ἀπό τό πείραμα αὐτό συνάγεται ὅτι ἡ ἀκτίνα 1, πού προκύπτει ἀπό τήν ἀνάκλαση τοῦ φυσικοῦ φωτός, δέν ἔχει τίς ἴδιες ιδιότητες μέ τήν ἀκτίνα τοῦ φυσικοῦ φωτός, γιατί ἡ ἀνακλώμενη ἀκτίνα 1 μπορεῖ νά καταργηθεῖ τελείως μέ μιά δευτέρη ἀνάκλαση. Τότε λέμε ὅτι ἡ ἀνακλώμενη ἀκτίνα 1 εἶναι ἀκτίνα πολωμένου φωτός. Ἡ ὀρισμένη γωνία (57°), μέ τήν ὁποία πρέπει νά πέσει ἡ ἀκτίνα τοῦ φυσικοῦ φωτός πάνω στόν καθρέφτη Π, γιά νά πάθει πόλωση, ὀνομάζεται γωνία ὀλικῆς πολώσεως. Ὁ πρῶτος καθρέφτης Π πού προκαλεῖ τήν πόλωση, ὀνομάζεται πολωτής, ἐνῶ ὁ δεύτερος καθρέφτης Α ὀνομάζεται ἀναλύτης.

Ἄν ἡ ἀκτίνα τοῦ φυσικοῦ φωτός πέσει πάνω στόν πολωτή Π μέ γωνία διαφορετική ἀπό τή γωνία ὀλικῆς πολώσεως, τότε παρατηροῦμε ὅτι ἡ ἀνακλώμενη ἀκτίνα 1 δέν μπορεῖ νά καταργηθεῖ τελείως μέ μιά δευτέρη ἀνάκλασή της πάνω στόν ἀναλύτη Α. Κατά μιά δλόκληρη στροφή τοῦ ἀναλύτη Α ὁ φωτισμός τῆς κηλίδας Σ λαβαίνει δύο μέγιστες καί δύο ἐλάχιστες τιμές, ἀλλά ποτέ δέν μηδενίζεται. Σ' αὐτή τήν περίπτωση λέμε ὅτι ἡ ἀνακλώμενη ἀκτίνα 1 εἶναι μερικὰ πολωμένη. Ὡστε:

I. Ὄταν τό φυσικό φῶς ἀνακλᾶται, συμβαίνει ὀλική ἢ μερική πόλωση τοῦ φωτός.

II. Στό ὀλικὰ πολωμένο φῶς ἔχει καταργηθεῖ ἡ συμμετρία ἀπό περιστροφή γύρω ἀπό τήν ἀκτίνα ἢ ὁποία τό μεταφέρει.

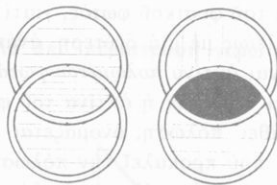
III. Τό ὀλικὰ πολωμένο φῶς μπορεῖ νά καταργηθεῖ τελείως μέ μιά δευτέρη ἀνάκλαση, ὅταν τά δύο ἐπίπεδα προσπτώσεως εἶναι κάθετα μεταξύ τους καί ἡ δευτέρη γωνία προσπτώσεως εἶναι ἴση μέ τή γωνία ὀλικῆς πολώσεως.

γ. Πόλωση του φωτός από διάθλαση. Πάνω σε μία γυάλινη πλάκα αφήνουμε να πέσει μία λεπτή δέσμη φυσικού φωτός υπό γωνία προσπτώσεως ίση με τη γωνία όλικης πολώσεως. Τότε ένα μέρος (τά 8%) του φωτός ανακλάται και είναι *ολικά πολωμένο*. Το υπόλοιπο μέρος (92%) του φωτός διαθλάται. Μέ έναν αναλύτη βρίσκουμε ότι το διαθλώμενο φως είναι *μερικά πολωμένο*. Ωστε με τό πείραμα βρίσκουμε ότι:

■ **Τό φυσικό φως κατά τή διάθλαση παθαίνει μόνο μερική πόλωση.**

Σημείωση. Με διάθλαση μπορούμε να πετύχουμε όλική πόλωση του φυσικού φωτός, αν χρησιμοποιήσουμε μία δέσμη από 10 ως 20 επάλληλες πλάκες.

δ. Polaroid. Γιά τήν εύκολη παραγωγή πολωμένου φωτός χρησιμοποιούμε ένα τεχνητά παρασκευαζόμενο σωμα που ονομάζεται *polaroid* (πολωτικό σωμα). Τό polaroid αποτελείται από ένα λεπτό διαφανές στρώμα ζελατίνας που πάνω του υπάρχουν πάρα πολλοί μικρότατοι κρύσταλλοι μίας ουσίας που λέγεται έραπαθίτης (είναι ένωση της κινίνης). Τό polaroid τοποθετείται άναμεσα σε δύο λεπτές γυάλινες πλάκες. Αύτη ή διάταξη αποτελεί έναν *πολωτή*. Μιά άλλη όμοια διάταξη μπορεί να χρησιμοποιηθεί ως *αναλύτης* (σχ. 36). Τά polaroid χρησιμοποιούνται σε πολλές έφαρμογές (όταν θέλουμε να μετριάσουμε τήν ένταση του φωτός που μπαίνει στό μάτι μας, σε φωτογραφικά φίλτρα, σε όπτικά όργανα, σε *pare-brise* κ.ά.).



Σχ. 36 Δίσκοι polaroid.

ΠΡΟΒΛΗΜΑΤΑ

69. Στο πείραμα της συμβολής του φωτός με τίς σχισμές του Young βρίσκουμε ότι τό μήκος κύματος λ της άκτινοβολίας δίνεται από τήν εξίσωση:

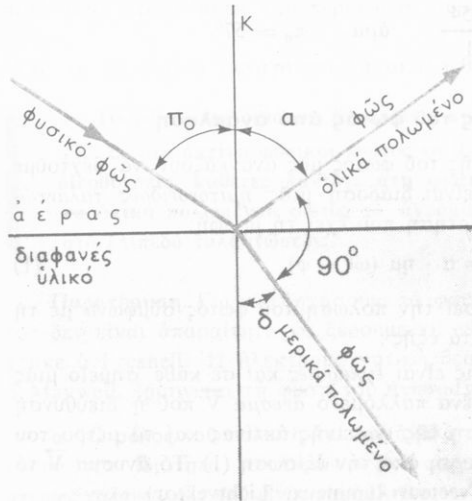
$$\lambda = \frac{2a \cdot x}{\kappa \cdot d}$$

όπου $2a$ είναι ή απόσταση μεταξύ των δύο φωτεινών πηγών (δηλαδή των σχισμών), d ή απόσταση των φωτεινών πηγών από τό διάφραγμα, x ή απόσταση του κ τάξεως φωτεινού κροσσού από τόν κεντρικό φωτεινό κροσσό K . Σε ένα τέτοιο πείραμα είναι $2a = 4 \text{ mm}$ και $d = 60 \text{ cm}$. 1) 'Η έρυθρή άκτινοβολία που χρησιμοποιούμε έχει μήκος κύματος $\lambda_2 = 4 \cdot 10^{-4} \text{ m}$. Πόση είναι ή απόσταση x_2 του πρώτου φωτεινού κροσσού από τόν κεντρικό φωτεινό κροσσό K ; 2) Πόση είναι ή απόσταση x_1 του πρώτου φωτεινού κροσσού, αν χρησιμοποιήσουμε ίώδη άκτινοβολία, που έχει μήκος κύματος $\lambda_1 = 8 \cdot 10^{-4} \text{ m}$:

70. Σε ένα πείραμα με τίς σχισμές του Young είναι $2a = 2 \text{ mm}$ και $d = 1 \text{ m}$. 'Η απόσταση δύο διαδοχικών φωτεινών κροσσών είναι $e = 0,34 \text{ mm}$. Πόσο είναι τό μήκος κύματος λ της άκτινοβολίας;

15. Όλική πόλωση του φωτός. Νόμος του Brewster

Μέ το πείραμα βρήκαμε ότι κατά την ανάκλαση του φυσικού φωτός πάνω σε όλα τα σώματα και με οποιαδήποτε γωνία προσπτώσεως πάντοτε συμβαίνει μερική πόλωση του φωτός.



Σχ. 37. Όλική πόλωση του φωτός από ανάκλαση.

Πειραματικά αποδείχτηκε ότι όλική πόλωση του φωτός συμβαίνει, μόνο όταν το φυσικό φως ανακλάται πάνω σε διαφανή υλικά και η γωνία προσπτώσεως π_0 έχει τέτοια τιμή, ώστε η ανακλώμενη και η διαθλώμενη ακτίνα να είναι κάθετες μεταξύ τους (σχ. 37). Η ανακλώμενη ακτίνα είναι ολικά πολωμένη, ενώ η διαθλώμενη ακτίνα είναι μερικά πολωμένη. Σ' αυτή την περίπτωση αν n είναι ο δείκτης διαθλάσεως του διαφανούς υλικού σχετικά με τον αέρα, τότε ισχύει η σχέση:

$$n = \frac{\eta \mu \pi_0}{\eta \mu \delta} \quad \eta \quad n = \frac{\eta \mu \pi_0}{\eta \mu (90^\circ - \pi_0)} = \frac{\eta \mu \pi_0}{\text{συν } \pi_0}$$

Άρα $\epsilon\phi \pi_0 = n$

Γενικότερα για την όλική πόλωση του φωτός από ανάκλαση ισχύει ο ακόλουθος νόμος του Brewster:

"Όταν το φυσικό φως που διαδίδεται σε ένα μέσο με δείκτη διαθλάσεως n_1 , πάθει ανάκλαση πάνω σε διαφανές υλικό που έχει δείκτη διαθλάσεως n_2 , τότε το ανακλώμενο φως είναι ολικά πολωμένο, αν για τη γωνία προσπτώσεως (π_0) ισχύει η εξίσωση:

νόμος του Brewster $\epsilon\phi \pi_0 = \frac{n_2}{n_1}$

Η γωνία π_0 ονομάζεται γωνία ολικής της πόλωσης.

Μιά γυάλινη πλάκα, πού ἔχει δείκτη διαθλάσεως $n_2 = 1,54$, βρίσκεται μέσα στὸν ἀέρα ($n_1 = 1$). Πάνω στὴν πλάκα πέφτει μιά ἀκτίνα φυσικοῦ φωτός. Σ' αὐτὴ τὴν περίπτωση γιὰ τὴ γωνία ὀλικῆς πολώσεως ἰσχύει ἡ σχέση:

$$\varepsilon\varphi \pi_0 = \frac{1,54}{1} \quad \text{ἄρα} \quad \pi_0 \simeq 57^\circ$$

16. Ἐξήγηση τῆς πολώσεως τοῦ φωτός ἀπὸ ἀνάκλαση

Τὰ φαινόμενα τῆς συμβολῆς τοῦ φωτός μᾶς ἀναγκάζουν νὰ δεχτοῦμε ὅτι μιά φωτεινὴ ἀκτινοβολία εἶναι διάδοση μιᾶς ἡμιτονοειδοῦς ταλαντώσεως, πού ἐκφράζεται μὲ συνάρτηση πού ἔχει τὴ μορφή:

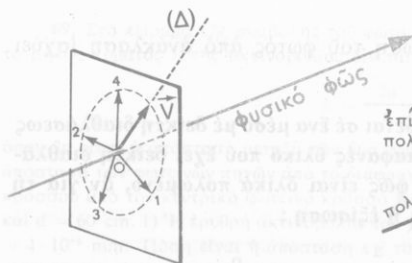
$$V = a \cdot \eta\mu(\omega t + \varphi) \quad (1)$$

Ὁ Fresnel, γιὰ νὰ ἐξηγήσει τὴν πόλωση τοῦ φωτός σύμφωνα μὲ τὴ θεωρία τῶν κυμάτων, δέχτηκε τὰ ἐξῆς:

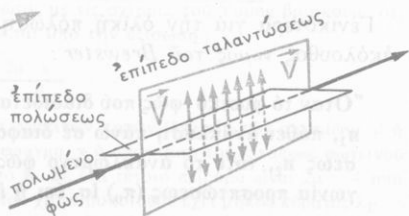
1. Οἱ φωτεινὲς ταλαντώσεις εἶναι ἐγκάρσιες καὶ σὲ κάθε σημεῖο μιᾶς φωτεινῆς ἀκτίνας ἀντιστοιχεῖ ἓνα παλλόμενο ἄνυσμα \vec{V} πού ἡ διεύθυνσή του εἶναι κάθετη στὴ διεύθυνση τῆς φωτεινῆς ἀκτίνας καὶ τὸ μέτρο του V δίνεται σὲ κάθε χρονικὴ στιγμή ἀπὸ τὴν ἐξίσωση (1). Τὸ ἄνυσμα \vec{V} τὸ ὀνομάζουμε φωτεινὸ ἄνυσμα (vecteur lumineux, Lichtvektor).

2. Κατὰ μῆκος μιᾶς ἀκτίνας φυσικοῦ φωτός ἡ διεύθυνση (Δ) τοῦ ἀνύσματος \vec{V} δὲν εἶναι ὀρισμένη. Αὐτὸ σημαίνει ὅτι σὲ ἓνα σημεῖο O τῆς φωτεινῆς ἀκτίνας (σχ. 38) ἡ διεύθυνση τοῦ ἀνύσματος \vec{V} μπορεῖ νὰ ἔχει ὀποιοδήποτε προσανατολισμὸ (1, 2, 3, 4, ...).

3. Κατὰ μῆκος μιᾶς ἀκτίνας ὀλικά πολωμένου φωτός τὸ ἄνυσμα \vec{V} βρίσκεται πάνω σὲ ἓνα ὀρισμένο ἐπίπεδο πού ὀνομάζεται ἐπίπεδο ταλα-



Σχ. 38. Σὲ μιά ἀκτίνα φυσικοῦ φωτός τὸ ἄνυσμα \vec{V} ἔχει ὀποιοδήποτε προσανατολισμὸ.



Σχ. 39. Σὲ μιά ἀκτίνα ὀλικά πολωμένου φωτός τὸ ἄνυσμα \vec{V} βρίσκεται πάντοτε πάνω στὸ ἐπίπεδο ταλαντώσεως.

ντώσεως (σχ. 39). Το επίπεδο αυτό είναι κάθετο στο επίπεδο προσπτώσεως, πού ονομάζεται *επίπεδο πολώσεως*.

Σέ μιá άκτίνα όλικά πολωμένου φωτός τό άνυσμα \vec{V} είναι παράλληλο μέ μιá όρισμένη διεύθυνση πού είναι κάθετη στή φωτεινή άκτίνα καί γι' αυτό λέμε ότι σ' αυτή τήν περίπτωση συμβαίνει *γραμμική πόλωση του φωτός*.

Από τά παραπάνω συνάγονται τά ακόλουθα συμπεράσματα:

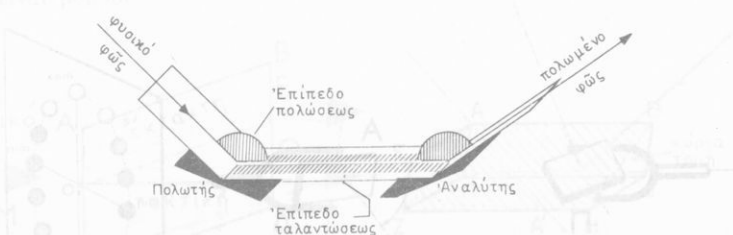
I. Τό φώς είναι διάδοση εγκάρσιων κυμάτων.

II. Σέ μιá άκτίνα φυσικού φωτός τό άνυσμα \vec{V} έχει όλες τίς δυνατές διευθύνσεις, κάθετες πάντοτε στή φωτεινή άκτίνα, ενώ σέ μιá άκτίνα όλικά πολωμένου φωτός τό άνυσμα \vec{V} βρίσκεται πάντοτε πάνω στό επίπεδο ταλαντώσεως.

Παρατήρηση. Για νά εξηγήσουμε τό φαινόμενο τής πολώσεως του φωτός δέν είναι άπαραίτητο νά ξέρουμε τή φύση του άνύσματος \vec{V} πού δέχτηκε ό Fresnell. Η ηλεκτρομαγνητική θεωρία, πού άργότερα διατύπωσε ό Maxwell, έρμηνεύει τή φύση του άνύσματος \vec{V} .

α. Ό ρόλος του πολωτή καί του άναλύτη. Ό πολωτής καί ό άναλύτης έχουν τήν ιδιότητα νά *αναλύουν* μιá φωτεινή ταλάντωση σέ δύο *συνιστώσες ταλαντώσεις* πού είναι παράλληλες μέ δύο σταθερές διευθύνσεις καί επιτρέπουν νά συνεχιστεί ή διάδοση *μόνο τής μιás* από τίς συνιστώσες ταλαντώσεις.

Κατά τήν πόλωση του φυσικού φωτός από άνάκλαση ή επιτρεπόμενη διεύθυνση ταλαντώσεως είναι μόνο εκείνη πού είναι κάθετη στό επίπεδο



Σχ. 40). Τό επίπεδο ταλαντώσεως είναι κάθετο στό επίπεδο προσπτώσεως (επίπεδο πολώσεως).

προσπτώσεως (σχ. 40). Έτσι, όταν τά επίπεδα προσπτώσεως του πολωτή καί του άναλύτη συμπίπτουν, ό άναλύτης δίνει άνακλώμενη άκτίνα του πολωμένου φωτός.

Όταν πάνω στον αναλύτη πέφτει ολικά πολωμένο φως και η διεύθυνση της ταλαντώσεως είναι π.χ. η Oz (σχ. 41), τότε ο αναλύτης αναλύει την προσπίπτουσα ταλάντωση σε δύο συνιστώσες ταλαντώσεις που έχουν διευθύνσεις την Ox και την Oy. Έστω ότι ο αναλύτης επιτρέπει να συνεχιστεί ή διάδοση μόνο εκείνης της ταλαντώσεως που έχει διεύθυνση την Ox. Οι διευθύνσεις Oz και Ox σχηματίζουν μεταξύ τους γωνία ϕ . Το φως που πέφτει πάνω στον αναλύτη έχει ένταση I_0 και το πλάτος της φωτεινής ταλαντώσεως είναι a . Τότε εκείνη η ταλάντωση, που ο αναλύτης επιτρέπει να συνεχιστεί ή διάδοσή της, έχει πλάτος:

$$\beta = a \cdot \text{συν } \phi$$

Σχ. 41. Ανάλυση της φωτεινής ταλαντώσεως σε δύο κάθετες μεταξύ τους συνιστώσες ταλαντώσεις.

Είναι γνωστό ότι η ένταση της ταλαντώσεως είναι ανάλογη με το τετράγωνο του πλάτους της ταλαντώσεως. Η ένταση του φωτός που πέφτει πάνω στον αναλύτη, δηλαδή η ένταση του φωτός κατά τη διεύθυνση ταλαντώσεως Oz, είναι:

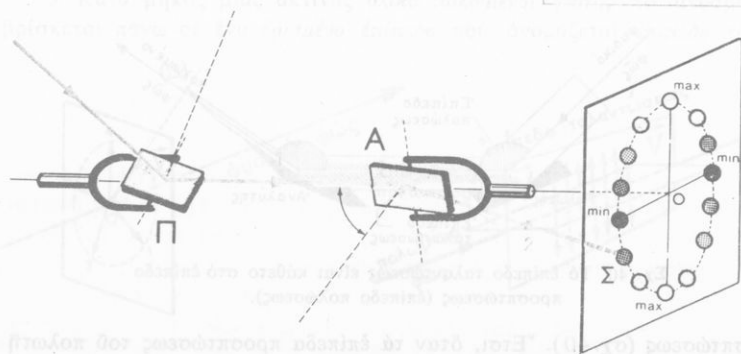
$$I_0 = k \cdot a^2$$

Η ένταση I του φωτός, που επιτρέπει ο αναλύτης να συνεχιστεί ή διάδοσή του, δηλαδή η ένταση του φωτός κατά τη διεύθυνση ταλαντώσεως Ox, είναι:

$$I = k \cdot \beta^2$$

Άρα είναι:

$$I = k \cdot (a \cdot \text{συν } \phi)^2 = k \cdot a^2 \cdot \text{συν}^2 \phi \quad \text{καί} \quad I = I_0 \cdot \text{συν}^2 \phi$$



Σχ. 42. Πειραματική απόδειξη του νόμου του Malus.

Ἡ τελευταία ἐξίσωση ἐκφράζει τὸν ἀκόλουθο νόμο τοῦ Malus :

Ἡ ἔνταση (I) τοῦ πολωμένου φωτός πού προέρχεται ἀπὸ τὸν ἀναλύτη εἶναι ἀνάλογη μὲ τὸ τετράγωνο τοῦ συνημιτόνου τῆς γωνίας (φ) πού σχηματίζουν μεταξύ τους τὰ δύο ἐπίπεδα ταλαντώσεως (ἐπομένως καὶ τὰ ἐπίπεδα προσπτώσεως).

Ὁ νόμος τοῦ Malus ἐπαληθεύεται καὶ πειραματικά, ἂν μὲ τὸ φωτοκῦτταρο παρακολουθήσουμε τὴ μεταβολή τοῦ φωτισμοῦ τῆς κηλίδας Σ κατὰ τὴν περιστροφή τοῦ ἀναλύτη (σχ. 42).

17. Ὀπτικῶς ἰσότροπα καὶ ἀνισότροπα ὑλικά

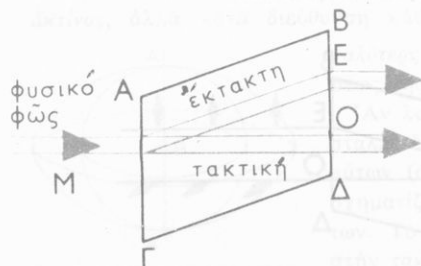
Γενικά ὀνομάζουμε ἰσότροπα τὰ ὑλικά πού ἔχουν τὶς ἴδιες φυσικὲς ἰδιότητες πρὸς ὅλες τὶς διευθύνσεις. Ἡ Κρυσταλλογραφία κατατάσσει ὅλους τοὺς κρυστάλλους σὲ ἑπτὰ κρυσταλλικὰ συστήματα (κυβικὸ, τριγωνικὸ, τετραγωνικὸ, ἑξαγωνικὸ, ρομβικὸ, μονοκλινές, τρικλινές). Μὲ τὸ πείραμα βρήκαμε ὅτι:

I. Ὅλα τὰ ἄμορφα ὑλικά καὶ οἱ κρύσταλλοι τοῦ κυβικοῦ συστήματος εἶναι ὀπτικῶς ἰσότροπα.

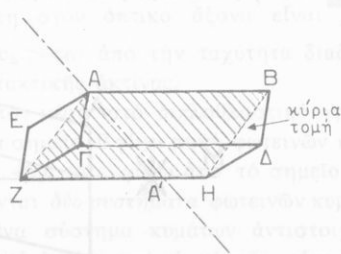
II. Οἱ κρύσταλλοι ὄλων τῶν ἄλλων κρυσταλλικῶν συστημάτων (ἐκτός ἀπὸ τὸ κυβικὸ σύστημα) εἶναι ὀπτικῶς ἀνισότροπα ὑλικά.

18. Διπλὴ διάθλαση τοῦ φωτός

Μιά ποικιλία τοῦ ἀσβεστίτη, CaCO_3 , εἶναι ὁ ἰσλανδικὸς κρύσταλλος. Αὐτὸς κρυσταλλώνεται κατὰ τὸ τριγωνικὸ σύστημα, εἶναι διαφανὴς καὶ σχίζεται εὐκόλα δίνοντας ἓνα πλάγιο παραλληλεπίπεδο πού οἱ ἑξὶ ἕδρες του εἶναι ρόμβοι.



Σχ. 43. Διπλὴ διάθλαση τοῦ φωτός.
(Ο τακτικὴ ἀκτίνα, Ε ἑκτακτὴ ἀκτίνα)



Σχ. 44. Ὀπτικὸς ἄξονας (AA') καὶ κύρια τομὴ (ABHZ).

Όταν πάνω στή μιά ἔδρα τοῦ κρυστάλλου πέσει κάθετα μιά ἀκτίνα φυσικοῦ φωτός (στήν πραγματικότητα μιά πολύ λεπτή δέσμη φωτεινῶν ἀκτίνων), τότε ἀπό τήν ἀπέναντι ἔδρα τοῦ κρυστάλλου βγαίνουν δύο παραλλήλες φωτεινές ἀκτίνες (σχ. 43), ἡ ἀκτίνα Ο (τακτική ἀκτίνα) κατὰ τήν προέκταση τῆς προσπίπτουσας καί ἡ ἀκτίνα Ε (ἔκτακτη ἀκτίνα). Αὐτός ὁ διχασμός τῆς προσπίπτουσας ἀκτίνας σέ δύο διαθλώμενες ἀκτίνες ὀνομάζεται διπλή διάθλαση τοῦ φωτός καί ὁ ἰσλανδικός κρύσταλλος λέμε ὅτι εἶναι ἓνα διπλοθλαστικό σῶμα. Ἡ διπλή διάθλαση συμβαίνει καί ὅταν ἡ προσπίπτουσα ἀκτίνα δέν εἶναι κάθετη στήν ἔδρα τοῦ κρυστάλλου.

Ἐκτός ἀπό τόν ἰσλανδικό κρύσταλλο ἄλλα συνηθισμένα διπλοθλαστικά σῶματα εἶναι ὁ χαλαζίας, ὁ μαρμαρυγίας, τό τοπάζιο κ.ἄ.

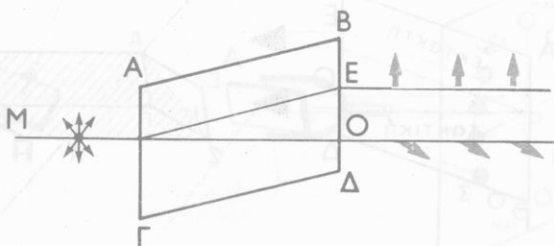
Σημείωση. Τά σύμβολα Ο καί Ε προέρχονται ἀπό τίς λέξεις : Ordinary καί Extraordinary.

Ὀπτικός ἄξονας τοῦ κρυστάλλου καί κύρια τομή. Στόν κρύσταλλο τοῦ ἰσλανδικοῦ κρυστάλλου ὑπάρχει μιά διεύθυνση ΑΑ' (ἄξονας συμμετρίας τοῦ κρυστάλλου) πού ὀνομάζεται *οπτικός ἄξονας* (σχ.44). Ὅταν ἡ φωτεινή ἀκτίνα, πού πέφτει πάνω στόν κρύσταλλο, ἔχει τή διεύθυνση τοῦ οπτικοῦ ἄξονα, τότε ἡ φωτεινή ἀκτίνα βγαίνει ἀπό τόν κρύσταλλο *χωρίς νά πάθει διπλή διάθλαση*.

Κάθε ἐπίπεδο πού περνάει ἀπό τόν κύριο ἄξονα ἢ εἶναι παράλληλο μέ αὐτόν ὀνομάζεται *κύρια τομή* τοῦ κρυστάλλου (ἡ γραμμοσκιασμένη ἐπιφάνεια ΑΒΗΖ στό σχῆμα).

Ἀπό τά παραπάνω καταλήγουμε στό ἀκόλουθο συμπέρασμα:

Ἐάν μιά ἀκτίνα φυσικοῦ φωτός πέσει πάνω στόν ἰσλανδικό κρύσταλλο ἔτσι, ὥστε νά βρίσκεται πάνω σέ μιά κύρια τομή, ἀλλά νά μή εἶναι παράλληλη μέ τόν κύριο ἄξονα, τότε προκύπτουν δύο διαθλώμενες ἀκτίνες, ἡ τακτική καί ἡ ἔκτακτη ἀκτίνα.



Σχ. 45. Στήν τακτική (Ο) καί στήν ἔκτακτη (Ε) ἀκτίνα τά ἐπίπεδα ταλαντώσεως εἶναι κάθετα μεταξύ τους.

α. Πόλωση του φωτός κατά τη διπλή διάθλαση. "Αν με έναν αναλύτη ξεξετάσουμε την τακτική και την έκτακτη ακτίνα, βρίσκουμε ότι και οι δύο αυτές ακτίνες είναι *όλικά πολωμένες*. Τά επίπεδα ταλαντώσεως στην τακτική και την έκτακτη ακτίνα είναι *κάθετα* μεταξύ τους (σχ. 45). 'Η διεύθυνση ταλαντώσεως:

- στην τακτική ακτίνα Ο είναι *κάθετη* στο επίπεδο της κύριας τομής·
- στην έκτακτη ακτίνα Ε είναι *πάνω* στο επίπεδο της κύριας τομής. "Ωστε:

Η τακτική και η έκτακτη ακτίνα είναι όλικά πολωμένες και τά επίπεδα ταλαντώσεως σ' αυτές τίς ακτίνες είναι κάθετα μεταξύ τους.

β. Έξήγηση της διπλής διαθλάσεως του φωτός. "Αν στον ισλανδικό κρύσταλλο μετρήσουμε τούς δείκτες διαθλάσεως της τακτικής και της έκτακτης ακτίνας βρίσκουμε ότι:

— ο δείκτης διαθλάσεως της τακτικής ακτίνας (Ο) έχει *σταθερή τιμή* ($n_O = 1,658$) ανεξάρτητα από τή γωνία προσπτώσεως σχετικά μέ τόν οπτικό άξονα·

— ο δείκτης διαθλάσεως της έκτακτης ακτίνας (Ε) έχει *μεταβλητή τιμή*, πού κυμαίνεται μεταξύ μιδς μέγιστης τιμής ($n_E = 1,658$) και μιδς ελάχιστης τιμής ($n_E = 1,486$) ανάλογα μέ τή γωνία προσπτώσεως σχετικά μέ τόν κύριο άξονα.

"Ωστε ο ισλανδικός κρύσταλλος είναι *οπτικώς ανισότροπο σώμα*.

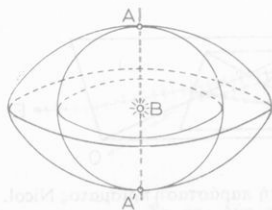
'Από τή μέτρηση τών δεικτών διαθλάσεως της τακτικής και της έκτακτης ακτίνας συνάγεται ότι *μέσα στον κρύσταλλο*:

— η ταχύτητα διαδόσεως (c_O) της τακτικής ακτίνας είναι *σταθερή* προς όλες τίς διευθύνσεις·

— η ταχύτητα διαδόσεως της έκτακτης ακτίνας κατά τή διεύθυνση του οπτικού άξονα είναι *ίση* μέ τήν ταχύτητα διαδόσεως (c_O) της τακτικής ακτίνας, αλλά κατά διεύθυνση *κάθετη* στον οπτικό άξονα είναι *με-*

γαλύτερη ($c_E > c_O$) από τήν ταχύτητα διαδόσεως της τακτικής ακτίνας.

"Αν λοιπόν μέσα στο διπλοθλαστικό κρύσταλλο ένα σημείο Β γίνει πηγή φωτεινών κυμάτων (σχ. 46), τότε γύρω από τό σημείο Β σχηματίζονται *δύο συστήματα* φωτεινών κυμάτων. Τό ένα σύστημα κυμάτων αντιστοιχεί στην τακτική ακτίνα και τό μέτωπο κύματος είναι *σφαιρική επιφάνεια*. Τό άλλο σύστημα κυμάτων αντιστοιχεί στην έκτακτη ακτίνα και τό μέτωπο κύματος είναι *έλλειψοειδής επιφάνεια*



Σχ. 46. Μέσα στον κρύσταλλο διαδίδονται δύο συστήματα φωτεινών κυμάτων.

από περιστροφή. Έπειδή κατά τη διεύθυνση του κύριου άξονα ή ταχύτητα διαδόσεως της τακτικής και της έκτακτης ακτίνας είναι ή ίδια (c_0), γι' αυτό τὰ δύο μέτωπα κύματος εφάπτονται σέ δύο σημεία Α και Α' μιᾶς εὐθείας, πού είναι παράλληλη μέ τόν ὀπτικό ἄξονα.

Γενικά γιά τό φαινόμενο τῆς διπλῆς διαθλάσεως τοῦ φωτός καταλήγουμε στά ἑξῆς συμπεράσματα :

- I. Ἡ διπλή διάθλαση τοῦ φωτός είναι ἀποτέλεσμα τῆς ὀπτικῆς ἀνιστροπίας ὀρισμένων κρυσταλλικῶν ὑλικῶν (διπλοθλαστικά ὑλικά).
- II. Μέσα στό διπλοθλαστικό κρύσταλλο ή ταχύτητα διαδόσεως τῆς τακτικῆς ἀκτίνας είναι σταθερή, ἐνῶ ή ταχύτητα διαδόσεως τῆς ἔκτακτης ἀκτίνας ἀλλάζει ἀνάλογα μέ τή διεύθυνση διαδόσεως.
- III. Κατά τή διεύθυνση τοῦ ὀπτικοῦ ἄξονα ή τακτική και ή ἔκτακτη ἀκτίνα ἔχουν τήν ἴδια ταχύτητα διαδόσεως, ἀλλά κατά διεύθυνση κάθετη στόν ὀπτικό ἄξονα ή ἔκτακτη ἀκτίνα ἔχει μεγαλύτερη ταχύτητα διαδόσεως ἀπό τήν τακτική ἀκτίνα ($c_E > c_0$).

19: Πολωτικές συσκευές

Ἐπειδή οἱ διπλοθλαστικοί κρύσταλλοι δίνουν δύο ὀλικά πολωμένες φωτεινές ἀκτίνες, γι' αὐτό οἱ κρύσταλλοι αὐτοί χρησιμοποιοῦνται ὡς πολωτικές συσκευές.

a. Πρίσμα Nicol. Τό πρίσμα Nicol ή και ἀπλά nicol είναι ἕνα παραλληλεπίπεδο ἀπό ἰσλανδικό κρύσταλλο πού ἔχει κοπεῖ σέ δύο κομμάτια μέ ἕνα ἐπίπεδο κάθετο στήν κύρια τομή (σχ. 47). Τά δύο κομμάτια ἔχουν ἐπειτα συγκολληθεῖ μέ καναδικό βάλαμο. Ὄταν μιᾶ ἀκτίνα φυσικοῦ φωτός πέφτει πάνω στόν κρύσταλλο παράλληλα μέ τίς μεγαλύτερες ἀκμές του, τότε ή τακτική ἀκτίνα (O) παθαίνει ὀλική ἀνάκλαση πάνω στό καναδικό

βάλαμο και ἀπορροφᾶται ἀπο τὰ τοιχώματα τῆς συσκευῆς. Ἔτσι ἀπό τόν κρύσταλλο βγαίνει μόνο ή ἔκτακτη ἀκτίνα (E) πού είναι παράλληλη μέ τήν ἀκτίνα τοῦ φυσικοῦ φωτός. Ἡ ἔκτακτη ἀκτίνα είναι ὀλικά πολωμένη και τό ἐπίπεδο ταλαντώσεως συμπίπτει μέ τήν κύρια τομή.



Σχ. 47. Σχηματική παράσταση πρίσματος Nicol.

Παίρνουμε δύο πρίσματα Nicol και τὰ τοποθετοῦμε ἔτσι, ὥστε οἱ κατά μήκος ἄξονές τους νά συμπίπτουν (σχ. 48). Τότε οἱ κύριες τομές τῶν δύο

πρισμάτων συμπίπτουν. Πάνω στό πρώτο πρίσμα (πολωτής) πέφτει μιὰ ἀκτίνα (λεπτή δέσμη) μονοχρωματικοῦ φυσικοῦ φωτός. Ἐπομένως πάνω στό δεύτερο πρίσμα (ἀναλύτης) πέφτει μιὰ ὀγκία πολωμένη ἀκτίνα. Στρέφοντας τόν ἀναλύτη γύρω ἀπό τόν ἄξονα τοῦ συστήματος διαπιστώνουμε ὅτι ἡ ἀκτίνα πού βγαίνει ἀπό τόν ἀναλύτη ἔχει:

— μέγιστη ἔνταση, ὅταν οἱ κύριες τομές τῶν δύο πρισμάτων εἶναι παράλληλες,

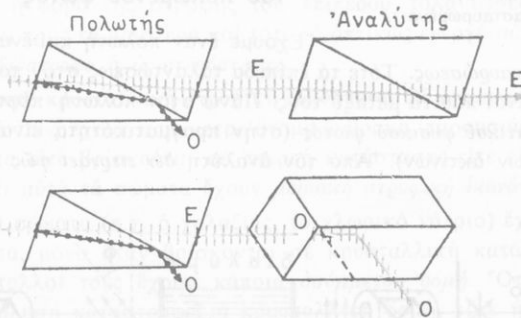
— ἐλάχιστη ἔνταση, ὅταν οἱ κύριες τομές τῶν δύο πρισμάτων εἶναι κάθετες μεταξύ τους.

Στήν πρώτη περίπτωση λέμε ὅτι τά πρίσματα Nicol εἶναι παράλληλα, ἐνῶ στή δεύτερη περίπτωση τά πρίσματα Nicol εἶναι διασταυρωμένα.

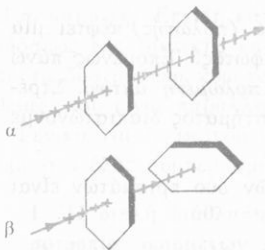
Μέ τό πείραμα βρίσκουμε ὅτι ἡ ἔνταση (I) τοῦ πολωμένου φωτός πού βγαίνει ἀπό τόν ἀναλύτη εἶναι ἀνάλογη μέ τό τετράγωνο τοῦ συνημιτόνου τῆς γωνίας (φ) πού σχηματίζουν μεταξύ τους οἱ κύριες τομές τῶν δύο πρισμάτων (ἐπομένως καί τά ἐπίπεδα ταλαντώσεως). Ὡστε εἶναι:

$$I = I_0 \cdot \text{συν}^2\varphi$$

Γιά $\varphi = 0^\circ$ (nicol παράλληλα) εἶναι $I = I_0$, δηλαδή ἡ ἔνταση τοῦ φωτός ἔχει τή μέγιστη τιμή.

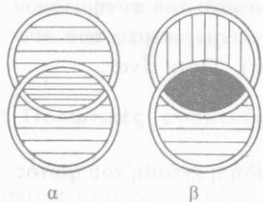


Σχ. 48. Δύο πρίσματα Nicol πού χρησιμοποιοῦνται τό ἓνα ὡς πολωτής καί τό ἄλλο ὡς ἀναλύτης.



Σχ. 49. Πλακίδια τουρμαλί-
νη πού χρησιμοποιούνται
τό ένα ως πολωτής και τό
άλλο ως ἀναλύτης.

(α πλακίδια παράλληλα,
β πλακίδια διασταυρωμένα).



Σχ. 50. Σχηματική παρά-
σταση δίσκων ἀπό Pola-
roid.

(α δίσκοι παράλληλοι,
β δίσκοι διασταυρωμένοι).

Γιά $\varphi = 90^\circ$ (nicol διασταυρωμένα) είναι $I = 0$, δηλαδή ὁ ἀναλύτης καταργεῖ τή φωτεινή ἀκτίνα.

β. Πλακίδια τουρμαλίνη. Οἱ κρύσταλλοι τοῦ τουρμαλίνη ἔχουν κόκκινο ἢ πράσινο χρῶμα καί εἶναι διπλοθλαστικοί. Ἐνα πλακίδιο τουρμαλίνη (πάχους 1 ὡς 2 mm), πού ἔχει κοπεῖ κάθετα στόν ὀπτικό ἄξονα, ἀπορροφᾷ τελείως τήν τακτική ἀκτίνα καί ἀφήνει νά περάσει μόνο ἡ ἔκτακτη ἀκτίνα πού εἶναι ὀλιγα πολωμένη. Ἐτσι αὐτό τό πλακίδιο ἀποτελεῖ ἕναν πολωτή. Ἐνα δεύτερο ὁμοιο πλακίδιο μπορεί νά χρησιμοποιηθεῖ ὡς ἀναλύτης (σχ. 49). Ὁταν τά δύο πλακίδια εἶναι παράλληλα, ἀπό τόν ἀναλύτη βγαίνει ἡ πολωμένη ἀκτίνα πού πέφτει πάνω του, ἐνῶ, ὅταν τά δύο πλακίδια εἶναι διασταυρωμένα, ὁ ἀναλύτης καταργεῖ τή φωτεινή ἀκτίνα.

γ. Polaroid. Σέ πολλές περιπτώσεις ὡς πολωτική συσκευή (πολωτής-ἀναλύτης) χρησιμοποιοῦμε δύο πλακίδια polaroid (σχ. 50).

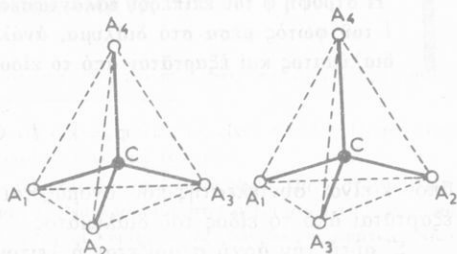
20. Στροφή τοῦ ἐπιπέδου ταλαντώσεως τοῦ πολωμένου φωτός

Ἐχουμε ἕναν πολωτή καί ἕναν ἀναλύτη στή θέση διασταυρώσεως. Τότε τά ἐπίπεδα ταλαντώσεως στόν πολωτή καί στόν ἀναλύτη εἶναι κάθετα μεταξύ τους. Πάνω στόν πολωτή πέφτει μιᾶ ἀκτίνα μονοχρωματικοῦ φυσικοῦ φωτός (στήν πραγματικότητα εἶναι λεπτή δέσμη παράλληλων ἀκτίνων). Ἀπό τόν ἀναλύτη δέν περνáει φῶς (σχ. 51).



Σχ. 51. Τό διάλυμα προκαλεῖ στροφή τοῦ ἐπιπέδου ταλαντώσεως τοῦ πολωμένου φωτός κατά γωνία φ .

Μεταξύ του πολωτή και του αναλύτη τοποθετούμε ένα γυάλινο δοχείο που περιέχει διάλυμα ζάχαρης. Παρατηρούμε ότι τώρα από τον αναλύτη περνάει φως. Για να καταργηθεί το φως, που περνάει από τον αναλύτη, πρέπει να στρέψουμε τον αναλύτη γύρω από τον άξονα του συστήματος κατά μία ορισμένη γωνία φ . Άρα το διάλυμα της ζάχαρης προκάλεσε στροφή του επιπέδου ταλαντώσεως κατά γωνία φ .



Σχ. 52. Μόριο οργανικής ενώσεως με ασύμμετρο άτομο άνθρακα.

α. Όπτικώς ενεργά σώματα. Η στροφή του επιπέδου ταλαντώσεως προκαλείται από τα μόρια ζάχαρης που υπάρχουν στο διάλυμα και όχι από τα μόρια του νερού. Λέμε ότι η ζάχαρη έχει στροφική ικανότητα. Τα σώματα που έχουν στροφική ικανότητα ονομάζονται *οπτικώς ενεργά*.

Η στροφική ικανότητα που έχουν τα μόρια ορισμένων οργανικών ενώσεων (όπως η γλυκόζη, η ζάχαρη, το τρυγικό δξύ, κ.ά.) οφείλεται στο ότι στο μόριό τους υπάρχει ασύμμετρο άτομο άνθρακα, δηλαδή άτομο άνθρακα που οι τέσσερις μονάδες σθένους έχουν κορεστεί με τέσσερα διαφορετικά άτομα ή ρίζες (σχ. 52).

Γιά τον παρατηρητή που δέχεται στο μάτι του το εξερχόμενο από τον αναλύτη φως, η φορά της στροφής του επιπέδου ταλαντώσεως γίνεται προς τα δεξιά ή προς τα αριστερά και τότε το οπτικώς ενεργό σώμα λέγεται αντίστοιχα *δεξιόστροφο* ή *αριστερόστροφο*.

Μοριακή και κρυσταλλική στροφική ικανότητα. Οι οργανικές ενώσεις που στο μόριό τους έχουν ασύμμετρο άτομο άνθρακα, παρουσιάζουν στροφική ικανότητα είτε βρίσκονται σε στερεή κατάσταση, είτε είναι διαλυμένα. Λέμε ότι αυτά τα σώματα έχουν *μοριακή στροφική ικανότητα*.

Όρισμένα σώματα (π.χ. ο χαλαζίας, το χλωρικό νάτριο) έχουν στροφική ικανότητα, μόνο όταν βρίσκονται σε κρυσταλλική κατάσταση και τότε οι κρύσταλλοί τους έχουν κάποια *ασύμμετρη δομή*. Όταν με την τήξη ή τη διάλυση καταστραφεί η κρυσταλλική δομή, τότε η στροφική ικανότητά τους εξαφανίζεται. Λέμε ότι αυτά τα σώματα έχουν *κρυσταλλική στροφική ικανότητα*.

β. Πολωσίμετρα. Όταν μεταξύ του πολωτή και του αναλύτη τοποθετήσουμε διάλυμα ενός οπτικώς ενεργού σώματος, τότε βρίσκουμε ότι:

Ἡ στροφή φ τοῦ ἐπιπέδου ταλαντώσεως εἶναι ἀνάλογη μὲ τὴ διαδρομὴ l τοῦ φωτός μέσα στό διάλυμα, ἀνάλογη μὲ τὴ συγκέντρωση C τοῦ διαλύματος καὶ ἐξαρτᾶται ἀπὸ τὸ εἶδος τοῦ διαλύματος.

$$\varphi = k \cdot l \cdot C$$

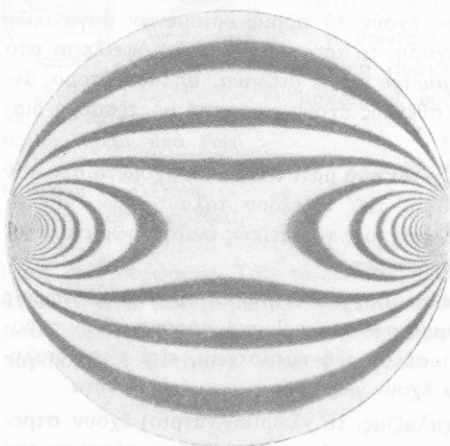
ὅπου k εἶναι συντελεστὴς πού ὀνομάζεται *ειδικὴ στροφικὴ ἰκανότητα* καὶ ἐξαρτᾶται ἀπὸ τὸ εἶδος τοῦ διαλύματος.

Σ' αὐτὴ τὴν ἀρχὴ στηρίζεται ἡ λειτουργία *ειδικῶν ὀργάνων* πού λέγονται *πολωσίμετρα* καὶ χρησιμοποιοῦνται γιὰ τὴ γρήγορη μέτρηση τῆς συγκεντρώσεως C ἑνός διαλύματος. Συνήθως ἡ μέτρηση γίνεται μὲ μιὰ ἀπλὴ ἀνάγνωση πάνω στὴν κλίμακα τοῦ ὀργάνου.

21* Διπλὴ διάθλαση σέ ὀπτικῶς ἰσότροπα ὑλικά

Ἡ διπλὴ διάθλαση ὀφείλεται σέ ὀπτικὴ ἀνισοτροπία τοῦ ὑλικοῦ.

Ἡ διπλὴ διάθλαση ἐμφανίζεται καὶ σέ ὀπτικῶς ἰσότροπα ὑλικά, ὅταν διάφορα ἐξωτερικὰ αἷτια καταστρέψουν τὴν ἰσότροπη δομὴ τοῦ ὑλικοῦ. Ἔτσι μιὰ γυάλινη πλάκα γίνεται διπλοθλαστικὴ μὲ διάφορα μηχανικὰ αἷτια, π.χ. μὲ ἔλκυσμό, συμπίεση ἢ κάμψη. Τὸ φαινόμενο αὐτὸ ὀνομάζεται *φωτοελαστικότητα* καὶ ἐφαρμόζεται στὴν τεχνικὴ γιὰ τὴ μελέτη τῶν ἐσωτερικῶν δυνάμεων πού ἀναπτύσσονται μέσα σέ ἓνα ὑλικό, ἐξαιτίας ἐξωτερικῶν αἰτίων. Γι' αὐτὸ τὸ σκοπὸ κατασκευάζεται ἓνα μικρὸ διαφανές ὑπόδειγμα τοῦ σώματος καὶ ἐξετάζεται στό πολωμένο φῶς (σχ. 53).



Σχ. 53. Εἰκόνα ὀπτικῶς ἰσότροπου δίσκου πού συμπίεζεται κατὰ τὴ διεύθυνση μιᾶς διαμέτρου του.

ΠΡΟΒΛΗΜΑΤΑ

28. Πόση είναι ἡ γωνία ὀλικῆς πολώσεως γιὰ τὴν πυριτύαλο πού ἔχει δείκτη διαθλάσεως σχετικὰ μὲ τὸν ἀέρα $n = 1,744$;

29. Γιὰ ἓνα διαφανές ὑλικό ἡ γωνία ὀλικῆς πολώσεως εἶναι $\pi = 55^\circ$. Πόσος εἶναι ὁ δείκτης διαθλάσεως αὐτοῦ τοῦ ὑλικοῦ σχετικὰ μὲ τὸν ἀέρα;

30. Μία πολωτικὴ συσκευή ἀποτελεῖται ἀπὸ πρίσματα Nicol. Πάνω στὸν πολωτὴ πέφτει φωτεινὴ δέσμη πού ἔχει ἔνταση I_0 . Νά προσδιοριστεῖ ἡ ἔνταση I τῆς φωτεινῆς δέσμης πού βγαίνει ἀπὸ τὴ συσκευή, ὅταν οἱ κύριες τομέες τῶν δύο πρισμάτων Nicol σχηματίζουν μεταξὺ τους γωνία φ ἴση μὲ 30° , 45° καὶ 60° .

31. Σὲ μίαν πολωτικὴν συσκευή μὲ πρίσματα Nicol βρέθηκε ὅτι ὁ λόγος τῆς ἐντάσεως I_0 τοῦ φωτός πού πέφτει στὸν πολωτὴ πρὸς τὴν ἔνταση I τοῦ φωτός πού βγαίνει ἀπὸ τὴ συσκευή εἶναι $I_0/I = 2$. Πόση εἶναι ἡ γωνία φ πού σχηματίζουν τότε μεταξὺ τους οἱ κύριες τομέες τῶν δύο πρισμάτων;

32. Γιὰ ἓνα διπλοθλαστικὸ κρύσταλλο καὶ γιὰ ὀρισμένη ἀκτινοβολία μήκους κύματος $\lambda = 6000 \text{ \AA}$ ὁ δείκτης διαθλάσεως γιὰ τὴν τακτικὴ ἀκτίνα εἶναι $n_0 = 1,658$ καὶ γιὰ τὴν ἑκτακτικὴ ἀκτίνα εἶναι $n_E = 1,486$. Νά βρεθεῖ τὸ ἐλάχιστο πάχος ἑνὸς πλακιδίου ἀπὸ τὸ ὑλικό τοῦ κρυστάλλου, ὥστε ἐξαιτίας τοῦ πλακιδίου οἱ παραπάνω δύο ἀκτίνες, ὅταν βγαίνουν ἀπὸ τὸ πλακίδιο, νά παρουσιάζουν διαφορὰ φάσεως $\varphi = \pi/2$. Ταχύτητα τοῦ φωτός στὸ κενό $c = 3 \cdot 10^8 \text{ m/sec}$.

Νόμοι τῆς ἀκτινοβολίας

22. Ἡ ἐκπομπὴ ἀκτινοβολιῶν ἀπὸ θερμὸ στερεὸ σῶμα

Ἡ πιὸ συνηθισμένη πηγὴ φωτός εἶναι τὸ διάπυρο σῶμα βολφραμίου πού ἔχει ὁ λαμπτήρας πυρακτώσεως. Ἄν παρακολουθήσουμε τὴ βαθμιαία θέρμανση ἑνὸς στερεοῦ παρατηροῦμε τὰ ἑξῆς :

Σὲ θερμοκρασία 300°C ὅλη ἡ ἐνέργεια πού ἐκπέμπει τὸ σῶμα μεταφέρεται ἀπὸ ἠλεκτρομαγνητικὰ κύματα πού ἔχουν μήκος κύματος λ μεγαλύτερο ἀπὸ τὸ μήκος κύματος τῆς ὄρατῆς ἐρυθρῆς ἀκτινοβολίας. Αὐτὲς τὲς ἀκτινοβολίες πού ἐκπέμπει τότε τὸ σῶμα τίς λέμε ὑπέροχες ἀκτινοβολίες καὶ τίς ἀντιλαμβάνομαστε, ὅταν φέρουμε τὸ χέρι μας κοντὰ σὲ ἓνα θερμὸ ἠλεκτρικὸ σίδερο σιδερώματος (διάδοση τῆς θερμότητας μὲ ἀκτινοβολία). Ὄταν τὸ σῶμα ἀποκτήσει θερμοκρασία γύρω στοὺς 800°C , τότε τὸ σῶμα ἐκπέμπει καὶ ἐνέργεια μὲ τὴ μορφή ὄρατῶν ἐρυθρῶν ἀκτινοβολιῶν.

Σὲ θερμοκρασία πάνω ἀπὸ 2000°C (ὅση περίπου εἶναι ἡ θερμοκρασία τοῦ σύρματος σὲ ἓνα λαμπτήρα πυρακτώσεως) τὸ σῶμα ἐκπέμπει ὅλες τίς

ὄρατες ἀκτινοβολίες καί μαζί μέ αὐτές ἐκπέμπει καί ἀόρατες ἀκτινοβολίες πού ἔχουν μήκος κύματος λ μικρότερο ἀπό τό μήκος κύματος τῆς ὄρα-
τῆς ἰώδους ἀκτινοβολίας. Αὐτές τῖς ἀόρατες ἀκτινοβολίες τῖς λέμε ὑπερι-
ώδεις ἀκτινοβολίες. Ὡστε:

Ἔνα θερμό στερεό σῶμα ἐκπέμπει ἕνα συνεχές φάσμα ἀκτινοβολιῶν πού ἡ ἔκτασή του πρὸς τὰ μικρότερα μήκη κύματος ἐξαρτᾶται ἀπὸ τὴ θερμοκρασία τοῦ σώματος.

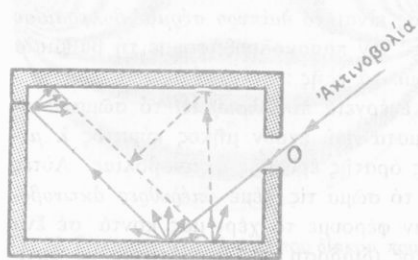
23. Ἀπόλυτα μαῦρο σῶμα

Θά θεωρήσουμε μόνο ἀδιαφανή σώματα. Ὄταν πάνω σέ ἕνα ἀδιαφανές σῶμα πέφτει μιὰ ἠλεκτρομαγνητικὴ ἀκτινοβολία μέ ὁποιοδήποτε μήκος κύματος, τότε ἕνα μέρος τῆς ἐνέργειας πού μεταφέρει ἡ ἀκτινοβολία ἀπορροφᾶται ἀπὸ τό σῶμα καί τό ὑπόλοιπο μέρος τῆς ἐνέργειας ἀνακλᾶται καί διαχέεται ἀπὸ τὴν ἐπιφάνεια τοῦ σώματος. Τό ποσοστὸ τῆς ἐνέργειας πού ἀπορροφᾶται ἀπὸ τό σῶμα ἐξαρτᾶται ἀπὸ τό εἶδος τῆς ἐπιφάνειας τοῦ σώματος.

Στὴ Φυσικὴ γιὰ τὴ μελέτη τῶν ἀκτινοβολιῶν δεχόμαστε ὅτι ὑπάρχει μιὰ ἐπιφάνεια πού ἀπορροφᾷ ὅλες τῖς ἀκτινοβολίες πού πέφτουν πάνω της καί οὔτε ἀνακλᾷ οὔτε διαχέει τῖς ἀκτινοβολίες. Λέμε ὅτι αὐτὴ ἡ ἐπιφάνεια εἶναι μιὰ ἰδανικὴ μάθη ἐπιφάνεια καί τό σῶμα πού ἔχει τέτοια ἐπιφάνεια τό ὀνομάζουμε ἀπόλυτα μαῦρο σῶμα ἢ καί ἀπλᾶ μαῦρο σῶμα (*).

Πρακτικὰ μιὰ ἐπιφάνεια πού ἔχει σκεπαστεῖ μέ ἕνα στρώμα καπνιάς (αἰθάλης) συμπεριφέρεται σάν μαῦρο σῶμα.

Μιὰ κοιλότητα ἔχει μιὰ μικρὴ ὀπή (σχ. 54). Ἀπὸ τὰ τοιχώματα τῆς



Σχ. 54. Ἡ ὀπή τῆς κοιλότητος συμπεριφέρεται σάν ἀπόλυτα μαῦρο σῶμα.

κοιλότητος δέν περνοῦν οἱ ἀκτινοβολίες. Ὄταν μιὰ ἀκτινοβολία περάσει ἀπὸ τὴν ὀπή καί μπεῖ μέσα στὴν κοιλότητα, τότε ἡ ἀκτινοβολία παθαίνει μέσα στὴν κοιλότητα πολλές ἀνακλάσεις καί διαχύσεις καί τελικὰ ἡ ἀκτινοβολία ἀπορροφᾶται ὀλοκληρωτικὰ ἀπὸ τὴν κοιλότητα, ὁποιοδήποτε καί ἂν εἶναι τό μήκος κύματος τῆς ἀκτινοβολίας.

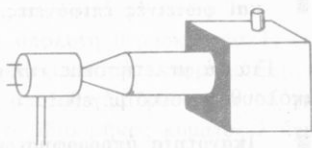
* Τὸ ἀδιαφανές σῶμα, πού ἡ ἐπιφάνειά του οὔτε ἀνακλᾷ οὔτε διαχέει τῖς ἀκτινοβολίες, τό βλέπουμε μαῦρο.

Έτσι ή όπή συμπεριφέρεται σαν *άπολυτα μαύρο σώμα*, γιατί απορροφά όλες τις ακτινοβολίες που πέφτουν πάνω της.

Αντίστροφα, αν ή παραπάνω κοιλότητα αποκτήσει όρισμένη θερμοκρασία, τότε από τήν όπή *βγαίνει* ακτινοβολία που όνομάζεται *ακτινοβολία του άπολυτα μαύρου σώματος*. Αύτή ή ακτινοβολία εξαρτάται *μόνο από τή θερμοκρασία* του άπολυτα μαύρου σώματος. Ή φύση των τοιχωμάτων τής κοιλότητας δέν παίζει κανένα ρόλο.

24. Ίκανότητα έκπομπής

Έχουμε ένα χάλκινο κυβικό δοχείο που οί τέσσερις κατακόρυφες έδρες του έχουν διαφορετική τήν έξωτερική επιφάνειά τους, π.χ. ή πρώτη έδρα έχει σκεπαστεί με καπνιά, ή δεύτερη είναι γυαλιστερή, ή τρίτη είναι ανώμαλη και τραχιά και ή τέταρτη είναι λευκή (σχ. 55). Γεμίζουμε τό δοχείο με ζεστό νερό. Τότε οί έδρες του δοχείου έχουν *τήν ίδια θερμοκρασία*. Μέ ένα εύπαθές θερμομετρικό όργανο (π.χ. θερμοηλεκτρική στήλη) βρίσκουμε ότι οί τέσσερις έδρες *ακτινοβολούν διαφορετικές ποσότητες ενέργειας*. Έτσι από τό πείραμα βρίσκουμε ότι:



Σχ. 55. Ή έκπομπή ακτινοβολίας εξαρτάται από τή φύση τής επιφάνειας του σώματος.

Στήν ίδια θερμοκρασία οί σκοτεινές και τραχιές επιφάνειες ακτινοβολούν έντονότερα από τίς γυαλιστερές και φωτεινές επιφάνειες.

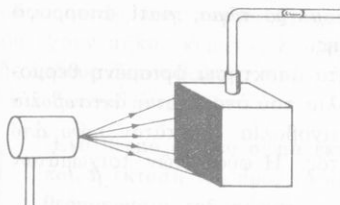
Γιά νά μελετήσουμε *τήν έκπομπή των ακτινοβολιών* όρίζουμε τό ακόλουθο φυσικό μέγεθος:

Ίκανότητα έκπομπής (Ελ,τ) ενός σώματος, για όρισμένο μήκος κύματος λ και για όρισμένη άπόλυτη θερμοκρασία Τ, όνομάζεται ή ισχύς τήν όποία ακτινοβολεί ή μονάδα τής επιφάνειας του σώματος.

Συνήθως ή ίκανότητα έκπομπής Ε μετριέται σε Watt/cm².

25. Ίκανότητα άπορροφήσεως

Έχουμε τό χάλκινο κυβικό δοχείο που χρησιμοποιήσαμε για τή μελέτη τής έκπομπής των ακτινοβολιών (σχ. 55). Τό δοχείο περιέχει τώρα άέρα και στήν πάνω έδρα του είναι στερεωμένος ένας λεπτός όριζόντιος σωλήνας με μιά μικρή σταγόνα ύδραργύρου που χρησιμεύει ως δείκτης



Σχ. 56. Ἡ ἀπορρόφηση ἀκτινοβολίας ἐξαρτᾶται ἀπὸ τὴ φύση τῆς ἐπιφάνειας τοῦ σώματος.

(σχ. 56). Ἀφήνουμε νὰ πέσει πάνω στὴ μιά ἔδρα τοῦ δοχείου ἀκτινοβολία, ὥσπου νὰ ἀποκαταστῆθεῖ θερμικὴ ἰσορροπία, δηλαδή ὥσπου νὰ πάγει νὰ μετακινεῖται ἢ σταγόνα τοῦ ὑδραργύρου. Ἄν ἐπαναλάβουμε τὸ πείραμα διαδοχικὰ μὲ ὅλες τὶς ἔδρες τοῦ δοχείου, βρίσκουμε ὅτι οἱ τέσσερις ἔδρες τοῦ δοχείου ἀπορροφῶν διαφορετικὲς ποσότητες ἐνέργειας ἀπὸ τὴν ἀκτινοβολία πού πέφτει πάνω τους. Ἐτσι ἀπὸ τὸ πείραμα βρίσκουμε ὅτι:

Ἀπὸ τὴν ἀκτινοβολία πού πέφτει πάνω τους οἱ σκοτεινὲς καὶ οἱ τραχιὲς ἐπιφάνειες ἀπορροφῶν περισσότερὴ ἐνέργεια ἀπὸ τὶς γυαλιστερὲς καὶ φωτεινὲς ἐπιφάνειες.

Γιὰ νὰ μελετήσουμε τὴν ἀπορρόφηση τῶν ἀκτινοβολιῶν ὀρίζουμε τὸ ἀκόλουθο φυσικὸ μέγεθος:

Ἰκανότητα ἀπορροφήσεως ($A_{\lambda, T}$) ἑνὸς σώματος, γιὰ ὀρισμένο μῆκος κύματος λ καὶ γιὰ ὀρισμένη ἀπόλυτη θερμοκρασία T , ὀνομάζεται ὁ λόγος τῆς ἰσχύος πού ἀπορροφᾷ τὸ σῶμα πρὸς τὴν ἰσχύ πού πέφτει πάνω του.

$$\text{ικανότητα ἀπορροφήσεως } (A_{\lambda, T}) = \frac{\text{ἀπορροφώμενη ἰσχύς}}{\text{προσπίπτουσα ἰσχύς}}$$

Ἡ ἰκανότητα ἀπορροφήσεως εἶναι καθαρὸς ἀριθμὸς. Ἐπειδὴ τὸ ἀπόλυτα μαῦρο σῶμα ἀπορροφᾷ ὀλοκληρωτικὰ τὴν ἐνέργεια τῆς ἀκτινοβολίας πού πέφτει πάνω του, συμπεραίνουμε ὅτι:

Τὸ ἀπόλυτα μαῦρο σῶμα, γιὰ ὅλες τὶς ἀκτινοβολίες, ἔχει ἰκανότητα ἀπορροφήσεως ἴση μὲ τὴ μονάδα.

$$\text{ἀπόλυτα μαῦρο σῶμα } A_{\lambda, T} = 1$$

26. Νόμος του Kirchhoff

Ἡ ικανότητα ἐκπομπῆς ἑνός σώματος ἐξαρτᾶται ἀπὸ τὴ θερμοκρασία τοῦ σώματος καὶ τὸ εἶδος τῆς ἐπιφάνειάς του. Γιὰ ὀρισμένο μῆκος κύματος λ καὶ γιὰ ὀρισμένη ἀπόλυτη θερμοκρασία T ἡ ικανότητα ἐκπομπῆς ($E_{\lambda,T}$) καὶ ἡ ικανότητα ἀπορροφῆσεως ($A_{\lambda,T}$) συνδέονται μεταξύ τους μὲ μιά θεμελιώδη σχέση πού τὴν ἐκφράζει ὁ ἀκόλουθος νόμος τοῦ Kirchhoff:

Γιὰ τὸ ἴδιο μῆκος κύματος λ καὶ γιὰ τὴν ἴδια ἀπόλυτη θερμοκρασία T τὸ πηλίκο τῆς ικανότητος ἐκπομπῆς ($E_{\lambda,T}$) διὰ τῆς ικανότητος ἀπορροφῆσεως ($A_{\lambda,T}$) εἶναι γιὰ ὅλα τὰ σώματα σταθερό.

$$\text{νόμος τοῦ Kirchhoff} \quad \frac{E_{\lambda,T}}{A_{\lambda,T}} = f_{\lambda,T}$$

Ἐὰν θεωρήσουμε ἓνα σῶμα Σ πού ἔχει ἀπόλυτη θερμοκρασία T , ἐκπέμπει ἀκτινοβολία μὲ μῆκος κύματος λ , ἔχει ικανότητα ἐκπομπῆς $E_{\Sigma(\lambda,T)}$ καὶ ικανότητα ἀπορροφῆσεως $A_{\Sigma(\lambda,T)}$. Τὸ ἀπόλυτα μαῦρο σῶμα M γιὰ τὴν ἴδια ἀπόλυτη θερμοκρασία T καὶ γιὰ τὸ ἴδιο μῆκος κύματος λ ἔχει ικανότητα ἐκπομπῆς $E_{M(\lambda,T)}$ καὶ ικανότητα ἀπορροφῆσεως $A_{M(\lambda,T)}$. Τότε σύμφωνα μὲ τὸ νόμο τοῦ Kirchhoff ἰσχύει ἡ ἐξίσωση:

$$\frac{E_{\Sigma(\lambda,T)}}{A_{\Sigma(\lambda,T)}} = \frac{E_{M(\lambda,T)}}{A_{M(\lambda,T)}} = \text{σταθ.} \quad (1)$$

Ἐπειδὴ γιὰ τὸ ἀπόλυτα μαῦρο σῶμα εἶναι:

$$A_{M(\lambda,T)} = 1$$

ἀπὸ τὴν ἐξίσωση (1) βρίσκουμε:

$$\frac{E_{\Sigma(\lambda,T)}}{A_{\Sigma(\lambda,T)}} = E_{M(\lambda,T)} \quad (2)$$

Γιὰ κάθε ἄλλο σῶμα, ἐκτὸς ἀπὸ τὸ ἀπόλυτα μαῦρο σῶμα, ἡ ικανότητα ἀπορροφῆσεως εἶναι μικρότερη ἀπὸ τὴ μονάδα, δηλαδή εἶναι $A_{\Sigma(\lambda,T)} < 1$. Ἀπὸ τὴν ἐξίσωση (2) βρίσκουμε:

$$E_{\Sigma(\lambda,T)} = A_{\Sigma(\lambda,T)} \cdot E_{M(\lambda,T)} \quad \text{ἄρα} \quad E_{\Sigma(\lambda,T)} < E_{M(\lambda,T)}$$

Ἡ τελευταία σχέση φανερῶνει ὅτι:

Ἡ ικανότητα ἐκπομπῆς τοῦ ἀπόλυτα μαύρου σώματος εἶναι μεγαλύτερη ἀπὸ τὴν ικανότητα ἐκπομπῆς ὁποιοῦδήποτε ἄλλου σώματος.

Η εξίσωση (2) φανερώνει ότι ισχύει και η ακόλουθη σχέση:

Τό πλήκιο τής ικανότητας εκπομπής πρὸς τήν ικανότητα ἀπορροφήσεως ἑνὸς σώματος εἶναι ἴσο μὲ τήν ικανότητα εκπομπής τοῦ ἀπόλυτα μαύρου σώματος.

$$\frac{\text{ικανότητα εκπομπής σώματος}}{\text{ικανότητα ἀπορροφήσεως σώματος}} = \frac{\text{ικανότητα εκπομπής ἀπόλυτα μαύρου σώματος}}{\text{ικανότητα ἀπορροφήσεως σώματος}}$$

27. Νόμος Stefan - Boltzmann

Ένα θερμό σώμα εκπέμπει πολλές ἀκτινοβολίες πού ἔχουν διάφορα μήκη κύματος καί μεταφέρουν ἐνέργεια. Ὁ Stefan πειραματικά καί ἀργότερα ὁ Boltzmann θεωρητικά βρῆκαν τὸ νόμο πού ισχύει γιὰ τήν ὀλική ἰσχὺ τῶν ἀκτινοβολιῶν πού εκπέμπει τὸ ἀπόλυτα μαῦρο σῶμα. Ἔτσι γιὰ τή θερμική ἐκπομπή τῶν ἀκτινοβολιῶν ισχύει ὁ ἀκόλουθος νόμος Stefan - Boltzmann :

Ἡ ὀλική ἰσχὺς ($P_{ολ}$) πού ἀκτινοβολεῖ τὸ ἀπόλυτα μαῦρο σῶμα, εἶναι ἀνάλογη μὲ τὸ ἐμβαδὸ (S) τῆς ἐπιφάνειας τοῦ σώματος καί ἀνάλογη μὲ τὴν τέταρτη δύναμη τῆς ἀπόλυτης θερμοκρασίας (T) τοῦ σώματος.

$$\text{νόμος Stefan - Boltzmann} \quad P_{ολ} = \sigma \cdot S \cdot T^4$$

ὅπου σ εἶναι ἡ σταθερὴ Stefan - Boltzmann καί εἶναι ἴση μὲ:

$$\text{σταθερὴ Stefan - Boltzmann} \\ \sigma = 5,669 \cdot 10^{-8} \text{ W} \cdot \text{m}^{-2} \cdot \text{grad}^{-4}$$

α. Ἐνέργεια πού ἀποβάλλει ἢ παίρνει ἕνα σῶμα. Κάθε σῶμα, ὁποιαδήποτε καί ἂν εἶναι ἡ θερμοκρασία του, εκπέμπει θερμικές ἀκτινοβολίες καί ἐπομένως ἀποβάλλει ἐνέργεια. Ἀλλά ταυτόχρονα πάνω σ' αὐτὸ τὸ σῶμα πέφτουν συνεχῶς ἀκτινοβολίες πού εκπέμπονται ἀπὸ τὸ περιβάλλον τοῦ σώματος. Μερικές ἀπὸ αὐτές τίς ἀκτινοβολίες ἀνακλῶνται πάνω στὴν ἐπιφάνεια τοῦ σώματος, ἄλλες ὅμως ἀκτινοβολίες ἀπορροφῶνται ἀπὸ τὸ σῶμα καί ἡ ἐνέργειά τους μετατρέπεται σὲ ἐσωτερική ἐνέργεια τοῦ σώματος.

Ἡ διαφορά μεταξὺ τῆς ἐνέργειας πού εκπέμπει τὸ σῶμα καί τῆς ἐνέργειας πού ἀπορροφᾷ τὸ σῶμα εἶναι ἡ ἐνέργεια τὴν ὁποία ἡ ἀποβάλλει τὸ σῶμα στὸ περιβάλλον του ἢ παίρνει τὸ σῶμα ἀπὸ τὸ περιβάλλον του.

Θεωροῦμε ἕνα σῶμα πού ἔχει ἀπόλυτη θερμοκρασία T_s , ἡ ἐπιφάνεια

του έχει εμβαδό S και ο συντελεστής ισχύος σχετικά με τό απόλυτα μαύρο σῶμα είναι ϵ . Στή διάρκεια του χρόνου t :

τό σῶμα εκπέμπει ἐνέργεια $W_{\Sigma} = \epsilon \cdot \sigma \cdot S \cdot T_{\Sigma}^4 \cdot t$

Ἄν τό περιβάλλον έχει ἀπόλυτη θερμοκρασία T_{Π} , τότε στή διάρκεια του χρόνου t :

τό σῶμα παίρνει ἐνέργεια $W_{\Pi} = \epsilon \cdot \sigma \cdot S \cdot T_{\Pi}^4 \cdot t$

Ἐπομένως στή διάρκεια του χρόνου t τό σῶμα ἀποβάλλει ἢ παίρνει ἐνέργεια ἴση μέ:

$W = W_{\Sigma} - W_{\Pi}$ ἢ

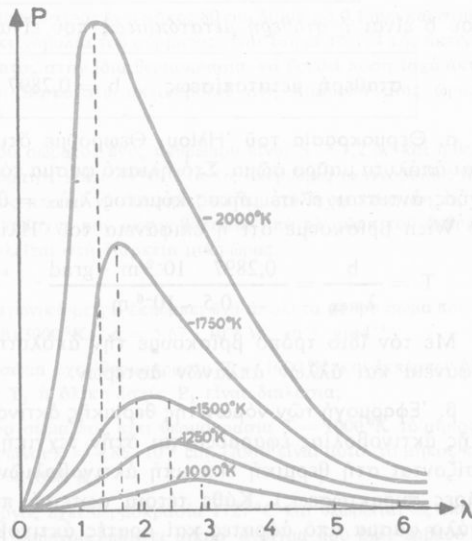
$W = \epsilon \cdot \sigma \cdot S \cdot (T_{\Sigma}^4 - T_{\Pi}^4) \cdot t$

28. Νόμος του Wien

Ἡ ισχύς πού εκπέμπει ἕνα σῶμα κατά μονάδα τής ἐπιφάνειάς του ἐξαρτᾶται ἀπό τή φύση τής ἐπιφάνειας του σώματος καί ἀπό τή θερμοκρασία. Ἔτσι π.χ. ἕνα συμπαγές κομμάτι χαλκοῦ στή θερμοκρασία $373^{\circ} K$ εκπέμπει περίπου $0,03 W/cm^2$ καί στή θερμοκρασία $1273^{\circ} K$ εκπέμπει $4 W/cm^2$. Σέ καθε-

μία ἀπό αὐτές τίς θερμοκρασίες τό σῶμα εκπέμπει ἰσχύ ἢ ὅποια μεταφέρεται ἀπό ἕνα μίγμα ἀκτινοβολιῶν πού ἔχουν διάφορα μήκη κύματος καί ἀποτελοῦν ἕνα φάσμα.

Ἄν γιά κάθε θερμοκρασία ἐξετάσουμε πῶς κατανέμεται στό φάσμα του ἀπόλυτα μαύρου σώματος ἡ ισχύς πού εκπέμπεται κατά μονάδα ἐπιφάνειας του σώματος, τότε παίρνουμε μιά καμπύλη πού παρουσιάζει ἕνα μέγιστο ἐκπομπῆς



Σχ. 57. Κατανομή τής ισχύος στό φάσμα του ἀπόλυτα μαύρου σώματος σέ συνάρτηση μέ τό μήκος κύματος λ (τό λ σέ μm).

ισχύος (σχ. 57). Αυτό το μέγιστο αντιστοιχεί σε όρισμένο μήκος κύματος που ονομάζεται *μήκος κύματος του μέγιστου της ισχύος* (λ_{\max}). Το έμβασμα της επιφάνειας που περιλαμβάνεται μεταξύ της κάθε καμπύλης και του οριζώντιου άξονα παριστάνει την όλική ισχύ που εκπέμπεται κατά μονάδα επιφάνειας.

Με το πείραμα βρίσκουμε ότι, όταν *αυξάνεται* ή θερμοκρασία του απόλυτα μαύρου σώματος, το μήκος κύματος του μέγιστου της ισχύος *ελαττώνεται*, δηλαδή η αιχμή της καμπύλης μετατοπίζεται *πρός τα μικρότερα* μήκη κύματος. Από την πειραματική και τη θεωρητική μελέτη της κατανομής της ενέργειας στο φάσμα της θερμικής εκπομπής ακτινοβολιών βρέθηκε ο ακόλουθος νόμος του Wien :

Όταν *υψώνεται* ή απόλυτη θερμοκρασία (T) του απόλυτα μαύρου σώματος, το μήκος κύματος του μέγιστου της ισχύος (λ_{\max}) *ελαττώνεται*, αλλά το γινόμενο του μήκους κύματος του μέγιστου της ισχύος επί την απόλυτη θερμοκρασία του σώματος *διατηρείται σταθερό*.

$$\text{νόμος του Wien} \quad \lambda_{\max} \cdot T = b$$

όπου b είναι η σταθερή μετατοπίσεως που είναι ίση με:

$$\text{σταθερή μετατοπίσεως} \quad b = 0,2897 \cdot 10^{-2} \text{ m} \cdot \text{grad}$$

α. Θερμοκρασία του Ήλιου. Θεωρούμε ότι η επιφάνεια του Ήλιου είναι απόλυτα μαύρο σώμα. Στο ηλιακό φάσμα το μέγιστο της εκπεμπόμενης ισχύος αντιστοιχεί σε μήκος κύματος $\lambda_{\max} = 0,5 \cdot 10^{-6} \text{ m}$. Από το νόμο του Wien βρίσκουμε ότι η επιφάνεια του Ήλιου έχει θερμοκρασία:

$$T = \frac{b}{\lambda_{\max}} = \frac{0,2897 \cdot 10^{-2} \text{ m} \cdot \text{grad}}{0,5 \cdot 10^{-6} \text{ m}} \quad \text{καί} \quad T = 5794^{\circ} \text{ K}$$

Με τον ίδιο τρόπο βρίσκουμε την απόλυτη θερμοκρασία που έχει η επιφάνεια και άλλων άπλανων αστέρων.

β. Έφαρμογή των νόμων της θερμικής ακτινοβολίας. Οί νόμοι της θερμικής ακτινοβολίας εφαρμόζονται στην τεχνική των φωτεινών πηγών που βασίζονται στη θερμική εκπομπή ακτινοβολιών (π.χ. οί ηλεκτρικοί λαμπτήρες πυρακτώσεως). Κάθε τέτοια φωτεινή πηγή εκπέμπει ένα αρκετά μεγάλο φάσμα από άορατες και ορατές ακτινοβολίες. Αλλά το μάτι μας είναι ευαίσθητο μόνο από τίς ορατές ακτινοβολίες που αποτελούν μιά μικρή περιοχή ακτινοβολιών του φάσματος που έχουν μήκη κύματος από $0,4 \cdot 10^{-6} \text{ m}$ ως $0,8 \cdot 10^{-6} \text{ m}$ περίπου. Στην τεχνική των φωτεινών πηγών φροντί-

ζουμε τὸ μῆκος κύματος τοῦ μέγιστου τῆς ἰσχύος (λ_{\max}) νά βρίσκεται μέσα στὴν περιοχὴ τῶν ὁρατῶν ἀκτινοβολιῶν καὶ ὅσο τὸ δυνατό πιό κοντὰ στοῦ μῆκος κύματος $\lambda = 0,55 \cdot 10^{-6}$ m, γιατί τὸ μάτι μας παρουσιάζει τὴ μεγαλύτερη εὐαισθησία στὴν ἀκτινοβολία πού ἔχει αὐτὸ τὸ μῆκος κύματος.

ΠΡΟΒΛΗΜΑΤΑ

33. Μιά σφαίρα, πού ἔχει διάμετρο $2r = 2$ cm καὶ θεωρεῖται ὡς ἀπόλυτα μαυρὸ σῶμα, διατηρεῖται σέ σταθερὴ θερμοκρασία 600°C . Πόση ἰσχύ ἐκπέμπει;
 $\sigma = 5,67 \cdot 10^{-8} \text{ W} \cdot \text{m}^{-2} \cdot \text{grad}^{-4}$.

34. Σέ ἓναν ἠλεκτρικὸ λαμπτήρα πυρακτώσεως τὸ σύρμα ἔχει μῆκος 20 cm, διάμετρο 0,01 mm, σταθερὴ θερμοκρασία 2500°K καὶ βρίσκεται μέσα σέ σφαιρικό γυάλινο ἀερόκενο σωλήνα. Ἡ διάδοση θερμότητας μέ ἀγωγή καὶ μέ ρεύματα θεωρεῖται ἀσήμαντη. Πόση ἰσχύ ἀκτινοβολεῖ ὁ λαμπτήρας, ἂν ἡ ἀκτινοβολία τοῦ σύρματος εἶναι ἴση μέ τὰ 30 % τῆς ἀκτινοβολίας τοῦ ἀπόλυτα μαύρου σώματος στὴν ἴδια θερμοκρασία;
 $\sigma = 5,67 \cdot 10^{-8} \text{ W} \cdot \text{m}^{-2} \cdot \text{grad}^{-4}$.

35. Τὸ σύρμα ἠλεκτρικῆς θερμάστρας ἔχει μῆκος 80 cm, διάμετρο 0,1 mm καὶ σταθερὴ θερμοκρασία 1400°K . Ἄν ἡ ἀκτινοβολία τοῦ σύρματος εἶναι ἴση μέ τὸ 1/4 τῆς ἀκτινοβολίας τοῦ ἀπόλυτα μαύρου σώματος στὴν ἴδια θερμοκρασία, νά βρεθεῖ πόση ἰσχύ ἀκτινοβολεῖ ἡ θερμάστρα καὶ πόση θερμότητα ἀκτινοβολεῖ στή διάρκεια μιᾶς ὥρας.
 $\sigma = 5,67 \cdot 10^{-8} \text{ W} \cdot \text{m}^{-2} \cdot \text{grad}^{-4}$.

36. Ἡ ὀλική ἐπιφάνεια τοῦ σώματος ἑνὸς ἀνθρώπου εἶναι $S = 1,2 \text{ m}^2$ καὶ ἡ θερμοκρασία στὴν ἐπιφάνεια τοῦ σώματος εἶναι 30°C . Γιά τίς ὑπερυφρεῖς ἀκτινοβολίες ἡ ἐπιφάνεια τοῦ ἀνθρώπινου σώματος μπορεῖ νά θεωρηθεῖ κατὰ μεγάλη προσέγγιση ὡς ἀπόλυτα μαυρὸ σῶμα. Νά βρεθεῖ ἡ ἰσχύς πού ἀκτινοβολεῖται ἀπὸ τὸ σῶμα τοῦ ἀνθρώπου καὶ ἡ θερμότητα πού ἀκτινοβολεῖται στή διάρκεια μιᾶς ὥρας.
 $\sigma = 5,67 \cdot 10^{-8} \text{ W} \cdot \text{m}^{-2} \cdot \text{grad}^{-4}$.

37. Πόση ἰσχύ κατὰ τετραγωνικὸ μέτρο ἐκπέμπει ἓνα ἀπόλυτα μαυρὸ σῶμα πού ἔχει θερμοκρασία: α) 300°K καὶ β) 3000°K ; $\sigma = 5,67 \cdot 10^{-8} \text{ W} \cdot \text{m}^{-2} \cdot \text{grad}^{-4}$.

38. Ἐνα ἀπόλυτα μαυρὸ σῶμα ἔχει θερμοκρασία $T = 1000^\circ\text{K}$ καὶ ἐκπέμπει ὀλική ἰσχύ P . Σέ ποιά θερμοκρασία T_1 ἡ ὀλική ἰσχύς P_1 εἶναι διπλάσια;

39. Γιά ἓνα ἀπόλυτα μαυρὸ σῶμα πού ἔχει θερμοκρασία $T = 1000^\circ\text{K}$ τὸ μῆκος κύματος τοῦ μέγιστου τῆς ἰσχύος εἶναι $\lambda = 4,86 \cdot 10^{-6}$ cm. Πόσο εἶναι αὐτὸ τὸ μῆκος κύματος λ_1 στή θερμοκρασία $T_1 = 2000^\circ\text{K}$;

40. Ἐνας ἠλεκτρικὸς φούρνος ἔχει θερμοκρασία 1727°C καὶ θεωρεῖται ὡς ἀπόλυτα μαυρὸ σῶμα. Στὸ τοίχωμα τοῦ φούρνου ὑπάρχει μικρὸ ἄνοιγμα πού ἔχει ἐμβαδὸ $S = 1 \text{ cm}^2$. Πόση ἰσχύς βγαίνει ἀπὸ τὸ ἄνοιγμα;

ΗΛΕΚΤΡΙΣΜΟΣ

Έπαγωγή

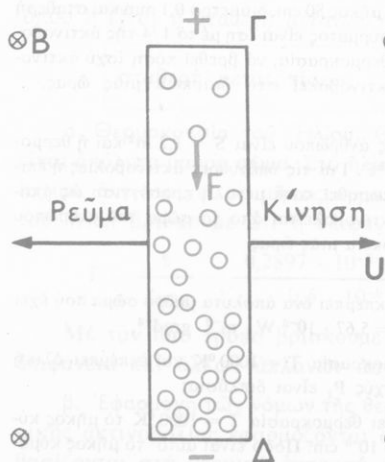
29. Δημιουργία επαγωγικής τάσεως

Ένας ευθύγραμμος αγωγός ΓΔ (σχ. 58) κινείται παράλληλα με τον εαυτό του και με σταθερή ταχύτητα \vec{v} μέσα σε ομογενές μαγνητικό πεδίο που έχει μαγνητική επαγωγή \vec{B} . Ο αγωγός κινείται κάθετα στις δυναμικές γραμμές του μαγνητικού πεδίου, που έχουν φορά από το εμπρός προς το πίσω μέρος του σχήματος. Κατά την κίνηση του αγωγού μεταφέρονται και τα ελεύθερα ηλεκτρόνια που υπάρχουν μέσα στον αγωγό. Αυτή όμως

ή μεταφορά κάθε ελεύθερου ηλεκτρονίου *ισοδυναμεί με ηλεκτρικό ρεύμα* που έχει συμβατική φορά αντίθετη με τη φορά της ταχύτητας \vec{v} . Σύμφωνα με το νόμο του Laplace πάνω στο κινούμενο ηλεκτρόνιο αναπτύσσεται *ηλεκτρομαγνητική δύναμη* που έχει μέτρο:

$$F = e \cdot v \cdot B \quad (1)$$

Αυτή η δύναμη \vec{F} κινεί το ηλεκτρόνιο προς την άκρη Δ του αγωγού. Έτσι οι ηλεκτρομαγνητικές δυνάμεις, που αναπτύσσονται πάνω στα ελεύθερα ηλεκτρόνια του αγωγού, προκαλούν *συσσώρευση* ηλεκτρονίων στην άκρη Δ του αγωγού και *έλλειψη* ηλεκτρονίων στην άκρη Γ του αγωγού. Έπομένως στις δύο άκρες του αγωγού *εμφανίζονται ετερόνυμα ηλεκτρικά φορτία*. Παρατηρούμε ότι η κίνηση του αγωγού μέσα στο μαγνητικό πε-



Σχ. 58. Για την έρμηνεία του φαινομένου της επαγωγής.

(Οι δυναμικές γραμμές του μαγνητικού πεδίου είναι κάθετες στο επίπεδο του σχήματος και έχουν φορά από το εμπρός προς το πίσω μέρος του σχήματος).

δίο προκαλεί το ίδιο αποτέλεσμα που θα το είχαμε και αν αυτός ο άγωγός ήταν μέσα σε ηλεκτρικό πεδίο που έχει φορά από την άκρη Δ προς την άκρη Γ και η έντασή του Ε έχει μέτρο:

$$E = \frac{F}{e} \quad \text{άρα} \quad E = v \cdot B \quad (2)$$

Η αφαίρεση όμως ηλεκτρονίων από την άκρη Γ και η συσσώρευση ηλεκτρονίων στην άκρη Δ του άγωγού δημιουργεί μέσα στον άγωγό ένα δεύτερο ηλεκτρικό πεδίο που έχει φορά από την άκρη Γ προς την άκρη Δ του άγωγού. Η εξαιτίας της κινήσεως του άγωγού μετακίνηση των ηλεκτρονίων προς την άκρη Δ του άγωγού συνεχίζεται, ώσπου η ένταση του δεύτερου ηλεκτρικού πεδίου γίνει ίση και αντίθετη με την ένταση του πρώτου ηλεκτρικού πεδίου. Έτσι, όσο διαρκεί η κίνηση του άγωγού ΓΔ μέσα στο μαγνητικό πεδίο, στις άκρες του άγωγού δημιουργείται μία τάση που ονομάζεται *επαγωγική τάση*. Η δημιουργία της επαγωγικής τάσεως στις άκρες του άγωγού ονομάζεται *επαγωγή*. Ωστε :

Όταν ένας εθύγραμμος άγωγός κινείται μέσα σε μαγνητικό πεδίο, ώστε νά τέμνει τις δυναμικές γραμμές του μαγνητικού πεδίου, τότε μέσα στον άγωγό προκαλείται μετακίνηση των ελεύθερων ηλεκτρονίων του, η οποία δημιουργεί στις άκρες του άγωγού επαγωγική τάση. Αυτή διαρκεί, όσο διαρκεί και η κίνηση του άγωγού.

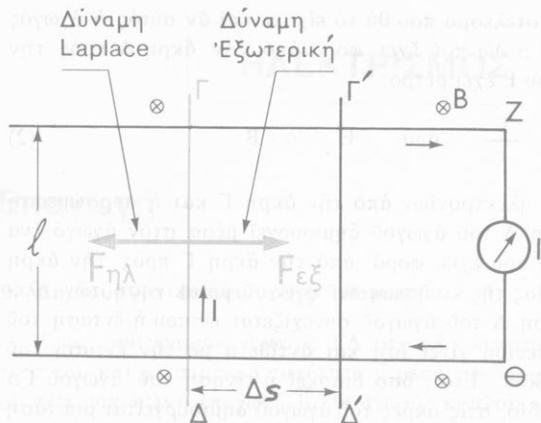
α. Υπολογισμός της επαγωγικής τάσεως. Στις άκρες του άγωγού δημιουργείται η επαγωγική τάση $U_{επαγ}$. Αν ο άγωγός έχει μήκος l και το ηλεκτρικό πεδίο που δημιουργείται μέσα στον άγωγό έχει ένταση E , τότε η επαγωγική τάση που δημιουργείται στις άκρες του άγωγού ΓΔ είναι ίση με : $U_{επαγ} = E \cdot l$. Άρα:

επαγωγική τάση $U_{επαγ} = v \cdot B \cdot l$	$\left\{ \begin{array}{l} v \text{ σε m/sec} \\ B \text{ σε T, } l \text{ σε m} \\ U \text{ σε V} \end{array} \right. \quad (3)$
---	--

Αν η ταχύτητα \vec{v} ή ο άγωγός ΓΔ σχηματίζει γωνία α με τις δυναμικές γραμμές του μαγνητικού πεδίου, τότε η εξίσωση (3) γράφεται:

$$U_{επαγ} = v \cdot B \cdot l \cdot \eta \mu \alpha$$

β. Επαγωγικό ρεύμα. Αν συνδέσουμε με σύρμα τις δύο άκρες Γ και Δ του κινούμενου άγωγού, τότε σχηματίζεται κλειστό κύκλωμα που διαρρέεται από επαγωγικό ρεύμα. Ωστε το επαγωγικό ρεύμα είναι αποτέλεσμα του φαινομένου της επαγωγής.



Σχ. 59. Για τον υπολογισμό της ηλεκτρεργερτικής δύναμης από επαγωγή.

(Οι δυναμικές γραμμές του μαγνητικού πεδίου είναι κάθετες στο επίπεδο του σχήματος και έχουν φορά από το εμπρός προς το πίσω μέρος του σχήματος).

κινείται κάθετα στις δυναμικές γραμμές του ομογενούς μαγνητικού πεδίου και γλιστράει χωρίς τριβή πάνω σε οριζόντιους παράλληλους άγωγους που συνδέονται με αμπερόμετρο (σχ. 59). Έτσι σχηματίζεται κλειστό κύκλωμα. Μέ την επίδραση της εξωτερικής δύναμης $\vec{F}_{\epsilon\xi}$ ο άγωγός στη διάρκεια του χρόνου Δt μετακινείται ομαλά κατά διαστήματα Δs και τότε η εξωτερική δύναμη παράγει έργο :

$$W = F_{\epsilon\xi} \cdot \Delta s \quad (4)$$

Στη διάρκεια του χρόνου Δt ο κινούμενος άγωγός $\Gamma\Delta$ συμπεριφέρεται σαν γεννήτρια με επαγωγική ηλεκτρεγερτική δύναμη $E_{\epsilon\pi\alpha\gamma}$ και το κύκλωμα διαρρέεται από επαγωγικό ρεύμα έντασης I . Τότε πάνω στον άγωγό $\Gamma\Delta$ ενεργεί ηλεκτρομαγνητική δύναμη $\vec{F}_{\eta\lambda}$ που είναι ίση και αντίθετη με την εξωτερική δύναμη $\vec{F}_{\epsilon\xi}$ και κατ' απόλυτη τιμή έχει μέτρο :

$$F_{\eta\lambda} = B \cdot l \cdot I$$

Έπειδή είναι $F_{\epsilon\xi} = F_{\eta\lambda}$, η εξίσωση (4) γράφεται:

$$W = B \cdot l \cdot I \cdot \Delta s \quad (5)$$

Στη διάρκεια του χρόνου Δt ο άγωγός Δt διαγράφει μία επιφάνεια που έχει έμβαδο $S = l \cdot \Delta s$. Επομένως το γινόμενο $B \cdot l \cdot \Delta s = B \cdot S$

γ. Κλειστό κύκλωμα. Όταν ο άγωγός $\Gamma\Delta$ κινείται μέσα στο μαγνητικό πεδίο, τότε ο άγωγός $\Gamma\Delta$ συμπεριφέρεται σαν γεννήτρια που είναι σε ανοιχτό κύκλωμα, γιατί στις άκρες Γ και Δ του άγωγού (που ισοδυναμούν με τους πόλους της γεννήτριας) αναπτύσσεται τάση ($U_{\epsilon\pi\alpha\gamma}$) ίση με την ηλεκτρεγερτική δύναμη ($E_{\epsilon\pi\alpha\gamma}$) της γεννήτριας.

Ας θεωρήσουμε

ότι ο άγωγός $\Gamma\Delta$ κινείται

κίνηση

κίνηση

κίνηση

κίνηση

κίνηση

κίνηση

κίνηση

κίνηση

κίνηση

κίνηση

κίνηση

κίνηση

κίνηση

κίνηση

κίνηση

κίνηση

κίνηση

κίνηση

κίνηση

κίνηση

κίνηση

κίνηση

κίνηση

κίνηση

κίνηση

κίνηση

παριστάνει τή μεταβολή τής μαγνητικής ροής $\Delta\Phi$ πού περνάει από τό πλαίσιο, δηλαδή είναι $\Delta\Phi = B \cdot S$

Ώστε ή εξίσωση (5) γράφεται:

$$W = \Delta\Phi \cdot I \quad (6)$$

Έπειδή δέν υπάρχει καμιά απώλεια ενέργειας, όλο τό έργο τής έξωτερικής δυνάμεως $\vec{F}_{εξ}$ μετατρέπεται σέ *ηλεκτρική ενέργεια*, ή όποία εμφανίζεται στό κύκλωμα ως θερμότητα. Ώστε ή ηλεκτρική ενέργεια, πού αναπτύσσεται πάνω στό κύκλωμα, είναι:

$$W = E_{επαγ} \cdot I \cdot \Delta t \quad (7)$$

Άπό τίς εξισώσεις (6) καί (7) βρίσκουμε :

$$E_{επαγ} \cdot \Delta t = \Delta\Phi \quad \text{άρα} \quad |E_{επαγ}| = \frac{\Delta\Phi}{\Delta t} \quad (8)$$

Άν λάβουμε υπόψη τό νόμο του Lenz, τότε ή εξίσωση (8) γράφεται:

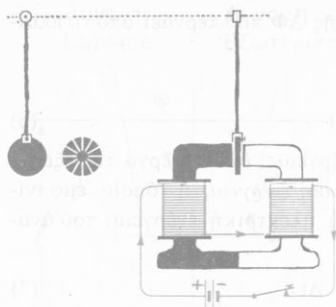
<p style="text-align: center;">ηλεκτεργερτική δύναμη από έπαγωγή</p>	$E_{επαγ} = - \frac{\Delta\Phi}{\Delta t}$
--	--

Φορά του έπαγωγικού ρεύματος. Σύμφωνα μέ τό νόμο του Lenz πρέπει στήν κίνηση του άγωγού ΓΔ νά άντιδρά ή ηλεκτρομαγνητική δύναμη \vec{F}_n . Έπειδή στό θεωρούμενο κύκλωμα (σχ. 51) ό άγωγός ΓΔ μετακινείται προς τά δεξιά, ή ηλεκτρομαγνητική δύναμη έχει φορά προς τά άριστερά καί έπομένως τό έπαγωγικό ρεύμα διαρρέει τόν άγωγό ΓΔ μέ φορά από τό Δ προς τό Γ.

30. Ρεύματα Foucault

Μεταξύ των δύο πόλων ενός ισχυρού ηλεκτρομαγνήτη μπορεί νά αιωρείται μεταλλικός δίσκος. Όταν ό ηλεκτρομαγνήτης δέν διαρρέεται από ρεύμα, ό δίσκος αιωρείται ελεύθερα (σχ.60). Όταν όμως ό ηλεκτρομαγνήτης διαρρέεται από ρεύμα, ό δίσκος, καθώς κινείται, τέμνει τίς δυναμικές γραμμές του μαγνητικού πεδίου πού υπάρχει μεταξύ των πόλων του ηλεκτρομαγνήτη. Σ' αυτή τήν περίπτωση παρατηρούμε ότι ή κίνηση του δίσκου καταργείται γρήγορα, σάν νά ένεργεί πάνω του κάποιο φρένο. Ταυτόχρονα ό δίσκος θερμαίνεται.

Τό φαινόμενο αυτό εξηγείται ως έξής: Μέσα στή μάζα του μεταλλικού δίσκου αναπτύσσονται έπαγωγικά ρεύματα πού κυκλοφορούν μέσα στό μέταλλο. Αυτά τά ρεύματα, σύμφωνα μέ τό νόμο του Lenz, τείνουν νά καταργήσουν τήν κίνηση του δίσκου, ή όποία είναι τό αίτιο πού παράγει τά



Σχ. 60. Στο μεταλλικό δίσκο αναπτύσσονται ρεύματα Foucault.

μέσα σε μικρές περιοχές του δίσκου. Όστε:

Όταν μεταλλική μάζα κινείται μέσα σε μαγνητικό πεδίο ή είναι άκίνητη μέσα σε μεταβαλλόμενο μαγνητικό πεδίο, τότε μέσα στη μάζα του μετάλλου αναπτύσσονται ρεύματα Foucault.

α. Έφαρμογές των ρευμάτων Foucault. Γενικά τα ρεύματα Foucault προκαλούν *θέρμανση* της μάζας του μετάλλου εξαιτίας του φαινομένου Joule. Αυτή τη θερμότητα την εκμεταλλευόμαστε σε ειδικούς φούρνους (*έπαγωγικοί φούρνοι*), για να πετύχουμε τη γρήγορη τήξη μετάλλων. Άλλα συνήθως ή θερμότητα που αναπτύσσεται από τα ρεύματα Foucault, είναι μία *άπωλεια ενέργειας*. Σε διάφορες εφαρμογές (γεννήτριες, κινητήρες, μετασχηματιστές) επιδιώκουμε να περιορίσουμε τις *άπωλεις ενέργειας* που προκαλούνται από τα ρεύματα Foucault και γι' αυτό το σκοπό οι πυρήνες που χρησιμοποιούμε δεν είναι συμπαγείς, αλλά αποτελούνται από φύλλα σιδήρου που είναι *μονωμένα* μεταξύ τους.

Σε μερικές περιπτώσεις εκμεταλλευόμαστε τα ρεύματα Foucault για το *ηλεκτρομαγνητικό φρενάρισμα* μεταλλικών σωμάτων που κινούνται (π.χ. για τη γρήγορη απόσβεση των ταλαντώσεων του κινητού συστήματος σε όργανα μετρήσεων).

31. Ενέργεια του μαγνητικού πεδίου

Ένα κλειστό κύκλωμα αποτελείται από γεννήτρια που έχει ηλεκτρεγερτική δύναμη E , και από πηνίο που έχει συντελεστή αυτεπαγωγής L . Η *ολική αντίσταση* του κυκλώματος είναι R . Όταν κλείσουμε το κύκλωμα, η ένταση του ρεύματος λαμβάνει την τιμή I_0 που καθορίζει ο νόμος του Ohm ($I_0 = E/R$), αφού περάσει *όρισμένος χρόνος* Δt . Αυτό συμβαίνει,

έπαγωγικά ρεύματα. Έτσι τα έπαγωγικά ρεύματα που αναπτύσσονται μέσα στη μάζα του δίσκου *επιβραδύνουν* *συνεχώς* την κίνησή του. Τα έπαγωγικά αυτά ρεύματα ονομάζονται *ρεύματα Foucault*.

Αν στο παραπάνω πείραμα αντικαταστήσουμε το συμπαγή μεταλλικό δίσκο με άλλο δίσκο που *άκτινωτά* έχει έντομες, παρατηρούμε ότι η κίνηση αυτού του δίσκου διαρκεί *περισσότερο χρόνο*. Σ' αυτή την περίπτωση τα ρεύματα Foucault *περιορίζο-*

γιατί στη διάρκεια του χρόνου Δt ένα μέρος από την ενέργεια που παρέχει ή γεννήτρια στο κύκλωμα, μετατρέπεται σε θερμότητα, ενώ η υπόλοιπη ενέργεια αποταμιεύεται στο μαγνητικό πεδίο του πηνίου με τη μορφή *ένεργειας μαγνητικού πεδίου*. Όταν η ένταση του ρεύματος λάβει τη σταθερή τιμή της I_0 , τότε παύει η αποταμίευση ενέργειας στο μαγνητικό πεδίο και η ενέργεια του μαγνητικού πεδίου διατηρείται σταθερή. Αν διακόψουμε το ρεύμα, όλη η ενέργεια που είναι αποταμιευμένη στο μαγνητικό πεδίο του πηνίου, μετατρέπεται σε *ηλεκτρική ενέργεια* και έτσι κατά τη διακοπή του ρεύματος δημιουργείται στο κύκλωμα το ρεύμα από αυτεπαγωγή. Αποδεικνύεται ότι:

Η ενέργεια (W) που αποταμιεύεται στο μαγνητικό πεδίο του πηνίου, είναι ανάλογη με το συντελεστή αυτεπαγωγής (L) του πηνίου και ανάλογη με το τετράγωνο της έντασεως (I_0) του ρεύματος που διαρρέει το πηνίο.

$$\left. \begin{array}{l} \text{ένεργεια μαγνητικού} \\ \text{πεδίου πηνίου} \end{array} \right\} W = \frac{1}{2} L \cdot I_0^2 \quad \left\{ \begin{array}{l} L \text{ σε H, } I_0 \text{ σε A} \\ W \text{ σε Joule} \end{array} \right. \quad (1)$$

Η εξίσωση (1) είναι ανάλογη με την εξίσωση που δίνει την ενέργεια ή όποια είναι αποταμιευμένη στο ηλεκτρικό πεδίο που υπάρχει μεταξύ των όπλισμών ενός φορτισμένου πυκνωτή ($W = \frac{1}{2} C \cdot U^2$). Τα φαινόμενα της αυτεπαγωγής είναι συνέπειες των μετατροπών της *ηλεκτρικής ενέργειας* σε *ένεργεια μαγνητικού πεδίου* και αντίστροφα. Σ' αυτές τις μετατροπές ενέργειας ισχύει η αρχή της διατηρήσεως της ενέργειας.

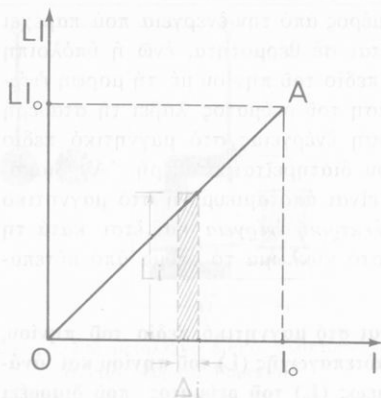
Απόδειξη. Ας θεωρήσουμε ότι μεταξύ των χρονικών στιγμών t και $t + \Delta t$ το πηνίο διαρρέεται από ρεύμα έντασεως i και η ταχύτητα μεταβολής της έντασεως του ρεύματος είναι $\Delta i / \Delta t$. Τότε αναπτύσσεται ΗΕΔ από αυτεπαγωγή, η οποία κατ' απόλυτη τιμή είναι $E_{\omega\tau} = L(\Delta i / \Delta t)$. Έξαιτίας της αυτεπαγωγής ξοδεύεται πάνω στο πηνίο ισχύς:

$$\Delta P = E_{\omega\tau} \cdot i = Li \cdot \frac{\Delta i}{\Delta t} \quad \text{άρα} \quad \Delta P \cdot \Delta t = Li \cdot \Delta i$$

Στη διάρκεια του χρόνου Δt πάνω στο πηνίο ξοδεύεται *ένεργεια*:

$$\Delta W = \Delta P \cdot \Delta t \quad \text{άρα} \quad \Delta W = Li \cdot \Delta i$$

Το μέγεθος Li είναι συνάρτηση του i . Παίρνουμε δύο ορθογώνιους άξονες (σχ. 61). Η μεταβολή του Li σε συνάρτηση με το i παριστάνεται με την ευθεία OA . Θεωρούμε ότι σε μία στοιχειώδη αύξηση της έντασεως



Σχ. 61. Για τον υπολογισμό της ενέργειας του μαγνητικού πεδίου.

του ρεύματος κατά Δi , τό μέγεθος Li διατηρεί σταθερή τιμή. Τότε ή ενέργεια ΔW , πού αντίστοιχει στή μεταβολή τής έντάσεως κατά Δi , αριθμητικά είναι ίση μέ τό έμβαδό ενός στοιχειώδους όρθογώνιου παραλληλόγραμμου (ή γραμμοσκιασμένη επιφάνεια). "Όταν ή ένταση του ρεύματος αυξάνεται από 0 ως I_0 , ή *όλική ενέργεια* W πού αποταμιεύεται στό πηνίο αριθμητικά είναι ίση μέ τό έμβαδό ενός όρθογώνιου τριγώνου πού οί δύο κάθετες πλευρές του έχουν μέτρο αριθμητικά ίσο μέ LI_0 και I_0 . "Αρα έχουμε τήν εξίσωση :

$$W = \frac{1}{2} L \cdot I_0^2$$

Παράδειγμα. Ένα πηνίο έχει συντελεστή αυτεπαγωγής $L = 0,4$ H και διαρρέεται από ρεύμα έντάσεως $I = 20$ A. Στο μαγνητικό πεδίο αυτού του πηνίου είναι αποταμιευμένη ενέργεια:

$$W = \frac{1}{2} L \cdot I^2 \cong \frac{1}{2} \cdot 0,4 \text{ H} \cdot (20 \text{ A})^2 \quad \text{και} \quad W = 80 \text{ Joule}$$

ΠΡΟΒΛΗΜΑΤΑ

41. Ένα κατακόρυφο σύρμα μήκους $l = 10$ cm κινείται μέ ταχύτητα $v = 30$ m/sec μέσα σε όμογενές μαγνητικό πεδίο πού έχει μαγνητική επαγωγή $B = 0,8$ T και οί δυναμικές γραμμές του είναι όριζόντιες. Νά βρεθεί ή επαγωγική τάση πού αναπτύσσεται στις δύο άκρες του σύρματος.

42. Μέσα σε όμογενές μαγνητικό πεδίο πού ή μαγνητική επαγωγή του έχει μέτρο $B = 2,5 \cdot 10^{-2}$ T κινείται εϋθύγραμμος άγωγός AB, μήκους $l = 12$ cm, μέ ταχύτητα $v = 4$ m/sec και ή διεύθυνση τής ταχύτητάς του είναι κάθετη στις δυναμικές γραμμές. α) Πόση ΗΕΔ από επαγωγή αναπτύσσεται στις δύο άκρες του άγωγού; β) Ό άγωγός AB έχει αντίσταση $R_1 = 0,1$ Ω και οί δύο άκρες του συνδέονται μέ αντίσταση $R_2 = 0,5$ Ω. Πόση είναι ή ένταση του επαγωγικού ρεύματος πού διαρρέει τό κύκλωμα και πόσο είναι τό μέτρο τής ηλεκτρομαγνητικής δυνάμεως πού αναπτύσσεται πάνω στόν άγωγό;

43. Ένας εὐθύγραμμος ἀγωγός AB, μήκους $l = 20 \text{ cm}$, κινείται με ταχύτητα $v = 5 \text{ m/sec}$ μέσα σέ ὁμογενές μαγνητικό πεδίο πού ἡ μαγνητική ἐπαγωγή του ἔχει μέτρο $B = 3,768 \cdot 10^{-2} \text{ T}$. Ἡ διεύθυνση τῆς ταχύτητας τοῦ ἀγωγοῦ εἶναι κάθετη στίς δυναμικές γραμμές. Ὁ ἀγωγός AB εἶναι τμήμα κυκλώματος πού ἔχει ὀλική ἀντίσταση $R = 0,4 \Omega$.
 α) Πόση εἶναι ἡ ἔνταση τοῦ ρεύματος πού διαρρέει τό κύκλωμα καί πόση εἶναι ἡ ἠλεκτρική ἐνέργεια πού παράγεται στή διάρκεια τοῦ χρόνου $t = 0,5 \text{ sec}$; β) Πόσο εἶναι τό ἔργο πού ξοδεύεται στή διάρκεια τοῦ χρόνου $t = 0,5 \text{ sec}$ γιά τήν κίνηση τοῦ ἀγωγοῦ AB μέσα στό μαγνητικό πεδίο;
44. Ένα σύρμα, μήκους $l = 1 \text{ m}$, κινείται με ταχύτητα $v = 2 \text{ m/sec}$ κάθετα στίς δυναμικές γραμμές μαγνητικοῦ πεδίου πού ἡ μαγνητική ἐπαγωγή του ἔχει μέτρο $B = 0,5 \text{ T}$. α) Πόση ἐπαγωγική τάση ἀναπτύσσεται στίς ἄκρες τοῦ σύρματος; β) Οἱ δύο ἄκρες τοῦ σύρματος συνδέονται μέ κύκλωμα πού ἔχει ὀλική ἀντίσταση $R = 6 \Omega$. Πόση ἰσχύς πρέπει νά ξοδεύεται, γιά νά διατηρηθεῖ σταθερή ἡ ταχύτητα τῆς κινήσεως τοῦ σύρματος;
45. Ένας χάλκινος δίσκος ἔχει ἀκτίνα $r = 10 \text{ cm}$ καί στρέφεται γύρω ἀπό τόν ἀξονά του μέ συχνότητα $\nu = 20 \text{ Hz}$. Τό ἐπίπεδο τοῦ δίσκου εἶναι κάθετο στίς δυναμικές γραμμές ὁμογενοῦς μαγνητικοῦ πεδίου πού ἡ μαγνητική ἐπαγωγή του ἔχει μέτρο $B = 0,6 \text{ T}$. Πόση εἶναι ἡ ἐπαγωγική τάση πού ἀναπτύσσεται μεταξύ τῆς περιφέρειας καί τοῦ κέντρου τοῦ δίσκου;
46. Ένας ἀγωγός, μήκους $l = 1,2 \text{ m}$ κινείται με ταχύτητα $v = 5 \text{ m/sec}$ μέσα σέ ὁμογενές μαγνητικό πεδίο πού ἡ μαγνητική ἐπαγωγή του ἔχει μέτρο $B = 0,8 \text{ T}$. Ἡ διεύθυνση τῆς ταχύτητας v σχηματίζει γωνία α μέ τίς δυναμικές γραμμές τοῦ μαγνητικοῦ πεδίου. Πόση εἶναι ἡ ἐπαγωγική τάση πού ἀναπτύσσεται στίς ἄκρες τοῦ ἀγωγοῦ, ὅταν ἡ γωνία α εἶναι ἴση μέ 30° , 45° , 60° , 90° ;
47. Ένα εὐθύγραμμο χάλκινο σύρμα στρέφεται γύρω ἀπό ὀριζόντιο μεταλλικό ἀξονα O πού περνáει ἀπό τή μιá ἄκρη τοῦ σύρματος. Τό σύρμα ἔχει μήκος $l = 60 \text{ cm}$ καί αἰωρεῖται μέ τήν ἐπίδραση τῆς βαρύτητας ἔχοντας πάντοτε τήν ἄλλη ἄκρη του βυθισμένη μέσα σέ ὑγρό ἀγωγό A. Ὁ ἀξονας O καί ὁ ὑγρός ἀγωγός A συνδέονται μέ σύρμα καί ἡ ὀλική ἀντίσταση τοῦ κυκλώματος εἶναι $R = 3 \Omega$. Σέ ὄλη τή διάρκεια τῆς αἰωρήσεως τοῦ σύρματος τό μισό κατώτερο μέρος τοῦ σύρματος κινεῖται μέσα σέ ὁμογενές μαγνητικό πεδίο πού ἡ μαγνητική ἐπαγωγή του ἔχει μέτρο $B = 0,048 \text{ T}$. Ἀπομακρύνουμε τό σύρμα ἀπό τήν ἀρχική κατακόρυφη θέση τῆς ἰσορροπίας του κατά γωνία $\alpha = 30^\circ$. Αὕτη ἡ ἀπομάκρυνση γίνεται μέ ὀμαλή κίνηση στή διάρκεια χρόνου $t = 0,1 \text{ sec}$. Νά υπολογιστεῖ ἡ ἔνταση τοῦ ρεύματος πού διαρρέει τό κύκλωμα στή διάρκεια τῆς μετατοπίσεως τοῦ σύρματος καί τό ἔργο πού θά δαπανήσουμε γι' αὕτη τή μετατόπιση.
48. Ένα πηνίο ἔχει ἀντίσταση $R = 6 \Omega$, συντελεστή αὐτεπαγωγῆς $L = 0,3 \text{ H}$ καί στίς ἄκρες του ἐφαρμόζεται τάση $U = 30 \text{ V}$. Πόση ἐνέργεια εἶναι ἀποταμιευμένη στό μαγνητικό πεδίο τοῦ πηνίου;
49. Ένα πηνίο ἔχει συντελεστή αὐτεπαγωγῆς $L = 0,2 \text{ H}$, ἀντίσταση $R = 5 \Omega$ καί στίς ἄκρες του ἐφαρμόζεται τάση $U = 25 \text{ V}$. α) Μέ ποῖο ρυθμό ἀποταμιεύεται ἡ ἐνέργεια στό μαγνητικό πεδίο τοῦ πηνίου, ὅταν ἡ ἔνταση τοῦ ρεύματος ἀξαναμένει ἀπό 0 ὡς τήν τελική τιμή τῆς I_0 φτάσει στήν ἐνδιάμεση τιμή $I = 3 \text{ A}$; β) Πόση ἐνέργεια εἶναι ἀποταμιευμένη στό μαγνητικό πεδίο ἐκείνη τή στιγμή; γ) Πόση ἐνέργεια εἶναι ἀποταμιευμένη στό μαγνητικό πεδίο τοῦ πηνίου, ὅταν ἡ ἔνταση τοῦ ρεύματος λάβει τήν τελική τιμή τῆς I_0 ;

50. Ένα πηνίο με πυρήνα από μαλακό σίδηρο έχει αντίσταση $R = 3,2 \Omega$ και διαρρέεται από ρεύμα έντασης $I = 10 \text{ A}$. α) Πόση τάση U εφαρμόζεται στις άκρες του πηνίου και πόση είναι η ισχύς P του ρεύματος που διαρρέει το πηνίο; β) Το πηνίο αυτό έχει συντελεστή αυτεπαγωγής $L = 48 \text{ H}$. Το ρεύμα διακόπτεται μέσα σε χρονικό διάστημα $t = 1/20 \text{ sec}$. Πόση είναι η ισχύς $P_{\text{αυτ}}$ του ρεύματος που αναπτύσσεται από αυτεπαγωγή και πόσος είναι ο λόγος $P_{\text{αυτ}}/P$;

Έναλλασσόμενο ρεύμα

32. Κύκλωμα έναλλασσόμενου ρεύματος

Στήν παρακάτω στοιχειώδη μελέτη του έναλλασσόμενου ρεύματος θεωρούμε ένα τμήμα κυκλώματος στο οποίο δεν υπάρχει διακλάδωση, γεννήτρια ή κινητήρας. Στις άκρες αυτού του κυκλώματος εφαρμόζεται έναλλασσόμενη τάση. Ο νόμος του Ohm, που ισχύει στο συνεχές ρεύμα, ισχύει και στο έναλλασσόμενο ρεύμα με τον όρο ότι πρέπει να λάβουμε υπόψη τις πολύ γρήγορες μεταβολές της τάσεως και της έντασης του ρεύματος.

33. Κύκλωμα με καθαρή ωμική αντίσταση R

Ένα κύκλωμα αποτελείται μόνο από καθαρή ωμική αντίσταση R (σχ. 62) και στις άκρες της εφαρμόζεται η έναλλασσόμενη τάση:



Σχ. 62. Καθαρή ωμική αντίσταση.

ση του ρεύματος είναι:

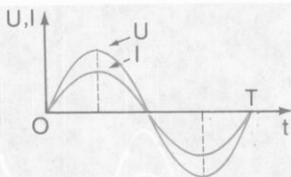
$$I = \frac{U}{R} \quad \text{ή} \quad I = \frac{U_0}{R} \cdot \eta \mu \omega t \quad (2)$$

Από την εξίσωση (2) συνάγεται ότι το πλάτος I_0 της έντασης του ρεύματος είναι:

$$I_0 = \frac{U_0}{R} \quad \text{άρα} \quad I = I_0 \cdot \eta \mu \omega t \quad (3)$$

Οι εξισώσεις (1) και (3) φανερώνουν ότι :

Σε κύκλωμα που αποτελείται μόνο από καθαρή όhmική αντίσταση R , ή τάση και ή ένταση του ρεύματος έχουν πάντοτε την ίδια φάση (σχ. 63).



Σχ. 63. 'Η τάση U και ή ένταση ρεύματος I έχουν πάντοτε την ίδια φάση.

Ξέρουμε ότι είναι:

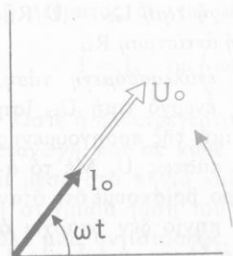
$$I_0 = I_{εν} \cdot \sqrt{2} \quad \text{και} \quad U_0 = U_{εν} \cdot \sqrt{2}$$

Ωστε από την εξίσωση $I_0 = U_0/R$ βρισκουμε :

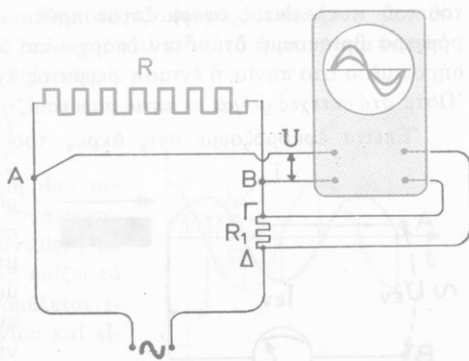
$$\text{νόμος του Ohm} \quad I_{εν} = \frac{U_{εν}}{R} \quad (4)$$

α. Άνυσματικό διάγραμμα. 'Η τάση και ή ένταση ρεύματος είναι δύο έναλλασσόμενα μεγέθη και, όπως ξέρουμε, μπορούμε να τα παραστήσουμε με δύο στρεφόμενα άνυσματα που τό μέτρο τους είναι αντίστοιχα U_0 και I_0 (σχ. 64). Τά δύο αυτά άνυσματα θά τά λέμε δείκτες. Στο άνυσματικό διάγραμμα ό δείκτης τής τάσεως U_0 και ό δείκτης τής εντάσεως ρεύματος I_0 έχουν πάντοτε τήν ίδια διεύθυνση και τήν ίδια φορά και στρέφονται με τήν ίδια γωνιακή ταχύτητα ω .

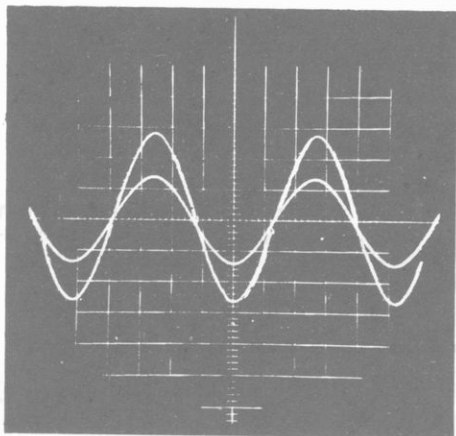
β. Πειραματική επαλήθευση. Ένας ηλεκτρονικός παλμογράφος διπλής



Σχ. 64. Οί δείκτες τής τάσεως και τής εντάσεως ρεύματος έχουν πάντοτε τήν ίδια φάση.



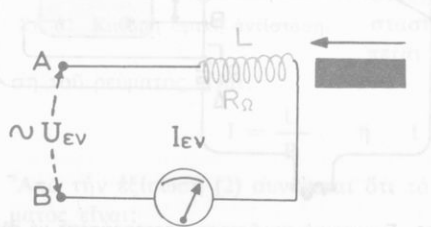
Σχ. 65. Σχηματική παράσταση παρατήρησης με τόν ηλεκτρονικό παλμογράφο. ('Η τάση και ή ένταση ρεύματος έχουν τήν ίδια φάση).



Σχ. 66. Στην οθόνη του παλμογράφου βλέπουμε την ήμιτονοειδή μεταβολή της τάσεως (ή καμπύλη με τό μικρότερο πλάτος) και της εντάσεως ρεύματος. Οι δύο καμπύλες έχουν την ίδια φάση.

που μπορεί νά μετρήσει την ένταση συνεχούς ρεύματος και την ενεργό ένταση εναλλασσόμενου ρεύματος, και ένα πηνίο που έχει ωμική αντίσταση R_0 και συντελεστή αυτεπαγωγής L (σχ. 67). Μέσα στο πηνίο μπορεί νά εισαχθεί πυρήνας μαλακού σιδήρου. Η αντίσταση και η αυτεπαγωγή των υπόλοιπων άγωγών του κυκλώματος είναι ασήμαντες. Στις άκρες αυτού του κυκλώματος εφαρμόζουμε πρώτα *συνεχή τάση* U . Με τό άμπερόμετρο βρίσκουμε ότι, όταν υπάρχει και όταν δέν υπάρχει ο πυρήνας σιδήρου μέσα στο πηνίο, ή ένταση ρεύματος έχει *σταθερή τιμή* $I_{συν} = U/R_0$. "Ωστε στό *συνεχές ρεύμα* τό πηνίο παρουσιάζει *σταθερή αντίσταση* R_0 .

"Επειτα εφαρμόζουμε στις άκρες του πηνίου *εναλλασσόμενη τάση*,



Σχ. 67. Σχηματική διάταξη για την πειραματική απόδειξη της επαγωγικής αντίστασεως.

ένεργειας δείχνει ταυτόχρονα την ήμιτονοειδή μεταβολή της τάσεως U που εφαρμόζεται στις άκρες μιās ωμικής αντίστασεως R και την ήμιτονοειδή μεταβολή της εντάσεως ρεύματος I που διαρρέει αυτή την αντίσταση (σχ. 65). Παρατηρούμε ότι οι δύο ήμιτονοειδείς καμπύλες έχουν *τήν ίδια φάση* (σχ. 66).

34. Πηνίο σε κύκλωμα εναλλασσόμενου ρεύματος

α. Πειραματική απόδειξη της επαγωγικής αντίστασεως. Σε ένα κύκλωμα συνδέονται κατά σειρά ένα άμπερόμετρο

που έχει ενεργό τιμή $U_{εν}$ ίση με την τιμή της προηγούμενης συνεχούς τάσεως U . Με τό άμπερόμετρο βρίσκουμε ότι, όταν μέσα στο πηνίο δέν υπάρχει ο πυρήνας σιδήρου, ή ενεργός ένταση του ρεύματος ($I_{εν}$) είναι *μικρότερη* από την ένταση του αντίστοιχου συνεχούς ρεύματος ($I_{εν} < I_{συν}$). Εισάγουμε μέσα στο

πηνίο τόν πυρήνα μαλακού σιδήρου. Τότε αυξάνεται ο συντελεστής αυτεπαγωγής του πηνίου. Βρίσκουμε ότι η ενεργός ένταση του ρεύματος ελαττώνεται ακόμη περισσότερο. Το πείραμα αυτό δείχνει ότι στο έναλλασσόμενο ρεύμα το πηνίο παρουσιάζει, εκτός από την ωμική αντίσταση R_0 , και μία ακόμη αντίσταση που οφείλεται στην αυτεπαγωγή του πηνίου και ονομάζεται επαγωγική αντίσταση R_L του πηνίου.

β. Αιτία της επαγωγικής αντίστασεως R_L . Θεωρούμε ένα ιδανικό πηνίο που έχει συντελεστή αυτεπαγωγής L και ωμική αντίσταση ίση με μηδέν ($R_0 = 0$). Στις άκρες του πηνίου εφαρμόζεται η στιγμιαία τάση.

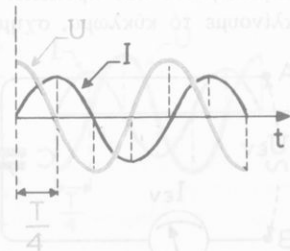
$$U = U_0 \cdot \eta \mu \omega t$$

Το πηνίο διαρρέεται από ρεύμα που η έντασή του μεταβάλλεται ήμισυνοειδώς με συχνότητα ν , ίση με τη συχνότητα της τάσεως. Άλλά οι γρήγορες μεταβολές της εντάσεως του ρεύματος δημιουργούν συνεχώς μέσα στο πηνίο ηλεκτρεγερτική δύναμη από αυτεπαγωγή. Αυτή, σύμφωνα με το νόμο του Lenz, έχει φορά αντίθετη με τη φορά της στιγμιαίας τάσεως του ρεύματος. Όταν λοιπόν η τάση U λαβαίνει την τιμή μηδέν ($U = 0$), η ένταση του ρεύματος δέν λαβαίνει την τιμή μηδέν ($I = 0$) ταυτόχρονα με την τάση, αλλά τείνοντας να διατηρήσει την τιμή της σταθερή, άντλει την απαιτούμενη ενέργεια από την ενέργεια του μαγνητικού πεδίου του πηνίου. Έτσι η ένταση του ρεύματος δέν μηδενίζεται τη στιγμή που μηδενίζεται η τάση, αλλά αφού περάσει χρόνος ίσος με ένα τέταρτο της περιόδου ($T/4$). Άρα η φάση της εντάσεως του ρεύματος καθυστερεί κατά ένα τέταρτο της περιόδου σχετικά με τη φάση της τάσεως (σχ. 68). Έπομένως η αυτεπαγωγή του πηνίου δημιουργεί διαφορά φάσεως ϕ μεταξύ της τάσεως και της εντάσεως του ρεύματος και γι' αυτό η στιγμιαία ένταση του ρεύματος δίνεται από την εξίσωση:

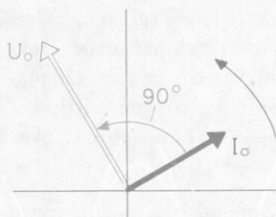
$$I = I_0 \cdot \eta \mu \left(\omega t - \frac{\pi}{2} \right)$$

Όστε η ηλεκτρεγερτική δύναμη από αυτεπαγωγή, που σε κάθε στιγμή αναπτύσσεται μέσα στο πηνίο και είναι αντίθετη με τη στιγμιαία τάση του ρεύματος, παίζει το ρόλο μιās αντίστασεως, που ονομάζεται επαγωγική αντίσταση R_L του πηνίου και είναι ίση με:

$$\text{επαγωγική αντίσταση } R_L = L\omega \quad (1)$$



Σχ. 68. Η φάση της εντάσεως ρεύματος (I) καθυστερεί σχετικά με τη φάση της τάσεως (U) κατά $T/4$.



Σχ. 69. Ο δείκτης της έντασης ρεύματος καθυστερεί σχετικά με το δείκτη της τάσεως κατά γωνία $\varphi = 90^\circ$.

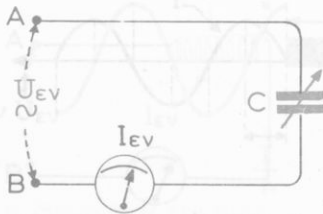
Από την εξίσωση (1) συνάγεται ότι η επαγωγική αντίσταση (R_L) είναι ανάλογη με το συντελεστή αυτεπαγωγής (L) του πηνίου και τη συχνότητα (ν) του ρεύματος.

Ανυσματικό διάγραμμα. Για το παραπάνω ιδανικό πηνίο ($R_0 = 0$) στο ανυσματικό διάγραμμα ο δείκτης της τάσεως U_0 προηγείται από το δείκτη της έντασης ρεύματος I_0 κατά γωνία $\varphi = \pi/2$ (σχ. 69). Οι δύο όμως δείκτες στρέφονται με την ίδια γωνιακή ταχύτητα ω . Από τα παραπάνω καταλήγουμε στο ακόλουθο συμπέρασμα.

Στό κύκλωμα έναλλασσόμενου ρεύματος ή αυτεπαγωγή (L) του ιδανικού πηνίου δημιουργεί την επαγωγική αντίσταση $R_L = L\omega$ και καθυστέρηση της φάσεως της έντασης ρεύματος κατά $\varphi = \pi/2$ σχετικά με τη φάση της τάσεως.

35. Πυκνωτής σε κύκλωμα έναλλασσόμενου ρεύματος

α. Ο πυκνωτής στο συνεχές και στο έναλλασσόμενο ρεύμα. Σε ένα κύκλωμα συνδέονται κατά σειρά άμπερόμετρο που μπορεί να μετρήσει την ένταση συνεχούς και την ενεργό ένταση έναλλασσόμενου ρεύματος, και πυκνωτής που έχει χωρητικότητα C (σχ. 70). Η χωρητικότητα του πυκνωτή μπορεί να μεταβάλλεται. Η αντίσταση και η αυτεπαγωγή των υπόλοιπων άγωγων του κυκλώματος είναι άσημαντες. Στις άκρες του κυκλώματος εφαρμόζουμε πρώτα *συνεχή τάση* U . Το κύκλωμα *δέν διαρρέεται από ρεύμα*, γιατί μεταξύ των δύο όπλισμών του πυκνωτή υπάρχει το στρώμα του διηλεκτρικού που προκαλεί διακοπή του ρεύματος. Μόνο τη στιγμή που κλίνουμε το κύκλωμα, σχηματίζεται στιγμιαίο ρεύμα, που διαρκεί ελάχιστα χρόνο, ώσπου να φορτιστούν οι όπλισμοί του πυκνωτή.



Σχ. 70. Κύκλωμα με καθαρή χωρητικότητα.

Επειτα εφαρμόζουμε στις άκρες του κυκλώματος *έναλλασσόμενη τάση* που έχει ενεργό τιμή U_{EV} ίση με την τιμή της προηγούμενης συνεχούς τάσεως U . Το κύκλωμα *διαρρέεται από ρεύμα* που έχει όρισμένη ενεργό ένταση I_{EV} . Άρα στο κύκλωμα του έναλλασσόμενου ρεύματος ο πυκνωτής *δέν προκαλεί διακοπή* του

ρεύματος. Αυτή ή συμπεριφορά του πυκνωτή έρμηνεύεται ως εξής: Στους δύο όπλισμούς του πυκνωτή εφαρμόζεται μία ήμιτονοειδώς μεταβαλλόμενη τάση, η οποία προκαλεί διαδοχικές φορτίσεις και εκφορτίσεις του πυκνωτή. Μέσα σε μία περίοδο κάθε όπλισμός του πυκνωτή άποκτά διαδοχικά θετικό φορτίο (έλλειψη ηλεκτρονίων) και άρνητικό φορτίο (πλεόνασμα ηλεκτρονίων). Έπομένως μέσα στους άγωγούς του κυκλώματος τά ήλεκτρονία εκτελούν *ταλαντώσεις* με κέντρο τή μέση θέση ίσορροπίας τους. Τό κύκλωμα διαρρέεται από έναλλασσόμενο ρεύμα, αλλά μεταξύ των δύο όπλισμών του πυκνωτή δέ συμβαίνει καμιά μετακίνηση ήλεκτρικών φορτίων. Σ' αυτό τό χώρο σχηματίζεται ένα ήμιτονοειδώς μεταβαλλόμενο ήλεκτρικό πεδίο με ένταση $E = E_0 \cdot \eta\mu\omega t$.

β. Χωρητική ά αντίσταση. Στίς άκρες του κυκλώματος εφαρμόζεται ένεργός τάση $U_{εν}$ και ό πυκνωτής έχει μεταβλητή χωρητικότητα (σχ. 70). Παρατηρούμε ότι, όταν *αυξάνεται ή χωρητικότητα* C του πυκνωτή, ταυτόχρονα *αυξάνεται ή ένεργός ένταση* $I_{εν}$ του ρεύματος. Άρα στό έναλλασσόμενο ρεύμα ό πυκνωτής συμπεριφέρεται σάν άγωγός με όρισμένη αντίσταση, πού όνομάζεται *χωρητική αντίσταση* R_C του πυκνωτή και είναι ίση με:

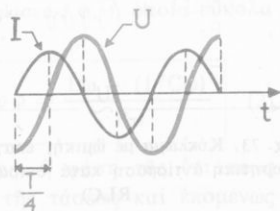
$$\text{χωρητική αντίσταση } R_C = \frac{1}{C\omega} \quad (1)$$

Άπό τήν εξίσωση (1) συνάγεται ότι ή χωρητική αντίσταση (R_C) είναι αντιστρόφως άνάλογη με *τή χωρητικότητα* (C) του πυκνωτή και *τή συχνότητα* (ν) του ρεύματος.

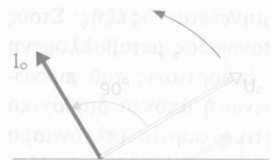
γ. Επίδραση τής χωρητικότητας στή φάση τής έντάσεως ρεύματος. Στίς άκρες του κυκλώματος (σχ. 62) εφαρμόζεται ή ήμιτονοειδής τάση

$$U = U_0 \cdot \eta\mu\omega t$$

Συνδέουμε τό κύκλωμα με ήλεκτρονικό παλμογράφο διπλής ένεργείας. Παρατηρούμε ότι στήν εφαρμοζόμενη ήμιτονοειδή τάση άντιστοιχεί ήμιτονοειδής ένταση ρεύματος τής ίδιας συχνότητας (σχ. 71). Όποιαδήποτε και άν είναι ή τιμή τής χωρητικότητας C του πυκνωτή ή φάση τής έντάσεως ρεύματος I προηγείται από τή φάση τής τάσεως U κατά ένα τέταρτο τής περιόδου ($T/4$). Ωστε ή *στιγμιαία ένταση* του



Σχ. 71. Η φάση τής έντάσεως ρεύματος (I) προηγείται από τή φάση τής τάσεως (U) κατά $T/4$.



Σχ. 72. Ο δείκτης της έντασης ρεύματος προηγείται από το δείκτη της τάσεως κατά γωνία $\varphi = 90^\circ$.

ρεύματος δίνεται από την εξίσωση:

$$I = I_0 \cdot \eta\mu \left(\omega t + \frac{\pi}{2} \right)$$

Ύνυσματικό διάγραμμα. Στο ύνυσματικό διάγραμμα ο δείκτης της έντασης ρεύματος I_0 προηγείται από το δείκτη της τάσεως U_0 κατά γωνία $\varphi = \pi/2$ (σχ. 72).

Από τα παραπάνω καταλήγουμε στο ακόλουθο συμπέρασμα:

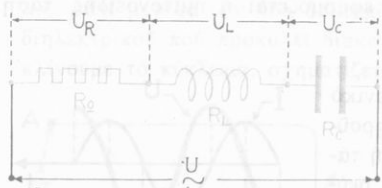
Στό κύκλωμα έναλλασσόμενου ρεύματος ή χωρητικότητα (C) του πυκνωτή δημιουργεί τη χωρητική αντίσταση $R_C = 1/C\omega$ και προχώρηση της φάσεως της έντασης ρεύματος κατά $\varphi = \pi/2$ σχετικά με τη φάση της τάσεως.

36. Νόμος του Ohm για κύκλωμα έναλλασσόμενου ρεύματος

Θά εξετάσουμε τη γενική περίπτωση ενός κυκλώματος στο οποίο συνδέονται κατά σειρά καθαρή ωμική αντίσταση R_Ω , πυκνωτής που έχει χωρητικότητα C, και πηνίο που έχει συντελεστή αυτεπαγωγής L και άσημαντη ωμική αντίσταση (σχ. 73). Το κύκλωμα αυτό λέγεται για συντομία και κύκλωμα RLC. Στις άκρες του κυκλώματος εφαρμόζεται έναλλασσόμενη τάση που η στιγμιαία τιμή της δίνεται από την εξίσωση:

στιγμιαία τάση

$$U = U_0 \cdot \eta\mu \omega t$$



Σχ. 73. Κύκλωμα με ωμική, επαγωγική και χωρητική αντίσταση κατά σειρά (κύκλωμα RLC)

α. Οι τρεις συνιστώσες τάσεις U_R , U_L , U_C . Σε κάθε στιγμή πάνω σε καθεμιά αντίσταση, δηλαδή την ωμική αντίσταση R_Ω , την επαγωγική αντίσταση R_L και τη χωρητική αντίσταση R_C , εφαρμόζεται μία τάση, ή όποια λαβαίνει τη μέγιστη τιμή της, όταν η ένταση του ρεύματος λαβαίνει αντίστοιχα πάνω σε κάθε αντίσταση τη μέγιστη τιμή I_0 . Έτσι πάνω στις τρεις αντίστοιχες τάσεις:

η ωμική συνιστώσα τάση

$$U_R = I_0 \cdot R_\Omega$$

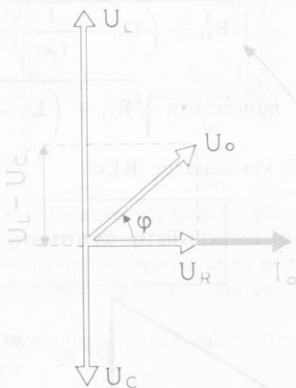
ή επαγωγική συνιστώσα τάση

$$U_L = I_0 \cdot R_L \quad \text{ή} \quad U_L = I_0 \cdot L\omega$$

ή χωρητική συνιστώσα τάση

$$U_C = I_0 \cdot R_C \quad \text{ή} \quad U_C = \frac{I_0}{C\omega}$$

β. Τό πλάτος της τάσεως U_0 . Πάνω στην ωμική αντίσταση R_Ω ή τάση και ή ένταση του ρεύματος έχουν πάντοτε *τήν ίδια φάση* (σχ. 74). Πάνω στο πηνίο ή φάση της έντάσεως του ρεύματος *καθυστερεί* σχετικά με τη φάση της τάσεως κατά γωνία $\pi/2$. Τέλος πάνω στον πυκνωτή ή φάση της έντάσεως του ρεύματος *προηγείται* σχετικά με τη φάση της τάσεως κατά γωνία $\pi/2$. Έπομένως οι δείκτες της επαγωγικής συνιστώσας U_L και της χωρητικής συνιστώσας U_C είναι κάθετοι στο δείκτη της ωμικής συνιστώσας U_R , έχουν όμως πάντοτε *αντίθετη φορά*. Όλοι οι δείκτες στρέφονται με την ίδια γωνιακή ταχύτητα ω . Η συνισταμένη των τριών τάσεων U_R , U_L και U_C είναι *τό πλάτος της τάσεως* U_0 , ή οποία εφαρμόζεται στις άκρες του κυκλώματος που έχουμε. Από τό σχήμα βρίσκουμε ότι *τό πλάτος της τάσεως* U_0 έχει μέτρο:



Σχ 74. Τό πλάτος της τάσεως U_0 είναι ή συνισταμένη των τριών τάσεων U_R , U_L και U_C .

πλάτος της τάσεως

$$U_0 = \sqrt{U_R^2 + (U_L - U_C)^2} \quad \text{ή} \quad U_0 = I_0 \sqrt{R_\Omega^2 + \left(L\omega - \frac{1}{C\omega} \right)^2} \quad (1)$$

γ. Διαφορά φάσεως ϕ . Από τό σχήμα φαίνεται ότι μεταξύ της έντάσεως του ρεύματος και της τάσεως υπάρχει *διαφορά φάσεως* ϕ , ή οποία εύκολα βρίσκουμε ότι προσδιορίζεται από την εξίσωση:

$$\text{διαφορά φάσεως } \epsilon\phi\phi = \frac{U_L - U_C}{U_R} \quad \text{ή} \quad \epsilon\phi\phi = \frac{L\omega - (1/C\omega)}{R_\Omega} \quad (2)$$

Παρατηρούμε ότι στο κύκλωμα που πήραμε, ή φάση της έντάσεως του ρεύματος *καθυστερεί* σχετικά με τη φάση της τάσεως και έπομένως ή *στιγμιαία ένταση του ρεύματος* δίνεται από την εξίσωση:

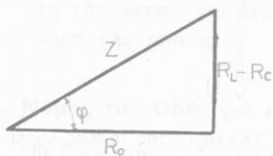
$$\text{στιγμιαία ένταση ρεύματος} \quad I = I_0 \cdot \eta\mu(\omega t - \phi)$$

δ. Σύνθετη αντίσταση του κυκλώματος. Από την εξίσωση (1) βρίσκουμε:

$$I_0 = \frac{U_0}{\sqrt{R_\Omega^2 + \left(L\omega - \frac{1}{C\omega}\right)^2}} \quad \text{καί} \quad I_{ev} = \frac{U_{ev}}{\sqrt{R_\Omega^2 + \left(L\omega - \frac{1}{C\omega}\right)^2}} \quad (3)$$

Η παράσταση $\sqrt{R_\Omega^2 + \left(L\omega - \frac{1}{C\omega}\right)^2}$ ονομάζεται *σύνθετη αντίσταση* Z του κυκλώματος RLC.

$$\text{σύνθετη αντίσταση} \quad Z = \sqrt{R_\Omega^2 + \left(L\omega - \frac{1}{C\omega}\right)^2} \quad (4)$$



Σχ. 75. Γραφική παράσταση της σύνθετης αντίστασης Z .

Γραφική παράσταση της σύνθετης αντίστασης. Η εξίσωση (4) φανερώνει ότι η σύνθετη αντίσταση Z μπορεί να θεωρηθεί ως υποτείνουσα ενός ορθογώνιου τριγώνου που οι δύο κάθετες πλευρές του έχουν αντίστοιχα μέτρο R_Ω και $R_L - R_C$ (σχ. 75). Τότε η γωνία φ παριστάνει τη διαφορά φάσεως μεταξύ της έντασης του ρεύματος και της τάσεως, γιατί στο

τρίγωνο αυτό είναι:

$$\varepsilon\varphi\varphi = \frac{R_L - R_C}{R_\Omega} \quad \text{ή} \quad \varepsilon\varphi\varphi = \frac{L\omega - (1/C\omega)}{R_\Omega}$$

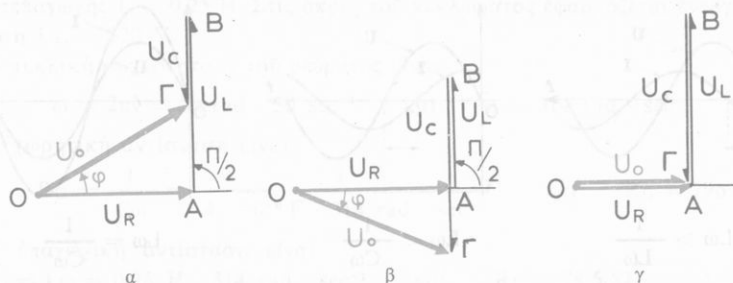
Παρατηρούμε ότι η διαφορά φάσεως φ προσδιορίζεται και από την εξίσωση:

$$\text{διαφορά φάσεως} \quad \text{συν} \varphi = \frac{R_\Omega}{Z}$$

ε. Νόμος του Ohm για κύκλωμα έναλλασσόμενου ρεύματος. Από την εξίσωση (3) συνάγεται ότι για κύκλωμα RLC ισχύει ο ακόλουθος νόμος του Ohm:

$$\text{νόμος του Ohm} \quad I_{ev} = \frac{U_{ev}}{Z} \quad \text{ή} \quad I_{ev} = \frac{U_{ev}}{\sqrt{R_\Omega^2 + \left(L\omega - \frac{1}{C\omega}\right)^2}} \quad (5)$$

στ. Διερεύνηση της εξισώσεως $\varepsilon\varphi\varphi = \frac{L\omega - (1/C\omega)}{R_\Omega}$. Οι τέσσερις



Σχ. 76. Άνυσματικός ύπολογισμός του πλάτους U_0 της τάσεως και της διαφοράς φάσεως φ .
 α. $\varphi > 0$, ή φάση της έντάσεως του ρεύματος καθυστερεί σχετικά με τη φάση της τάσεως.
 β. $\varphi < 0$, ή φάση της έντάσεως προηγείται σχετικά με τη φάση της τάσεως.
 γ. $\varphi = 0$, ή ένταση του ρεύματος και η τάση έχουν την ίδια φάση.

τάσεις U_R, U_L, U_C και U_0 μπορούν να παρασταθούν με άνυσματα (σχ. 76) που τό καθένα έχει μέτρο:

- ή ωμική συνιστώσα U_R $OA = R \cdot I_0$
- ή επαγωγική συνιστώσα U_L $AB = R_L \cdot I_0$ ή $AB = L I_0 \omega$
- ή χωρητική συνιστώσα U_C $B\Gamma = R_C \cdot I_0$ ή $B\Gamma = \frac{I_0}{C\omega}$
- ή συνισταμένη τάση U_0 $O\Gamma = U_0$

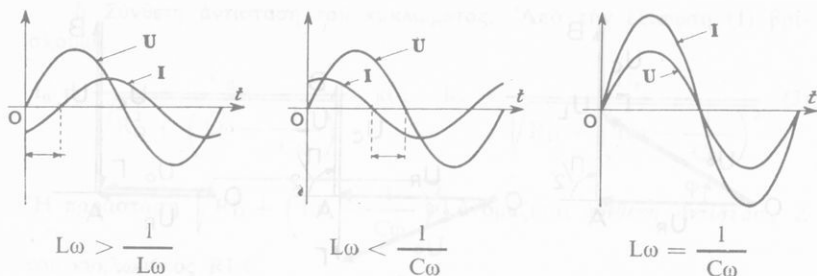
Η διαφορά φάσεως μεταξύ της έντάσεως του ρεύματος και της τάσεως προσδιορίζεται από την εξίσωση:

$$\epsilon\varphi \varphi = \frac{L\omega - (1/C\omega)}{R\omega}$$

Από την παραπάνω εξίσωση συνάγεται ότι είναι δυνατές οι εξής τρεις περιπτώσεις:

1. Αν είναι $L\omega > \frac{1}{C\omega}$, τότε επικρατέστερο είναι τό αποτέλεσμα της επαγωγικής αντίστασεως (R_L) και ή γωνία φ είναι θετική (σχ. 76α). Η φάση της έντάσεως του ρεύματος καθυστερεί σχετικά με τη φάση της τάσεως.

2. Αν είναι $L\omega < \frac{1}{C\omega}$, τότε επικρατέστερο είναι τό αποτέλεσμα της χωρητικής αντίστασεως (R_C) και ή γωνία φ είναι αρνητική (σχ. 76β). Η φάση της έντάσεως του ρεύματος προηγείται σχετικά με τη φάση της τάσεως.



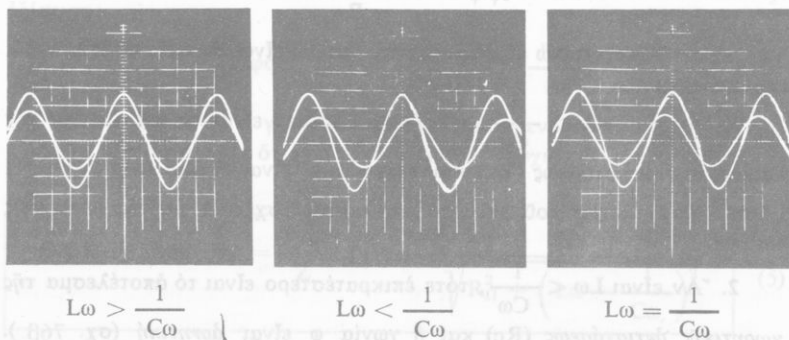
Σχ. 77. Γραφική παράσταση για τις καμπύλες που παρατηρούμε στην οθόνη του παλμογράφου.

3. Αν είναι $L\omega = \frac{1}{C\omega}$, τα αποτελέσματα της επαγωγικής και της χωρητικής αντίστασης αλληλοαναιρούνται και η γωνία φ είναι ίση με μηδέν (σχ. 76γ). Η ένταση του ρεύματος και η τάση έχουν την ίδια φάση.

Στό σχήμα 69 δείχνονται σχηματικά οι παρατηρούμενες στον ηλεκτρονικό παλμογράφο καμπύλες της τάσεως και της έντάσεως του ρεύματος στις παραπάνω τρεις περιπτώσεις.

Στό σχήμα 78 φαίνονται οι καμπύλες που βλέπουμε στην οθόνη του παλμογράφου.

Παράδειγμα. Σέ κύκλωμα εναλλασσόμενο ρεύματος, συχνότητας $\nu = 50$ Hz, συνδέονται κατά σειρά πυκνωτής που έχει χωρητικότητα $C = 4 \mu\text{F}$ και πηνίο που έχει ωμική αντίσταση $R_0 = 500 \Omega$ και συντελεστή



Σχ. 78. Καμπύλες της τάσεως και της έντάσεως ρεύματος παρατηρούμενες στην οθόνη του παλμογράφου.

αυτεπαγωγής $L = 0,25 \text{ H}$. Στις άκρες του κυκλώματος εφαρμόζεται ενεργός τάση $U_{ev} = 120 \text{ V}$.

Η κυκλική συχνότητα ω του ρεύματος είναι

$$\omega = 2\pi\nu = 2\pi \text{ rad} \cdot 50 \text{ sec}^{-1} \quad \text{καί} \quad \omega = 314 \text{ rad} \cdot \text{sec}^{-1}$$

Η χωρητική αντίσταση είναι

$$R_C = \frac{1}{C\omega} = \frac{1}{4 \cdot 10^{-6} \text{ F} \cdot 314 \text{ rad} \cdot \text{sec}^{-1}} \quad \text{καί} \quad R_C = 796 \Omega$$

Η επαγωγική αντίσταση είναι

$$R_L = L\omega = 0,25 \text{ H} \cdot 314 \text{ rad} \cdot \text{sec}^{-1} \quad \text{καί} \quad R_L = 78,5 \Omega$$

Η σύνθετη αντίσταση Z του κυκλώματος είναι

$$Z = \sqrt{R_{\Omega}^2 + \left(L\omega - \frac{1}{C\omega}\right)^2} = \sqrt{500^2 \Omega^2 + (78,5 - 796)^2 \Omega^2}$$

$$\text{καί} \quad Z = 875 \Omega$$

Η ενεργός ένταση I_{ev} του ρεύματος είναι:

$$I_{ev} = \frac{U_{ev}}{Z} = \frac{120 \text{ V}}{875 \Omega} \quad \text{καί} \quad I_{ev} \approx 0,137 \text{ A}$$

Η διαφορά φάσεως φ είναι

$$\text{σύν } \varphi = \frac{R_{\Omega}}{Z} = \frac{500 \Omega}{875 \Omega} = 0,57 \quad \text{άρα} \quad \varphi = 55^{\circ} 15'$$

Επειδή είναι $L\omega < \frac{1}{C\omega}$ ή φάση της έντάσεως του ρεύματος προηγείται σχετικά με τη φάση της τάσεως (άρα $\varphi < 0$).

Στις άκρες της χωρητικής αντιστάσεως R_C εφαρμόζεται ενεργός τάση

$$U_{\text{πυκνωτή}} = R_C \cdot I_{ev} = 796 \Omega \cdot 0,137 \text{ A} \quad \text{καί} \quad U_{\text{πυκνωτή}} \approx 109 \text{ V}$$

Η τάση που εφαρμόζεται στις άκρες του πηνίου είναι συνισταμένη των δύο ενεργών τάσεων $R_{\Omega} \cdot I_{ev}$ και $R_L \cdot I_{ev}$.

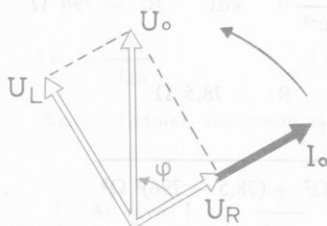
Άρα στις άκρες του πηνίου εφαρμόζεται ενεργός τάση

$$U_{\text{πηνίου}} = \sqrt{(R_{\Omega} I_{ev})^2 + (R_L I_{ev})^2} = I_{ev} \sqrt{R_{\Omega}^2 + R_L^2}$$

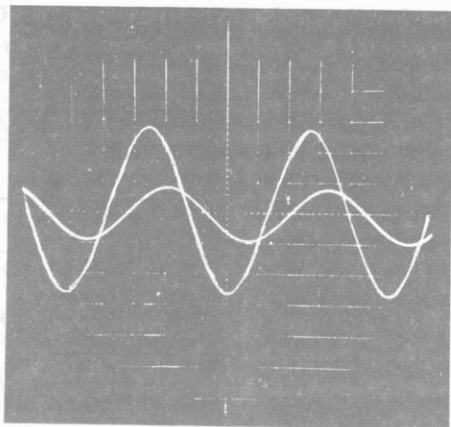
$$\text{ή} \quad U_{\text{πηνίου}} = 0,137 \text{ A} \cdot \sqrt{(500^2 + 78,5^2)\Omega^2} \quad \text{καί} \quad U_{\text{πηνίου}} \approx 69 \text{ V}$$

η. Μερικές περιπτώσεις κυκλωμάτων έναλλασσόμενου ρεύματος.

1. Κύκλωμα με ωμική αντίσταση R_{Ω} και αυτεπαγωγή L κατά σειρά. Σ' αυτή την περίπτωση είναι $C = 0$ και επομένως από τις παραπάνω γενικές εξισώσεις βρίσκουμε:



Σχ. 79. Στο κύκλωμα RL η φάση της έντασης ρεύματος καθυστερεί σχετικά με τη φάση της τάσεως κατά γωνία φ .



Σχ. 80. Παρατήρηση με τον παλμογράφο σε κύκλωμα RL. Η φάση της έντασης ρεύματος καθυστερεί σχετικά με τη φάση της τάσεως.

$$\text{διαφορά φάσεως} \quad \epsilon\varphi \quad \varphi = \frac{L\omega}{R_{\Omega}}$$

$$\text{σύνθετη αντίσταση} \quad Z = \sqrt{R_{\Omega}^2 + (L\omega)^2}$$

$$\text{ένεργος ένταση του ρεύματος} \quad I_{\epsilon\nu} = \frac{U_{\epsilon\nu}}{Z} = \frac{U_{\epsilon\nu}}{\sqrt{R_{\Omega}^2 + (L\omega)^2}}$$

Η φάση της έντασης του ρεύματος *καθυστερεί* σχετικά με τη φάση της τάσεως κατά γωνία φ (σχ. 79) και επομένως η στιγμιαία τάση και η στιγμιαία ένταση του ρεύματος δίνονται από τις εξισώσεις:

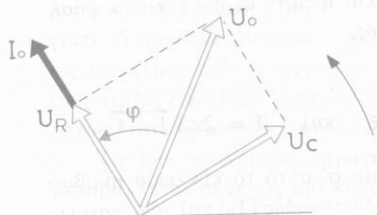
$$U = U_0 \cdot \eta\mu\omega t \quad \text{καί} \quad I = I_0 \cdot \eta\mu(\omega t - \varphi)$$

Στο σχήμα 80 φαίνονται οι καμπύλες που παρατηρούμε στην οθόνη του παλμογράφου για κύκλωμα RL.

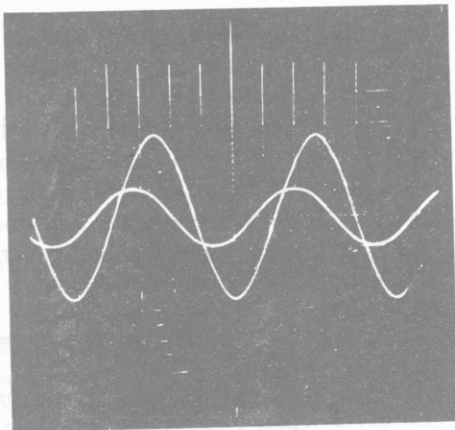
2. Κύκλωμα με ωμική αντίσταση R_{Ω} και χωρητικότητα C κατά σειρά. Σ' αυτή την περίπτωση είναι $L = 0$ και επομένως από τις γενικές εξισώσεις βρίσκουμε:

$$\text{διαφορά φάσεως} \quad \epsilon\varphi \quad \varphi = \frac{1/C\omega}{R_{\Omega}} = \frac{1}{R_{\Omega} \cdot C\omega}$$

$$\text{σύνθετη αντίσταση} \quad Z = \sqrt{R_{\Omega}^2 + (1/C\omega)^2}$$



Σχ. 81. Στο κύκλωμα RC η φάση της έντασης ρεύματος προηγείται από τη φάση της τάσεως κατά γωνία φ.



Σχ. 82. Παρατήρηση με τον παλμογράφο σε κύκλωμα RC. Η φάση της έντασης ρεύματος προηγείται από τη φάση της τάσεως.

ένεργος ένταση του ρεύματος

$$I_{ev} = \frac{U_{ev}}{Z} = \frac{U_{ev}}{\sqrt{R_{\Omega}^2 + (1/C\omega)^2}}$$

Η φάση της έντασης του ρεύματος προηγείται σχετικά με τη φάση της τάσεως κατά γωνία φ (σχ. 81) και επομένως η στιγμιαία τάση και η στιγμιαία ένταση του ρεύματος δίνονται από τις εξισώσεις:

$$U = U_0 \cdot \eta\mu\omega t \quad \text{καί} \quad I = I_0 \cdot \eta\mu(\omega t + \varphi)$$

Στό σχήμα 82 φαίνονται οι καμπύλες που παρατηρούμε στήν οθόνη του παλμογράφου για κύκλωμα RC.

37. Συντονισμός

Σέ ένα κύκλωμα συνδέονται κατά σειρά ώμική αντίσταση R_{Ω} , αυτεπαγωγή L και χωρητικότητα C (κύκλωμα RLC). Η σύνθετη αντίσταση του κυκλώματος είναι:

$$Z = \sqrt{R_{\Omega}^2 + \left(L\omega - \frac{1}{C\omega}\right)^2} \quad (1)$$

Η εξίσωση (1) δείχνει ότι η σύνθετη αντίσταση Z του κυκλώματος είναι πάντοτε μεγαλύτερη από την ώμική αντίσταση R_{Ω} . Η σύνθετη αντίσταση

λαβαίνει τή μικρότερη τιμή της $Z = R\Omega$, όταν είναι:

$$L\omega - \frac{1}{C\omega} = 0 \quad \text{άρα} \quad L\omega = \frac{1}{C\omega} \quad (2)$$

Σ' αυτή τήν περίπτωση ή ενεργός ένταση του ρεύματος λαβαίνει τή μέγιστη τιμή της $I_{ev} = U_{ev}/R\Omega$ και ή διαφορά φάσεως φ μεταξύ τής έντασεως του ρεύματος και τής τάσεως είναι ίση με μηδέν ($\varphi = 0$, γιατί είναι εφ $\varphi = 0$), δηλαδή ή ένταση του ρεύματος και ή τάση έχουν τήν ίδια φάση. Αυτό τό φαινόμενο ονομάζεται συντονισμός.

Άπό τήν εξίσωση (2) βρίσκουμε:

$$\omega = \frac{1}{\sqrt{L \cdot C}} \quad \text{ή} \quad \frac{2\pi}{T} = \frac{1}{\sqrt{L \cdot C}} \quad \text{και} \quad T = 2\pi \sqrt{L \cdot C}$$

Ή περίοδος και ή συχνότητα, γιά τήν όποία σ' αυτό τό κύκλωμα συμβαίνει συντονισμός, ονομάζονται αντίστοιχα ιδιοπερίοδος (T_0) και ιδιοχυσνότητα (ν_0) του κυκλώματος.

Άπό τά παραπάνω καταλήγουμε στά έξής συμπεράσματα:

I. Σέ ένα κύκλωμα πού συνδέονται κατά σειρά ώμική, επαγωγική και χωρητική αντίσταση, ή ενεργός ένταση του ρεύματος λαβαίνει τή μέγιστη τιμή, όταν υπάρχει συντονισμός, δηλαδή όταν ή συχνότητα τής τάσεως πού εφαρμόζεται στό κύκλωμα είναι ίση με τήν ιδιοσυχνότητα (ν_0) του κυκλώματος.

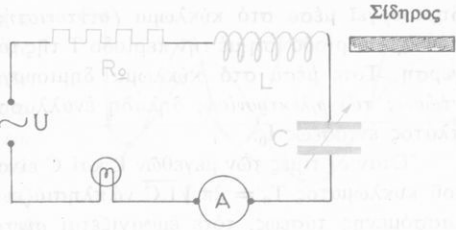
$$\text{μέγιστη ενεργός ένταση} \quad I_{ev} = \frac{U_{ev}}{R\Omega}$$

II. Κατά τό συντονισμό ή ιδιοπερίοδος (T_0) του κυκλώματος σέ συνάρτηση με τήν αυτεπαγωγή (L) και τή χωρητικότητα (C) του κυκλώματος δίνεται από τήν εξίσωση Thomson :

$$\text{εξίσωση Thomson} \quad T_0 = 2\pi \sqrt{L \cdot C}$$

α. Πειραματική απόδειξη του συντονισμού. Με τή διάταξη πού δείχνει τό σχήμα 83 μπορούμε νά αποδείξουμε πειραματικά τήν εξάρτηση τής ενεργού έντασεως του ρεύματος από τήν τιμή πού έχει τό διωνύμο $L\omega - (1/C\omega)$. Ή κυκλική συχνότητα ω του ρεύματος, ή ώμική αντίσταση $R\Omega$ και ή χωρητικότητα C διατηρούν σταθερές τιμές. Εισάγουμε άργά μέσα στό πηνίο έναν πυρήνα μαλακού σιδήρου. Τότε μεταβάλλεται ό συντελεστής αυτεπαγωγής L του πηνίου και συνεπώς μεταβάλλεται ή τιμή του διωνύμου

$L\omega = 1/C\omega$). Όταν ο πυρήνας βρεθεί σε όριστη θέση, παρατηρούμε τη μέγιστη φωτοβολία του λαμπτήρα. Αυτό σημαίνει ότι για μία όριστη τιμή του L ή ένταση του ρεύματος λαβαίνει τη μέγιστη τιμή, γιατί η σύνθετη αντίσταση άποκτησε την ελάχιστη τιμή ($Z = R_0$). Άρα ισχύει τότε η συνθήκη συντονισμού $L\omega = 1/C\omega$.



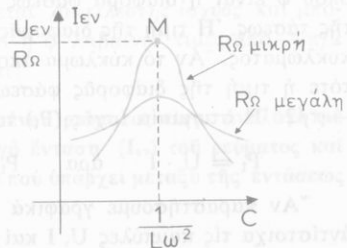
Σχ. 83. Σχηματική διάταξη για την πειραματική απόδειξη του συντονισμού σε κύκλωμα RLC.

Τό ίδιο φαινόμενο παρατηρούμε, αν τό L διατηρείται σταθερό, και μεταβάλλεται συνεχώς και κατά την ίδια φορά ή χωρητικότητα C .

β. Άναλογία μέ τό μηχανικό φαινόμενο του συντονισμού. Στο παραπάνω κύκλωμα εφαρμόζουμε σταθερή τάση U_{ev} . Όταν στό κύκλωμα υπάρχει συντονισμός, τότε ισχύει ή εξίσωση:

$$L\omega = \frac{1}{C\omega} \quad \text{άρα} \quad C = \frac{1}{L\omega^2}$$

Αν παρακολουθήσουμε τίς μεταβολές της ενεργού έντάσεως I_{ev} σε συνάρτηση μέ τίς μεταβολές της χωρητικότητας C , παίρνουμε την καμπύλη πού δείχνει τό σχήμα 84. Αύτή ή καμπύλη μοιάζει μέ την καμπύλη πού έχουμε για τό μηχανικό φαινόμενο του συντονισμού. Τό πείραμα και ή θεωρία βρίσκουν ότι τό μέγιστο (M) της ενεργού έντάσεως του ρεύματος είναι τόσο πίο καθαρό, δηλαδή ή καμπύλη παρουσιάζει όξεία αιχμή (όξύς συντονισμός) όσο πίο μικρή είναι ή ωμική αντίσταση R_0 του κυκλώματος. Τότε ή ιδιοπερίοδος T_0 του κυκλώματος είναι ίση μέ την περίοδο T της τάσεως πού εφαρμόζεται στό κύκλωμα. Αύτή ή τάση παίζει τό ρόλο του διεγέρτη και τό κύκλωμα παίζει τότε τό ρόλο του συντονιστή. Η ωμική αντίσταση R_0 καθορίζει τη μικρή ή μεγάλη απόσβεση, όπως οί τριβές στα μηχανικά φαινόμενα.



Όταν οί τιμές των μεγεθών L και C είναι τυχαίες, τότε ή έναλλασσόμενη τάση (διεγέρτης) πού εφαρμόζεται στις άκρες του κυκλώματος RLC,

Σχ. 84. Ο συντονισμός είναι όξύς, όταν ή R_0 είναι μικρή.

δημιουργεί μέσα στο κύκλωμα (συντονιστής) ένα εναλλασσόμενο ρεύμα που έχει περίοδο ίση με την περίοδο T της τάσεως ή όποια προκαλεί τη διέγερση. Τότε μέσα στο κύκλωμα δημιουργούνται *εξαναγκασμένες ταλαντώσεις των ηλεκτρονίων*, δηλαδή εναλλασσόμενο ρεύμα που έχει μικρό πλάτος έντασεως I_0 .

Όταν οι τιμές των μεγεθών L και C είναι τέτοιες, ώστε η ιδιοπερίοδος του κυκλώματος $T_0 = 2\pi\sqrt{LC}$ να πλησιάζει προς την περίοδο T της εναλλασσόμενης τάσεως, τότε εμφανίζεται *συντονισμός* που είναι τόσο οξύτερος, όσο μικρότερη είναι η ωμική αντίσταση R_Ω του κυκλώματος. Και όπως στην περίπτωση του μηχανικού συντονισμού, έτσι και κατά το συντονισμό του κυκλώματος το πλάτος της έντασεως I_0 λαβαίνει τη μέγιστη τιμή, γιατί είναι:

$$I_{\text{εν}} = \frac{U_{\text{εν}}}{R_\Omega} \quad \text{ή} \quad I_0\sqrt{2} = \frac{U_0\sqrt{2}}{R_\Omega} \quad \text{καί} \quad I_0 = \frac{U_0}{R_\Omega}$$

38. Μέση ισχύς και συντελεστής ισχύος

Στό *συνεχές ρεύμα*, όταν στις άκρες του κυκλώματος εφαρμόζεται τάση U και η ένταση του ρεύματος είναι I , τότε η παρεχόμενη στο κύκλωμα ισχύς P είναι $P = U \cdot I$. Τά μεγέθη U και I είναι σταθερά και επομένως η ισχύς P του συνεχούς ρεύματος είναι σταθερή.

Στό *εναλλασσόμενο ρεύμα* τά μεγέθη U και I συνεχώς μεταβάλλονται. Αν στις άκρες του κυκλώματος εφαρμόζεται η εναλλασσόμενη τάση:

$$U = U_0 \cdot \eta\mu\omega t \quad (1)$$

τότε η στιγμιαία ένταση του ρεύματος είναι:

$$I = I_0 \cdot \eta\mu(\omega t - \varphi) \quad (2)$$

όπου φ είναι η διαφορά φάσεως μεταξύ της έντασεως του ρεύματος και της τάσεως. Η τιμή της διαφοράς φάσεως εξαρτάται από τις ιδιότητες του κυκλώματος. Αν το κύκλωμα αποτελείται από διάφορα είδη αντιστάσεων, τότε η τιμή της διαφοράς φάσεως φ περιλαμβάνεται μεταξύ $+\pi/2$ και $-\pi/2$. Η στιγμιαία ισχύς (P_t) του ρεύματος είναι:

$$P_t = U \cdot I \quad \text{άρα} \quad P_t = U_0 I_0 \cdot \eta\mu\omega t \cdot \eta\mu(\omega t - \varphi) \quad (3)$$

Αν παραστήσουμε γραφικά τις εξισώσεις (1), (2) και (3) παίρνουμε αντίστοιχα τις καμπύλες U , I και P_t (σχ. 85α). Η καμπύλη P_t παριστάνει σε κάθε στιγμή την τιμή της στιγμιαίας ισχύος $P_t = U \cdot I$ του ρεύματος. Παρατηρούμε ότι η καμπύλη αυτή αποτελείται από τόξα θετικά και τόξα

άρνητικά (σχ. 85β). Η στιγμιαία ισχύς $U \cdot I$ είναι θετική κατά τις χρονικές στιγμές που οι τιμές των μεγεθών U και I είναι όμοιες. Τότε το κύκλωμα παίρνει ενέργεια από τη γεννήτρια. Αντίθετα η στιγμιαία ισχύς $U \cdot I$ είναι αρνητική κατά τις χρονικές στιγμές που οι τιμές των μεγεθών U και I είναι ετερόσημες. Τότε το κύκλωμα δίνει ενέργεια στη γεννήτρια. Αυτή η ενέργεια προέρχεται από την ενέργεια που είναι αποταμιευμένη στα ηλεκτρικά και τα μαγνητικά πεδία που σχηματίζονται στους πυκνωτές και τα πηνία του κυκλώματος.

Στή διάρκεια μιας περιόδου T το κύκλωμα παίρνει από τη γεννήτρια ενέργεια W_T . Ονομάζεται μέση ισχύς (P_M) του έναλλασσόμενου ρεύματος το πηλίκο της ενέργειας (W_T) που παίρνει το κύκλωμα στή διάρκεια μιας περιόδου διά της περιόδου (T).

$$\text{μέση ισχύς} \quad P_M = \frac{W_T}{T}$$

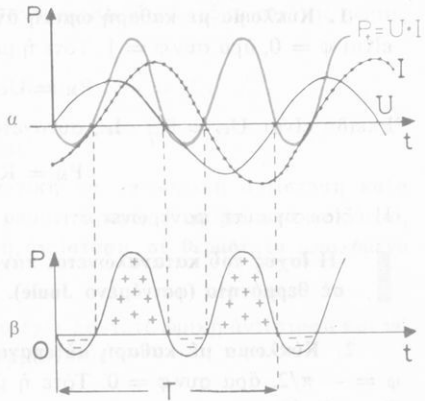
Αποδεικνύεται ότι η μέση ισχύς δίνεται από την εξίσωση:

$$\boxed{\text{μέση ισχύς} \quad P_M = U_{\text{εν}} \cdot I_{\text{εν}} \cdot \text{συν } \varphi} \quad \begin{cases} U \text{ σε } V, I \text{ σε } A \\ P \text{ σε } W \end{cases} \quad (4)$$

όπου φ είναι ή διαφορά φάσεως μεταξύ της έντάσεως του ρεύματος και της τάσεως. Ο παράγοντας $\text{συν } \varphi$ ονομάζεται *συντελεστής ισχύος* και μπορεί να λάβει τιμές από -1 ως $+1$ (γιατί ή φ λαβαίνει τιμές από $-\pi/2$ ως $+\pi/2$). Η εξίσωση (4) φανερώνει ότι:

Η μέση ισχύς (P_M) του έναλλασσομένου ρεύματος είναι ανάλογη μέ την ενεργό τάση ($U_{\text{εν}}$) και την ενεργό ένταση ($I_{\text{εν}}$) του ρεύματος και εξαρτάται από ή διαφορά φάσεως (φ) που υπάρχει μεταξύ της έντάσεως του ρεύματος και της τάσεως.

α. Διερεύνηση της εξισώσεως της μέσης ισχύος. Θα εξετάσουμε πώς ισχύει ή εξίσωση (4) σε διάφορες περιπτώσεις.



Σχ. 85. Γραφική παράσταση των εξισώσεων της τάσεως U , της έντάσεως ρεύματος I και της ισχύος P του έναλλασσόμενου ρεύματος.

1. **Κύκλωμα με καθαρή ωμική αντίσταση R_0 .** Σ' αυτή την περίπτωση είναι $\varphi = 0$, άρα $\cos \varphi = 1$. Τότε η μέση ισχύς έχει τη μέγιστη τιμή:

$$P_M = U_{εν} \cdot I_{εν}$$

Επειδή είναι $U_{εν} = R_0 \cdot I_{εν}$, συνάγεται ότι είναι:

$$P_M = R_0 \cdot I_{εν}^2$$

Η εξίσωση αυτή φανερώνει ότι:

Η ισχύς που καταναλώνεται πάνω σε ωμική αντίσταση μετατρέπεται σε θερμότητα (φαινόμενο Joule).

2. **Κύκλωμα με καθαρή αυτεπαγωγή L .** Σ' αυτή την περίπτωση είναι $\varphi = -\pi/2$, άρα $\cos \varphi = 0$. Τότε η μέση ισχύς είναι ίση με μηδέν, $P_M = 0$. Ωστε:

Πάνω σε ένα ιδανικό πηνίο δέν καταναλώνεται ισχύς.

Όταν η ένταση του ρεύματος αυξάνεται από 0 ως I_0 , το πηνίο εξαιτίας της αυτεπαγωγής του αποταμιεύει ενέργεια ίση με $\frac{1}{2} LI_0^2$. Αυτή την ενέργεια το πηνίο την αποδίδει άμέσως έπειτα στο κύκλωμα, όταν η ένταση του ρεύματος μεταβάλλεται από I_0 σε 0.

3. **Κύκλωμα με καθαρή χωρητικότητα C .** Σ' αυτή την περίπτωση είναι $\varphi = +\pi/2$, άρα $\cos \varphi = 0$. Τότε η μέση ισχύς είναι ίση με μηδέν, $P_M = 0$. Ωστε:

Πάνω σε μία καθαρή χωρητική αντίσταση δέν καταναλώνεται ισχύς.

Όπως το ιδανικό πηνίο, έτσι και ο πυκνωτής, όταν η τάση αυξάνεται από 0 ως U_0 , ο πυκνωτής αποταμιεύει ενέργεια ίση με $\frac{1}{2} CU_0^2$. Αυτή την ενέργεια ο πυκνωτής την αποδίδει άμέσως, όταν η τάση ελαττώνεται από U_0 σε 0.

4. **Κύκλωμα με ωμική, επαγωγική και χωρητική αντίσταση.** Σε ένα κύκλωμα RLC είναι $-\pi/2 < \varphi < +\pi/2$. Το κύκλωμα έχει σύνθετη αντίσταση Z και η διαφορά φάσεως φ δίνεται από την εξίσωση:

$$\cos \varphi = \frac{R_0}{Z}$$

Το ρεύμα παρέχει στο κύκλωμα μέση ισχύ:

$$P_M = U_{εν} \cdot I_{εν} \cdot \cos \varphi$$

Επειδή είναι $U_{εν} = Z \cdot I_{εν}$ και $\cos \phi = R_{\Omega}/Z$, η εξίσωση της μέσης ισχύος γράφεται:

$$P_M = Z \cdot I_{εν}^2 \cdot \frac{R_{\Omega}}{Z} \quad \text{άρα} \quad P_M = R_{\Omega} \cdot I_{εν}^2$$

Η τελευταία εξίσωση φανερώνει ότι:

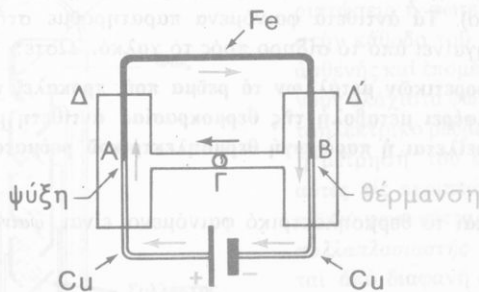
Σέ κύκλωμα μέ ώμική, επαγωγική καί χωρητική αντίσταση κατά σειρά όλη ή μέση ισχύος, τήν όποία παρέχει τό ρεύμα στό κύκλωμα, μετατρέπεται πάνω στην ώμική αντίσταση σέ θερμότητα (φαινόμενο Joule).

Στήν πραγματικότητα ένα πηνίο έχει πάντοτε ώμική αντίσταση καί γι' αυτό παρατηρούμε ότι τό πηνίο θερμαίνεται.

Μερικά ενδιαφέροντα φαινόμενα

39: Φαινόμενο Peltier

Σχηματίζουμε ένα κύκλωμα από δύο ράβδους χαλκού, πού μεταξύ τους παρεμβάλλεται μιά ράβδος σιδήρου (σχ. 86). Οί δύο επαφές Α καί Β τού θερμοηλεκτρικού ζεύγους σιδήρου - χαλκός βρίσκονται μέσα σέ γυάλινα δοχεία, πού περιέχουν άέρα καί συγκοινωνούν μέ τριχοειδή σωλήνα. Μέσα στό σωλήνα μπορεί νά μετακινείται μιά μικρή σταγόνα λαδιού πού χρησιμεύει ως δείκτης.

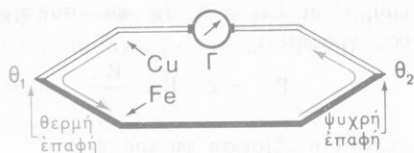


Σχ. 86. Φαινόμενο Peltier.

Όταν τό ρεύμα πηγαινει από τό χαλκό πρós τό σίδηρο, ή επαφή Α ψύχεται, ενώ ή επαφή Β θερμαίνεται. Η πίεση τού άέρα μέσα στό δοχείο Δ αύξάνεται καί ή σταγόνα τού λαδιού μετακινείται πρós τό δοχείο Δ.

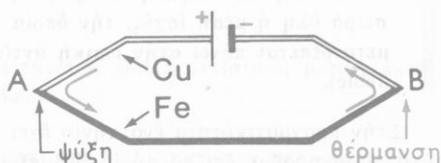
Αν αντιστραφεί ή φορά τού ρεύματος, τότε ή μετακίνηση τής σταγό-

νας του λαδιού δείχνει ότι ή επαφή A θερμαίνεται, ενώ ή επαφή B ψύχεται. Τό φαινόμενο πού παρατηρήσαμε είναι γενικό καί ονομάζεται φαινόμενο Peltier.



Σχ. 87. Θερμοηλεκτρικό φαινόμενο.

Όταν τό ήλεκτρικό ρεύμα περνάει από τήν επαφή δύο διαφορετικών μετάλλων, τότε ανάλογα μέ τή φορά του ρεύματος συμβαίνει ψύξη ή θέρμανση τής επαφής (φαινόμενο Peltier).



Σχ. 87α Τό φαινόμενο Peltier είναι τό αντίστροφο του θερμοηλεκτρικού φαινομένου.

Η θερμότητα Q πού εμφανίζεται ή απορροφάται στην επαφή των δύο μετάλλων στη διάρκεια χρόνου t είναι ανάλογη μέ τήν ένταση I του ρεύματος καί εξαρτάται από τή φύση των δύο μετάλλων.

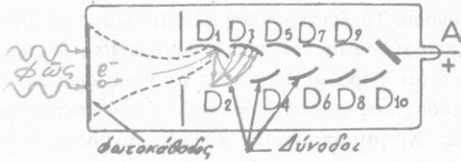
α. Φαινόμενο Peltier καί θερμοηλεκτρικό φαινόμενο. Άς θεωρήσουμε τό θερμοηλεκτρικό ζεύγος σίδηρος - χαλκός. Όταν αυτό τό ζεύγος αποτελεί θερμοηλεκτρικό στοιχείο (σχ. 87), τότε στη θερμή επαφή τό θερμοηλεκτρικό ρεύμα πηγαινει από τό χαλκό πρós τό σίδηρο. Άν στό θερμοηλεκτρικό στοιχείο διαβιβάσουμε ρεύμα πού έχει τήν ίδια φορά μέ τό θερμοηλεκτρικό ρεύμα (δηλαδή πηγαινει από τό χαλκό πρós τό σίδηρο), τότε ή επαφή A ψύχεται (σχ.87α). Τά αντίθετα φαινόμενα παρατηρούμε στην επαφή B, όπου τό ρεύμα πηγαινει από τό σίδηρο πρós τό χαλκό. Όσπε:

Στήν επαφή δύο διαφορετικών μετάλλων τό ρεύμα πού προκαλεί τό φαινόμενο Peltier, επιφέρει μεταβολή τής θερμοκρασίας αντίθετη μέ εκείνη, στην οποία οφείλεται ή παραγωγή θερμοηλεκτρικού ρεύματος μέ τήν ίδια φορά.

Τό φαινόμενο Peltier καί τό θερμοηλεκτρικό φαινόμενο είναι φαινόμενα αντίστροφα.

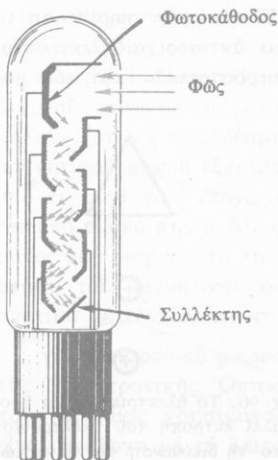
40* Φωτοπολλαπλασιαστής

α. Δευτερογενής έκπομπή ηλεκτρονίων. Στό θερμοηλεκτρονικό φαινόμενο τά ηλεκτρόνια βγαίνουν από τή διάπυρη κάθοδο, επειδή αυτή έχει θερμανθεί πολύ. Στό φωτοηλεκτρικό φαινόμενο τά ηλεκτρόνια βγαίνουν από τήν κάθοδο, γιατί παίρνουν ενέργεια από τά φωτόνια πού πέφτουν πάνω στην κάθοδο. Τά ηλεκτρόνια μπορούν νά αποσπαστούν από ένα μέταλλο



Σχ. 88. Σχηματική παράσταση φωτοπολλαπλασιαστή. Από κάθε δύνοδο (D) αποσπώνται πολλά δευτερογενή ηλεκτρόνια.

ηλεκτρόνια αυτά ονομάζονται *δευτερογενή ηλεκτρόνια* και για την απόσπασή τους από τό μέταλλο παίρνουν την απαιτούμενη ενέργεια από τά πρωτογενή ηλεκτρόνια. Στο φωτοηλεκτρικό φαινόμενο κάθε φωτόνιο προκαλεί τήν έξοδο μόνο ενός φωτοηλεκτρονίου. Αντίθετα στή *δευτερογενή έκπομπή ηλεκτρονίων* ένα πρωτογενές ηλεκτρόνιο μπορεί νά προκαλέσει τήν έξοδο πολλών δευτερογενών ηλεκτρονίων από τό μέταλλο. Ό λόγος τοῦ αριθμοῦ τῶν δευτερογενῶν ηλεκτρονίων πρὸς τόν ἀριθμό τῶν πρωτογενῶν ηλεκτρονίων ἐξαρτᾶται ἀπό τή φύση τοῦ μετάλλου καί ἀπό τήν ἐνέργεια τῶν πρωτογενῶν ηλεκτρονίων. Ἡ ἐλάχιστη ἐνέργεια πού πρέπει νά ἔχει ἕνα πρωτογενές ηλεκτρόνιο, γιά νά προκαλέσει τήν ἐκπομπή ἑνὸς δευτερογενοῦς ηλεκτρονίου, εἶναι περίπου $10 \text{ eV} (= 1,6 \cdot 10^{-18} \text{ Joule})$. Ἡ δευτερογενής ἐκπομπή ηλεκτρονίων ἔχει ἐφαρμογή στίς ηλεκτρονικές λυχνίες καί στόν *φωτοπολλαπλασιαστή*.



Σχ. 89. Φωτοπολλαπλασιαστής.

β. Φωτοπολλαπλασιαστής. Σέ πολλές περιπτώσεις ἡ φωτεινή ροή πού πέφτει πάνω στήν κάθοδο τοῦ φωτοκυττάρου εἶναι πολύ ἀσθενής καί ἐπομένως ἀπό τήν κάθοδο βγαίνουν ἐλάχιστα φωτοηλεκτρόνια. Τότε τό φωτοηλεκτρικό ρεύμα εἶναι τόσο ἀσθενές, ὥστε ἡ μέτρησή του εἶναι σχεδόν ἀδύνατη. Σ' αὐτές τίς περιπτώσεις χρησιμοποιοῦμε ἕνα εἰδικό φωτοκύτταρο πού ονομάζεται *φωτοπολλαπλασιαστής* (σχ. 88). Αὐτός ἀποτελεῖται ἀπό διαφανή *φωτοκάθοδο* καί ἀπό πολλά εἰδικά ηλεκτρόδια πού ονομάζονται *δύνοδοι*. Τά φωτοηλεκτρόνια πού ἀποσπώνται ἀπό τήν κάθοδο, ἐξαιτίας τῆς τάσεως πού ἐφαρμόζεται, πέφτουν πάνω στήν πρώτη δύνοδο. Αὐτά τά πρωτογενή ηλεκτρόνια προκαλοῦν τήν έξοδο πολλῶν δευτερογενῶν ἡ-

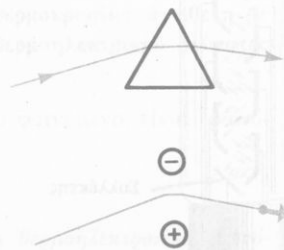
λεκτρονίων από τήν πρώτη δύνοδο. Τά δευτερογενή ηλεκτρόνια, πού βγήκαν από τήν πρώτη δύνοδο, έπιταχύνονται καί πέφτουν πάνω στή δεύτερη δύνοδο, από τήν όποία αποσπᾶται τώρα μεγαλύτερος αριθμός δευτερογενών ηλεκτρονίων. Αὐτός ό διαδοχικός *πολλαπλασιασμός τῶν ηλεκτρονίων* έπαναλαμβάνεται πολλές φορές. Χρησιμοποιώντας πολλές δυνόδους πετυχαίνουμε ὥστε στό καθένα από τά αρχικά φωτοηλεκτρόνια νά αντιστοιχεῖ μεγάλος αριθμός ηλεκτρονίων (10^6 ὡς 10^8 ηλεκτρόνια). Στό τέλος τά ηλεκτρόνια πέφτουν πάνω στήν ἄνοδο (*συλλέκτης*) καί δημιουργοῦν ρευματική ὄθηση *πάνω από ἓνα ἑκατομύριο φορές μεγαλύτερη* από τήν αρχική ρευματική ὄθηση (σχ. 89). Οἱ φωτοπολλαπλασιαστές διαγείρονται από ασθενεῖς ἀκτινοβολίες, ὄχι μόνο τίς ὄρατές, ἀλλά καί από τίς ὑπερ-υφρες καί τίς ὑπεριώδεις. Χρησιμοποιοῦνται σέ διάφορες ἐφαρμογές καί ιδιαίτερα γιά τή μελέτη τῶν πυρηνικῶν ἀκτινοβολιῶν.

41: Ήλεκτρονική Ήοπτική

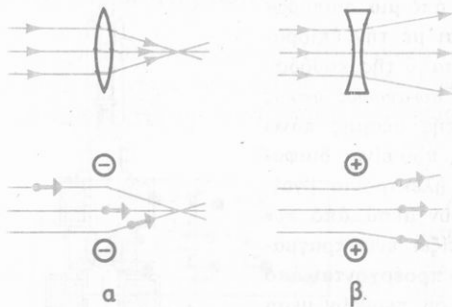
Ξέρουμε ὅτι ό ὀπτικός φακός μεταβάλλει μιά δέσμη παράλληλων φωτεινῶν ἀκτίνων σέ συγκλίνουσα ἢ ἀποκλίνουσα δέσμη καί ἀκόμη ὅτι ό φακός συγκεντρώνει σέ ἓνα σημεῖο (εἶδωλο) ὄλες τίς φωτεινές ἀκτίνες πού προέρχονται από μιά σημειακή φωτεινή πηγή. Ή πειραματική καί ἡ θεωρητική ἔρευνα ἀπέδειξαν ὅτι ὀρισμένες μορφές *ἠλεκτρικῶν καί μαγνητικῶν πεδίων* ἐνεργοῦν πάνω σέ μιά δέσμη ηλεκτρονίων, πού κινοῦνται μέ τήν ἴδια ταχύτητα (*μονοκινητική δέσμη*), ἀκριβῶς ὅπως ἐνεργεῖ ό φακός πάνω σέ μιά μονοχρωματική δέσμη φωτεινῶν ἀκτίνων. Σ' αὐτή τήν περίπτωση τό ἠλεκτρικό ἢ τό μαγνητικό πεδίο ὀνομάζονται ἀντίστοιχα *ἠλεκτροστατικός ἢ μαγνητικός φακός*. Ή μελέτη τῶν ἠλεκτροστατικῶν καί τῶν μαγνητικῶν φακῶν ἀποτελεῖ τήν *Ήλεκτρονική Ήοπτική*.

α. Ήλεκτροστατικός φακός. Ἐνα ἠλεκτρόνιο κινεῖται εὐθύγραμμα μέ μεγάλη ταχύτητα καί περνάει ἀνάμεσα από δύο σφαιρίδια πού εἶναι ἑτερόνυμα φορτισμένα (σχ. 90). Τότε τό ἠλεκτρόνιο, μέ τήν ἐπίδραση τοῦ ἠλεκτρικοῦ πεδίου, ἐκτρέπεται από τήν ἀρχική διεύθυνση τῆς κινήσεώς του, ὅπως ἀκριβῶς ἐκτρέπεται καί μιά φωτεινή ἀκτίνα πού περνάει μέσα ἀπό πρίσμα.

Μιά λεπτή δέσμη ἠλεκτρονίων, πού κινοῦνται μέ τήν ἴδια ταχύτητα, περνάει μέσα ἀπό μεταλλικό δακτύλιο. Ἄν ό δακτύλιος



Σχ. 90. Τό ἠλεκτρικό πεδίο προκαλεῖ ἐκτροπή τοῦ ἠλεκτρονίου ἀπό τή διεύθυνση τῆς κινήσεώς του, ὅπως τό πρίσμα προκαλεῖ ἐκτροπή σέ μιά φωτεινή ἀκτίνα.



Σχ. 91. Ἡ δέσμη ἠλεκτρονίων πού περνáει μέσα ἀπὸ τὸ φορτισμένο δακτύλιο μεταβάλλεται σὲ συγκλίνουσα ἢ ἀποκλίνουσα, ὅπως μιά δέσμη φωτεινῶν ἀκτίνων πού περνáει μέσα ἀπὸ φακό.

ἔχει ἀρνητικὸ φορτίο, τότε ἡ δέσμη τῶν ἠλεκτρονίων γίνεται *συγκλίνουσα* (σχ. 91α), ἐνῶ ἂν ὁ δακτύλιος ἔχει θετικὸ φορτίο, ἡ δέσμη τῶν ἠλεκτρονίων γίνεται *ἀποκλίνουσα* (σχ. 91β). Σ' αὐτὴ τὴν περίπτωση ὁ φορτισμένος μεταλλικὸς δακτύλιος ἐνεργεῖ πάνω στὴ δέσμη τῶν ἠλεκτρονίων σάν ἕνας φακός.

Ὡστε ὀρισμένες μορφές *μὴ ὁμογενῶν* ἠλεκτρικῶν πεδίων ἐνεργοῦν πάνω σὲ μιά μονοκινητικὴ δέσμη ἠλεκτρονίων

σάν φακοὶ καὶ προκαλοῦν *ἐστίαση* τῆς δέσμης τῶν ἠλεκτρονίων. Ἡ *ἐστιακὴ ἀπόσταση* τοῦ ἠλεκτροστατικοῦ φακοῦ ἐξαρτáται ἀπὸ τὴν *ταχύτητα* (v) τῶν ἠλεκτρονίων τῆς δέσμης καὶ ἀπὸ τὴν *ἔνταση* (E) τοῦ ἠλεκτρικοῦ πεδίου. Μεταβάλλοντας τὴν τάση (U), στὴν ὁποία ὀφείλεται τὸ ἠλεκτρικὸ πεδίο, ρυθμίζουμε ὅσο θέλουμε τὴν ἐστιακὴ ἀπόσταση τοῦ ἠλεκτροστατικοῦ φακοῦ, ἀντίθετα μὲ τὸν ὀπτικὸ φακό, πού ἡ ἐστιακὴ ἀπόστασή του εἶναι σταθερή.

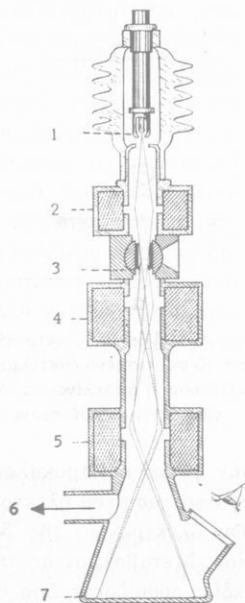
β. Μαγνητικὸς φακός. Ὄταν ἕνα ἠλεκτρόνιο κινεῖται μέσα σὲ μαγνητικὸ πεδίο, τότε πάνω στοῦ ἠλεκτρόνιο ἀναπτύσσεται ἠλεκτομαγνητικὴ δύναμη Laplace. Ὅρισμένες μορφές *μὴ ὁμογενῶν μαγνητικῶν πεδίων* ἐνεργοῦν πάνω σὲ μιά μονοκινητικὴ δέσμη ἠλεκτρονίων σάν φακοὶ καὶ προκαλοῦν *ἐστίαση* τῆς δέσμης τῶν ἠλεκτρονίων. Ἡ *ἐστιακὴ ἀπόσταση* τοῦ μαγνητικοῦ φακοῦ ἐξαρτáται ἀπὸ τὴν ταχύτητα (v) τῶν ἠλεκτρονίων καὶ ἀπὸ τὴ *μαγνητικὴ ἐπαγωγή* (B) τοῦ μαγνητικοῦ πεδίου. Αὐτὸ δημιουργεῖται ἀπὸ εἰδικὰ πηνία. Μεταβάλλοντας μὲ ἕνα ροοστάτη τὴν ἔνταση τοῦ ρεύματος πού διαρρέει τὸ πηνίο ρυθμίζουμε ὅσο θέλουμε τὴν ἐστιακὴ ἀπόσταση τοῦ μαγνητικοῦ φακοῦ. Γενικά ὁ μαγνητικὸς φακός *πλεονεκτεῖ* σχετικὰ μὲ τὸν ἠλεκτροστατικὸ φακό.

γ. Ἡλεκτρονικὸ μικροσκόπιο. Μιά ἀπὸ τίς σπουδαιότερες ἐφαρμογές τῆς Ἡλεκτρονικῆς Ὀπτικῆς εἶναι τὸ *ἠλεκτρονικὸ μικροσκόπιο*, στοῦ ὁποῖο συνήθως χρησιμοποιοῦνται μαγνητικοὶ φακοί. Ἡ λειτουργία του εἶναι ἀνάλογη μὲ τὴ λειτουργία τῆς διατάξεως πού χρησιμοποιοῦμε στὴ μικροφωτογραφία γιὰ νά φωτογραφίζουμε τὰ εἶδωλα μικροσκοπικῶν ἀντικειμένων.

Τά ήλεκτρόνια εκπέμπονται από μιά διαπυρωμένη κάθοδο καί επιταχύνονται μέ τήν επίδραση τής τάσεως πού υπάρχει μεταξύ τής καθόδου καί τής ανόδου (σχ. 92). Ὁ συναγωγός φακός συγκεντρώνει τά ήλεκτρόνια τής δέσμης πάνω στό μικροσκοπικό αντικείμενο, πού εἶναι διαφανές γιά τά ήλεκτρόνια. Ὅσα ήλεκτρόνια βγαίνουν από τό αντικείμενο, περνοῦν μέσα από τόν αντικειμενικό φακό πού σχηματίζει ἕνα πραγματικό εἶδωλο. Τά ήλεκτρόνια πού προέρχονται από τά διάφορα σημεῖα τοῦ εἰδώλου περνοῦν μέσα από τό φακό προβολῆς καί πέφτουν πάνω σέ διάφραγμα πού φθορίζει ἤ πάνω σέ φωτογραφική πλάκα, ὅπου σχηματίζεται τό τελικό πραγματικό εἶδωλο. Ὅλη ἡ συσκευή βρίσκεται μέσα σέ ἀερόκενο σωλήνα, πού στά πλάγια ἔχει θυρίδες γιά νά παρατηροῦμε μέσα στό σωλήνα.

Ἡ μεγέθυνση πού πετυχαίνουμε μέ τό ήλεκτρονικό μικροσκόπιο, μπορεῖ νά φτάσει ὡς 500 000. Ἡ τελική εἰκόνα μπορεῖ νά μεγεθυνθεῖ μέ ὀπτική διάταξη κατά 5 ὡς 10 φορές. Τό ήλεκτρονικό μικροσκόπιο διακρίνεται γιά τή μεγάλη διαχωριστική ἰκανότητά του, πού εἶναι πολλές χιλιάδες φορές μεγαλύτερη ἀπό τή διαχωριστική ἰκανότητα τοῦ ὀπτικοῦ μικροσκοπίου. Ἔτσι μπορούμε νά μελετήσουμε ἀντικείμενα πού εἶναι πολλές ἑκατοντάδες φορές μικρότερα ἀπό ἐκεῖνα τά ἀντικείμενα πού μελετᾶμε μέ τά καλύτερα ὀπτικά μικροσκόπια. Τό ήλεκτρονικό μικροσκόπιο ἀνοίξε νέους ὀρίζοντες στή μελέτη τοῦ μικρόκοσμου καί ἰδιαίτερα βοήθησε τή βιολογική ἔρευνα, ἡ ὁποία μέ τό ήλεκτρονικό μικροσκόπιο παρατηρεῖ λεπτομέρειες πάνω στά χρωματοσώματα, τήν κατασκευή τῶν βακτηρίων, τοὺς ἰούς. Μέ τό ήλεκτρονικό μικροσκόπιο μπορούμε ἀκόμη νά μελετᾶμε τά μεγάλα μόρια τῆς ὕλης.

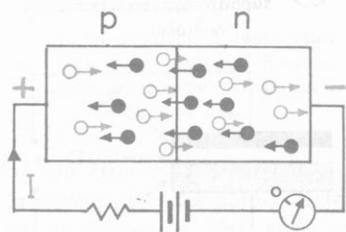
Παρατήρηση. Ἡ Ἡλεκτρονική Ὀπτική βασίζεται στίς κυματικές ιδιότητες τοῦ ήλεκτρονίου, πού θά τίς ἐξετάσουμε σέ ἄλλο κεφάλαιο.



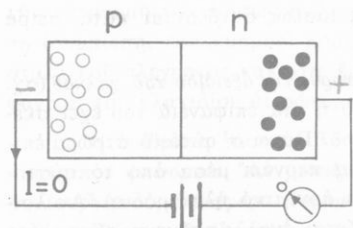
Σχ. 92. Τομή ήλεκτρονικοῦ μικροσκοπίου μέ μαγνητικούς φακούς. (1) διάπυρη κάθοδος. 2 συναγωγός φακός. 3 ἀντικείμενο. 4 ἀντικειμενικός φακός. 5 φακός προβολῆς. 6 πρὸς ἀεραντλία. 7 φθορίζον διάφραγμα).

42. Ξηροί άνορθωτές

α. Κρυσταλλοδιόδος. Είναι γνωστό ότι σε έναν ήμιαγωγό p υπάρχουν ευκίνητες όπές και σε έναν ήμιαγωγό n υπάρχουν ευκίνητα ηλεκτρόνια. Φέρνουμε σε στενή επαφή έναν ήμιαγωγό p με έναν ήμιαγωγό n. Αυτό



Σχ. 93. 'Από τή δίοδο περνάει ρεύμα. (Άγωγή φορά $p \rightarrow n$).



Σχ. 94. 'Από τή δίοδο δέν περνάει ρεύμα. (Άνασταλτική φορά $n \rightarrow p$).

τό σύστημα ονομάζεται *κρυσταλλοδιόδος* (ή και *δίοδος* $p - n$).

Αρχικά οί δύο ήμιαγωγοί ήταν ουδέτεροι. Στίς δύο άκρες του συστήματος των δύο ήμιαγωγών υπάρχουν δύο ηλεκτρόδια.

I. Ο θετικός πόλος μιās ηλεκτρικής πηγής συνδέεται με τόν ήμιαγωγό p και ο άρνητικός πόλος τής πηγής συνδέεται με τόν ήμιαγωγό n (σχ. 93). Με τήν επίδραση του ηλεκτρικού πεδίου τά ηλεκτρόνια κινούνται προς τό θετικό πόλο τής πηγής, ενώ οί όπές κινούνται προς τόν άρνητικό πόλο τής πηγής. Έπομένως ή δίοδος *διαρρέεται από ρεύμα* που έχει φορά (συμβατική) από τόν ήμιαγωγό p προς τόν ήμιαγωγό n. Στόν ήμιαγωγό n τά ηλεκτρόνια του αναπληρώνονται από νέα ηλεκτρόνια που έρχονται από τόν άρνητικό πόλο τής πηγής. Καί στόν ήμιαγωγό p οί όπές του αναπληρώνονται με νέες όπές που δημιουργούνται, γιατί ηλεκτρόνια έγκαταλείπουν τόν ήμιαγωγό p για νά πάνε στό θετικό πόλο τής πηγής.

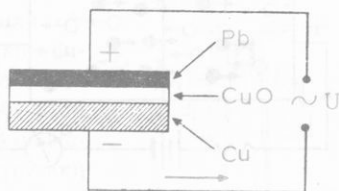
II. Άντιστρέφουμε τή σύνδεση τής κρυσταλλοδιόδου με τούς πόλους τής πηγής. Ο άρνητικός πόλος συνδέεται με τόν ήμιαγωγό p και ο θετικός πόλος τής πηγής συνδέεται με τόν ήμιαγωγό n (σχ. 94). Τότε τά ηλεκτρόνια και οί όπές συγκεντρώνονται στίς δύο άκρες τής κρυσταλλοδιόδου και στό μέσο της «*εξημώνεται*» από ηλεκτρικούς φορείς. Έπομένως ή κρυσταλλοδιόδος *δέν διαρρέεται από ρεύμα*. Ωστε:

Η κρυσταλλοδιόδος παρουσιάζει ηλεκτρική άγωγιμότητα μόνο κατά τή μιά φορά (άγωγή φορά $p \rightarrow n$), ενώ κατά τήν αντίθετη φορά ή άγωγιμότητα εξαφανίζεται (άνασταλτική φορά $n \rightarrow p$).

β. Ξηροί άνορθωτές. Έπειδή ή κρυσταλλοδιόδος παρουσιάζει ήλεκτρική άγωγιμότητα μόνο κατά τή μιά φορά, γι' αυτό χρησιμοποιείται ως άνορθωτής. Γενικά οί ξηροί άνορθωτές είναι σύστημα από δύο διαφορετικούς ήμιαγωγούς πού βρίσκονται σέ στενή έπαφή. Τότε τό σύστημα αυτό παρουσιάζει ήλεκτρική άγωγιμότητα μόνο για μιά όρισμένη φορά του ρεύματος. Τό ίδιο φαινόμενο παρατηρείται καί όταν μιά μεταλλική άκίδα βρίσκεται σέ έπαφή μέ κρύσταλλο από όρισμένο ήμιαγωγό ύλικό. Στο σχήμα 95 δείχεται ή συμβολική παράσταση ξηρού άνορθωτή (κρυσταλλοδιόδου).



Σχ. 95. Συμβολική παράσταση κρυσταλλοδιόδου.



Σχ. 96. Ξηρός άνορθωτής όξειδίου του χαλκού.

Κάθε άνορθωτής άντέχει ως μιά όρισμένη τάση. Για τήν άνορθωση μεγάλης τάσεως συνδέονται κατά σειρά πολλοί άνορθωτές.

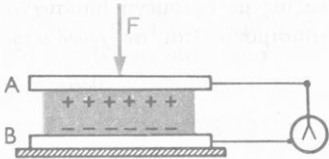
Συνηθισμένοι ξηροί άνορθωτές. Ο άνορθωτής όξειδίου του χαλκού (σχ. 96) άποτελείται από πλάκα χαλκού, πού ή μιά επιφάνειά του έχει σκεπαστεί μέ στρώμα από όξειδιο του χαλκού. Πάνω σ' αυτό τό στρώμα επικάθεται μιά πλάκα από μόλυβδο. Τό ρεύμα περνάει μέσα από τό σύστημα, μόνο όταν ή πλάκα του χαλκού είναι άρνητικό ήλεκτρόδιο. Αν λοιπόν στίς άκρες του συστήματος εφαρμόζεται έναλλασσόμενη τάση, τότε από τό σύστημα περνάει ρεύμα μόνο κατά τή μιά ήμπερίοδο του έναλλασσόμενου ρεύματος.

Υπάρχουν ξηροί άνορθωτές από σελήνιο, γερμάνιο ή πυρίτιο (στοιχεία πού είναι ήμιαγωγοί).

43. Πιεζοηλεκτρισμός

α. Η μηχανική επίδραση. Μερικοί κρύσταλλοι καί ιδιαίτερα του χαλαζία, όταν υποβάλλονται σέ συμπίεση ή έφελκυσμό κατά όρισμένες διευθύνσεις, τότε στίς δύο άπέναντι επιφάνειές τους άναπτύσσονται έτερόρρονα ήλεκτρικά φορτία πού κατ' απόλυτη τιμή είναι ίσα. Αυτό τό φαινόμενο όνομάζεται *πιεζοηλεκτρισμός*. Η έπιφανειακή πυκνότητα των ήλεκτρικών φορτίων είναι άνάλογη μέ τή μηχανική επίδραση πού έξασκεείται πάνω στον κρύσταλλο.

Τό φαινόμενο του πιεζοηλεκτρισμού άποδεικνύεται μέ τήν άκόλουθη



Σχ. 97. Ἡ συμπίεση ἢ ἐφελκυσμός τοῦ πλακιδίου δημιουργεῖ διαφορά δυναμικοῦ μεταξύ τῶν δύο ἀπέναντι ἐπιφανειῶν του.

διάταξη. Μεταξύ δύο μεταλλικῶν πλακῶν (ἠλεκτρόδια) τοποθετοῦμε ἕνα πλακίδιο χαλαζία πού ἔχει κοπεῖ ἀπό τόν κρυσταλλο χαλαζία κατά ὀρισμένες διευθύνσεις σχετικά μέ τούς ἄξονες τοῦ κρυστάλλου (σχ. 97). Τά δύο ἠλεκτρόδια συνδέονται μέ ἠλεκτρόμετρο. Ὄταν τό πλακίδιο χαλαζία συμπίεζεται, τότε μεταξύ τῶν δύο ἠλεκτροδίων ἀναπτύσσεται διαφορά δυναμικοῦ. Αὐτή ὀφείλεται

σέ ἴσα ἐτερόνυμα ἠλεκτρικά φορτία πού ἐμφανίζονται στίς δύο ἀπέναντι ἐπιφάνειες τοῦ πλακιδίου. Ἐπίσης, ὅταν τό πλακίδιο χαλαζία ὑποβάλλεται σέ ἐφελκυσμό, τότε πάνω στίς δύο ἐπιφάνειες τοῦ πλακιδίου ἀναπτύσσονται πάλι ἴσα ἐτερόνυμα ἠλεκτρικά φορτία, ἀλλά τώρα διατάσσονται ἀντίστροφα πάνω στίς δύο ἐπιφάνειες τοῦ πλακιδίου.

Τό φαινόμενο τοῦ πιεζοηλεκτρισμοῦ ἐρμηνεύεται, ἀν λάβουμε ὑπόψη τήν κατανομή τῶν ἰόντων στό κρυσταλλικό πλέγμα. Ἡ μηχανική ἐπίδραση (συμπίεση, ἐφελκυσμός) προκαλεῖ προσωρινή παραμόρφωση τοῦ κρυσταλλικοῦ πλέγματος καί τότε ἔρχονται πιό κοντά στίς δύο ἀπέναντι ἐπιφάνειες τοῦ πλακιδίου ἐτερόνυμα ἰόντα τοῦ κρυσταλλικοῦ πλέγματος.

β. Ἡ ἐπίδραση τάσεως. Τό φαινόμενο τοῦ πιεζοηλεκτρισμοῦ εἶναι ἀντιστρέπτό φαινόμενο. Ἄν μεταξύ τῶν δύο ἠλεκτροδίων Α καί Β (σχ. 106) δημιουργήσουμε διαφορά δυναμικοῦ, τότε τό πάχος τοῦ πλακιδίου χαλαζία αὐξάνεται ἢ ἐλαττώνεται, ἀνάλογα μέ τό εἶδος τοῦ ἠλεκτρικοῦ φορτίου πού ἔχει τό κάθε ἠλεκτρόδιο. Ἄν στή δύο ἠλεκτρόδια ἐφαρμόσουμε ἐναλλασσόμενη τάση, τότε τό πλακίδιο χαλαζία συστέλλεται καί διαστέλλεται περιοδικά, δηλαδή ἐκτελεῖ ἐξαναγκασμένη μηχανική ταλάντωση. Τό πλάτος τῆς ταλαντώσεως γίνεται μέγιστο, ὅταν ἡ συχνότητα ν τῆς ἐναλλασσόμενης τάσεως εἶναι ἴση μέ τήν ἰδιοσυχνότητα ν_0 τῶν ἐλαστικῶν ταλαντώσεων τοῦ πλακιδίου, δηλαδή ὅταν ὑπάρχει συντονισμός μεταξύ τῆς τάσεως καί τοῦ πλακιδίου. Ἡ ἰδιοσυχνότητα τοῦ πλακιδίου ἐξαρτᾶται ἀπό τίς διαστάσεις τοῦ πλακιδίου (πιεζοηλεκτρικός χαλαζίας).

γ. Ἐφαρμογές τοῦ πιεζοηλεκτρισμοῦ. Ὁ πιεζοηλεκτρισμός ἔχει σήμερα διάφορες ἐφαρμογές, π.χ. ἐφαρμόζεται γιά τήν παραγωγή ὑπερήχων, γιατί οἱ ταχύτατες ἐλαστικές ταλαντώσεις τοῦ πλακιδίου χαλαζία, πού προκαλοῦνται ἀπό μιᾶ ἐναλλασσόμενη τάση, δημιουργοῦν στό περιβάλλον ἠχητικά κύματα πού ἀντιστοιχοῦν σέ ὑπερήχους.

Στούς πομπούς ἠλεκτρομαγνητικῶν κυμάτων ἡ συχνότητα τοῦ φέροντος κύματος διατηρεῖται σταθερή μέ τή βοήθεια τοῦ σταθερωτῆ συχνό-

τητας, πού είναι ένας πιεζοηλεκτρικός χαλαζίας με όρισμένη ιδιοσυχνότητα. 'Επίσης πιεζοηλεκτρικός χαλαζίας χρησιμοποιείται σέ *χρονόμετρα μεγάλης ακρίβειας*.

'Αγωγιμότητα τῶν ἀερίων

44. Μορφές τῆς ἀγωγιμότητας τῶν ἀερίων

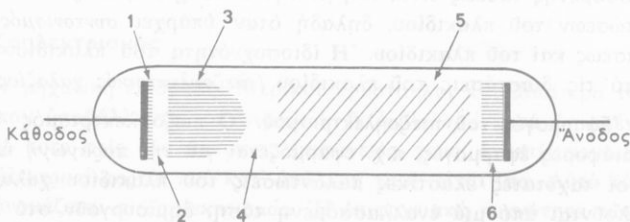
Ξέρουμε ὅτι ἡ ἀγωγιμότητα τῶν ἀερίων διακρίνεται σέ *αὐτοτελή* καί *μη̄ αὐτοτελή* ἀγωγιμότητα. Περισσότερο ἐνδιαφέρουσα εἶναι ἡ *αὐτοτελῆς ἀγωγιμότητα*, ἡ ὁποία ἐμφανίζεται κυρίως ὡς *ἐκκένωση τόξου* καί ὡς *ἐκκένωση αἴγλης*.

'Η ἐκκένωση τόξου παρατηρεῖται καί μέσα σέ ἀέρια μέ τή συνηθισμένη πίεση. Παράδειγμα τέτοιας ἐκκενώσεως εἶναι ὁ *ἠλεκτρικός σπινθήρας*.

'Η ἐκκένωση αἴγλης συμβαίνει πάντοτε μέσα σέ ἀέρια μέ μικρή πίεση καί τότε στά δύο ἠλεκτρόδια τοῦ σωλήνα Geissler ἐφαρμόζεται ἀρκετά μεγάλη τάση.

α. Μελέτη τῆς ἐκκενώσεως αἴγλης. Εἶναι γνωστό ὅτι ἡ ἐκκένωση αἴγλης ὀφείλεται σέ *ιονισμό* τοῦ ἀερίου, ὁ ὁποῖος προκαλεῖται ἀπό τίς συνεχεῖς συγκρούσεις ἠλεκτρονίων μέ τά ἄτομα (ἢ μόρια) τοῦ ἀερίου.

Τό ἀέριο πού φωτοβολεῖ σχηματίζει *τή θετική στήλη* ἡ ὁποία ἐκτείνεται στό μεγαλύτερο τμήμα τοῦ σωλήνα, ἀλλά δέν φτάνει ὡς τήν κάθοδο (σχ. 98). Μέσα στό σωλήνα ἐμφανίζονται δύο σκοτεινές περιοχές, ὁ *σκοτεινός χώρος τοῦ Crookes* καί ὁ *σκοτεινός χώρος τοῦ Faraday*, ὅπως φαί-



Σχ. 98 . Σχηματική παράσταση τῆς ἐκκενώσεως αἴγλης.

1 καθοδική ἐπιδερμίδα. 2 σκοτεινός χώρος Crookes. 3 ἀρνητική αἴγλη. 4 σκοτεινός χώρος Faraday. 5 θετική στήλη. 6 ἀνοδική ἐπιδερμίδα.

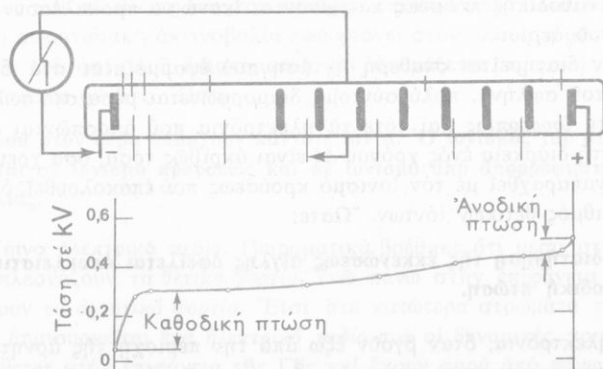
νεται στο σχήμα. Ἐνάντια σ' αὐτές τίς δύο σκοτεινές περιοχές ὑπάρχει ἕνα φωτεινό στρώμα (μέ κυανό χρώμα γιά τόν ἀέρα) πού ὀνομάζεται *ἀνηγική αἴγλη*.

β. Κατανομή τῆς τάσεως μεταξύ τῆς ἀνόδου καί τῆς καθόδου. Ἐάν μέσα στό σωλήνα δέν ὑπῆρχε ἀέριο, τότε μεταξύ τῆς ἀνόδου καί τῆς καθόδου θά σχηματιζόταν *ὁμογενές ἠλεκτρικό πεδίο*. Κατά τήν ἐκκένωση αἴγλης μέσα στό σωλήνα δημιουργοῦνται φορεῖς ἠλεκτρικῶν φορτίων (ἠλεκτρόνια, ἰόντα), δηλαδή δημιουργοῦνται *φορτία χώρου*. Ἐάν οἱ ἠλεκτρικοί φορεῖς πού ὑπάρχουν μέσα στό στοιχειώδη ὄγκο ΔV ἔχουν φορτίο ΔQ , τότε ἡ πυκνότητα (ρ) τῶν φορτίων χώρου εἶναι $\rho = \Delta Q / \Delta V$. Ἡ παρουσία τῶν φορτίων χώρου μέσα στό σωλήνα *τροποποιεῖ σημαντικά* τό ἠλεκτρικό πεδίο.

Γιά νά βροῦμε πῶς κατανέμεται ἡ τάση μεταξύ τῶν δύο ἠλεκτροδίων τοῦ σωλήνα, ὑπάρχουν στερεωμένα πάνω στό σωλήνα μικρά ἠλεκτρόδια. Μέ ἕνα ἠλεκτρόμετρο βρισκόμε τήν τιμή τοῦ δυναμικοῦ στά διάφορα σημεῖα τοῦ ἠλεκτρικοῦ πεδίου. Ἐπίσης μετρήσεις παίρνομε τήν καμπύλη τοῦ σχήματος 99 ἡ ὁποία δείχνει ὅτι ἐμπρός ἀπό τήν *κάθοδο* παρατηρεῖται μιά ἀπότομη πτώση τῆς τάσεως πού ὀνομάζεται *καθοδική πτώση*. Στήν περιοχή τῆς καθοδικῆς πτώσεως ἡ ἔνταση E τοῦ ἠλεκτρικοῦ πεδίου λαβαίνει μεγάλες τιμές, σύμφωνα μέ τήν ἐξίσωση $E = \Delta U / \Delta l$.

Ἐπίσης ἐμπρός ἀπό τήν *ἀνοδο* παρατηρεῖται καί μιά ἄλλη ἀπότομη πτώση τῆς τάσεως, ἡ ὁποία ὀνομάζεται *ἀνοδική πτώση* καί εἶναι ἀσθενέστερη ἀπό τήν καθοδική πτώση. Καί στήν περιοχή τῆς ἀνοδικῆς πτώσεως ἡ ἔνταση E τοῦ ἠλεκτρικοῦ πεδίου εἶναι αὐξημένη.

Ἡ κατανομή τοῦ δυναμικοῦ, ἡ ὁποία βρήκαμε ὅτι ἐπικρατεῖ κατά μή-



Σχ. 99 Μεταβολή τῆς τάσεως κατά μήκος τοῦ σωλήνα Geissler.

κος του σωλήνα, φανερώνει ότι κατά την εκκένωση αΐγλης *παραιομορφώνεται* το ηλεκτρικό πεδίο που δημιουργείται μεταξύ των δύο ηλεκτροδίων και έτσι το ηλεκτρικό πεδίο παύει να είναι όμογενές.

γ. Έρμηνεία της κατανομής της τάσεως κατά την εκκένωση αΐγλης. Τά ηλεκτρόνια που βγαίνουν από την κάθοδο *επιταχύνονται* κυρίως μέσα στο σκοτεινό χώρο του Crookes (περιοχή 2 στο σχήμα 98) και όταν βγαίνουν από αυτό το χώρο έχουν αποκτήσει τόσο μεγάλη ταχύτητα, ώστε κατά τη σύγκρουσή τους με τα μόρια του αερίου στην περιοχή της *άρνητικής αΐγλης* (περιοχή 3 στο σχήμα 98) προκαλούν τά εξής φαινόμενα:

- *διέγερση* πολλών μορίων, τά όποια αναγκάζονται να εκπέμπουν *φωτεινή ακτινοβολία*.
- *ιονισμό* πολλών μορίων και τότε σχηματίζονται *ηλεκτρόνια* και *θετικά ιόντα*.

Τά ηλεκτρόνια που παράγονται, επειδή έχουν μικρότερη μάζα, αποχωρούν γρήγορα από την περιοχή που σχηματίστηκαν και έτσι στην περιοχή της *άρνητικής αΐγλης* δημιουργείται μία *συγκέντρωση θετικών ιόντων*. Σ' αυτή την αιτία οφείλεται ή παρατηρούμενη γρήγορη αύξηση της τάσεως που υπάρχει μεταξύ της καθόδου και της *άρνητικής αΐγλης* και επομένως ή δημιουργία της *καθοδικής πτώσεως*.

Η καθοδική πτώση συντελεί στη διατήρηση της εκκενώσεως κατά δύο τρόπους:

α) ή καθοδική πτώση *επιταχύνει* τά θετικά ιόντα που πέφτουν πάνω στην κάθοδο και τά κάνει ικανά να προκαλέσουν την *έξοδο ηλεκτρονίων* από την κάθοδο.

β) τά ηλεκτρόνια που ξεφεύγουν από την κάθοδο *επιταχύνονται* εξαιτίας της καθοδικής πτώσεως και γίνονται ικανά να προκαλέσουν *ιονισμό* μορίων του αερίου.

Όταν διατηρείται σταθερή ή τάση που εφαρμόζεται στά δύο ηλεκτρόδια του σωλήνα, πολύ σύντομα διαμορφώνεται μέσα στο σωλήνα μία κατάσταση *ισορροπίας* και τότε τά ηλεκτρόνια που αποσπώνται από την κάθοδο στη διάρκεια ενός χρόνου Δt είναι ακριβώς τόσα, όσα χρειάζονται, για να αναπαραχθεί με τον *ιονισμό* κρούσεως που επακολουθεί, ό απαραίτητος αριθμός θετικών ιόντων. "Ωστε:

Η διατήρηση της εκκενώσεως αΐγλης οφείλεται αποκλειστικά στην καθοδική πτώση.

Τά ηλεκτρόνια, όταν βγουν έξω από την περιοχή της *άρνητικής αΐγλης*, *επιταχύνονται* στην περιοχή του *σκοτεινού χώρου* του Faraday (περιοχή 4 στο σχήμα 98), αλλά εκεί επικρατεί *ασθενές ηλεκτρικό πεδίο*.

Στήν περιοχή της θετικής στήλης (περιοχή 5 στό σχήμα 98) κινούνται μέ σχετικά μικρές ταχύτητες θετικά *ιόντα* πού κατευθύνονται πρός τήν κάθοδο καί *αρνητικά ιόντα* καί *ηλεκτρόνια* πού κατευθύνονται πρός τήν άνοδο. Τά σωματίδια πού κινούνται μέσα σ' αὐτή τήν περιοχή συγκρούονται μέ μόρια τοῦ αερίου καί προκαλοῦν *τή διέγερσή τους*. Ἔτσι δημιουργεῖται ἡ θετική στήλη πού *φωτοβολεῖ*.

Στό χώρο ἔμπρός ἀπό τήν άνοδο επικρατοῦν τά ηλεκτρόνια πού κινούνται πρός τήν άνοδο. Σ' αὐτή τήν αἰτία ὀφείλεται ἡ παρατηρούμενη *άνοδική πτώση* ἔμπρός ἀπό τήν άνοδο.

Τά ηλεκτρόνια πού κινούνται πρός τήν άνοδο προκαλοῦν *διέγερση* τῶν μορίων τοῦ αερίου, τά ὁποῖα βρίσκονται κοντά στήν άνοδο, καί ἔτσι ἔμπρός ἀπό τήν άνοδο σχηματίζεται ἕνα λεπτό φωτεινό στρώμα, ἡ *άνοδική ἐπιδερμίδα* (σχ. 98).

45* Γήινο ἠλεκτρικό πεδίο

α. Ἴονισμός τοῦ αέρα. Μέσα στόν αέρα ὑπάρχουν πάντοτε *ιόντα*. Αὐτό φαίνεται ἀπό τό γεγονός ὅτι, ἂν μέσα στόν αέρα ἀφήσουμε ἕνα φορτισμένο καί μονωμένο ἠλεκτροσκόπιο, αὐτό ἔπειτα ἀπό λίγο χρόνο χάνει τό θετικό ἢ ἀρνητικό φορτίο του. Ὁ Ἴονισμός τοῦ αέρα ὀφείλεται σέ *συγκρούσεις* τῶν μορίων του μέ σωματίδια κινούμενα μέ μεγάλη ταχύτητα ἢ σέ *ἀπορρόφηση ἀκτινοβολίας* ἀπό τά μόριά του.

Ὁ ἀριθμός τῶν ἰόντων πού ὑπάρχουν μέσα στόν αέρα μεταβάλλεται μέ τό ὕψος πάνω ἀπό τήν ἐπιφάνεια τῆς Γῆς. Σέ ὕψος πάνω ἀπό 100 km ὑπάρχει ἕνα στρώμα τῆς ἀτμόσφαιρας πού παρουσιάζει ἰσχυρό Ἴονισμό καί ὀνομάζεται *ιονόσφαιρα*. Αὐτός ὁ Ἴονισμός ὀφείλεται στίς *ὑπεριώδεις ἀκτινοβολίες* καί σέ *ηλεκτρόνια* πού ἐκπέμπονται ἀπό τόν Ἡλιο καί σέ μιά ἰδιαίτερη σωματιδιακή ἀκτινοβολία πού φτάνει στόν πλανήτη μας ἀπό ὄλα τά σημεῖα τοῦ ἀστρικοῦ διαστήματος καί ὀνομάζεται *κοσμική ἀκτινοβολία* ἢ *κοσμικές ἀκτίνες*. Ὡστε:

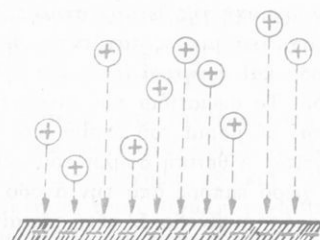
Μέσα στόν αέρα ὑπάρχουν πάντοτε *ιόντα*. Ὁ Ἴονισμός τοῦ αέρα ὀφείλεται σέ *Ἴονισμό κρούσεως* καί σέ *Ἴονισμό ἀπό ἀπορρόφηση ἀκτινοβολίας*.

β. Γήινο ἠλεκτρικό πεδίο. Πειραματικά βρέθηκε ὅτι μέσα στήν ἀτμόσφαιρα πλεονάζουν τά *θετικά φορτία*, ἐνῶ πάνω στήν ἐπιφάνεια τῆς Γῆς πλεονάζουν τά *αρνητικά φορτία*. Ἔτσι στά κατώτερα στρώματα τῆς ἀτμόσφαιρας δημιουργεῖται ἕνα *ἠλεκτρικό πεδίο* πού οἱ δυναμικές γραμμές του εἶναι κάθετες στήν ἐπιφάνεια τῆς Γῆς καί ἔχουν φορά ἀπό πάνω πρός τά κάτω (σχ. 100). Στήν ἐπιφάνεια τῆς θάλασσας ἡ ἔνταση τοῦ ἠλεκτρικοῦ

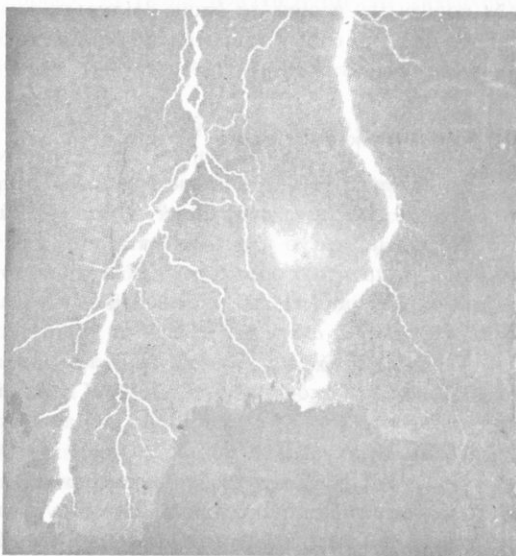
πεδίου είναι περίπου ίση με 130 V/m . Η ένταση του ηλεκτρικού πεδίου ελαττώνεται με τό ύψος πάνω από την επιφάνεια της Γης.

Με την επίδραση του γήινου ηλεκτρικού πεδίου τά θετικά ιόντα που υπάρχουν στην ατμόσφαιρα κινούνται προς την επιφάνεια της Γης. Άλλά τά θετικά φορτία που υπάρχουν στην ατμόσφαιρα καί τά αρνητικά φορτία που υπάρχουν στην επιφάνεια της Γης δέν εξαφανίζονται, γιατί συνεχώς αναπληρώνονται από νέα ηλεκτρικά φορτία. Δέν ξέρουμε ακόμη τελείως μέ ποιό μηχανισμό γίνεται συνεχώς ή αναπλήρωση των ηλεκτρικών φορτίων που δημιουργούν τό γήινο ηλεκτρικό πεδίο. Σάν μία σημαντική αίτια συνεχούς παραγωγής θετικών φορτίων στην ατμόσφαιρα καί

αρνητικών φορτίων στην επιφάνεια της Γης μπορούμε νά θεωρήσουμε τους κεραυνούς. Υπολογίζεται ότι κάθε δευτερόλεπτο πέφτουν στην επιφάνεια της Γης 100 κεραυνοί, που είναι ρεύματα μέ ένταση πολλών χιλιάδων άμπέρ (σχ. 101). Οί κεραυνοί μεταφέρουν στην επιφάνεια της γης ηλεκτρόνια καί έτσι απομένουν μέσα στην ατμόσφαιρα θετικά φορτία. Ωστε :



Σχ. 100. Τό γήινο ηλεκτρικό πεδίο.



Σχ. 101. Οί κεραυνοί μεταφέρουν στό έδαφος άρνητικά ηλεκτρικά φορτία.

I. Το γήινο ηλεκτρικό πεδίο οφείλεται στα θετικά φορτία που υπάρχουν μέσα στην ατμόσφαιρα και στα αρνητικά φορτία που υπάρχουν στην επιφάνεια της Γης.

II. Διάφορα αίτια συντελούν στη διατήρηση του γήινου ηλεκτρικού πεδίου.

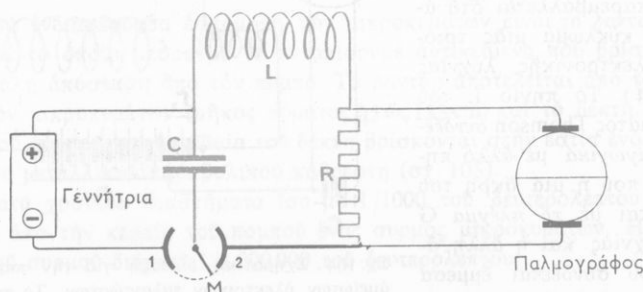
Άμείωτες ηλεκτρικές ταλαντώσεις

46. Άμείωτες ηλεκτρικές ταλαντώσεις

Ένα κύκλωμα ταλαντώσεων (κύκλωμα Thomson) αποτελείται από πυκνωτή με χωρητικότητα C και από πηνίο με συντελεστή αυτεπαγωγής L (σχ. 102). Κατά σειρά με τον πυκνωτή και το πηνίο συνδέεται μία μεταβλητή ωμική αντίσταση R . Το κύκλωμα συνδέεται με ηλεκτρονικό παλμογράφο και με αυτόν παρακολουθούμε τις μεταβολές της εντάσεως του ρεύματος σε συνάρτηση με το χρόνο μέσα στο κύκλωμα RLC.

Όταν ο μεταγωγός M έρχεται σε επαφή με τον άκροδέκτη 1, ο πυκνωτής φορτίζεται. Όταν φέρουμε το μεταγωγό M σε επαφή με τον άκροδέκτη 2, ο πυκνωτής εκφορτίζεται και τότε το πηνίο και η αντίσταση R διαρρέονται από ρεύμα.

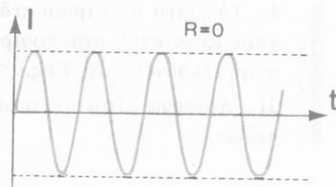
Ελαττώνοντας συνεχώς την ωμική αντίσταση R παρατηρούμε ότι, όταν η αντίσταση R γίνει πολύ μικρή ώστε να θεωρείται άσημαντη ($R \approx 0$),



Σχ. 102. Σχηματική διάταξη για τη μελέτη της εκφορτίσεως του πυκνωτή μέσα στο κύκλωμα RLC.

στό κύκλωμα ταλαντώσεων κυκλοφορεί έναλλασσόμενο ρεύμα πού τό πλάτος του I_0 διατηρείται σταθερό (σχ. 103). "Ωστε:

Όταν ή ώμική αντίσταση (R) του κυκλώματος ταλαντώσεων είναι ίση μέ μηδέν, τότε στό κύκλωμα παράγεται άμείωτη ήλεκτρική ταλάντωση.

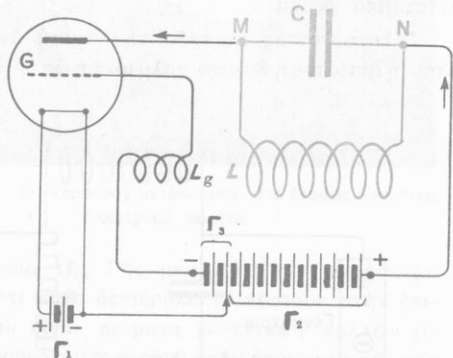


Σχ. 103. Μέσα στό κύκλωμα RLC δημιουργείται άμείωτη ήλεκτρική ταλάντωση.

47. Παραγωγή άμείωτων ήλεκτρικών ταλαντώσεων

Στίς εφαρμογές χρησιμοποιούμε τίς άμείωτες ήλεκτρικές ταλαντώσεις. Σέ ένα ίδανικό κύκλωμα ταλαντώσεων ($R \approx 0$) δέν υπάρχουν άπώλειες ενέργειας καί διαδοχικά ή ενέργεια του ήλεκτρικού πεδίου $\frac{1}{2} CU^2$ μετατρέπεται σέ ενέργεια του μαγνητικού πεδίου $\frac{1}{2} LI^2$ καί αντίστροφα.

Στήν πραγματικότητα σέ κάθε κύκλωμα ταλαντώσεων συμβαίνουν άπώλειες ενέργειας (κυρίως εξαιτίας του φαινομένου Joule). Έπομένως, γιά νά παραχθούν μέσα σέ ένα κύκλωμα ταλαντώσεων άμείωτες ήλεκτρικές ταλαντώσεις, πρέπει μέσα σέ κάθε περίοδο καί σέ μιά όρισμένη χρονική στιγμή νά προσφέρεται απέξω στό κύκλωμα τόση ακριβώς ενέργεια, όση άπορρόφησαν οί διάφορες άπώλειες κατά τήν άμέσως προηγούμενη περίοδο. Αυτό τό πετυχαίνουμε μέ τόν εξής τρόπο: Τό κύκλωμα ταλαντώσεων παρεμβάλλεται στό άνοδικό κύκλωμα μιάς τριόδου ήλεκτρονικής λυχνίας (σχ. 104). Τό πηνίο L του κυκλώματος Thomson συνδέεται επαγωγικά μέ άλλο πηνίο L_g πού ή μιά άκρη του συνδέεται μέ τό πλέγμα G τής λυχνίας καί ή άλλη άκρη του συνδέεται έμμεσα μέ τήν κάθοδο K. Τό πηνίο L_g όνομάζεται πηνίο άναδρά-



Σχ. 104. Σχηματική διάταξη γιά τήν παραγωγή άμείωτων ήλεκτρικών ταλαντώσεων. Τό πηνίο άναδράσεως L_g δημιουργεί ρυθμικά ρευματικές ώθήσεις στό κύκλωμα RLC.

σεως. Όταν κλείσει το άνοδικό κύκλωμα, ό πυκνωτής φορτίζεται και μέσα στο κύκλωμα Thomson παράγεται ηλεκτρική ταλάντωση πού έχει συχνότητα ίση μέ τήν ιδιοσυχνότητα ν_0 του κυκλώματος. Τότε στίς άκρες του πηνίου αναδράσεως L_g αναπτύσσεται από επαγωγή *εναλλασσόμενη τάση* πού έχει συχνότητα ίση μέ τή συχνότητα ν_0 τής ηλεκτρικής ταλαντώσεως. Αύτές οι *εναλλαγές* τής τάσεως επηρεάζουν μέ τόν ίδιο ρυθμό τήν τάση U_E πού υπάρχει μεταξύ του πλέγματος και τής καθόδου (*τάση πλέγματος*) και, επομένως, τό άνοδικό ρεύμα *δέχεται ρυθμικά ένισχύσεις*. Έτσι ρυθμικά αναπληρώνονται οι άπώλειες ενέργειας πού συμβαίνουν στο κύκλωμα Thomson στή διάρκεια κάθε περιόδου (όπως σέ ένα έκκρεμές ρολογιού οι ρυθμικές ώθήσεις αναπληρώνουν τήν άπώλεια ενέργειας μέσα σέ κάθε περίοδο).

Μέ τό σύστημα αναδράσεως παράγονται άμείωτες ηλεκτρικές ταλαντώσεις πού ή συχνότητά τους μπορεί νά φτάσει ως 10^8 Hz (δηλαδή 100 MHz). Οι άμείωτες ηλεκτρικές ταλαντώσεις είναι *ήμιτονοειδή ρεύματα* πού ή συχνότητά τους ν_0 είναι ίση μέ τήν ιδιοσυχνότητα του κυκλώματος ταλαντώσεων και έπομένως είναι:

$$\nu_0 = \frac{1}{2\pi\sqrt{LC}}$$

Στή ραδιοφωνία, τήν τηλεόραση και τό ραντάρ χρησιμοποιούνται άμείωτες ηλεκτρικές ταλαντώσεις πού έχουν συχνότητες από 10^6 ως 10^{10} Hz. Γι' αυτές τίς πολύ ψηλές συχνότητες χρησιμοποιούμε ειδικές διατάξεις πού ταυτόχρονα παίζουν τό ρόλο του *κυκλώματος ταλαντώσεων* και του *συστήματος αναδράσεως*.

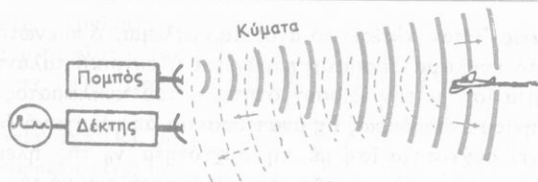
48* Ραντάρ

Μιά ένδιαφέρουσα εφαρμογή των μικροκυμάτων είναι τό *ραντάρ* (radar*) μέ τό όποιο μπορούμε νά έντοπίσουμε αντικείμενα πού βρίσκονται σέ μεγάλη άπόσταση από τόν πομπό. Τό ραντάρ άποτελείται από τόν πομπό των μικροκυμάτων (μήκος κύματος 05 ως 133 cm) και τό δέκτη. Η κεραία του πομπού και ή κεραία του δέκτη βρίσκονται στήν έστία ενός αντίστοιχου μεταλλικού παραβολικού καθρέφτη (σχ. 105).

Κατά χρονικά διαστήματα ίσα μέ 1/1000 του δευτερολέπτου έκπέμπεται από τήν κεραία του πομπού ένας συρμός μικροκυμάτων. Η έκπομπή του συρμού διαρκεί 1/1 000 000 του δευτερολέπτου.

* Διεθνής όρος από τά άρχικά γράμματα των λέξεων: RAdio Detection And Ranging.

Τά μικροκύματα διαδίδονται ευθύγραμμα και όταν πέσουν πάνω σε ένα αντικείμενο, ανακλώνται και επιστρέφουν στο δέκτη. Αυτό αποτελείται από κατάλληλο ενισχυτή και από ένα σωλήνα Braun.



Σχ. 105. Σχηματική παράσταση της λειτουργίας του ραντάρ.

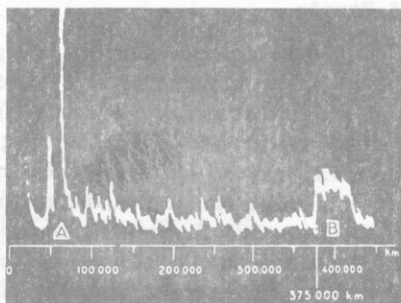
Όταν ο πομπός δεν εκπέμπει μικροκύματα, το φωτεινό σημείο διαγράφει πολύ γρήγορα πάνω στην οθόνη του δέκτη μία οριζόντια γραμμή. Τη στιγμή που φεύγουν τά μικροκύματα από τον πομπό καθώς και τη στιγμή που τά μικροκύματα φτάνουν στο δέκτη το φωτεινό σημείο εκτρέπεται απότομα προς τά πάνω και έτσι εμφανίζονται δύο αιχμές. Η πρώτη αντιστοιχεί στην έκπομπή και η δεύτερη στην άφιξη των μικροκυμάτων. Η απόσταση μεταξύ των δύο αιχμών είναι ανάλογη με τό χρόνο που μεσολάβει μεταξύ της έκπομπής και της λήψως των μικροκυμάτων. Ο χρόνος αυτός είναι ανάλογος με τήν απόσταση του πομπού από τό στόχο που προκαλεί τήν ανάκλαση των μικροκυμάτων. Έτσι η απόσταση μεταξύ των δύο αιχμών πάνω σε μία κλίμακα δίνει άμέσως τήν απόσταση του στόχου από τον πομπό.

Η διεύθυνση του στόχου καθορίζεται εύκολα, γιατί η κατευθυνόμενη δέση των μικροκυμάτων μπορεί να κατευθύνεται προς διάφορες διευθύνσεις με περιστρεφόμενες κεραίες.

Τά μικροκύματα περνούν μέσα από τά σύννεφα, και τήν όμίχλη. Μέ έναν ειδικό τύπο ραντάρ μπορούμε να λάβουμε πάνω στην οθόνη τήν εικόνα μιās περιοχής (π.χ. λιμανιού, αεροδρομίου).

Τά ραντάρ έχουν σήμερα πολλές εφαρμογές. Τά χρησιμοποιούμε για να επισημαίνουμε πλοία ή αεροπλάνα, για να βοηθήσουμε τά αεροπλάνα κατά τήν προσγείωσή τους ή τά πλοία κατά τήν είσοδό τους στο λιμάνι σε καιρό όμίχλης κ.λ. Μεγάλες υπηρεσίες προσφέρει τό ραντάρ στις ένοπλες δυνάμεις.

Παρατήρηση. Η πρώτη έπα-



Σχ.105 » Η πρώτη έπαφή μας με τή Σελήνη. (Α αναχώρηση του σήματος, Β άφιξη του σήματος στο δέκτη).

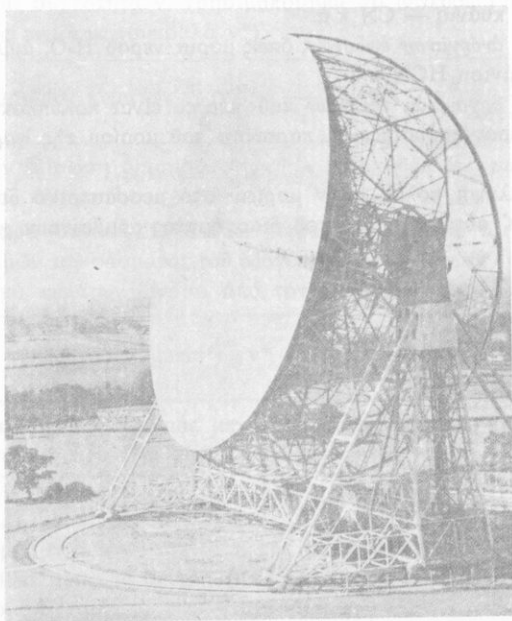
φή μας μέ τήν Σελήνη ἔγινε μέ μικροκύματα (1947), τά ὅποια πάνω στήν ἐπιφάνειά της ἔπαθαν ἀνάκλαση καί ξαναγύρισαν στό δέκτη (σχ105α).

49: Ραδιοαστρονομία

Μιά ἐφαρμογή τῶν ἐρτζιανῶν κυμάτων εἶναι ὁ κλάδος τῆς Ἀστροφυσικῆς πού ὀνομάζεται *Ραδιοαστρονομία*. Αὐτή χρησιμοποιεῖ τά *ραδιοτηλεσκόπια* πού εἶναι μεγάλοι παραβολικοί καθρέφτες, οἱ ὅποιοι στήν ἐστία τους ἔχουν μιά κεραία δέκτη ἐρτζιανῶν κυμάτων.

Τά *κοσμικά ραδιοκύματα* πού περνοῦν μέσα ἀπό τήν ἀτμόσφαιρα, ἀποτελοῦν ἓνα μεγάλο φάσμα ἠλεκτρομαγνητικῶν ἀκτινοβολιῶν πού ἔχουν μήκη κύματος ἀπό 1 cm ὡς 100 m, ἐνῶ οἱ ὄρατῆς ἀκτινοβολίες στίς ὁποῖες βασίζεται ἡ ὀπτική ἐρευνα τοῦ οὐρανοῦ, σχηματίζουν ἓνα πολύ μικρό φάσμα ἀκτινοβολιῶν μέ μήκη κύματος ἀπό 0,8 μm ὡς 0,4 μm.

Ὅρισμένα κοσμικά ραδιοκύματα προέρχονται ἀπό τόν Ἥλιο, ἀλλά τά περισσότερα προέρχονται ἀπό *ραδιοπομπούς* πού βρίσκονται σέ διάφορα σημεῖα τοῦ Γαλαξία καί ὀνομάζονται *ραδιοαστέρες*.



Σχ. 106 Τό ραδιοτηλεσκόπιο στό Jodrell Bank (Ἀγγλία).

Πολλοί από τούς γνωστούς ραδιοπομπούς είναι *εξωγαλαξιακοί* και ή ένταση τής ακτινοβολίας τους είναι πολύ μεγάλη. Αυτόι οί ραδιοπομποί ονομάζονται *ραδιογαλαξίες* και είναι ιδιόμορφοι νεφελοειδείς (σχ. 107).

α. Ή ύλη στό μεσοαστρικό διάστημα. Μέσα στό χώρο πού υπάρχει μεταξύ τών άστέρων του Γαλαξία υπάρχουν τεράστια σκοτεινά *σύννεφα κοσμικής ύλης* πού αποτελούνται από άερια. Αυτό, επειδή έχουν πολύ χαμηλή θερμοκρασία, δέν εκπέμπουν όρατές ακτινοβολίες, εκπέμπουν όμως όρισμένα *ραδιοκύματα*. Έτσι ανακαλύψαμε ότι στά σύννεφα κοσμικής ύλης υπάρχουν:

1. *άτομα* υδρογόνου, άνθρακα, δευτερίου, αζώτου·
2. *ελεύθερες ρίζες*, όπως υδροξύλιο — OH, μονοξειδίο του άνθρακα > CO, κυάνιο — CN κ.ά.
3. *Μόρια άνόργανων ενώσεων*, όπως μόρια νερού H₂O, άμμωνίας NH₃, υδροκυάνιου HCN κ.ά.
4. *Μόρια όργανικών ενώσεων* πού μερικά είναι πολύπλοκα· ιδιαίτερο ενδιαφέρον παρουσιάζει ή παρουσία του μορίου τής φορμαλδεϋδης, HCHO.

Ή ανάκαλυψη πολύπλοκων μορίων στό μεσοάστρικό διάστημα φανερώνει ότι σ' αυτό τό χώρο του διαστήματος συμβαίνουν *χημικές αντιδράσεις*.



Σχ. 107. Ή ραδιογαλαξίας M 87 είναι από τούς ισχυρότερους ραδιοπομπούς του ούρανου.

ΑΤΟΜΙΚΗ ΚΑΙ ΠΥΡΗΝΙΚΗ ΦΥΣΙΚΗ

ΑΤΟΜΙΚΗ ΦΥΣΙΚΗ

Τά ηλεκτρόνια γύρω από τον πυρήνα

50. Φάσμα έκπομπής του ατόμου υδρογόνου

Τό όρατό φάσμα έκπομπής του υδρογόνου αποτελείται μόνο από τέσσερις ακτινοβολίες που αντιστοιχούν σε όρισμένα μήκη κύματος. Στή φασματοσκοπία, για τόν καθορισμό μιās ακτινοβολίας που έχει μήκος κύματος λ καί συχνότητα ν , χρησιμοποιούμε τό μέγεθος $1/\lambda$ που ονομάζεται *αριθμός κυμάτων* (σύμβολο ν^*).

$$\text{αριθμός κυμάτων} \quad \nu^* = \frac{1}{\lambda} \quad \eta \quad \nu^* = \frac{c}{\lambda \nu}$$

Από τήν εξίσωση όρισμού $\nu^* = 1/\lambda$ βρίσκουμε ότι *μονάδα αριθμού κυμάτων* είναι τό 1 m^{-1} .

α. Ή σειρά Balmer. Ό Balmer πειραματικά βρήκε ότι ή θέση τών όρατών γραμμών του φάσματος του υδρογόνου (*σειρά Balmer*) σε συνάρτηση με τόν αριθμό κυμάτων δίνεται από τόν ακόλουθο *τύπο του Balmer*:

$$\text{τύπος του Balmer} \quad \nu^* = R_H \cdot \left(\frac{1}{2^2} - \frac{1}{n^2} \right)$$

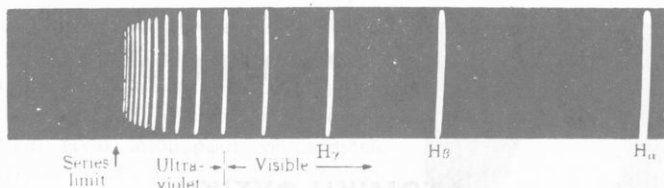
όπου n είναι άκέραιος αριθμός μεγαλύτεος από 2 ($n > 2$) καί R_H είναι ή *σταθερή Rydberg* που έχει τήν τιμή:

$$\text{σταθερή Rydberg} \quad R_H = 10974 \cdot 10^3 \text{ m}^{-1}$$

Ό αριθμός n δείχνει τήν τάξη τής φασματικής γραμμής. Όταν ό αριθμός n τείνει προς τό άπειρο ($n \rightarrow \infty$) τότε ό αριθμός κυμάτων τείνει προς τήν όριακή τιμή:

$$\text{όριακή φασματική} \quad \nu^* = \frac{R_N}{4}$$

γραμμή



Σχ. 108. Φωτογραφία των ορατών γραμμών του φάσματος έκπομπής του υδρογόνου (σειρά Balmer).

Με αυτή την όριακή γραμμή κλείνει ή σειρά Balmer (σχ. 108). Ωστε:

Η σειρά Balmer αρχίζει από μία όρισμένη φασματική γραμμή ($n = 3$) και κλείνει με μία φασματική γραμμή, στην οποία αντιστοιχεί αριθμός κυμάτων $\nu^* = R_H/4$.

β. Οι πέντε σειρές των φασματικών γραμμών του υδρογόνου. Η πειραματική έρευνα ανακάλυψε ότι τό άτομο υδρογόνου, εκτός από τη σειρά των ορατών γραμμών, εκπέμπει και άλλες τέσσερις σειρές φασματικών γραμμών, από τις οποίες ή μία βρίσκεται στο υπεριώδες τμήμα του φάσματος και οι άλλες τρεις εμφανίζονται διαδοχικά στο υπέρυθρο τμήμα του φάσματος του υδρογόνου. Σέ καθεμιά από αυτές τις τέσσερις φασματικές γραμμές αντιστοιχεί ένας τύπος ανάλογος μέ τόν τύπο του Balmer (βλ. πίνακα).

Οι πέντε σειρές των φασματικών γραμμών του υδρογόνου

Τμήμα του φάσματος	Όνομα τής σειράς	Τύπος τής σειράς:
Υπεριώδες	Lyman	$\nu^* = R_H \cdot \left(\frac{1}{1^2} - \frac{1}{n^2} \right)$ όπου $n = 2, 3, 4 \dots$
Όρατό	Balmer	$\nu^* = R_H \cdot \left(\frac{1}{2^2} - \frac{1}{n^2} \right)$ όπου $n = 3, 4, 5 \dots$
Υπέρυθρο	Paschen	$\nu^* = R_H \cdot \left(\frac{1}{3^2} - \frac{1}{n^2} \right)$ όπου $n = 4, 5, 6 \dots$
	Brackett	$\nu^* = R_H \cdot \left(\frac{1}{4^2} - \frac{1}{n^2} \right)$ όπου $n = 5, 6, 7 \dots$
	Pfund	$\nu^* = R_H \cdot \left(\frac{1}{5^2} - \frac{1}{n^2} \right)$ όπου $n = 6, 7, 8 \dots$

γ. Γενική εξίσωση των φασματικών γραμμών του υδρογόνου. Από την πειραματική έρευνα καταλήξαμε στο ακόλουθο γενικό συμπέρασμα:

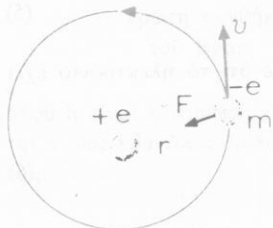
Τό άτομο υδρογόνου μπορεί να εκπέμψει πέντε σειρές ακτινοβολιών, πού καθορίζονται από τη γενική εξίσωση:

$$\text{ακτινοβολίες του υδρογόνου ατόμου} \quad v^* = R_{H} \cdot \left(\frac{1}{\alpha^2} - \frac{1}{\beta^2} \right)$$

όπου R_H είναι ή σταθερή Rydberg και α και β είναι άκεραίοι αριθμοί. Από την παραπάνω γενική εξίσωση εύκολα προκύπτει ή εξίσωση πού αντιστοιχεί σε κάθε σειρά φασματικών γραμμών.

51. Κίνηση του ηλεκτρονίου του ατόμου υδρογόνου γύρω από τον πυρήνα

α. Δυναμική ενέργεια του ηλεκτρονίου. Ο πυρήνας του ατόμου του υδρογόνου έχει θετικό φορτίο $Q = +e$ και τό ηλεκτρόνιο διαγράφει γύρω από τον πυρήνα κυκλική τροχιά πού έχει ακτίνα r (σχ. 109). Σε απόσταση r από τον πυρήνα τό δυναμικό του ηλεκτρικού πεδίου, πού δημιουργεί ό πυρήνας, είναι ίσο μέ:



$$U_r = \frac{1}{4\pi\epsilon_0} \cdot \frac{Q}{r} \quad \text{ή} \quad U_r = \frac{1}{4\pi\epsilon_0} \cdot \frac{e}{r}$$

Σχ. 109. Η περιφορά του ηλεκτρονίου γύρω από τον πυρήνα.

Όταν λοιπόν τό ηλεκτρόνιο, πού έχει φορτίο $-e$, περιφέρεται σε απόσταση r από τον πυρήνα, τότε τό ηλεκτρόνιο έχει δυναμική ενέργεια:

$$E_{δυν} = U_r \cdot (-e) \quad \text{άρα} \quad E_{δυν} = -\frac{1}{4\pi\epsilon_0} \cdot \frac{e^2}{r} \quad (1)$$

Η δυναμική ενέργεια του ηλεκτρονίου είναι ίση μέ μηδέν μόνο σε απόσταση άπειρη από τον πυρήνα ($r = \infty$). Μέσα στό άτομο ή δυναμική ενέργεια του ηλεκτρονίου έχει πάντοτε τιμή άρνητική.

β. Κινητική ενέργεια του ηλεκτρονίου. Πάνω στην κύκλική τροχιά, ακτίνας r , τό ηλεκτρόνιο κινείται μέ ταχύτητα πού τό μέτρο της v είναι

σταθερό και έπομένως τό ήλεκτρόνιο έχει *κινητική ένέργεια* :

$$E_{\delta\upsilon\nu} = \frac{1}{2} m_e \cdot v^2 \quad (2)$$

όπου m_e είναι ή μάζα τοῦ ήλεκτρονίου. Τό φορτίο τοῦ πυρήνα έξασκεί πάνω στό φορτίο τοῦ ήλεκτρονίου μιά έλξη \vec{F} , πού τό μέτρο της, σύμφωνα μέ τό νόμο τοῦ Coulomb, είναι:

$$F = \frac{1}{4\pi\epsilon_0} \cdot \frac{(+e) \cdot (-e)}{r^2} \quad \text{άρα} \quad F = -\frac{1}{4\pi\epsilon_0} \cdot \frac{e^2}{r^2} \quad (3)$$

Αὐτή ή δύναμη \vec{F} ένεργεί πάνω στό ήλεκτρόνιο ώς κεντρομόλος δύναμη πού τό μέτρο της είναι ίσο μέ:

$$F = -\frac{m_e \cdot v^2}{r} \quad (4)$$

Τό άρνητικό σημείο φανερώνει ότι ή κεντρομόλος έπιτάχυνση έχει φορά πρós τό κέντρο τοῦ κύκλου (κεντρική κίνηση). Από τίς εξισώσεις (3) καί (4) βρίσκουμε :

$$m_e \cdot v^2 = \frac{1}{4\pi\epsilon_0} \cdot \frac{e^2}{r} \quad (5)$$

Καί από τίς εξισώσεις (2) καί (5) βρίσκουμε ότι τό ήλεκτρόνιο έχει *κινητική ένέργεια* :

$$E_{\kappa\iota\nu} = \frac{1}{4\pi\epsilon_0} \cdot \frac{e^2}{2r} \quad (6)$$

γ. Όλική ένέργεια τοῦ ήλεκτρονίου. Τό ήλεκτρόνιο, κινούμενο πάνω στην τροχιά του, έχει *όλική ένέργεια* :

$$E_{\omicron\lambda} = E_{\delta\upsilon\nu} + E_{\kappa\iota\nu} \quad \text{άρα} \quad E_{\omicron\lambda} = -\frac{1}{4\pi\epsilon_0} \cdot \frac{e^2}{2r} \quad (7)$$

Τό άρνητικό σημείο οφείλεται στό ότι ή δυναμική ένέργεια τοῦ ήλεκτρονίου (έξίσ. 1) είναι κατ' άπόλυτη τιμή μεγαλύτερη από τήν κινητική ένέργειά του. Από τίς εξισώσεις (1) καί (6) βρίσκουμε ότι κατ' άπόλυτη τιμή είναι $E_{\delta\upsilon\nu}/E_{\kappa\iota\nu} = 2$.

δ. Τροχιακή στροφορμή τοῦ ήλεκτρονίου. Τό ήλεκτρόνιο κινείται πάνω στην κυκλική τροχιά του μέ σταθερή γωνιακή ταχύτητα ω καί ταχύτητα $v = \omega \cdot r$. Τό ήλεκτρόνιο θεωρείται ώς ύλικό σημείο πού έχει μάζα m_e

καί ροπή αδρανείας $\Theta = m_e \cdot r^2$. Άρα τό ηλεκτρόνιο έχει στροφορμή πού ονομάζεται *τροχιακή στροφορμή* καί έχει μέτρο (l) ίσο μέ:

$$l = \Theta \cdot \omega = m_e \cdot r^2 \cdot \omega \quad \text{άρα} \quad l = m_e \cdot v \cdot r \quad (8)$$

ε. Οί μεταβολές τής όλικης ενέργειας του ηλεκτρονίου. Ή εξίσωση (7) δείχνει ότι ή όλική ενέργεια του ηλεκτρονίου μπορεί νά μεταβληθεί μόνο όταν μεταβάλλεται ή ακτίνα r τής κυκλικής τροχιάς του. Οί μεταβολές τής όλικης ενέργειας συμβαίνουν, όταν τό ηλεκτρόνιο παίρνει ενέργεια απέξω ή αποβάλλει ενέργεια μέ τή μορφή φωτονίου. Σ' ατή τήν περίπτωση ισχύουν οί επόμενες δύο κβαντικές συνθήκες του Bohr.

1. Πρώτη συνθήκη του Bohr

Στό άτομο υδρογόνου τό ηλεκτρόνιο μπορεί νά κινείται γύρω από τον πυρήνα μόνο πάνω σε όρισμένες επιτρεπόμενες τροχιές (κβαντικές τροχιές), στις όποιες αντιστοιχεί τροχιακή στροφορμή του ηλεκτρονίου ίση μέ άκέραιο πολλαπλάσιο του $h/2\pi$.

$$\begin{array}{l} \text{πρώτη συνθήκη} \\ \text{του Bohr} \end{array} \quad m_e \cdot v \cdot r = n \cdot \frac{h}{2\pi} \quad (9)$$

όπου h είναι ή σταθερή του Planck καί n άκέραιος αριθμός πού ονομάζεται κύριος κβαντικός αριθμός καί μπορεί νά λάβει τίς τιμές από ένα ως άπειρο.

$$\text{κύριος κβαντικός αριθμός} \quad n = 1, 2, 3, 4, \dots, \infty$$

Ή κβαντική τροχιά, στην οποία αντιστοιχεί $n = 1$, έχει τή μικρότερη δυνατή ακτίνα καί ονομάζεται *θεμελιώδης τροχιά*.

Όταν τό ηλεκτρόνιο του ατόμου υδρογόνου περιφέρεται πάνω στή θεμελιώδη τροχιά, τότε τό άτομο υδρογόνου βρίσκεται σε κατάσταση ισορροπίας καί λέμε ότι τό άτομο βρίσκεται στην *κανονική κατάσταση*.

Άπό τήν πρώτη συνθήκη του Bohr συνάγονται τά ακόλουθα συμπεράσματα:

1. Πάνω στή θεμελιώδη τροχιά τό ηλεκτρόνιο έχει τή μικρότερη δυνατή όλική ενέργεια (κανονική κατάσταση).
2. Όταν τό ηλεκτρόνιο πηδάει από μία κβαντική τροχιά σε άλλη, ή όλική ενέργεια του ηλεκτρονίου μεταβάλλεται απότομα.

II. Δεύτερη συνθήκη του Bohr

Τό άτομο υδρογόνου *έκπέμπει* ή *απορροφά* τήν ήλεκτρομαγνητική ακτινοβολία (δηλαδή φωτόνια) σύμφωνα με τήν *επόμενη δεύτερη συνθήκη του Bohr* :

Τό ήλεκτρονίο του ατόμου υδρογόνου, *απορροφώντας* τήν *ένέργεια* *ήν* *ένός* *φωτονίου*, *πηδάει* από *μιά* *έσωτερική* *σε* *μιά* *πιό* *έξωτερική* *κβαντική* *τροχιά* *μεγαλύτερης* *ένέργειας*. *Αντίστροφα*, *πηδώντας* από *μιά* *έξωτερική* *σε* *μιά* *πιό* *έσωτερική* *κβαντική* *τροχιά* *μικρότερης* *ένέργειας* *έκπέμπει* τήν *ένέργεια* *ήν* *ένός* *φωτονίου*. *Η* *ένέργεια* *ήν* *του* *φωτονίου* *πού* *απορροφάται* *ή* *έκπέμπεται*, *είναι* *ίση* *με* *τή* *διαφορά* *των* *ενεργειών* *του* *ήλεκτρονίου* *πάνω* *στις* *δύο* *κβαντικές* *τροχίες*.

$$\begin{array}{l} \text{δευτέρα συνθήκη} \\ \text{του Bohr} \end{array} \quad E_{x,z} - E_{z,\epsilon} = h\nu$$

όπου $E_{x,z}$ είναι ή *ένέργεια* *του* *ήλεκτρονίου* *πάνω* *σε* *τροχιά* *μεγαλύτερης* *ένέργειας* (*έξωτερική*) *καί* $E_{z,\epsilon}$ ή *ένέργεια* *πάνω* *σε* *τροχιά* *μικρότερης* *ένέργειας* (*έσωτερική*).

στ. *Ακτίνες των κβαντικών τροχιών*. *Αν* *υψώσουμε* *στό* *τετράγωνο* *τήν* *έξίσωση* (9) *βρίσκουμε* :

$$m_e^2 \cdot v^2 \cdot r^2 = n^2 \cdot \frac{h^2}{4\pi^2} \quad (10)$$

Τό ήλεκτρονίο *κινείται* *πάνω* *σε* *κβαντική* *τροχιά* *ακτίνας* r . *Η* *έλεξη* *πού* *έξασκεί* *ό* *πυρήνας* *πάνω* *στό* *ήλεκτρονίο*, *ένεργεί* *ώς* *κεντρομόλος*, *δύναμη*. *Αρα* *ισχύει* *ή* *έξίσωση* :

$$\frac{1}{4\pi\epsilon_0} \cdot \frac{e^2}{r^2} = \frac{m_e \cdot v^2}{r} \quad \text{άρα} \quad m_e \cdot v^2 \cdot r = \frac{e^2}{4\pi\epsilon_0} \quad (11)$$

Αν *διαιρέσουμε* *κατά* *μέλη* *τις* *έξισώσεις* (10) *καί* (11) *βρίσκουμε* *ότι* *ή* *ακτίνα* r *της* *κβαντικής* *τροχιάς* *είναι* :

$$\begin{array}{l} \text{ακτίνα κβαντικής} \\ \text{τροχιάς} \end{array} \quad r = 4\pi\epsilon_0 \cdot \frac{n^2 \cdot h^2}{4\pi^2 \cdot m_e \cdot e^2} \quad (12)$$

Γιά $n = 1$ *βρίσκουμε* *ότι* *ή* *ακτίνα* r_1 *της* *θεμελιώδους* *τροχιάς* *είναι* :

$$\begin{array}{l} \text{ακτίνα θεμελιώδους} \\ \text{τροχιάς} \end{array} \quad r_1 = 0,529 \cdot 10^{-10} \text{ m} \quad \text{ή} \quad r_1 \approx 0,5 \text{ \AA}$$

Επομένως ή εξίσωση (12) γράφεται:

$$\begin{array}{l} \text{άκτινα κβαντικής} \\ \text{τροχιάς} \end{array} \quad r_n = n^2 \cdot r_1$$

Η άκτινα r_n μιās κβαντικής τροχιάς είναι ανάλογη μέ τό τετράγωνο του αντίστοιχου κύριου κβαντικού άριθμού n .

ζ. Ταχύτητα του ήλεκτρονίου πάνω στήν κβαντική τροχιά. Από τίς εξισώσεις (9) καί (11) βρίσκουμε ότι ή ταχύτητα v του ήλεκτρονίου πάνω στήν κβαντική τροχιά έχει μέτρο ίσο μέ:

$$\begin{array}{l} \text{ταχύτητα ήλεκτρονίου} \\ \text{πάνω σέ κβαντική τροχιά} \end{array} \quad v = \frac{1}{4\pi\epsilon_0} \cdot \frac{2\pi \cdot e^2}{n \cdot h} \quad (13)$$

Γιά $n = 1$ βρίσκουμε ότι ή ταχύτητα v_1 του ήλεκτρονίου πάνω στή θεμελιώδη τροχιά είναι:

$$\begin{array}{l} \text{ταχύτητα πάνω} \\ \text{στή θεμελιώδη τροχιά} \end{array} \quad v_1 \simeq 22 \cdot 10^5 \text{ m/sec}$$

Επομένως ή εξίσωση (13) γράφεται:

$$\begin{array}{l} \text{ταχύτητα πάνω} \\ \text{σέ κβαντική τροχιά} \end{array} \quad v_n = \frac{v_1}{n}$$

Η ταχύτητα v_n του ήλεκτρονίου πάνω σέ μιá κβαντική τροχιά είναι αντιστρόφως ανάλογη μέ τόν αντίστοιχο κύριο κβαντικό άριθμό n .

η. Όλική ένέργεια του ήλεκτρονίου πάνω σέ κβαντική τροχιά. Αν στήν εξίσωση (7) αντικαταστήσουμε τήν τιμή τής άκτινας r από τήν εξίσωση (12) βρίσκουμε ότι ή όλική ένέργεια του ήλεκτρονίου είναι:

$$\begin{array}{l} \text{όλική ένέργεια} \\ \text{ήλεκτρονίου} \end{array} \quad E_{ολ} = - \frac{1}{(4\pi\epsilon_0)^2} \cdot \frac{2\pi^2 \cdot m_e \cdot e^4}{n^2 \cdot h^2} \quad (14)$$

Γιά $n = 1$ βρίσκουμε ότι ή όλική ένέργεια E_1 του ήλεκτρονίου πάνω στή θεμελιώδη τροχιά είναι:

$$\begin{array}{l} \text{όλική ένέργεια πάνω} \\ \text{στή θεμελιώδη τροχιά} \end{array} \quad \begin{array}{l} E_1 \simeq - 2,179 \cdot 10^{-18} \text{ Joule} \\ \text{ή} \\ E_1 \simeq - 13,53 \text{ eV} \end{array}$$

Επομένως η εξίσωση (14) γράφεται:

$$\text{όλική ενέργεια πάνω σε κβαντική τροχιά} \quad E_n = \frac{E_1}{n^2} \quad \text{ή} \quad E_n = - \frac{13,53}{n^2} \text{ eV} \quad (15)$$

Στάθμες ενέργειας του ηλεκτρονίου στο άτομο υδρογόνου

Κύριος κβαντικός αριθμός n	Ενέργεια ηλεκτρονίου (σε eV)
$n = 1$	$E_1 = -13,53$
$n = 2$	$E_2 = -3,38$
$n = 3$	$E_3 = -1,50$
$n = 4$	$E_4 = -0,85$
.....
.....
$n \rightarrow \infty$	0

θ. Στάθμες ενέργειας στο άτομο υδρογόνου. Όταν το ηλεκτρόνιο κινείται πάνω στη θεμελιώδη τροχιά ($n = 1$), έχει *τή μικρότερη δυνατή ενέργεια* E_1 . Πάνω σε κάθε κβαντική τροχιά το ηλεκτρόνιο έχει *ορισμένη ολική ενέργεια*, όπως φαίνεται στο διπλανό πίνακα. Οί διαφορές επιτρεπόμενες *ενεργειακές καταστάσεις* του ηλεκτρονίου ονομάζονται *στάθμες ενέργειας*.

52. Έρμηνεία τής έκπομπής του φάσματος του υδρογόνου

Θεωρούμε ότι *αρχικά* το ηλεκτρόνιο του ατόμου υδρογόνου βρίσκεται πάνω σε *μιά εξωτερική* τροχιά που έχει κύριο κβαντικό αριθμό $n_{αρχ}$. Πάνω σ' αυτή την τροχιά το ηλεκτρόνιο έχει ολική ενέργεια:

$$E_{αρχ} = - \frac{1}{(4\pi\epsilon_0)^2} \cdot \frac{2\pi^2 \cdot m_e \cdot e^4}{n_{αρχ}^2 \cdot h^2}$$

Το άτομο υδρογόνου βρίσκεται σε *κατάσταση διεγέρσεως* και τείνει να ξαναγυρίσει στην κανονική κατάσταση. Τότε το ηλεκτρόνιο πηδάει πάνω σε *μιά κβαντική* τροχιά που είναι *πιο κοντά στον πυρήνα* και έχει κύριο κβαντικό αριθμό $n_{τελ}$ (αρα είναι $n_{αρχ} > n_{τελ}$). Πάνω στη νέα τροχιά το ηλεκτρόνιο έχει ολική ενέργεια:

$$E_{τελ} = - \frac{1}{(4\pi\epsilon_0)^2} \cdot \frac{2\pi^2 \cdot m_e \cdot e^4}{n_{τελ}^2 \cdot h^2}$$

Αυτό το πήδημα του ηλεκτρονίου προκαλεί απότομη *ελάττωση* τής ολικής ενέργειας κατά $\Delta E = E_{αρχ} - E_{τελ}$. Έτσι το ηλεκτρόνιο *αποβάλλει*

τήν ενέργεια ΔE με τη μορφή ενός φωτονίου $h\nu$ και ισχύει η εξίσωση:

$$h \cdot \nu = E_{\alpha\rho\chi} - E_{\tau\epsilon\lambda} \quad \text{\AA} \rho \alpha \quad \nu = \frac{E_{\alpha\rho\chi} - E_{\tau\epsilon\lambda}}{h}$$

$$\text{καί} \quad \nu = \frac{1}{(4\pi\epsilon_0)^2} \cdot \frac{2\pi^2 \cdot m_e \cdot e^4}{h^3} \cdot \left(\frac{1}{n_{\tau\epsilon\lambda}^2} - \frac{1}{n_{\alpha\rho\chi}^2} \right) \quad (1)$$

Ο αριθμός κυμάτων ν^* της ακτινοβολίας συχνότητας ν είναι $\nu^* = \nu/c$.
 Ωστε από την εξίσωση (1) βρίσκουμε:

$$\nu^* = \frac{1}{(4\pi\epsilon_0)^2} \cdot \frac{2\pi^2 \cdot m_e \cdot e^4}{c \cdot h^3} \cdot \left(\frac{1}{n_{\tau\epsilon\lambda}^2} - \frac{1}{n_{\alpha\rho\chi}^2} \right) \quad (2)$$

Αν υπολογίσουμε το σταθερό παράγοντα $\frac{2\pi^2 \cdot m_e \cdot e^4}{(4\pi\epsilon_0)^2 \cdot c \cdot h^3}$

βρίσκουμε ότι έχει την τιμή της σταθερής Rydberg R_H . Άρα είναι:

$$\text{σταθερή Rydberg} \quad R_H = \frac{2\pi^2 \cdot m_e \cdot e^4}{(4\pi\epsilon_0)^2 \cdot c \cdot h^3}$$

Ωστε η εξίσωση (2) γράφεται:

$$\text{αριθμός κυμάτων} \quad \nu^* = R_H \cdot \left(\frac{1}{n_{\tau\epsilon\lambda}^2} - \frac{1}{n_{\alpha\rho\chi}^2} \right) \quad (3)$$

Η εξίσωση (3) είναι η γενική εξίσωση που πειραματικά βρήκαμε για τις ακτινοβολίες που εκπέμπει το άτομο υδρογόνου (§ 57, εξίσ. 1).

Στην παραπάνω γενική εξίσωση (3) το $n_{\tau\epsilon\lambda}$ είναι ο κύριος κβαντικός αριθμός της τροχιάς που πάνω σ' αυτή πέφτει τελικά το ηλεκτρόνιο και το $n_{\alpha\rho\chi}$ είναι ο κύριος κβαντικός αριθμός της τροχιάς από την οποία πηδάει το ηλεκτρόνιο. Δίνοντας στο $n_{\tau\epsilon\lambda}$ τις τιμές 1, 2, 3, 4, 5 βρίσκουμε τις πέντε σειρές των φασματικών γραμμών του υδρογόνου, όπως φαίνεται στον τύπο της σελίδας 122, όπου είναι $\alpha = n_{\tau\epsilon\lambda}$ και $\beta = n_{\alpha\rho\chi}$ και στο σχήμα 110.

α. Απορρόφηση ακτινοβολιών από το άτομο υδρογόνου. Ένα άτομο υδρογόνου που βρίσκεται σε κανονική κατάσταση, αποκτά την κατάσταση διεγέρσεως, αν απορροφήσει τόση ενέργεια, όση χρειάζεται για να πηδήσει το ηλεκτρόνιο από τη θεμελιώδη τροχιά ($n = 1$) σε μία πιο εξωτερική

τροχιά. "Ωστε η απορρόφηση ακτινοβολιών από το άτομο υδρογόνου εκφράζεται με την εξίσωση:

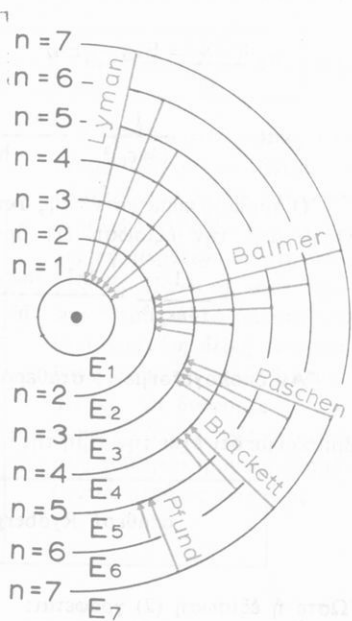
$$h\nu = E_{\text{τελ}} - E_{\text{αρχ}} \quad (4)$$

Η εξίσωση (4) φανερώνει ότι:

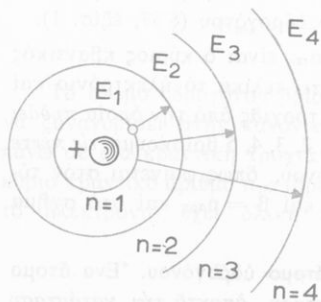
Τό άτομο υδρογόνου απορροφά μόνο εκείνες τις ακτινοβολίες, που μπορεί τό άτομο νά εκπέμψει.

Επομένως για τό υδρογόνο τό φάσμα απορρόφησης είναι όμοιο μέ τό φάσμα έκπομπής. Έτσι έρμηνεύεται ό γνωστός νόμος τής αντιστροφής τών γραμμών του φάσματος αερίου.

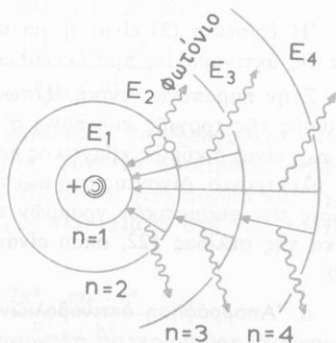
Στά σχήματα 111 καί 112 δείχνεται σχηματικά ή διέγερση καί ή έκπομπή ακτινοβολίας από τό άτομο υδρογόνου.



Σχ. 110. Οί πέντε σειρές τών ακτινοβολιών που εκπέμπει τό άτομο υδρογόνου.



Σχ. 111. Διέγερση του ατόμου υδρογόνου.



Σχ. 112. Έκπομπή ακτινοβολίας από τό άτομο υδρογόνου.

53. Οί δύο κινήσεις του ηλεκτρονίου στό άτομο υδρογόνου

α. Περιφορά του ηλεκτρονίου γύρω από τόν πυρήνα. 'Η κίνηση του ηλεκτρονίου γύρω από τόν πυρήνα του ατόμου έχει ορισμένες συνέπειες.

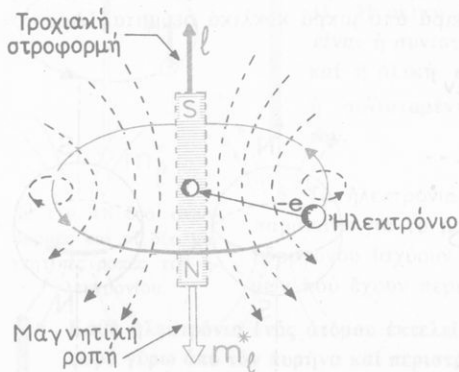
1. Τροχιακή στροφορμή του ηλεκτρονίου. "Όταν τό άτομο υδρογόνου βρίσκεται στην κανονική κατάσταση, τό ηλεκτρόνιο διαγράφει κυκλική τροχιά μέ ακτίνα r (σχ. 109). Τό ηλεκτρόνιο κινείται μέ ταχύτητα πού έχει μέτρο σταθερό καί έχει τότε *τροχιακή στροφορμή* πού έχει μέτρο:

$$\text{τροχιακή στροφορμή ηλεκτρονίου} \quad l = m_e \cdot v \cdot r$$

Τό άνυσμα \vec{l} τής τροχιακής στροφορμής έχει τή διεύθυνση καί τή φορά τής γωνιακής ταχύτητας $\vec{\omega}$, δηλαδή είναι κάθετο στό επίπεδο τής κυκλικής τροχιάς του ηλεκτρονίου (σχ. 113).



Σχ. 113. Τό περιφερόμενο ηλεκτρόνιο έχει τροχιακή στροφορμή (l).



Σχ. 114. 'Η περιφορά του ηλεκτρονίου ισοδυναμεί μέ κυκλικό ρεύμα πού συμπεριφέρεται ως μαγνητικό δίπολο.

2. Μαγνητική διπολική ροπή του ηλεκτρονίου. 'Η κυκλική κίνηση του ηλεκτρονίου γύρω από τόν πυρήνα ισοδυναμεί μέ στοιχειώδες κυκλικό ρεύμα πού αποτελεί ένα στοιχειώδες *μαγνητικό δίπολο* μέ ορισμένη *μαγνητική ροπή*. "Αν v είναι ή συχνότητα τής κινήσεως του ηλεκτρονίου, τότε ή μέση ένταση I του ρεύματος είναι ίση μέ τό φορτίο πού κατά δευτερόλεπτο περνάει από ένα σημείο τής τροχιάς, δηλαδή είναι

$I = v \cdot e$. 'Η επιφάνεια του στοιχειώδους κυκλικού ρεύματος έχει έμβαδό $S = \pi \cdot r^2$. 'Η συμβατική φορά του ρεύματος μέ τό όποιο ισοδυναμεί ή περιφορά του ηλεκτρονίου γύρω από τόν πυρήνα, είναι αντίθετη μέ τή φορά τής κινήσεως του ηλεκτρονίου. Αυτό τό στοιχειώδες κυ-

κλικό ρεύμα έχει μαγνητική ροπή (σχ. 114) που ονομάζεται *μαγνητική διπολική ροπή* και έχει μέτρο :

$$m_l^* = I \cdot S \quad \text{ή} \quad m_l^* = v \cdot e \cdot \pi \cdot r^2$$

Τό άνυσμα \vec{m}_l^* της μαγνητικής διπολικής ροπής έχει φορά αντίθετη μέ τή φορά του άνυσματος \vec{l} της τροχιακής στροφορμής.

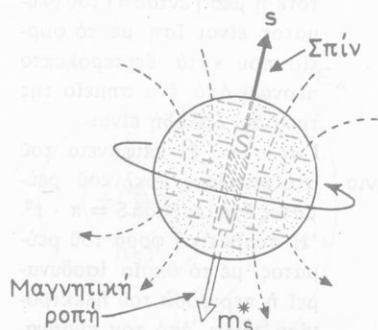
β. Περιστροφή του ήλεκτρονίου γύρω από τόν άξονά του. Είναι γνωστό ότι τό φάσμα έκπομπής του ύδρογόνου αποτελείται από όρισμένες φωτεινές γραμμές. "Όταν όμως τό ύδρογόνο που φωτοβολεί, βρίσκεται μέσα σε *μαγνητικό* ή *ηλεκτρικό πεδίο*, τότε κάθε φασματική γραμμή *αναλύεται* σε δύο ή περισσότερες φωτεινές γραμμές. 'Η θεωρία απέδειξε ότι αυτό τό φαινόμενο έρμηνεύεται, αν δεχτούμε ότι τό ήλεκτρόνιο (που τό θεωρούμε σαν μικρή σφαίρα) καθώς περιφέρεται γύρω από τόν πυρήνα ταυτόχρονα *περιστρέφεται γύρω από άξονα* που περνάει από τό κέντρο του (σχ 115). Αυτή όμως ή περιστροφική κίνηση του ήλεκτρονίου έχει τίς εξής συνέπειες:



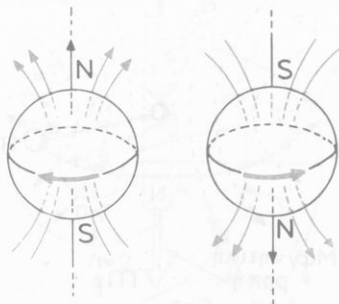
Σχ. 115. Περιστροφή του ήλεκτρονίου γύρω από τόν άξονά του.

1. Τό ήλεκτρόνιο εξαιτίας της περιστροφικής κινήσεώς του έχει *στροφορμή* \vec{s} που διεθνώς ονομάζεται *spin* (σπίν).

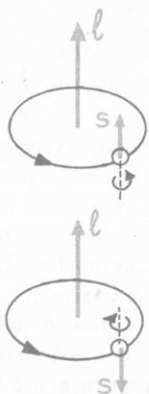
2. Τό ήλεκτρόνιο που περιστρέφεται γύρω από τόν άξονά του, εξαιτίας του φορτίου του, δημιουργεί σειρά από μικρά κυκλικά ρεύματα. "Άρα τό



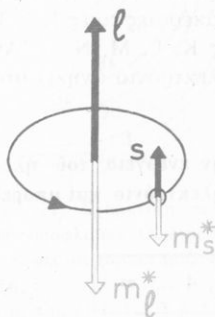
Σχ. 116. 'Η περιστροφή του ήλεκτρονίου γύρω από τόν άξονά του δημιουργεί στροφορμή (σπίν) και μαγνητική ροπή του σπίν.



Σχ. 117. Οί δύο δυνατοί τρόποι περιστροφής του ήλεκτρονίου γύρω από τόν άξονά του.



Σχ. 118. Τά άνύσματα τών δύο στροφορμών του ηλεκτρονίου μπορεί νά είναι παράλληλα ή αντίπαράλληλα.



Σχ. 119. Οί δύο στροφορμές και οί δύο μαγνητικές ροπές του ηλεκτρονίου.

περιστρεφόμενο ηλεκτρόνιο έχει *μαγνητική ροπή* που ονομάζεται *μαγνητική ροπή του spin* \vec{m}_s^* (σχ. 116). 'Η περιστροφή του ηλεκτρονίου μπορεί νά γίνει κατά τή μιá ή κατά τήν αντίθετη φορά (σχ.117).

γ. Συμπεράσματα για τίς δύο κινήσεις του ηλεκτρονίου. Τό ηλεκτρόνιο του ατόμου υδρογόνου εξαιτίας τής περιφοράς του γύρω από τόν πυρήνα και τής περιστροφής του γύρω από τόν άξονά του έχει δύο στροφορμές και δύο μαγνητικές ροπές.

Τά άνύσματα \vec{l} και \vec{s} τών δύο στροφορμών του ηλεκτρονίου μπορεί νά είναι παράλληλα ή αντίπαράλληλα, ανάλογα μέ τίς δύο δυνατές περιπτώσεις περιστροφής του ηλεκτρονίου γύρω από τόν άξονά του (σχ.118).

Τά άνύσματα \vec{m}_l^* και \vec{m}_s^* τών δύο μαγνητικών ροπών του ηλεκτρονίου έχουν φορά αντίθετη μέ τή φορά τών αντίστοιχων στροφορμών (\vec{l} και \vec{s}) του ηλεκτρονίου (σχ. 119). "Ωστε :

I. Στο άτομο υδρογόνου τό ηλεκτρόνιο, εξαιτίας τών δύο κινήσεών του έχει δύο στροφορμές (\vec{l} και \vec{s}) και δύο μαγνητικές ροπές (\vec{m}_l^* και \vec{m}_s^*).

II. 'Η όλική στροφορμή (\vec{j}) του ηλεκτρονίου είναι ή συνισταμένη τών δύο στροφορμών του και ή όλική μαγνητική ροπή του ($\vec{m}_{ολ}^*$) είναι ή συνισταμένη τών δύο μαγνητικών ροπών του.

δ. Τά ηλεκτρόνια δτά άλλα άτομα. "Οσα είπαμε παραπάνω για τό μοναδικό ηλεκτρόνιο του ατόμου υδρογόνου ισχύουν για κάθε ηλεκτρόνιο τών ατόμων που έχουν περισσότερα ηλεκτρόνια. "Ωστε :

Κάθε ηλεκτρόνιο ενός ατόμου εκτελεί ταυτόχρονα δύο κινήσεις, περιφορά γύρω από τόν πυρήνα και περιστροφή γύρω από τόν άξονα συμμετρίας του ηλεκτρονίου.

54. Κβαντικοί αριθμοί του ηλεκτρονίου

Η έρευνα του φάσματος του υδρογόνου απέδειξε ότι οι δυνατές στάθμες ενέργειας του ηλεκτρονίου εκφράζονται σε συνάρτηση με τον κύριο κβαντικό αριθμό n .

Η άρχική θεωρία του Bohr δέχεται ότι σε κάθε στάθμη ενέργειας του ηλεκτρονίου αντιστοιχεί μία κυκλική τροχιά του ηλεκτρονίου. Η μεταγενέστερη θεωρητική έρευνα, για να εξηγήσει ορισμένα φαινόμενα που ανακαλύφθηκαν με το πείραμα, απέδειξε ότι σε μία στάθμη ενέργειας του ηλεκτρονίου αντιστοιχεί *ορισμένος αριθμός τροχιών* του ηλεκτρονίου, από τις οποίες ή μία τροχιά είναι *κυκλική* και οι άλλες είναι *έλλειπτικές*.

Γενικότερα η θεωρητική έρευνα απέδειξε ότι μέσα στο άτομο τό καθένα ηλεκτρόνιο έχει σαν να πούμε δική του «προσωπικότητα», ή οποία στις κβαντικές εξισώσεις εκφράζεται με τέσσερα φυσικά μεγέθη που ονομάζονται *κβαντικοί αριθμοί* του ηλεκτρονίου. Ο καθένας από τους κβαντικούς αριθμούς αναφέρεται σε μία ορισμένη ιδιότητα του ηλεκτρονίου. Θα εξετάσουμε στοιχειωδώς τους τέσσερις κβαντικούς αριθμούς του ηλεκτρονίου.

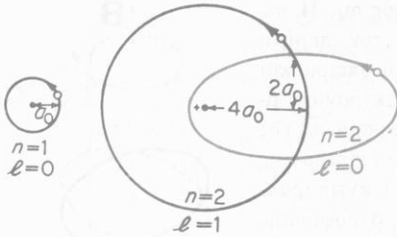
α. **Ο κύριος κβαντικός αριθμός n .** Όπως ξέρουμε ο κύριος κβαντικός αριθμός n χαρακτηρίζει την ενέργεια του ηλεκτρονίου πάνω σε κάθε κβαντική τροχιά και μπορεί να λάβει τις διαδοχικές άκεραιες τιμές 1, 2, 3, 4, ... που αντιστοιχούν στους διαδοχικούς φλοιούς K, L, M, N, ... Άν π.χ. για ένα ηλεκτρόνιο είναι $n = 2$, τότε αυτό τό ηλεκτρόνιο ανήκει στο φλοιό L. Ωστε:

Ο κύριος κβαντικός αριθμός n χαρακτηρίζει την ενέργεια του ηλεκτρονίου και τό φλοιό, στον οποίο ανήκει τό ηλεκτρόνιο και μπορεί να λάβει τις άκεραιες τιμές από ένα ως άπειρο.

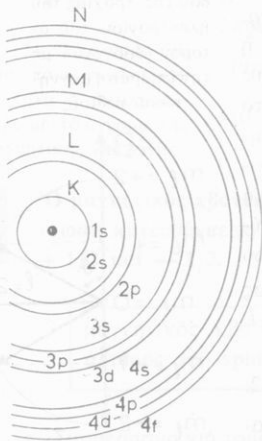
$$\text{κύριος κβαντικός αριθμός} \quad n = 1, 2, 3, 4, \dots, \infty$$

β. Ο δευτερεύων κβαντικός αριθμός l . Η πρώτη συνθήκη του Bohr όρίζει ότι ή τροχιακή στροφορμή του ηλεκτρονίου είναι ίση με $n(h/2\pi)$, όπου n είναι ο κύριος κβαντικός αριθμός. Τό μέγεθος $h/2\pi$ είναι ή μονάδα της τροχιακής στροφορμής. Η ακριβέστερη όμως θεωρητική έρευνα απέδειξε ότι ή τροχιακή στροφορμή του ηλεκτρονίου έχει μέτρο $l(h/2\pi)$, όπου l είναι ο δευτερεύων κβαντικός αριθμός.

Γιά ένα δοσμένο κύριο κβαντικό αριθμό n ο δευτερεύων κβαντικός αριθμός l λαβαίνει τις άκεραιες τιμές από 0 ως $n - 1$. Άν π.χ. είναι $n = 4$, τότε είναι $l = 0, 1, 2, 3$. Οί διάφορες τιμές του δευτερεύοντος κβαντικού



Σχ. 120. Οί κβαντικές τροχιές του ηλεκτρονίου για $n = 1$ και $n = 2$.



Σχ. 121. Σχηματική παράσταση των υποφλοιών. Οί διαδοχικοί υποφλοιοί χαρακτηρίζονται ως εξής :

τιμή του l : 0 1 2 3 4 5
 σύμβολο : s p d f g h
 Έμπρός από τό σύμβολο του υποφλοιού γράφεται ό κύριος κβαντικός αριθμός πού χαρακτηρίζει τό φλοιό.

αριθμού l αντιστοιχούν στίς διάφορες δυνατές μορφές τής τροχιάς του ηλεκτρονίου. Ή μεγαλύτερη δυνατή τιμή $l = n - 1$ χαρακτηρίζει κυκλική τροχιά, ενώ οί άλλες τιμές του l χαρακτηρίζουν έλλειπτικές τροχιές (σχ. 120).

Ό δευτερεύων κβαντικός αριθμός l φανερώνει ότι κάθε φλοιός είναι πολλαπλός και αποτελείται από l υποφλοιούς, πού ό καθένας είναι και μία στάθμη ενέργειας του ηλεκτρονίου (σχ. 121). Αν π.χ. είναι $n = 2$ (φλοιός L), τότε είναι $l = 0$ και $l = 1$. Άρα ό φλοιός L αποτελείται από δύο υποφλοιούς. Ωστε:

I. Ό δευτερεύων κβαντικός αριθμός l χαρακτηρίζει τήν τροχιακή στροφορμή του ηλεκτρονίου και φανερώνει από πόσους υποφλοιούς αποτελείται ό κάθε φλοιός.

II. Ό δευτερεύων κβαντικός αριθμός l μπορεί να λάβει τίσ άκέραιες τιμές από μηδέν ως $n - 1$, οί όποιες αντιστοιχούν σε μία κυκλική τροχιά ($l = n - 1$) και σε διάφορες έλλειπτικές τροχιές ($l < n - 1$).

τροχιακή στροφορμή	$l \frac{h}{2\pi}$
δευτερεύων κβαντικός αριθμός	$l = 0, 1, 2, 3, \dots (n - 1)$

γ. Ο μαγνητικός κβαντικός αριθμός m_l . Η περιφορά του ηλεκτρονίου γύρω από τον πυρήνα ισοδυναμεί με ρεύμα που διαρρέει μία σπείρα και επομένως σε κάθε τροχιά του ηλεκτρονίου αντιστοιχεί μία μαγνητική ροπή. Το άνυσμα \vec{m}_l της μαγνητικής ροπής είναι κάθετο στο επίπεδο της τροχιάς του ηλεκτρονίου, αλλά είναι αντιπαράλληλο με το άνυσμα \vec{L} της τροχιακής στροφορμής του ηλεκτρονίου (σχ. 119).

Όταν το άτομο υδρογόνου βρεθεί μέσα σε μαγνητικό πεδίο, τότε το επίπεδο της τροχιάς του ηλεκτρονίου τείνει να λάβει *ορισμένο προσανατολισμό*. Η Κβαντομηχανική αποδεικνύει ότι η γωνία θ (σχ. 122) που σχηματίζουν μεταξύ τους το άνυσμα \vec{L} της τροχιακής στροφορμής και το άνυσμα \vec{B} της μαγνητικής επαγωγής του μαγνητικού πεδίου μπορεί να λάβει μόνο *ορισμένες τιμές*, ώστε να ισχύει η εξής συνθήκη: η προβολή του άνυσματος \vec{L} πάνω στη διεύθυνση του άνυσματος \vec{B} πρέπει να είναι ίση με $m_l(h/2\pi)$, όπου m_l είναι ο μαγνητικός κβαντικός αριθμός. Αυτός μπορεί να λάβει *τίς άκεραιες τιμές* από $+l$ ως $-l$.

Αν π.χ. είναι:

$n = 3$, τότε είναι $l = 2$ και $m_l = 2, 1, 0, -1, -2$.

Αρα ο μαγνητικός κβαντικός αριθμός m_l μπορεί να λάβει συνολικά $2l + 1$ τιμές. Στο σχήμα 130 φαίνονται οι επιτρεπόμενες τιμές της γωνίας θ για $l = 2$.

Από τα παραπάνω προκύπτει ότι υπάρχουν *ορισμένοι περιορισμοί* στον προσανατολισμό του επιπέδου της τροχιάς του ηλεκτρονίου. Το φαινόμενο αυτό ονομάζεται *κβάντωση κατευθύνσεως*. Ωστε:

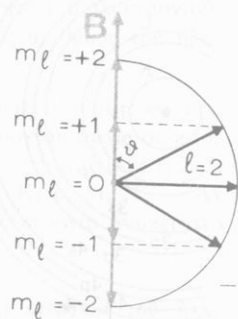
Ο μαγνητικός κβαντικός αριθμός m_l χαρακτηρίζει την κβάντωση κατευθύνσεως της τροχιακής στροφορμής και μπορεί να λάβει τις άκεραιες τιμές από $+l$ ως $-l$.

μαγνητικός κβαντικός
αριθμός

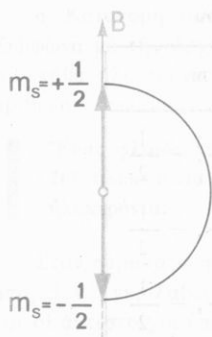
$$m_l = +l, \dots, 2, 1, 0, -1, -2, \dots, -l$$



Σχ. 122. Προσανατολισμός του επιπέδου της τροχιάς του ηλεκτρονίου του ατόμου υδρογόνου με την επίδραση μαγνητικού πεδίου.



Σχ. 123. Η προβολή του άνυσματος \vec{L} πάνω στη διεύθυνση της μαγνητικής επαγωγής \vec{B} έχει ορισμένες μόνο τιμές.



Σχ. 124. Το άνυσμα του spin μπορεί να είναι παράλληλο ή αντιπαράλληλο με το άνυσμα της μαγνητικής επαγωγής.

δ. Ο μαγνητικός κβαντικός αριθμός του spin m_s . Το ηλεκτρόνιο, επειδή περιστρέφεται γύρω από τον άξονά του έχει στροφορμή \vec{s} που λέγεται spin. Όταν το άτομο υδρογόνου βρεθεί μέσα σε μαγνητικό πεδίο, τότε για το άνυσμα \vec{s} υπάρχουν μόνο δύο δυνατοί προσανατολισμοί του (κβάντωση κατευθύνσεως), δηλαδή το άνυσμα \vec{s} μπορεί να είναι παράλληλο ή αντιπαράλληλο με το άνυσμα \vec{B} της μαγνητικής επαγωγής του μαγνητικού πεδίου (σχ. 124). Η προβολή του άνυσματος \vec{s} πάνω στη διεύθυνση του άνυσματος \vec{B} πρέπει να είναι ίση με $m_s (h/2\pi)$, όπου m_s είναι ο μαγνητικός κβαντικός αριθμός του spin. Αυτός μπορεί να λάβει μόνο τις τιμές $+\frac{1}{2}$

και $-\frac{1}{2}$. Ωστε:

Ο μαγνητικός κβαντικός αριθμός του spin m_s χαρακτηρίζει την κβάντωση κατευθύνσεως του spin και μπορεί να λάβει μόνο τις δύο τιμές $+1/2$ και $-1/2$.

μαγνητικός κβαντικός αριθμός του spin	$m_s = +\frac{1}{2}$	$m_s = -\frac{1}{2}$
---------------------------------------	----------------------	----------------------

ε. Συμπέρασμα για τους κβαντικούς αριθμούς του ηλεκτρονίου. Από τα παραπάνω συνάγεται ότι:

I. Σε κάθε ηλεκτρόνιο του ατόμου αντιστοιχούν οι εξής τέσσερις κβαντικοί αριθμοί :

- ο κύριος κβαντικός αριθμός n
- ο δευτερεύων κβαντικός αριθμός l
- ο μαγνητικός κβαντικός αριθμός m_l
- ο μαγνητικός κβαντικός αριθμός του spin m_s .

II. Οι τέσσερις κβαντικοί αριθμοί χαρακτηρίζουν με ακρίβεια την ενεργειακή κατάσταση ενός ηλεκτρονίου μέσα στο άτομο.

Στόν παρακάτω πίνακα αναφέρονται οι δυνατές τιμές των τεσσάρων κβαντικών αριθμών για $n = 1, 2, 3$.

Οἱ κβαντικοὶ ἀριθμοὶ τοῦ ἠλεκτρονίου

n	l	m_l	m_s
1	0	0	$+\frac{1}{2}, -\frac{1}{2}$
2	0, 1	+ 1, 0, - 1	$+\frac{1}{2}, -\frac{1}{2}$
3	0, 1, 2	+ 2, + 1, 0, - 1, - 2	$+\frac{1}{2}, -\frac{1}{2}$

55. Ἀρχὴ τοῦ Pauli

Τό ἄτομο ὑδρογόνου ἔχει μόνο ἓνα ἠλεκτρόνιο, τὰ ἄτομα ὅμως ὄλων τῶν ἄλλων στοιχείων ἔχουν περισσότερα ἀπὸ ἓνα ἠλεκτρόνια. Ὄταν ἓνα ἄτομο μέ πολλά ἠλεκτρόνια βρίσκεται στήν κανονική κατάσταση, τότε ὅλα τὰ ἠλεκτρόνια του ἔπρεπε νά βρίσκονται στή *στάθμη τῆς ἐλάχιστης ὀλικῆς ἐνέργειας*. Αὐτή ἡ στάθμη ἀντιστοιχεῖ στόν κύριο κβαντικό ἀριθμό $n = 1$. Ἄρα ὅλα τὰ ἠλεκτρόνια τοῦ ἀτόμου ἔπρεπε νά βρίσκονται στό φλοιό K. Ἡ κατάταξη ὁμοῦ τῶν στοιχείων στό περιοδικό σύστημα δείχνει ὅτι τὰ ἠλεκτρόνια ἑνός ἀτόμου *κατανέμονται σέ διάφορους φλοιούς*.

Εἶναι γνωστό ὅτι κάθε ἠλεκτρόνιο τοῦ ἀτόμου προσδιορίζεται μέ τούς τέσσερις κβαντικούς ἀριθμούς του, πού χαρακτηρίζουν τήν *ἐνεργειακή κατάσταση* τοῦ ἠλεκτρονίου. Ἡ κατανομή τῶν ἠλεκτρονίων σέ διάφορους φλοιούς γύρω ἀπὸ τόν πυρήνα διέπεται ἀπὸ τήν ἀκόλουθη *ἀρχή τοῦ Pauli* (ἢ *ἀπαγορευτική ἀρχή*):

Σέ ἓνα ἄτομο τό κάθε ἠλεκτρόνιο ἔχει μιά μοναδική σειρά κβαντικῶν ἀριθμῶν (n , l , m_l καί m_s).

Ἡ ἀρχή τοῦ Pauli βάζει *ὀρισμένους περιορισμούς* στίς δυνατές ἐνεργειακές καταστάσεις τοῦ ἠλεκτρονίου, γιατί καθορίζει ὅτι:

Στό ἴδιο ἄτομο δέν μποροῦν νά ὑπάρχουν δύο ἠλεκτρόνια πού νά ἔχουν ἴδιους καί τούς τέσσερις κβαντικούς ἀριθμούς τους.

Αὐτά τὰ δύο ἠλεκτρόνια πρέπει νά ἔχουν *διαφορετικό* τουλάχιστο ἓνα κβαντικό ἀριθμό τους.

α. Κατανόμη τών ηλεκτρονίων στους φλοιούς καί στους υποφλοιούς. Σύμφωνα μέ τήν ἀρχή τοῦ Pauli στό ἴδιο ἄτομο ἡ ἐνεργειακή κατάσταση τοῦ κάθε ηλεκτρονίου χαρακτηρίζεται ἀπό *ιδιαιτέρη* τετράδα κβαντικῶν ἀριθμῶν. Ἐφαρμόζοντας τήν ἀρχή τοῦ Pauli βρῖσκουμε ὅτι:

Ἐνας φλοιός πού ἔχει κύριο κβαντικό ἀριθμό n μπορεῖ νά περιλάβει $2n^2$ ηλεκτρόνια καί ἕνας υποφλοιός μπορεῖ νά περιλάβει $2(2l + 1)$ ηλεκτρόνια.

Στόν παρακάτω πίνακα ἀναφέρεται ὁ μέγιστος ἀριθμός ηλεκτρονίων πού μπορεῖ νά περιλάβει καθένας ἀπό τούς δύο πρώτους φλοιούς ($n = 1, 2$) καί οἱ ἀντίστοιχοι υποφλοιοί. Στόν πίνακα παρατηροῦμε ὅτι κάθε ηλεκτρόνιο χαρακτηρίζεται ἀπό μιὰ δική του τετράδα κβαντικῶν ἀριθμῶν.

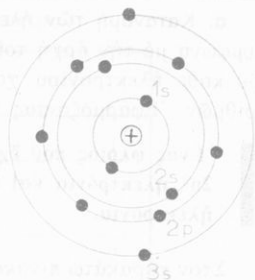
Ὅταν ἕνας φλοιός ἔχει τό μέγιστο ἀριθμό ηλεκτρονίων πού ἀντιστοιχεῖ σ' αὐτό τό φλοιό, τότε ὁ φλοιός αὐτός εἶναι ἕνας *συμπληρωμένος* φλοιός. Γενικά οἱ συμπληρωμένοι φλοιοί ἀποτελοῦν μιὰ *πολύ σταθερή* κατανομή τών ηλεκτρονίων γύρω ἀπό τόν πυρήνα.

Ὁ δυνατός ἀριθμός ηλεκτρονίων στους δύο πρώτους φλοιούς (K, L)

Φλοιός	n	l	m_l	m_s	Ἀριθμός ηλεκτρονίων σέ συμπληρωμένο υποφλοιό	Ἀριθμός ηλεκτρονίων σέ συμπληρωμένο φλοιό
K	1	0	0	+1/2	2	2
	1	0	0	-1/2		
L	2	0	0	+1/2	2	8
	2	0	0	-1/2		
	2	1	-1	+1/2	6	
	2	1	-1	-1/2		
	2	1	0	+1/2		
	2	1	0	-1/2		
	2	1	+1	+1/2		
	2	1	+1	-1/2		

β. Ἡ διαδοχική συμπλήρωση τών φλοιῶν. Θεωροῦμε τά ἄτομα στήν κανονική κατάσταση. Στό περιοδικό σύστημα ὅσο προχωροῦμε διαδοχικά ἀπό τό ἄτομο ὑδρογόνου πρὸς τό ἄτομο οὐρανίου, ὁ ἀτομικός ἀριθμός Z

συνεχώς αυξάνεται από τό 1 ως τό 92. Άρα όσο προχωρούμε στο περιοδικό σύστημα από τό ένα στοιχείο στο άλλο, ό αριθμός των ηλεκτρονίων του ατόμου συνεχώς αυξάνεται κατά ένα ηλεκτρόνιο. Ή διαδοχική προσθήκη του ενός ηλεκτρονίου προχωρεί μέ τέτοιο τρόπο, ώστε διαδοχικά νά συμπληρώνεται ό κάθε φλοιός. Στο σχήμα 125 φαίνεται ή κατανομή των ηλεκτρονίων στο άτομο μαγνησίου ($Z = 12$).



Σχ. 125. Σχηματική παράσταση της κατανομής των 12 ηλεκτρονίων του ατόμου μαγνησίου στους φλοιούς και υποφλοιούς.

Στά άτομα όμως μέ μεγάλο ατομικό αριθμό Z παρατηρούμε αποκλίσεις, πού οφείλονται στις αμοιβαίες επιδράσεις των πολλών ηλεκτρονίων πού περιφέρονται γύρω από τόν πυρήνα και γι' αυτό οί εξωτερικοί φλοιοί O, P, Q ποτέ δέν είναι συμπληρωμένοι. Έτσι π.χ. στο άτομο ουρανίου ($Z = 92$) τά ηλεκτρόνια κατανέμονται ως εξής:

φλοιός	:	K	L	M	N	O	P	Q
ηλεκτρόνια	:	2	8	18	32	18	12	2

56. Λέηζερ

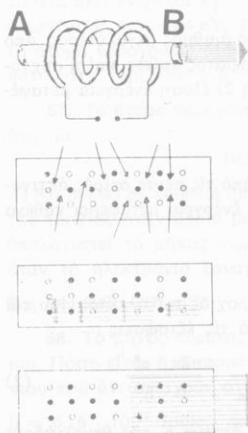
α. Αυτόματη έκπομπή. Για ένα άτομο μέ πολλά ηλεκτρόνια ή κανονική κατάσταση του αντιστοιχεί σε μία στάθμη ενέργειας E_1 . Όταν τό άτομο απορροφήσει ένα φωτόνιο πού έχει ενέργεια $h\nu$, τότε τό άτομο έρχεται σε κατάσταση διεγέρσεως πού αντιστοιχεί σε μία ανώτερη στάθμη ενέργειας E_2 και ισχύει ή σχέση $E_2 - E_1 = h\nu$. Ή κατάσταση διεγέρσεως διαρκεί επί ελάχιστο χρόνο, περίπου 10^{-8} sec και τό άτομο αυτόματα ξαναγυρίζει στην κανονική κατάσταση του εκπέμποντας ένα φωτόνιο συχνότητας ν , ή όποία προσδιορίζεται από τήν εξίσωση $h\nu = E_2 - E_1$. Αυτός ό τρόπος έκπομπής ακτινοβολίας ονομάζεται αυτόματη έκπομπή(*). Σε ένα μεγάλο πλήθος ατόμων ή αυτόματη έκπομπή από τά διάφορα άτομα γίνεται σε διαφορετικές χρονικές στιγμές.

β. Έξαναγκασμένη έκπομπή. Στο άτομο υπάρχουν μερικές στάθμες ενέργειας πού είναι πρόσκαιρα σταθερές και ονομάζονται μετασταθερές στάθμες. Σε μία τέτοια στάθμη ενέργειας τό άτομο μπορεί νά παραμείνει επί 10^{-3} sec, δηλαδή ή κατάσταση διεγέρσεως διαρκεί 10^5 φορές μεγαλύτερο χρονικό

* Spontaneous emission

διάστημα. Ένα άτομο που βρίσκεται στην κανονική κατάσταση, δηλαδή στη στάθμη ενέργειας E_1 , απορροφά ένα φωτόνιο συχνότητας ν και έρχεται σε μία ανώτερη μετασταθερή στάθμη ενέργειας E_2 , για την οποία ισχύει η εξίσωση $E_2 - E_1 = h\nu$. Το άτομο βρίσκεται τότε σε κατάσταση διεγέρσεως. Εκείνη τη στιγμή πέφτει πάνω στο άτομο ένα φωτόνιο $h\nu$ που έχει συχνότητα ν ακριβώς ίση με τη συχνότητα του φωτονίου που εκπέμπει το άτομο, όταν ξαναγυρίζει από την κατάσταση διεγέρσεως E_2 στην κανονική κατάστασή του E_1 . Τότε το άτομο αναγκάζεται να αποδιεγερθεί και εκπέμπει ένα φωτόνιο $h\nu$. Αυτό το φωτόνιο προσθέτεται στο προηγούμενο φωτόνιο που προκάλεσε την αποδιέγερση και έτσι από το άτομο φεύγουν δύο μαζί φωτόνια που μεταφέρουν ενέργεια $2(h\nu)$. Αυτός ο τρόπος έκπομπης ακτινοβολίας ονομάζεται *ξαναγκασμένη έκπομπή* (*). Σ' αυτή την αρχή στηρίζεται η λειτουργία του *λήξερ* (laser) που αποτελεί έναν καινούριο τύπο φωτεινής πηγής. Η ονομασία του προέρχεται από τα αρχικά γράμματα των λέξεων του τίτλου του (Light Amplification by Stimulated Emission of Radiation = πολλαπλασιασμός του φωτός από ξαναγκασμένη έκπομπή ακτινοβολίας).

γ. Λήξερ. Συνηθισμένος τύπος είναι ο *λήξερ με ρουμπίνι*. Αυτός αποτελείται από ένα μικρό κύλινδρο από ρουμπίνι και



Σχ. 126. Σχηματική παράσταση για την έρμηνεία της λειτουργίας του λήξερ με ρουμπίνι.

γύρω του υπάρχει γυάλινος έλικοειδής σωλήνας με αραιό αέριο. Το ρουμπίνι είναι οξειδίο του άργιλιού, Al_2O_3 , που περιέχει και πολύ λίγο οξειδίο του χρωμίου, Cr_2O_3 (σχ. 126). Η μία βάση του κυλίνδρου είναι τελείως έπαργυρωμένη, ενώ η άλλη είναι μόνο ή μισή έπαργυρωμένη.

Μέσα στον έλικοειδή σωλήνα γίνεται μία πολύ σύντομη ήλεκτρική έκκένωση που προκαλεί *διέγερση* σε μερικά ιόντα χρωμίου, Cr^{3+} . Αυτά είναι οι πηγές του φωτός που εκπέμπει ο λήξερ. Έπακολουθεί αποδιέγερση που προκαλεί *διέγερση* σε περισσότερα ιόντα. Τα παραγόμενα φωτόνια ανακλώνται διαδοχικά πάνω στις δύο έπαργυρωμένες βάσεις του κυλίνδρου. Έπειτα από διαδοχικές διεγέρσεις και αποδιεγέρσεις διαρκώς περισσότερων ιόντων χρωμίου έρχεται μία στιγμή που ένα πολύ μεγάλο πλήθος ιόντων χρωμίου βρίσκονται σε *διέγερση* και *άποτομα*

* Stimulated emission

ἀποδιεγείρονται όλα μαζί. Τότε από τή συσκευή βγαίνει μιά δέσμη παράλληλων ακτίνων ἔρυθρου φωτός ($\lambda = 6943 \text{ \AA}$). Αὐτή ἡ ἀκτινοβολία ἔχει τὰ ἑξῆς χαρακτηριστικά: 1) μεταφέρει μεγάλη ἐνέργεια· 2) εἶναι ἀπόλυτα μονοχρωματική, δηλαδή ἀποτελεῖται ἀπό ἀκτινοβολία μόνο μιᾶς συχνότητας ν · 3) ἀποτελεῖται ἀπό ἀπόλυτα παράλληλες ἀκτίνες.

Ἡ δέσμη «ἀκτίνων λέιζερ» διαδίδεται σέ μεγάλη ἀπόσταση χωρίς διασπορά καί προκαλεῖ συγκέντρωση μεγάλης ἐνέργειας πάνω σέ πολύ μικρή ἐπιφάνεια.

Οἱ λέιζερ χρησιμοποιοῦνται σέ διάφορες ἐφαρμογές, π.χ. σέ ἐγχειρήσεις, γιά τή διάτρηση σκληρῶν ἀντικειμένων (μετάλλων, πολύτιμων λίθων), στίς τηλεπικοινωνίες.

ΠΡΟΒΛΗΜΑΤΑ

51. Τό ἄτομο ὕδρογόνου ἐκπέμπει ὄρατες ἀκτινοβολίες πού δίνονται ἀπό τόν τύπο τοῦ Balmer :

$$\nu^* = R_H \cdot \left(\frac{1}{2^2} - \frac{1}{n^2} \right)$$

ὅπου R_H εἶναι ἡ σταθερή Rydberg, $\nu^* = 1/\lambda$ καί n ἀκέραιος ἀριθμός μεγαλύτερος ἀπό 2 ($n > 2$). 1) Πόσο εἶναι τό μέγιστο καί τό ἐλάχιστο μήκος κύματος καθώς καί ἡ συχνότητα τῶν ἀκράιων φασματικῶν γραμμῶν τῆς σειρᾶς Balmer; 2) Πόση ἐνέργεια μεταφέρει ἕνα φωτόνιο ἀπό αὐτές τίς ἀκτινοβολίες;

$$R_H \simeq 11 \cdot 10^6 \text{ m}^{-1}, \quad h = 6,6 \cdot 10^{-34} \text{ Joule} \cdot \text{sec}.$$

52. Πόσο εἶναι τό ἐλάχιστο μήκος κύματος σέ καθεμιά ἀπό τίς πέντε σειρές ἀκτινοβολιῶν πού μπορεῖ νά ἐκπέμψει τό ἄτομο ὕδρογόνου; Πόση ἐνέργεια μεταφέρει καθένα ἀπό τά παραπάνω πέντε φωτόνια;

$$R_H \simeq 11 \cdot 10^6 \text{ m}^{-1}, \quad h = 6,6 \cdot 10^{-34} \text{ Joule} \cdot \text{sec}$$

53. Στό ἄτομο ὕδρογόνου ἡ ἀκτίνα (r) μιᾶς κβαντικής τροχιάς τοῦ ἠλεκτρονίου καί ἡ ταχύτητά του (v) πάνω σ' αὐτή τήν τροχιά δίνονται ἀπό τίς ἐξισώσεις :

$$r_n = 4\pi\epsilon_0 \cdot \frac{n^2 \cdot h^2}{4\pi^2 \cdot m_e \cdot e^2} \quad (1) \quad \text{καί} \quad v_n = \frac{1}{4\pi\epsilon_0} \cdot \frac{2\pi \cdot e^2}{n \cdot h} \quad (2)$$

ὅπου n εἶναι ὁ κύριος κβαντικός ἀριθμός. 1) Πόση εἶναι ἡ ἀκτίνα r_1 τῆς θεμελιώδους τροχιάς καί ἡ ταχύτητα v_1 τοῦ ἠλεκτρονίου πάνω στή θεμελιώδη τροχιά; 2) Πόση εἶναι ἡ περίοδος T_1 καί ἡ συχνότητα ν_1 τῆς κινήσεως τοῦ ἠλεκτρονίου πάνω στή θεμελιώδη τροχιά; 3) Νά βρεθοῦν τά μεγέθη r , v , T καί ν γιά $n = 2, 3, 4$.

$$1/4\pi\epsilon_0 = 9 \cdot 10^9 \text{ N} \cdot \text{m}^2/\text{Cb}^2 \quad h = 6,6 \cdot 10^{-34} \text{ Joule} \cdot \text{sec}.$$

$$m_e = 9 \cdot 10^{-31} \text{ kg}, \quad e = 1,6 \cdot 10^{-19} \text{ Cb}, \quad \pi^2 = 10.$$

54. Η ολική ενέργεια του ηλεκτρονίου πάνω σε μία κβαντική τροχιά άκτινας r δίνεται από την εξίσωση :

$$E_{ολ} = - \frac{1}{4\pi\epsilon_0} \cdot \frac{e^2}{2r} \quad (1)$$

1) Νά υπολογιστεί η ολική ενέργεια E_1 του ηλεκτρονίου πάνω στη θεμελιώδη τροχιά, για την οποία είναι $r_1 = 0,5 \cdot 10^{-10}$ m. 2) Οι άκτινες των κβαντικών τροχιών σε συνάρτηση με τον κύριο κβαντικό αριθμό n δίνονται από την εξίσωση :

$$r_n = n^2 \cdot r_1 \quad (2)$$

Νά βρεθεί η ολική ενέργεια E_n του ηλεκτρονίου πάνω σε μία κβαντική τροχιά σε συνάρτηση με τα μεγέθη E_1 και n .

$$1/4\pi\epsilon_0 = 9 \cdot 10^9 \text{ N} \cdot \text{m}^2/\text{Cb}^2. \quad e = 1,6 \cdot 10^{-19} \text{ Cb}.$$

55. Στο άτομο υδρογόνου, πού βρίσκεται σε κανονική κατάσταση, το ηλεκτρόνιο κινείται γύρω από τον πυρήνα με συχνότητα $\nu = 6,6 \cdot 10^{15}$ Hz και η άκτινα της θεμελιώδους τροχιάς είναι $r_1 = 0,5 \cdot 10^{-10}$ m. 1) Πόση είναι η μαγνητική ροπή m_1^* του μαγνητικού διπόλου πού δημιουργείται από την κυκλική κίνηση του ηλεκτρονίου; 2) Το ηλεκτρόνιο πάνω σε μία κβαντική τροχιά άκτινας r κινείται με ταχύτητα v και συχνότητα $\nu = v/2\pi r$. Αν λάβουμε υπόψη την πρώτη συνθήκη του Bohr, νά βρεθεί η μαγνητική ροπή m_n^* του μαγνητικού διπόλου πού δημιουργείται από την κίνηση του ηλεκτρονίου σε συνάρτηση με τον κύριο κβαντικό αριθμό n .

56. Στο άτομο υδρογόνου το ηλεκτρόνιο, όταν περιφέρεται πάνω στη θεμελιώδη τροχιά έχει ενέργεια $E_1 = -13,6$ eV και πάνω στη δεύτερη κβαντική τροχιά ($n=2$) έχει ενέργεια $E_2 = -3,4$ eV. Πόσο είναι το μήκος κύματος της ακτινοβολίας πού εκπέμπει το άτομο υδρογόνου, όταν το ηλεκτρόνιο του πέφτει από τη δεύτερη κβαντική τροχιά πάνω στη θεμελιώδη; $h = 6,6 \cdot 10^{-34}$ Joule \cdot sec.

57. Το άτομο υδρογόνου μπορεί νά εκπέμπει ακτινοβολία, όταν προσλάβει ενέργεια ίση με:

$$10,20 \text{ eV} \quad 12,09 \text{ eV} \quad 13,06 \text{ eV}$$

α) Νά βρεθεί σε καθεμία από τις παραπάνω τρεις περιπτώσεις ο κύριος κβαντικός αριθμός της τροχιάς στην οποία μεταπηδάει το ηλεκτρόνιο μέσα στο άτομο υδρογόνου. β) Νά υπολογιστεί το μήκος κύματος της ακτινοβολίας πού εκπέμπει το άτομο υδρογόνου, όταν το ηλεκτρόνιο ξαναγυρίζει πάλι πάνω στη θεμελιώδη τροχιά.

$$R_H = 1,097 \cdot 10^7 \text{ m}^{-1}. \quad h = 6,625 \cdot 10^{-34} \text{ Joule} \cdot \text{sec}. \quad c = 2,997 \cdot 10^8 \text{ m/sec}$$

58. Το μήκος κύματος της κίτρινης γραμμής D_1 των ατμών νατρίου είναι $\lambda = 590$ nm. Πόση είναι η διαφορά ενέργειας μεταξύ των δύο κβαντικών τροχιών του ηλεκτρονίου πού αντιστοιχούν στην έκπομπή ή την απορρόφηση αυτής της ακτινοβολίας;

$$h = 6,6 \cdot 10^{-34} \text{ Joule} \cdot \text{sec}. \quad c = 3 \cdot 10^8 \text{ m/sec}.$$

59. Νά γραφούν οι δυνατές τιμές των τεσσάρων κβαντικών αριθμών για ένα ηλεκτρόνιο πού έχει κύριο κβαντικό αριθμό $n = 4$.

60. Νά γραφούν για το άτομο ηλίου ${}^2\text{He}$ (σε κανονική κατάσταση) οι κβαντικοί αριθμοί των δύο ηλεκτρονίων του.

61. Νά γραφούν για το άτομο λιθίου ${}^3\text{Li}$ (σε κανονική κατάσταση) οι κβαντικοί αριθμοί των τριών ηλεκτρονίων του.

57. Φασματοσκοπία τῶν ἀκτίνων Röntgen.

Στὴν Ὀπτική μὲ τὸ φράγμα περιθλάσεως (§ 41) παίρνουμε τὸ φάσμα μιᾶς δέσμης φωτεινῶν ἀκτίνων. Γιὰ τὶς ἀκτίνες Röntgen τὸ κρυσταλλικὸ πλέγμα ἑνὸς κρυστάλλου παίζει τὸ ρόλο φράγματος περιθλάσεως καὶ ἐπομένως μποροῦμε νὰ λάβουμε τὸ φάσμα μιᾶς δέσμης ἀκτίνων Röntgen. Ἡ πειραματικὴ ἔρευνα ἀπέδειξε ὅτι ἡ δέσμη ἀκτίνων Röntgen, πού ἐκπέμπεται ἀπὸ τὴν ἀντικαθόδου, ὅταν ἀναλυθεῖ, δίνει ἕνα *συνεχὲς φάσμα* στὸ ὁποῖο προσθῆτεται καὶ ἕνα *γραμμικὸ φάσμα*.

1. Τὸ συνεχὲς φάσμα τῶν ἀκτίνων Röntgen. Πρὸς τὴν πλευρὰ τῶν *μεγαλύτερων συχνοτήτων* τὸ συνεχὲς φάσμα τῶν ἀκτίνων Röntgen *τελειώνει ἀπότομα*, δηλαδή παρουσιάζει ἕνα σαφὲς ὄριο. Τὸ συνεχὲς φάσμα περιλαμβάνει πολλὰ συχνοτήτες, οἱ ὁποῖες ἀντιστοιχοῦν σὲ μιὰ *μεγάλῃ ποικιλίᾳ* φωτονίων Röntgen. Ἡ γένεσὴ τοῦ συνεχοῦς φάσματος ἐρμηνεύεται ὡς ἑξῆς:

Ἐνα ἠλεκτρόνιο πού βγαίνει ἀπὸ τὴ διάπυρη κάθοδο, ἐξαιτίας τῆς τάσεως U πού ὑπάρχει μεταξὺ τῆς καθόδου καὶ τῆς ἀντικαθόδου, ἐπιταχύνεται καὶ φτάνει στὴν ἀντικαθόδου μὲ κινητικὴ ἐνέργεια $E_{κιν} = \frac{1}{2} m \cdot v^2$ ἴση μὲ τὸ ἔργο $e \cdot U$ πού παράγεται ἀπὸ τὸ ἠλεκτρικὸ πεδίου κατὰ τὴ μεταφορὰ τοῦ ἠλεκτρονίου ἀπὸ τὴν κάθοδο ὡς τὴν ἀντικαθόδου, Ἄρα ἰσχύει ἡ ἐξίσωση:

$$\text{ἐνέργεια ἠλεκτρονίου} \quad E_{κιν} = \frac{1}{2} m \cdot v^2 = e \cdot U \quad (1)$$

Σύμφωνα μὲ τὴν ἠλεκτρομαγνητικὴ θεωρία τοῦ Maxwell, ὅταν ἕνα ἠλεκτρόνιο κινεῖται μὲ ἐπιτάχυνση ($\gamma > 0$ ἢ $\gamma < 0$), τότε τὸ ἠλεκτρόνιο ἀποβάλλει ἐνέργεια μὲ τὴ μορφή ἠλεκτρομαγνητικῆς ἀκτινοβολίας, δηλαδή μὲ τὴ μορφή *φωτονίου*.

Ὅταν τὸ ἠλεκτρόνιο συγκρούεται μὲ τὴν ἀντικαθόδου καὶ προσπαθεῖ νὰ εἰσχωρήσει μέσα στὴν ὕλη της, τότε τὸ ἠλεκτρόνιο ὑφίσταται *τροχολόπησιν* (φρενάρισμα) καὶ ἀποβάλλει ἕνα μέρος ΔE τῆς κινητικῆς ἐνεργείας του μὲ τὴ μορφή *ἑνὸς φωτονίου Röntgen*, συχνότητας ν . Σ' αὐτὴ τὴν περίπτωσιν ἰσχύει ἡ σχέση:

$$\text{ἐνέργεια φωτονίου} \quad \Delta E = h \cdot \nu \quad \text{ἢ} \quad h \cdot \nu < E_{κιν}$$

Ἄν ὅλη ἡ *κινητικὴ ἐνέργεια* ($E_{κιν}$) τοῦ ἠλεκτρονίου μετατραπῆ σὲ ἐνέργεια *ἑνὸς φωτονίου Röntgen*, τότε αὐτὸ τὸ φῶνιον ἔχει τὴ *μέγιστη συχνοτητα* (ν_{max}) πού ἀντιστοιχεῖ στὴν ὑπάρχουσα τάση U . Ἐπομένως

ισχύει η εξίσωση:

$$\begin{array}{l} \text{μέγιστη ενέργεια} \\ \text{φωτονίου} \end{array} \quad h \cdot \nu_{\max} = E_{\text{κιν}} \quad \text{ή} \quad h \cdot \nu_{\max} = e \cdot U \quad (2)$$

Από την εξίσωση (2) βρίσκουμε ότι *η μέγιστη συχνότητα των φωτονίων Röntgen είναι:*

$$\begin{array}{l} \text{μέγιστη συχνότητα} \\ \text{φωτονίων} \end{array} \quad \nu_{\max} = \frac{e \cdot U}{h} \quad (3)$$

Αυτή *η μέγιστη συχνότητα* του συνεχούς φάσματος των ακτίνων Röntgen *αντιστοιχεί* σε ένα *ελάχιστο μήκος κύματος* ίσο με :

$$\lambda_{\min} = \frac{c}{\nu_{\max}} \quad \text{ή} \quad \lambda_{\min} = \frac{h \cdot c}{e \cdot U} \quad (4)$$

Από τα παραπάνω συνάγεται ότι *τά μήκη κύματος των ακτινοβολιών του συνεχούς φάσματος των ακτίνων Röntgen δίνονται από τη σχέση :*

$$\begin{array}{l} \text{ακτινοβολίες του} \\ \text{συνεχούς φάσματος} \end{array} \quad \lambda \geq \frac{h \cdot c}{e \cdot U} \quad (5)$$

Η σχέση (5) φανερώνει ότι στις πρακτικές εφαρμογές, μπορούμε να λάβουμε τόσο περισσότερο διεισδυτικές ακτίνες Röntgen (δηλαδή με μικρότερο μήκος κύματος λ), όσο *μεγαλύτερη* είναι η τάση U με την οποία επιταχύνονται τα ηλεκτρόνια.

2. Τό γραμμικό φάσμα των ακτίνων Röntgen. *Τό γραμμικό φάσμα* των ακτίνων Röntgen αποτελείται από *ορισμένες ομάδες γραμμών* που ονομάζονται *σειρά K, σειρά L* και *σειρά M*. Η έκτομη του γραμμικού φάσματος εξηγείται ως εξής: Τα ηλεκτρόνια που πέφτουν πάνω στην αντικάθοδο έχουν μεγάλη κινητική ενέργεια. Τότε μερικά άτομα του μετάλλου απορροφούν σημαντική ενέργεια και αποκτούν μία ασταθή ενεργειακή κατάσταση που λέγεται *διέγερση* του ατόμου. Αλλά τό άτομο που διεγέρθηκε άμέσως επανέρχεται στη σταθερή ενεργειακή κατάστασή του αποβάλλοντας με τη μορφή *φωτονίων Röntgen* την ενέργεια που πήρε από τό ηλεκτρόνιο. Η συχνότητα που μπορεί να έχει αυτό τό φωτόνιο Röntgen είναι *ορισμένη* και εξαρτάται από τη δομή του ατόμου του μετάλλου. Γι' αυτό πα-

πατηρούμε ότι το γραμμικό φάσμα των ακτίνων Röntgen είναι *χαρακτηριστικό του μετάλλου* που αποτελεί την αντίκαθοδο.

3. **Συμπεράσματα της φασματοσκοπίας των ακτίνων Röntgen.** Η πειραματική έρευνα απέδειξε ότι:

I. Μιά δέσμη ακτίνων Röntgen δίνει ένα συνεχές και ένα γραμμικό φάσμα.

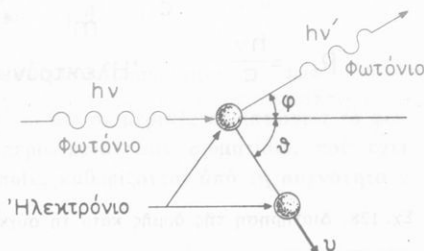
II. Το συνεχές φάσμα τελειώνει απότομα με μία ακτινοβολία συχνότητας ν_{max} που εξαρτάται από την εφαρμοζόμενη τάση U .

III. Το γραμμικό φάσμα αποτελείται από τρεις σειρές ακτινοβολιών (K, L, M) που οι συχνότητές τους εξαρτώνται από τη φύση του μετάλλου που χρησιμοποιείται ως αντίκαθοδος.

Φαινόμενο Compton- Φασματογράφος μαζών

58. Φαινόμενο Compton

Πάνω σέ ένα κομμάτι γραφίτη πέφτει ακτινοβολία Röntgen πού έχει μεγάλη συχνότητα ν . Τότε ό γραφίτης εκπέμπει μία δευτερογενή ακτινοβολία Röntgen, ή όποια κατά μία όρισμένη διεύθυνση έχει συχνότητα ν' μικρότερη από τή συχνότητα ν τής προσπίπτουσας ακτινοβολίας, δηλαδή είναι $\nu' < \nu$. Ταυτόχρονα από τό γραφίτη ξεφεύγουν ήλεκτρόνια, τά όποια συνήθως έχουν μικρή ταχύτητα. Τό φαινόμενο αυτό ονομάζεται φαινόμενο Compton και είναι αποτέλεσμα ελαστικής κρούσεως ενός φωτονίου μέ ένα ήλεκτρόνιο του γραφίτη (σχ. 127).



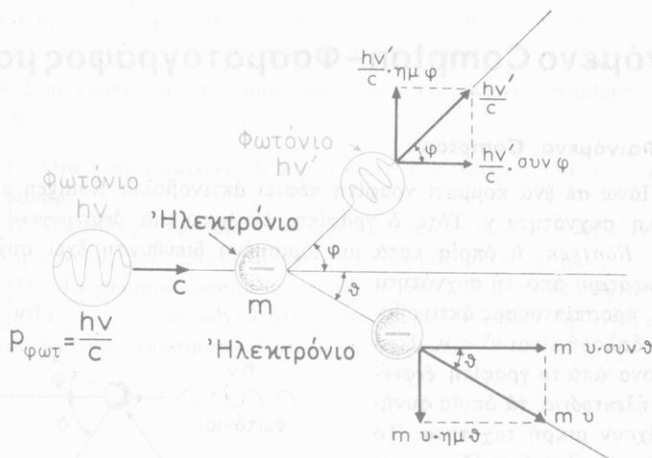
Σχ. 127. Φαινόμενο Compton.

α. Έρμηνεία του φαινομένου Compton. Είναι γνωστό ότι κατά τήν ελαστική κρούση δύο μαζών ισχύει ή αρχή τής διατηρήσεως τής ενέργειας και ή αρχή τής διατηρήσεως τής όρμης. Θεωρούμε ότι τό ήλεκτρόνιο του γραφίτη άρχικά βρίσκεται σέ ήρεμία και έχει μάζα m και όρμή ίση μέ μηδέν.

Διατήρηση τής ενέργειας στό φαινόμενο Compton. Πάνω στό ήλεκτρόνιο του γραφίτη πέφτει ένα φωτόνιο πού έχει ενέργεια $h\nu$. Μετά τήν κρούση εμφανίζεται ένα δευτερογενές φωτόνιο πού κατά μία όρισμένη διεύθυνση έχει συχνότητα ν' και έπομένως έχει ενέργεια $h\nu'$ (σχ. 128). Τό ήλεκτρόνιο πού ξεφεύγει από τό γραφίτη κινείται κατά όρισμένη διεύθυνση μέ ταχύτητα πού έχει μέτρο v και έπομένως τό ήλεκτρόνιο έχει κινητική ενέργεια $\frac{1}{2}mv^2$. Τό πείραμα δείχνει ότι στό φαινόμενο Compton ισχύει ή αρχή διατηρήσεως τής ενέργειας, δηλαδή ισχύει ή εξίσωση:

$$h\nu = h\nu' + \frac{1}{2}mv^2 \quad (1)$$

Μάζα και όρμή του φωτονίου. Στό φαινόμενο Compton τό φωτόνιο συμπεριφέρεται σάν σωματίδιο πού έχει μάζα και όρμή. Σύμφωνα μέ τήν αρχή



Σχ. 128. Διατήρηση της ορμής κατά τη σύγκρουση του φωτονίου με το ηλεκτρόνιο. της ισοδυναμίας μάζας και ενέργειας ή ενέργεια $h\nu$ του φωτονίου ισοδυναμεί με μάζα του φωτονίου $m_{\text{φωτ}}$ και επομένως ισχύει η εξίσωση:

$$h\nu = m_{\text{φωτ}} \cdot c^2$$

Άρα η ενέργεια του φωτονίου ισοδυναμεί με μάζα του φωτονίου :

$$\text{μάζα φωτονίου} \quad m_{\text{φωτ}} = \frac{h\nu}{c^2} \quad (2)$$

Η ταχύτητα του φωτονίου έχει μέτρο c . Άρα η ορμή του φωτονίου ($p_{\text{φωτ}}$) έχει μέτρο:

$$p_{\text{φωτ}} = m_{\text{φωτ}} \cdot c \quad \text{ή} \quad \text{ορμή φωτονίου} \quad p_{\text{φωτ}} = \frac{h\nu}{c} \quad (3)$$

Διατήρηση της ορμής στο φαινόμενο Compton. Πριν από την κρούση το ηλεκτρόνιο έχει ορμή ίση με μηδέν και το φωτόνιο έχει ορμή που το μέτρο της είναι $\frac{h\nu}{c}$ (σχ. 128). Μετά την κρούση το δευτερογενές φωτόνιο

που παράγεται έχει ορμή, που το μέτρο της είναι $\frac{h\nu'}{c}$ και η διεύθυνσή της

σχηματίζει γωνία φ με τη διεύθυνση της όρμης του αρχικού φωτονίου. Από το γραφίτη αποσπάζεται ένα ηλεκτρόνιο που η ταχύτητά του έχει μέτρο v . Η όρμη αυτού του ηλεκτρονίου έχει μέτρο mv και η διεύθυνσή της σχηματίζει γωνία θ με τη διεύθυνση της όρμης του αρχικού φωτονίου. Το πείραμα δείχνει ότι στο φαινόμενο Compton ισχύει η *αρχή της διατήρησης της όρμης*, δηλαδή ισχύουν οι ακόλουθες εξισώσεις:

$$\frac{h\nu}{c} = \frac{h\nu'}{c} \cdot \sin\varphi + mv \cdot \sin\theta \quad (4)$$

$$\frac{h\nu'}{c} \cdot \eta\mu\varphi - mv \cdot \eta\mu\theta = 0 \quad (5)$$

Από τα παραπάνω συνάγεται το ακόλουθο συμπέρασμα:

Τό φαινόμενο Compton φανερώνει ότι σε μερικές περιπτώσεις τό φωτόνιο μιās ακτινοβολίας συμπεριφέρεται σάν σωματίδιο, πού έχει ενέργεια, μάζα καί όρμη, οι όποιες καθορίζονται από τή συχνότητα ν τής ακτινοβολίας.

ενέργεια φωτονίου

$$E_{\text{φωτ}} = h\nu$$

μάζα φωτονίου

$$m_{\text{φωτ}} = \frac{h\nu}{c^2} = \frac{h}{c\lambda}$$

όρμη φωτονίου

$$p_{\text{φωτ}} = \frac{h\nu}{c} = \frac{h}{\lambda}$$

β. Σωματιδιακή φύση τής ακτινοβολίας. Τό πείραμα απέδειξε ότι ή ηλεκτρομαγνητική ακτινοβολία σε όρισμένες περιπτώσεις (συμβολή, περίθλαση, πόλωση) έκδηλώνει καθαρά τήν *κυματική* φύση τής. Τό πείραμα όμως απέδειξε επίσης ότι ή ηλεκτρομαγνητική ακτινοβολία σε όρισμένες άλλες περιπτώσεις (φαινόμενο Compton) συμπεριφέρεται ως ροή φωτονίων, τά όποια ισοδυναμούν μέ *σωματίδια*. Ωστε ή πειραματική έρευνα απέδειξε ότι ή ηλεκτρομαγνητική ακτινοβολία παρουσιάζεται *δισυπόστατη* καί ανάλογα μέ τό φαινόμενο πού εξετάζουμε, άλλοτε μās εμφανίζει μόνο τήν *κυματική* φύση τής καί άλλοτε μās εμφανίζει μόνο τή *σωματιδιακή* φύση τής. Τό φαινόμενο Compton αποδεικνύει ότι γιά τήν ενέργεια καί τή μάζα του φωτονίου ισχύει ή εξίσωση ισοδυναμίας $h\nu = m_{\text{φωτ}}c^2$.

Από αυτή τήν εξίσωση βρίσκουμε:

$$m_{\text{φωτ}} = \frac{h}{c\lambda}$$

άρα

$$\lambda = \frac{h}{m_{\text{φωτ}}c}$$

(6)

Η εξίσωση (6) εκφράζει τό δισυπόστατο τής ηλεκτρομαγνητικής ακτινοβολίας, γιατί συνδέει τό μήκος κύματος λ (*κυματική φύση*) τής ακτι-

νοβολίας με τή μάζα $m_{\text{φωτ}}$ (σωματιδιακή φύση) ενός φωτονίου αὐτῆς τῆς ἀκτινοβολίας. Ἀπό τά παραπάνω συνάγεται ὅτι:

Ἡ ἠλεκτρομαγνητική ἀκτινοβολία, ἀνάλογα μέ τό φαινόμενο πού παρατηροῦμε, ἐμφανίζει κυματικές ἢ σωματιδιακές ιδιότητες.

59. Ὑλικά κύματα

Ἡ κυματική καί ἡ σωματιδιακή φύση τῆς ἠλεκτρομαγνητικῆς ἀκτινοβολίας ἐκφράζεται μέ τή γνωστή ἐξίσωση:

$$\lambda = \frac{h}{m_{\text{φωτ}} \cdot c} \quad (1)$$

Ὁ Louis de Broglie (1924) ἀπέδειξε θεωρητικά ὅτι ἡ ἐξίσωση (1) ἰσχύει καί γιά ἕνα σωματίδιο (ἠλεκτρόνιο, πρωτόνιο, νετρόνιο κ.ἄ.) πού ἔχει μάζα m , κινεῖται μέ ταχύτητα πού τό μέτρο τῆς εἶναι v καί ἐπομένως τό σωματίδιο ἔχει ὄρμή πού τό μέτρο της εἶναι mv . Ἄρα σέ ὀρισμένες περιπτώσεις αὐτό τό σωματίδιο πρέπει νά ἐμφανίζει *κυματικές ιδιότητες*. Ἐτσι ὁ de Broglie ἀπέδωσε καί *στήν ὕλη* τό δυσπόστατο πού ἐμφανίζει ἡ ἠλεκτρομαγνητική ἀκτινοβολία καί ἀπέδειξε θεωρητικά ὅτι:

Ἐνα σωματίδιο, πού ἔχει μάζα m καί κινεῖται μέ ταχύτητα v , συνοδεύεται ἀπό ἕνα κύμα πού ἔχει μήκος κύματος, τό ὁποῖο προσδιορίζεται ἀπό τήν ἐξίσωση :

$$\text{μήκος κύματος} \quad \lambda = \frac{h}{mv} \quad \text{ἢ} \quad \lambda = \frac{h}{p} \quad (2)$$

ὅπου h εἶναι ἡ σταθερή τοῦ Planck καί $p = mv$ εἶναι ἡ ὄρμή τοῦ σωματιδίου. Τό κύμα πού συνοδεύει τό κινούμενο σωματίδιο ὀνομάζεται *κύμα de Broglie* ἢ *ὕλικό κύμα* ἢ καί *κύμα ψ*. Αὐτό τό κύμα δέν εἶναι ἠλεκτρομαγνητικῆς φύσεως, ὅπως συμβαίνει μέ τό φωτόνιο. Ἡ θεωρία τοῦ de Broglie ἀνοίξε νέους ὀρίζοντες στήν ἀνάπτυξη τῆς *Κβαντομηχανικῆς*.

Οἱ κυματικές ιδιότητες τῶν κινούμενων σωμάτων δέν μποροῦν νά ἀποδειχτοῦν γιά τά συνηθισμένα σώματα τοῦ *μακρόκοσμου* πού ἔχουν μεγάλη μάζα. Γιατί σ' αὐτή τήν περίπτωση τό μήκος κύματος λ τοῦ ὕλικου κύματος εἶναι πολύ μικρό καί δέν μποροῦμε μέ τά σύγχρονα ὄργανα νά παρατηρήσουμε τά κυματικά φαινόμενα πού ὀφείλονται στίς κυματικές ιδιότητες τῶν σωμάτων.

Παράδειγμα. Ένα σώμα έχει μάζα $m = 1 \text{ gr}$ και κινείται με ταχύτητα $v = 1 \text{ m/sec}$. Τότε το μήκος κύματος λ του ύλικού κύματος είναι:

$$\lambda = \frac{h}{mv} = \frac{6,6 \cdot 10^{-34} \text{ Joule} \cdot \text{sec}}{10^{-3} \text{ kg} \cdot 1 \text{ m/sec}} \quad \text{καί} \quad \lambda = 6,6 \cdot 10^{-31} \text{ m}$$

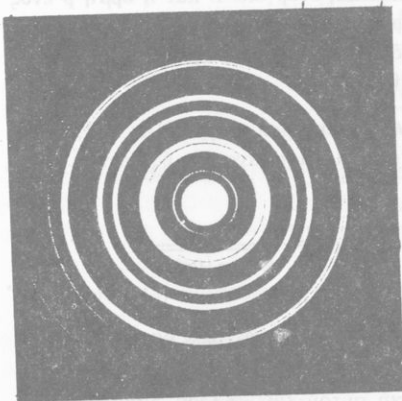
Τά κυματικά φαινόμενα πού αναφέρονται στο τόσο μικρό μήκος κύματος είναι αδύνατο νά παρατηρηθούν και γι' αυτό μένει απαρατήρητη ή κυματική φύση τών συνηθισμένων σωμάτων.

Αντίθετα γιά ένα ηλεκτρόνιο πού έχει μάζα $m = 9 \cdot 10^{-31} \text{ kg}$ και κινείται με ταχύτητα $v = 6,6 \cdot 10^7 \text{ m/sec}$ το μήκος κύματος λ του ύλικού κύματος είναι:

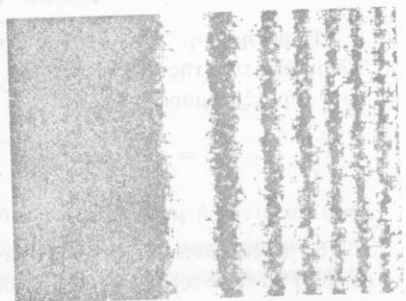
$$\lambda = \frac{h}{mv} = \frac{6,6 \cdot 10^{-34} \text{ Joule} \cdot \text{sec}}{9 \cdot 10^{-31} \text{ kg} \cdot 6,6 \cdot 10^7 \text{ m/sec}} \quad \text{καί} \quad \lambda \approx 10^{-11} \text{ m} \approx 0,1 \text{ \AA}$$

Τό παραπάνω μήκος κύματος είναι τής ίδια τάξεως μέ τά μήκη κύματος τών ακτίνων Röntgen και επομένως τό κυματικά φαινόμενα πού αναφέρονται στο κινούμενο ηλεκτρόνιο είναι εύκολο νά παρατηρηθούν.

β. Πειραματική απόδειξη τών ύλικών κυμάτων. Οί κυματικές ιδιότητες πού έχουν τά κινούμενα σωματίδια αποδεικνύονται πειραματικά από τά φαινόμενα συμβολής και περιθλάσεως πού παρατηρούμε, όταν τά κινούμενα σωματίδια περνούν μέσα από λεπτά μεταλλικά φύλλα (σχ. 129), μέσα από λεπτές σχισμές ή πέφτουν πάνω στην άκμή λεπτών κρυστάλλων (σχ. 130). Τέτοια κυματικά φαινόμενα παρατηρούμε όχι μόνο μέ ηλεκτρόνια,



Σχ. 129. Περιθλάση δέσμης ηλεκτρονίων πού περνούν μέσα από λεπτό φύλλο αλουμινίου.



Σχ. 130. Κρυσσοί περιθλάσεως από δέση ηλεκτρονίων πού πέφτει πάνω σε άκμή λεπτού κυβικού κρυστάλλου.

άλλά και με πρωτόνια και νετρόνια και ακόμη με άτομα ήλιου, νέου, αργού.

γ. Θεμελιώδεις εξισώσεις της Κβαντομηχανικής. Ένα σωματίδιο έχει μάζα m και κινείται με ταχύτητα v . Αν παραλείψουμε τη μεταβολή της μάζας του σωματιδίου εξαιτίας της ταχύτητάς του, τότε η μάζα του σωματιδίου ισοδυναμεί με ενέργεια $E = mc^2$. Το σωματίδιο έχει όρμη που το μέτρο της είναι $p = mv$. Η Κβαντομηχανική αποδεικνύει ότι το σωματίδιο αυτό συνοδεύεται από *ύλικό κύμα* που έχει μήκος κύματος:

$$\lambda = \frac{h}{mv} = \frac{h}{p} \quad \text{ήρα} \quad \boxed{\text{όρμη σωματιδίου} \quad p = \frac{h}{\lambda}} \quad (3)$$

Η εξίσωση (3) δίνει *τήν όρμη* του σωματιδίου σε συνάρτηση με το μήκος κύματος λ του *ύλικου κύματος*.

Το *ύλικό κύμα* έχει *συχρότητα* ν . Στην Κβαντομηχανική αποδεικνύεται ότι *η ενέργεια* E του σωματιδίου σε συνάρτηση με τη *συχρότητα* ν του *ύλικου κύματος* δίνεται από την εξίσωση:

$$\boxed{\text{ενέργεια σωματιδίου} \quad E = h\nu} \quad (4)$$

Η εξίσωση (4) είναι ανάλογη με την εξίσωση του Planck, η οποία προσδιορίζει την ενέργεια του φωτονίου. Από τα παραπάνω συνάγεται το ακόλουθο συμπέρασμα:

Η Κβαντομηχανική αποδεικνύει ότι η ενέργεια E και η όρμη p ενός κινούμενου σωματιδίου σε συνάρτηση με τα κυματικά μεγέθη λ και ν του *ύλικου κύματος* δίνονται από τις θεμελιώδεις εξισώσεις:

$$E = h\nu \quad \text{και} \quad p = h/\lambda$$

Παρατήρηση. Αν λάβουμε υπόψη τη μεταβολή της μάζας του σωματιδίου εξαιτίας της ταχύτητάς του, τότε οι παραπάνω δύο εξισώσεις παίρνουν την εξής μορφή.

$$E = \frac{m_0 c^2}{\sqrt{1 - (v/c)^2}} \quad \text{και} \quad p = \frac{m_0 v}{\sqrt{1 - (v/c)^2}}$$

όπου m_0 είναι η μάζα ηρεμίας του σωματιδίου.

δ. Ηλεκτρονική Όπτική. Η ανακάλυψη των *ύλικων κυμάτων* έδωσε αφορμή να αναπτυχθεί ο νέος κλάδος της Φυσικής που ονομάζεται *Ηλεκτρονική Όπτική*. Σημαντική εφαρμογή αυτού του κλάδου είναι το *ηλεκτρονικό μικροσκόπιο*. Στο *οπτικό μικροσκόπιο* η διαχωριστική ικανότητα περιορίζεται από το μήκος κύματος του *όρατου φωτός* που χρησιμοποιούμε.

Όσο μικρότερο είναι τό μήκος κύματος τού φωτός, τόσο μεγαλύτερη είναι ή διαχωριστική ικανότητα πού πετυχαίνουμε. Τά υλικά κύματα πού συνοδεύουν τό κινούμενο ήλεκτρόνιο έχουν μήκη κύματος πολύ μικρότερα από τά μήκη κύματος τών όρατών άκτινοβολιών καί έτσι μέ τό ήλεκτρονικό μικροσκόπιο πετυχαίνουμε πολύ μεγάλη διαχωριστική ικανότητα. Έτσι άν ένα ήλεκτρόνιο κινείται μέ ταχύτητα $v = 1,5 \cdot 10^8$ m/sec, τότε τό μήκος κύματος λ τού υλικού κύματος είναι ίσο μέ $\lambda = 4 \cdot 10^{-12}$ m δηλαδή είναι 10^5 φορές μικρότερο από τό μήκος κύματος τής άκρας όρατης ιώδους άκτινοβολίας ($\lambda = 4 \cdot 10^{-7}$ m).

60. Υλικά κύματα μέσα στό άτομο υδρογόνου

α. Σχέση τού μήκους κύματος λ μέ τήν ενέργεια τού ήλεκτρονίου. Στο άτομο υδρογόνου τό ήλεκτρόνιο κινείται μέσα στό ηλεκτρικό πεδίο τού πυρήνα καί έχει δυναμική ενέργεια $E_{δυν}$ καί κινητική ενέργεια:

$$E_{κιν} = \frac{1}{2} m_e v^2 \quad (1)$$

Τό ήλεκτρόνιο έχει όλική ενέργεια:

$$E_{ολ} = E_{κιν} + E_{δυν} \quad \text{άρα} \quad E_{κιν} = E_{ολ} - E_{δυν} \quad (2)$$

Από τίς εξισώσεις (1) καί (2) βρίσκουμε ότι ή ταχύτητα v τού ήλεκτρονίου είναι:

$$v = \sqrt{\frac{2(E_{ολ} - E_{δυν})}{m_e}} \quad (3)$$

Τό μήκος κύματος λ τού υλικού κύματος είναι :

$$\lambda = \frac{h}{m_e v} \quad (4)$$

Από τίς εξισώσεις (3) καί (4) βρίσκουμε:

$$\lambda^2 = \frac{h^2}{2m_e (E_{ολ} - E_{δυν})} \quad (5)$$

Η εξίσωση (5) φανερώνει ότι:

Στό άτομο υδρογόνου τό μήκος κύματος λ τού υλικού κύματος, πού συνοδεύει τό ήλεκτρόνιο, είναι συνάρτηση τής ενεργειακής καταστάσεως τού ήλεκτρονίου.

β. Έπιτρεπόμενες τροχιές καί ήλεκτρονικό νέφος. Στο άτομο υδρογόνου

νου τό ηλεκτρόνιο μπορεί νά κινείται μόνο πάνω σέ ορισμένες κβαντικές τροχιές πού καθορίζονται από τήν πρώτη συνθήκη τοῦ Bohr:

$$m_e v r = n \frac{h}{2\pi} \quad \text{ἄρα} \quad 2\pi r = n \frac{h}{m_e v} \quad (6)$$

Τό ηλεκτρόνιο κινούμενο μέ ταχύτητα v πάνω σέ μιά κβαντική τροχιά ἀκτίνας r , συνοδεύεται ἀπό ὑλικό κύμα πού ἔχει μήκος κύματος:

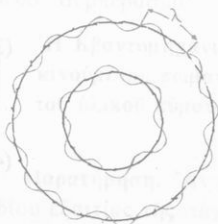
$$\lambda = \frac{h}{m_e v}$$

Ἐπομένως ἡ ἐξίσωση (6) φανερώνει ὅτι:

Στό ἄτομο ὕδρογόνου τό ηλεκτρόνιο μπορεί νά κινείται γύρω ἀπό τόν πυρήνα πάνω σέ ορισμένες τροχιές, πού τό μήκος τους ($2\pi r$) εἶναι ἀκέραιο πολλαπλάσιο (n) τοῦ μήκους κύματος (λ) τοῦ ὑλικοῦ κύματος.

$$\text{ἔπιτρεπόμενες τροχιές} \quad 2\pi r = n \cdot \lambda$$

ὅπου n εἶναι ὁ κύριος κβαντικός ἀριθμός. Τό παραπάνω συμπέρασμα τῆς Κβαντομηχανικῆς ἐρμηνεύει τήν πρώτη συνθήκη τοῦ Bohr πού διατυπώθηκε αὐθαίρετα. Σύμφωνα μέ τήν Κβαντομηχανική, ὅπως πάνω σέ μιά χορδή σχηματίζεται ὁρισμένος ἐπιτρεπόμενος ἀριθμός στάσιμων κυμάτων ἔτσι καί πάνω σέ κάθε ἐπιτρεπόμενη τροχιά σχηματίζεται ὁρισμένο σύστημα στάσιμων ὑλικῶν κυμάτων (σχ. 131). Αὐτό τό σύστημα ἔχει τρεῖς διαστάσεις καί περιβάλλει ὀλόκληρο τόν πυρήνα. Τό σύστημα τῶν στάσιμων κυμάτων ἀποτελεῖ τό *ἠλεκτρονικό νέφος* πού μέσα σ' αὐτό κατανέμεται ἡ μάζα καί τό φορτίο τοῦ ηλεκτρονίου. Σέ κάθε *ἐνεργειακή κατάσταση* τοῦ ηλεκτρονίου ἀντιστοιχεῖ ὁρισμένη μορφή τοῦ ἠλεκτρονικοῦ νέφους (σχ. 132). Ἀπό τά παραπάνω συνάγεται τό ἀκόλουθο συμπέρασμα:



Σχ. 131. Τό μήκος τῆς τροχιάς τοῦ ηλεκτρονίου εἶναι ἀκέραιο πολλαπλάσιο τοῦ μήκους κύματος λ τοῦ ὑλικοῦ κύματος.

Στό ἄτομο ὕδρογόνου τό ηλεκτρόνιο, κινούμενο μέσα στό ἠλεκτρικό πεδίο τοῦ πυρήνα, παίρνει διάφορες γεωμετρικές μορφές ἠλεκτρονικοῦ νέφους, οἱ ὁποῖες ἀπλώνονται στό χῶρο γύρω ἀπό τόν πυρήνα.

Καθε μορφή τοῦ ἠλεκτρονικοῦ νέφους ἀντιστοιχεῖ σέ ὁρισμένη ἐνεργειακή κατάσταση τοῦ ηλεκτρονίου.

Όπως βλέπουμε στο σχήμα 139 ή μορφή του ηλεκτρονικού νέφους σχετίζεται με τον κύριο κβαντικό αριθμό n καθώς και με τους άλλους κβαντικούς αριθμούς του ηλεκτρονίου.

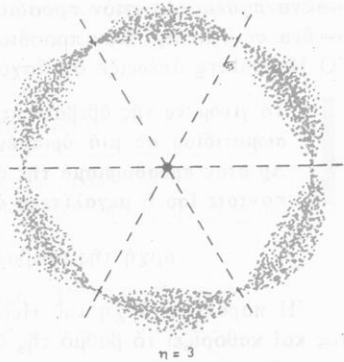
61. Άρχη τής άβεβαιότητας

Στά μακροσκοπικά φαινόμενα από τήν κίνηση ενός σώματος πάνω στήν τροχιά του μπορούμε νά ξέρουμε τή θέση και τήν ταχύτητα του σώματος σέ μιά όρισμένη χρονική στιγμή.

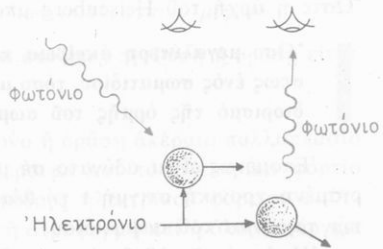
Άς ύποθέσουμε ότι θέλουμε νά προσδιορίσουμε τή θέση ενός ηλεκτρονίου πού κινείται μέ σταθερή ταχύτητα υ πάνω σέ έναν άξονα (σχ. 133). Γιά νά παρατηρήσουμε τό ηλεκτρόνιο, πρέπει νά αφήσουμε νά πέσει πάνω του ένα φωτόνιο. Αυτό τό φωτόνιο πρέπει έπειτα νά μπει μέσα στό μικροσκόπιο μέ τό όποιο κάνουμε τήν παρατήρηση.

Άλλά τό φωτόνιο πού πέφτει πάνω στό ηλεκτρόνιο έχει ενέργεια $h\nu$ και, όπως δείχνει τό φαινόμενο Compton, ή πτώση του φωτονίου πάνω στό ηλεκτρόνιο ίσοδυναμεί μέ μηχανική κρούση, ή όποία προκαλεί μεταβολή τής όρμης του ηλεκτρονίου κατά Δp . Αυτή ή μεταβολή τής όρμης του ηλεκτρονίου είναι τής ίδιας τάξεως μέ τήν όρμή του φωτονίου h/λ και προκαλείται, όταν προσπαθούμε νά παρατηρήσουμε τό κινούμενο ηλεκτρόνιο.

Ό Heisenberg (1927) απέδειξε ότι στήν περίπτωση ενός σωματιδίου, όπως είναι τό ηλεκτρόνιο, δέν είναι δυνατό νά μετρηθούν ταυτόχρονα μέ ακρίβεια ή θέση και ή ταχύτητα του σωματιδίου. Άν τό σωματίδιο έχει μάζα m και κινείται πάνω στον άξονα Ox μέ ταχύτητα πού τό μέτρο της υ είναι σταθερό, τότε τό σωματίδιο έχει όρμη πού τό μέτρο της είναι ίσο μέ $p = mv$. Άν σέ μιά όρισμένη χρονική στιγμή t προσδιορίσουμε τή θέση του σωματιδίου πάνω στήν τροχιά του (δηλαδή τήν τετμημένη x) και τήν όρμη p του σωματιδίου, τότε στίς μετρήσεις μας υπάρχουν πάντοτε:



Σχ. 132. Σχηματική παράσταση των υλικών κυμάτων στό άτομο υδρογόνου, όταν τό ηλεκτρόνιο κινείται πάνω στήν κβαντική τροχιά $n = 3$.



Σχ. 133. Γιά νά παρατηρήσουμε τό ηλεκτρόνιο πρέπει νά πέσει πάνω του ένα φωτόνιο.

- Ένα σφάλμα Δx στον προσδιορισμό της θέσεως και
 - ένα σφάλμα Δp στον προσδιορισμό της όρμης του σωματιδίου.
- Ο Heisenberg απέδειξε ότι ισχύει η ακόλουθη αρχή:

Το γινόμενο της άβειαιότητας Δx στον προσδιορισμό της θέσεως ενός σωματιδίου σε μία όρισμένη χρονική στιγμή επί την άβειαιότητα Δp στον προσδιορισμό της όρμης κατά την ίδια χρονική στιγμή είναι πάντοτε ίσο ή μεγαλύτερο από τη σταθερή του Planck h .

$$\text{άρχη της άβειαιότητας} \quad \Delta x \cdot \Delta p \geq h$$

Η παραπάνω αρχή του Heisenberg ονομάζεται *αρχή της άβειαιότητας* και καθορίζει το βαθμό της ακρίβειας που έχουν οι γνώσεις μας στην περιοχή του *μικροκόσμου*.

Επειδή το γινόμενο των δύο σφαλμάτων $\Delta x \cdot \Delta p$ είναι πάντοτε ίσο ή μεγαλύτερο από τη σταθερή h , συνάγεται ότι, όταν το ένα από αυτά τά σφάλματα τείνει προς το μηδέν, το άλλο σφάλμα τείνει προς το άπειρο. Όστε η αρχή του Heisenberg μπορεί να διατυπωθεί και έτσι:

Όσο μεγαλύτερη ακρίβεια πετυχαίνουμε στον προσδιορισμό της θέσεως ενός σωματιδίου, τόσο μεγαλύτερο γίνεται το σφάλμα στον προσδιορισμό της όρμης του σωματιδίου και αντίστροφα.

Επομένως είναι αδύνατο σε μās να γνωρίζουμε ταυτόχρονα σε μία όρισμένη χρονική στιγμή *τή θέση* και *τήν όρμή* του σωματιδίου, άρα και *τήν ταχύτητα* του σωματιδίου.

Η αρχή της άβειαιότητας είναι μία *γενική αρχή* που ισχύει για όλα τα ζεύγη μεταβλητών, που με αυτά μπορεί να χαρακτηριστεί η κατάσταση ενός συστήματος. Έτσι π.χ. αν μετρήσουμε *τήν ενέργεια* E που εκπέμπει ένα σύστημα στη διάρκεια *ένος χρόνου* t , τότε το σφάλμα ΔE στον προσδιορισμό της ενέργειας και το σφάλμα Δt στον προσδιορισμό του χρόνου συνδέονται με τη σχέση:

$$\Delta E \cdot \Delta t \geq h$$

α. Η δράση. Η άβειαιότητα που εμφανίζεται, όταν μελετάμε το *μικρόκοσμο*, δέν οφείλεται στην ατέλεια των επιστημονικών μας γνώσεων, αλλά οφείλεται σε μία *γενική ιδιότητα* της Φύσεως.

Ξέρουμε ότι η ενέργεια που μεταφέρει ένα φωτόνιο δίνεται από την εξίσωση:

$$E = h \cdot \nu \quad \text{άρα} \quad h = \frac{E}{\nu} = \frac{\text{Joule}}{\text{sec}^{-1}} = \text{Joule} \cdot \text{sec}$$

Όστε η σταθερή του Planck είναι ένα φυσικό μέγεθος που είναι ίσο με τό γινόμενο *ένέργειας* (E) επί *χρόνο* (t). Ονομάζουμε *δράση* τό γινόμενο *της ενέργειας επί τό χρόνο*.

$$\text{δράση} = \text{ένέργεια} \cdot \text{χρόνος}$$

Άρα η σταθερή του Planck η εκφράζει *τή μικρότερη δράση* που υπάρχει στή Φύση και γι' αυτό τήν λέμε *στοιχειώδη δράση* ή *κβάντομ δράσεως*.

$$\text{στοιχειώδης δράση} \quad h = 6,6 \cdot 10^{-34} \text{ Joule} \cdot \text{sec}$$

Η πειραματική έρευνα απέδειξε ότι:

■ Στή Φύση η δράση είναι πάντοτε ίση με *άκέραιο πολλαπλάσιο* της *στοιχειώδους δράσεως* h.

Γι' αυτό λέμε ότι η δράση είναι ένα *κβαντωμένο φυσικό μέγεθος*.

■ Η *άρχή* της *άβεβαιότητας* βασίζεται στο ότι στή Φύση η δράση είναι ένα *κβαντωμένο μέγεθος*.

Παρατήρηση. Στή Φύση δέν είναι μόνο η δράση *άκέραιο πολλαπλάσιο* της *στοιχειώδους δράσεως* h. Όπως ξέρουμε και τό ηλεκτρικό φορτίο είναι *άκέραιο πολλαπλάσιο* του *στοιχειώδους ηλεκτρικού φορτίου* e. Υπάρχουν πολλά *κβαντωμένα μεγέθη*, π.χ. ή *στροφομή* και ή *ολική ενέργεια* του *ηλεκτρονίου* στο *άτομο υδρογόνου* κ.ά.

β. Έφαρμογή της *άρχής* της *άβεβαιότητας* στο *μικρόκοσμο* και στο *μακρόκοσμο*. 1. Ένα *ηλεκτρόνιο* κινείται με *ταχύτητα* v. Η *μάζα* του *ηλεκτρονίου* κατά *προσέγγιση* είναι ίση με $m = 10^{-30} \text{ kg}$. Θέλουμε νά προσδιορίσουμε *τή θέση* του *ηλεκτρονίου* με *ακρίβεια* 0,01 Å. Τότε είναι $\Delta x = 10^{-12} \text{ m}$. Η *άβεβαιότητα* στον *προσδιορισμό* της *όρμης* είναι:

$$\Delta p \cong \frac{h}{\Delta x} \quad \text{άρα} \quad m \cdot \Delta v \cong \frac{h}{\Delta x}$$

Επομένως η *άβεβαιότητα* στον *προσδιορισμό* της *ταχύτητας* του *ηλεκτρονίου* είναι:

$$\Delta v \cong \frac{h}{m \cdot \Delta x} \quad \text{ή} \quad \Delta v \cong \frac{6,6 \cdot 10^{-34} \text{ Joule} \cdot \text{sec}}{10^{-30} \text{ kg} \cdot 10^{-12} \text{ m}}$$

$$\text{και} \quad \Delta v \cong 6,6 \cdot 10^8 \text{ m/sec}$$

Ἡ ἀβεβαιότητα στὸν προσδιορισμὸ τῆς ταχύτητας τοῦ ἠλεκτρονίου εἶναι *μεγαλύτερη* ἀπὸ τὴν ταχύτητα τοῦ φωτός στὸ κενὸ ($c = 3 \cdot 10^8 \text{ m/sec}$).

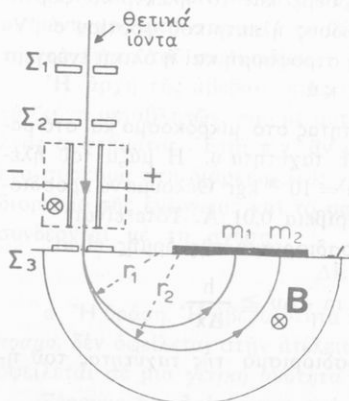
2. Ἐνα σῶμα ἔχει μάζα $m = 10^{-3} \text{ kgr}$, κινεῖται μὲ ταχύτητα v καὶ θέλουμε νὰ προσδιορίσουμε τὴ *θέση* του μὲ τὴ μεγαλύτερη δυνατὴ ἀκρίβεια πού μᾶς δίνουν τὰ καλὰ μικροσκόπια. Τότε εἶναι $\Delta x = 2 \cdot 10^{-7} \text{ m}$. Ἐπομένως ἡ ἀβεβαιότητα στὸν προσδιορισμὸ τῆς ταχύτητας τοῦ σώματος εἶναι:

$$\Delta v \geq \frac{h}{m \cdot \Delta x} \quad \text{ἢ} \quad \Delta v \geq \frac{6,6 \cdot 10^{-34} \text{ Joule} \cdot \text{sec}}{10^{-3} \text{ kgr} \cdot 2 \cdot 10^{-7} \text{ m}}$$

$$\text{καὶ} \quad \Delta v \geq 3,3 \cdot 10^{-24} \text{ m/sec}$$

Ἡ ἀβεβαιότητα στὸν προσδιορισμὸ τῆς ταχύτητας εἶναι *ἀσήμαντη*, γιατί εἶναι πολὺ μικρότερη ἀπὸ τὴν ἀκρίβεια πού πετυχαίνουμε στὶς μετρήσεις μας. Καὶ ἀντίστροφα ἡ ἀβεβαιότητα στὸν προσδιορισμὸ τῆς θέσεως αὐτοῦ τοῦ σώματος εἶναι ἐπίσης *ἀσήμαντη*, γιατί εἶναι πολὺ μικρότερη ἀπὸ τὴν ἀκρίβεια πού πετυχαίνουμε στὶς μετρήσεις μας. Τὰ παραπάνω δύο παραδείγματα δείχνουν ὅτι:

Ἡ ἀρχὴ τοῦ Heisenberg ἔχει ἐφαρμογὴ μόνο στὰ φαινόμενα τοῦ μικροκόσμου, ἐνῶ ἡ ἀβεβαιότητα πού εἰσάγει ἡ ἀρχὴ τοῦ Heisenberg στὰ μακροσκοπικὰ φαινόμενα εἶναι τελείως ἀσήμαντη.



Σχ. 134. Φασματογράφος μαζῶν.
Οἱ ἀκτίνες τῶν κυκλικῶν τροχιῶν τῶν θετικῶν ἰόντων εἶναι ἀνάλογες μὲ τὶς μάζες τῶν ἰόντων. $r_1/r_2 = m_1/m_2$.

62. Φασματογράφος μαζῶν

Γιὰ τὴ μέτρηση τῆς μάζας τῶν ἰόντων χρησιμοποιοῦμε τὸ *φασματογράφος μαζῶν* (σχ. 134). Μέσα σὲ ἀέροκενο σωλῆνα παράγονται θετικὰ ἰόντα πού τὸ καθένα ἔχει μάζα m καὶ φορτίο q . Ἀρχικὰ τὰ θετικὰ ἰόντα ἐπιταχύνονται μὲ τὴν ἐπίδραση ἠλεκτρικοῦ πεδίου καὶ ἀποκτοῦν μεγάλη ταχύτητα. Μιά λεπτὴ δέσμη ἀπὸ αὐτὰ τὰ ἰόντα περνάει ἀπὸ δύο σχισμὲς Σ_1 καὶ Σ_2 καὶ μπαίνει μέσα σὲ μιά περιοχὴ κενοῦ, στὴν ὁποία ὑπάρχει ἓνα ὁμογενὲς ἠλεκτρικὸ πεδίο ἐντάσεως \vec{E}_1 καὶ ἓνα ὁμογενὲς μαγνητικὸ πεδίο μὲ μαγνητικὴ ἐπαγωγὴ \vec{B}_1 . Τὰ ἀνύσματα \vec{E}_1 καὶ \vec{B}_1 εἶναι κάθετα μεταξύ τους

καί ἡ ταχύτητα \vec{v} τῶν ἰόντων εἶναι κάθετη στίς δυναμικές γραμμές τῶν δύο πεδίων.

Τά ἀνύσματα \vec{E}_1 καί \vec{B}_1 ἔχουν τέτοια φορά, ὥστε οἱ δύο ἠλεκτρομαγνητικές δυνάμεις πού ἀναπτύσσονται πάνω στό ἰόν, δηλαδή ἡ ἠλεκτροστατική δύναμη $F_{\eta\lambda} = E_1 q$ καί ἡ ἠλεκτρομαγνητική δύναμη $F_{\mu\gamma\nu} = qvB_1$, πού εἶναι ὁμοεπίπεδες νά ἔχουν ἀντίθετη φορά.

Γιά μερικά ἰόντα οἱ δύο δυνάμεις $\vec{F}_{\eta\lambda}$ καί $\vec{F}_{\mu\gamma\nu}$ εἶναι ἴσες καί ἀντίθετες καί ἰσχύει ἡ σχέση:

$$E_1 \cdot q = q \cdot v \cdot B_2 \quad \text{ἄρα} \quad v = \frac{E_1}{B_1}$$

Τά ἰόντα πού ἔχουν αὐτή τήν ταχύτητα v δέν παθαίνουν καμιά ἐκτροπή, ἀλλά κινοῦνται εὐθύγραμμα καί περνώντας ἀπό μιά τρίτη σχισμὴ Σ_3 μπαίνουν μέσα σέ ὁμογενές μαγνητικό πεδίο κάθετα στίς δυναμικές γραμμές τοῦ πεδίου πού ἔχει μαγνητικὴ ἐπαγωγή \vec{B} .

Αὐτὸ τὸ μαγνητικό πεδίο ἀναγκάζει τὸ ἰόν νά διαγράψει μιά ἡμιπεριφέρεια πού ἔχει ἀκτίνα r ἴση μέ:

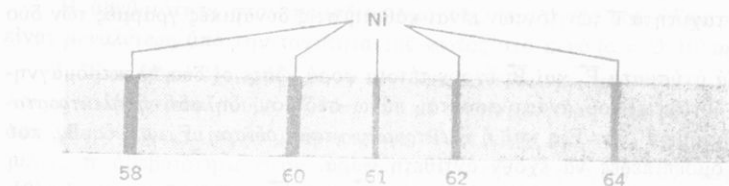
$$r = \frac{v}{q \cdot B} \cdot m \quad (1)$$

Ἡ ἐξίσωση (1) φανερώνει ὅτι ἰόντα πού ἔχουν τὸ ἴδιο φορτίο q διαγράφουν κυκλικές τροχιές πού οἱ ἀκτίνες τους εἶναι ἀνάλογες μέ τίς μάζες τῶν ἰόντων, δηλαδή ἰσχύει ἡ σχέση:

$$\frac{r_1}{r_2} = \frac{m_1}{m_2}$$

Ἐτσι τὰ ἰόντα πού ἔχουν τήν ἴδια μάζα m , ἀφοῦ διαγράψουν μιά ἡμιπεριφέρεια μέ ἀκτίνα r , πέφτουν πάνω σέ φωτογραφικὴ πλάκα καί σχηματίζουν πάνω σ' αὐτή μιά μαύρη ραβδώση (εἶναι τὸ εἶδωλο τῆς σχισμῆς Σ_3). Ἀπὸ τὴ θέση τῆς ραβδώσεως πάνω στήν πλάκα ὑπολογίζεται ἡ ἀκτίνα r τῆς κυκλικῆς τροχιᾶς καί ἀπὸ τήν ἐξίσωση (1) ὑπολογίζεται ἡ μάζα m τοῦ ἰόντος (ὅταν τὰ μεγέθη q , v καί B εἶναι γνωστά).

α. Διαχωρισμός τῶν ἰσοτόπων ἑνὸς στοιχείου. Ἄν ἡ ἀρχικὴ δέσμη τῶν θετικῶν ἰόντων πού πέρασε ἀπὸ τὴ σχισμὴ Σ_3 ἀποτελεῖται ἀπὸ ἰόντα πού ἔχουν τὸ ἴδιο φορτίο q , ἀλλὰ διαφορετικὴ μάζα m , τότε πάνω στή φωτογραφικὴ πλάκα σχηματίζονται τόσες μαύρες ραβδώσεις, ὅσες εἶναι οἱ διάφορες τιμές πού ἔχει ἡ μάζα τῶν ἰόντων (σχ.135) Ἐπειδὴ κατὰ μεγάλη προσέγγιση ἡ μάζα τοῦ θετικοῦ ἰόντος εἶναι ἴση μέ τὴ μάζα τοῦ ἀτόμου τοῦ στοιχείου, ἔπεται ὅτι μέ τὸ φασματογράφο μαζῶν μετράμε τίς μάζες τῶν ἀτόμων.



Σχ. 135. Φασματογράφημα που δείχνει τὸ διαχωρισμὸ τῶν πέντε ἰσοτόπων τοῦ νικελίου.

Μὲ τὸ φασματογράφο μαζῶν ἀνακαλύψαμε (Thomson, 1913) ὅτι ἓνα στοιχεῖο ἀποτελεῖται συνήθως ἀπὸ διάφορα εἶδη ἀτόμων πού ἔχουν τὶς ἴδιες χημικὲς ιδιότητες, ἀλλὰ *διαφορετικὲς ἀτομικὲς μάζες*. Ἔτσι ἀνακαλύφθηκαν *τά ἰσότοπα* ἑνὸς στοιχείου πού ἡ ὑπαρξή τους ὀφείλεται στὴ δομὴ τοῦ ἀτομικοῦ πυρήνα τους.

Γιὰ νὰ προσδιορίσουμε τὴ σχετικὴ ἀναλογία τῶν διαφόρων ἰσοτόπων σὲ ἓνα στοιχεῖο, προσαρμόζουμε κατάλληλα τὸ φασματογράφο μαζῶν καὶ μετράμε τὸ *ὀλικό φορτίο* τῶν ἰόντων πού διαγράφουν τὴν ἀντίστοιχη κυκλικὴ τροχιά. Ὡστε:

Μὲ τὸ φασματογράφο μαζῶν μετράμε τὴ μάζα τῶν ἀτόμων καὶ βρίσκουμε ἀπὸ πόσα ἰσότοπα καὶ μὲ ποιά ἀναλογία ἀποτελεῖται ἓνα στοιχεῖο.

ΠΡΟΒΛΗΜΑΤΑ

62. Μία ἀκτινοβολία Röntgen μὲ μῆκος κύματος $\lambda = 7 \text{ \AA}$ πέφτει πάνω σὲ ἓνα ὑλικὸ καὶ τότε ἀπὸ τὸ ὑλικὸ ξεφεύγουν ἠλεκτρόνια μὲ ταχύτητα $v = 10^8 \text{ km/sec}$ καὶ ταυτόχρονα παράγεται μιά δευτερογενὴς ἀκτινοβολία πού ἔχει μῆκος $\lambda' > \lambda$. Νά ὑπολογιστεῖ τὸ μῆκος κύματος λ' .

$$m_e = 9 \cdot 10^{-31} \text{ kgr.} \quad h = 6,6 \cdot 10^{-34} \text{ Joule} \cdot \text{sec.}$$

63. Μία μονοχρωματικὴ ἀκτινοβολία ἔχει μῆκος κύματος $\lambda = 3,3 \cdot 10^{-7} \text{ m}$. Πόση εἶναι ἡ μάζα καὶ ἡ ὄρμὴ τοῦ φωτονίου αὐτῆς τῆς ἀκτινοβολίας;

$$h = 6,6 \cdot 10^{-34} \text{ Joule} \cdot \text{sec.}$$

64. Τὸ κάθε φωτόνιο μιᾶς μονοχρωματικῆς ἀκτινοβολίας ἔχει ἐνέργεια $E = 0,1 \text{ MeV}$. Νά βρεθεῖ: α) τὸ μῆκος κύματος τῆς ἀκτινοβολίας καὶ β) ἡ μάζα καὶ ἡ ὄρμὴ κάθε φωτονίου τῆς ἀκτινοβολίας. $h = 6,6 \cdot 10^{-34} \text{ Joule} \cdot \text{sec.}$

65. Πάνω σὲ ἓνα ὑλικὸ πέφτει μιά ἀκτινοβολία μὲ μῆκος κύματος λ_1 καὶ τότε ἀπὸ τὸ ὑλικὸ ξεφεύγουν ἠλεκτρόνια μὲ ταχύτητα v καὶ ταυτόχρονα παράγεται δευτερογενὴς ἀκτινοβολία μὲ μῆκος κύματος λ_2 . Ποιά σχέση συνδέει τὴν ταχύτητα v τῶν ἠλεκτρονίων μὲ τὰ μῆκη κύματος λ_1 καὶ λ_2 ;

66. Πάνω σέ ένα ηλεκτρόνιο, πού ήρεμεί, πέφτει ένα φωτόνιο πού έχει μήκος κύματος λ . Τότε παράγεται ένα δευτερογενές φωτόνιο πού έχει μήκος κύματος λ' . Βρίσκεται ότι ή μεταβολή του μήκους κύματος $\Delta\lambda$ (σέ μέτρα) είναι :

$$\Delta\lambda = \frac{h}{m_e \cdot c}$$

Ποιά σχέση δίνει τήν απώλεια ενέργειας ΔE του άρχικου φωτονίου κατά τήν κρούση;

Έφαρμογή $\lambda = 0,712 \text{ \AA}$. $m_e = 9 \cdot 10^{-31} \text{ kg}$.

$h = 6,6 \cdot 10^{-34} \text{ Joule} \cdot \text{sec}$

67. Ένας άτομικός πυρήνας έχει μάζα m και έκπέμπει ένα φωτόνιο γ πού έχει συχνότητα ν . Πόση είναι ή ταχύτητα και ή κινητική ενέργεια άνακρούσεως του άτομικού πυρήνα;

68. Ένα φωτόνιο μέ μήκος κύματος λ πέφτει πάνω σέ ένα ύλικό και τότε ξεφεύγει από τό ύλικό ένα ηλεκτρόνιο και ταυτόχρονα παράγεται ένα δευτερογενές φωτόνιο πού έχει μήκος κύματος λ' και ή διεύθυνση διαδόσεως του φωτονίου σχηματίζει γωνία ϕ μέ τή διεύθυνση διαδόσεως του άρχικου φωτονίου. Νά βρεθεί : α) τό μήκος κύματος λ' του δευτερογενούς φωτονίου και ή ταχύτητα ν του έξερχόμενου ηλεκτρονίου· β) ή γωνία θ πού σχηματίζει ή διεύθυνση τής κινήσεως του ηλεκτρονίου μέ τή διεύθυνση τής κινήσεως του άρχικου φωτονίου.

69. Νά δειχτεί ότι στό φαινόμενο Compton, όταν τό έξερχόμενο ηλεκτρόνιο έχει μεγάλη ταχύτητα, ισχύει ή εξίσωση :

$$h(\nu - \nu') = m_0 c^2 \left(\frac{1}{\sqrt{1 - (\nu/c)^2}} - 1 \right)$$

όπου ν και ν' είναι αντίστοιχα ή συχνότητα τής άρχικης και τής δευτερογενούς άκτινοβολίας και m_0 είναι ή μάζα ήρεμίας του ηλεκτρονίου.

70. Πόσο είναι τό μήκος κύματος του ύλικου κύματος για ένα ηλεκτρόνιο πού έχει κινητική ενέργεια $E = 600 \text{ eV}$;

$m_e = 9,11 \cdot 10^{-31} \text{ kg}$. $h = 6,67 \cdot 10^{-34} \text{ Joule} \cdot \text{sec}$.

71. Τό μήκος κύματος του ύλικου κύματος ενός ηλεκτρονίου είναι $\lambda = 1,65 \text{ \AA}$. Πόση είναι ή ταχύτητα ν του ηλεκτρονίου; $m_e = 9 \cdot 10^{-31} \text{ kg}$. $h = 6,6 \cdot 10^{-34} \text{ Joule} \cdot \text{sec}$.

72. Πόσο είναι τό μήκος κύματος του ύλικου κύματος ενός ηλεκτρονίου πού έχει ενέργεια $E = 1 \text{ MeV}$;

$h = 6,6 \cdot 10^{-34} \text{ Joule} \cdot \text{sec}$. $m_e = 9,1 \cdot 10^{-31} \text{ kg}$. $m_e = 0,51 \text{ MeV}$.

73. Ένα ηλεκτρόνιο και ένα πρωτόνιο κινούνται έχοντας τήν ίδια κινητική ενέργεια. Ποιό λόγο έχουν τά μήκη κύματος των ύλικων κυμάτων γι' αυτά τά δύο σωματίδια; Μάζα ηλεκτρονίου m_e . Μάζα πρωτονίου $m_p = 1836 m_e$.

74. Σέ ένα ηλεκτρονικό μικροσκόπιο θέλουμε τό ύλικό κύμα πού συνοδεύει τό ηλεκτρόνιο νά έχει μήκος κύματος $\lambda = 0,05 \text{ nm}$. Πόση τάση πρέπει νά εφαρμόσουμε για τήν επιτάχυνση των ηλεκτρονίων;

$m_e = 9 \cdot 10^{-31} \text{ kg}$. $h = 6,6 \cdot 10^{-34} \text{ Joule} \cdot \text{sec}$.

75. Στο άτομο υδρογόνου ή ακτίνα r των κβαντικών τροχιών σε συνάρτηση με τον κύριο κβαντικό αριθμό δίνεται από την εξίσωση:

$$r_n = n^2 \frac{\epsilon_0 h^2}{\pi m_e e^2} \quad (1)$$

α) Πόσο είναι τό μήκος κύματος του υλικού κύματος για τό ηλεκτρόνιο, όταν τούτο κινείται πάνω στη θεμελιώδη τροχιά και πάνω στις δύο άμεσως επόμενες τροχιές; Δίνεται ότι για $n = 1$ είναι $r_1 = 0,529 \cdot 10^{-10}$ m. β) Πόσα υλικά κύματα σχηματίζονται πάνω σε κάθε τροχιά στις τρεις παραπάνω περιπτώσεις;

76. Ένα ηλεκτρόνιο κινείται με ταχύτητα v και θέλουμε νά προσδιορίσουμε τη θέση του με ακρίβεια $\Delta x = 0,02 \text{ \AA}$. Πόση είναι ή άβεβαιότητα Δv στον προσδιορισμό της ταχύτητας του ηλεκτρονίου;

$$m_e = 9 \cdot 10^{-31} \text{ kg}, \quad h = 6,6 \cdot 10^{-34} \text{ Joule} \cdot \text{sec}.$$

77. Ένα βλήμα έχει μάζα $m = 100$ gr, κινείται με ταχύτητα v και ή θέση του προσδιορίζεται με ακρίβεια $\Delta x = 1$ μm. Πόση είναι ή άβεβαιότητα Δv στον προσδιορισμό της ταχύτητας του βλήματος; $h = 6,6 \cdot 10^{-34} \text{ Joule} \cdot \text{sec}$.

78. Ένα σωματίδιο έχει μάζα $m = 10^{-30}$ kg, κινείται με ταχύτητα v που προσδιορίζεται με ακρίβεια ίση με $\Delta v = 1$ km/sec. Με πόση ακρίβεια προσδιορίζεται ή θέση του σωματιδίου; $h = 6,6 \cdot 10^{-34} \text{ Joule} \cdot \text{sec}$.

79. Η διάμετρος του ατόμου υδρογόνου είναι $\delta = 10^{-8}$ cm. Όταν τό άτομο υδρογόνου βρίσκεται στην κανονική κατάσταση, τό ηλεκτρόνιο του κινείται πάνω στη θεμελιώδη τροχιά με ταχύτητα $v = 2200$ km/sec. α) Αν ή άβεβαιότητα στον προσδιορισμό της ταχύτητας του ηλεκτρονίου είναι $\Delta v = 0,01 v$, νά βρεθεί πόση είναι ή άβεβαιότητα Δx στον προσδιορισμό της θέσεώς του. β) Ποιά σχέση έχει ή άβεβαιότητα Δx με τη διάμετρο δ του ατόμου;

$$m_e = 9 \cdot 10^{-31} \text{ kg}, \quad h = 6,6 \cdot 10^{-34} \text{ Joule} \cdot \text{sec}.$$

80. Η θέση ενός ηλεκτρονίου πάνω στην εὐθύγραμμη τροχιά του κατά μία χρονική στιγμή t προσδιορίζεται με άβεβαιότητα $\Delta x = 10^{-9}$ m. Νά βρεθεί ή άβεβαιότητα στον προσδιορισμό της ταχύτητας του ηλεκτρονίου και ή άβεβαιότητα στον προσδιορισμό της θέσεώς του 1 sec μετά τη χρονική στιγμή t .

81. Τά ιόντα πού θά εξετάσουμε σε ένα φασματογράφο μαζών έχουν τό καθένα από αυτά φορτίο $+q$ και κινούνται με ταχύτητες πού έχουν διαφορετικό μέτρο. Τά ιόντα μπαίνουν μέσα σε μιά περιοχή στην όποια επικρατεί ένα μαγνητικό πεδίο με μαγνητική επαγωγή $B = 0,4$ T και ένα ηλεκτρικό πεδίο με ένταση E . Τά άνύσματα \vec{v} , \vec{B} και \vec{E} είναι άνά δύο κάθετα μεταξύ τους. Πόσο πρέπει νά είναι τό μέτρο της έντάσεως E του ηλεκτρικού πεδίου, ώστε τά ιόντα πού έχουν ταχύτητα $v = 2 \cdot 10^5$ m/sec νά μή παθαίνουν καμιά έκτροπή από την άρχική διεύθυνσή τους;

82. Σε ένα φασματογράφο μαζών από τη σχισμή Σ_3 μπαίνουν μέσα στό μαγνητικό πεδίο δύο είδη ιόντων πού έχουν την ίδια ταχύτητα $v = 200$ km/sec και τό ίδιο θετικό φορτίο $+e$. Η ταχύτητα \vec{v} είναι κάθετη στη μαγνητική επαγωγή \vec{B} , πού έχει μέτρο $B = 0,3$ T. Ξέρουμε ότι τό ένα είδος των ιόντων είναι ιόντα οξυγόνου $16, O^{16}$. Η απόσταση των δύο ειδώλων πού σχηματίζονται πάνω στην πλάκα είναι $\delta = 1,38$ cm. Πόση είναι ή ατομική μάζα του δεύτερου είδους ιόντων;

$$N_A = 6,02 \cdot 10^{26} \text{ άτομα / kg} \cdot \text{atom}, \quad e = 1,6 \cdot 10^{-19} \text{ Cb}.$$

ΠΥΡΗΝΙΚΗ ΦΥΣΙΚΗ

Άνίχνευση τῶν σωματιδίων

63. Μέθοδοι ἀνιχνεύσεως τῶν σωματιδίων

Οἱ ραδιενεργοὶ πυρῆνες ἐκπέμπουν ἀκτινοβολίες πού ὀνομάζονται *πυρηνικὲς ἀκτινοβολίες* καὶ ἀποτελοῦνται ἀπὸ φορτισμένα ἢ οὐδέτερα *σωματίδια* καὶ ἀπὸ *φωτόνια* γ .

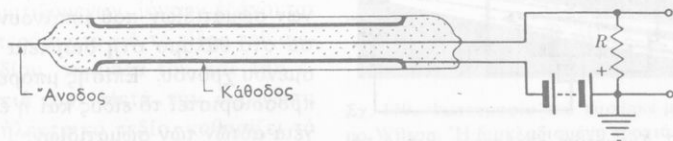
Κάθε πυρηνικὴ ἀκτινοβολία μεταφέρει *ἐνέργεια* καὶ ὅταν μπαίνει μέσα σὲ ἓνα ὑλικό, ἡ ἀκτινοβολία *ἀπορροφᾶται* καὶ τότε ἀπὸ τὴν ἀλληλεπίδραση τῆς ἀκτινοβολίας καὶ τῆς ὕλης προκαλοῦνται *ὀρισμένα φαινόμενα*, πού κάνουν φανερὴ τὴν παρουσία τῶν πυρηνικῶν ἀκτινοβολιῶν.

Ἐπάρχουν δύο κατηγορίες διατάξεων γιὰ τὴν ἀνίχνευση τῶν σωματιδίων, διατάξεις πού κάνουν φανερό *τό φαινόμενο τοῦ ἰονισμοῦ* τῶν ἀτόμων τῆς ὕλης καὶ διατάξεις πού κάνουν φανερό *τό φαινόμενο τῆς διεγέρσεως* τῶν ἀτόμων τῆς ὕλης πού μέσα σ' αὐτὴ διαδίδεται ἡ πυρηνικὴ ἀκτινοβολία.

Τὸ φαινόμενο τοῦ ἰονισμοῦ *μπορεῖ* νά γίνει φανερό εἴτε μέ ἓνα *στιγμαῖο ρεῦμα* (ρευματικὴ ὥθηση), εἴτε ἂν γίνει *ὄρατός ὁ ἰονισμός* ἐξαιτίας δευτερογενῶν φυσικῶν ἢ χημικῶν φαινομένων πού προκαλεῖ ὁ ἰονισμός.

64. Ἀπαριθμητὴς Geiger - Müller

Ὁ *ἀπαριθμητὴς Geiger - Müller* ἀποτελεῖται ἀπὸ μεταλλικὸ κυλινδρικό σωλήνα μέ λεπτά τοιχώματα καὶ ἀπὸ λεπτό μεταλλικὸ σύρμα, πού εἶναι μονωμένο ἀπὸ τὰ τοιχώματα καὶ εἶναι τοποθετημένο κατὰ τὸν ἄξονα τοῦ κυλίνδρου (σχ. 136). Μέσα στὴ συσκευή ὑπάρχει ἀέριο, συνήθως ἀργό,



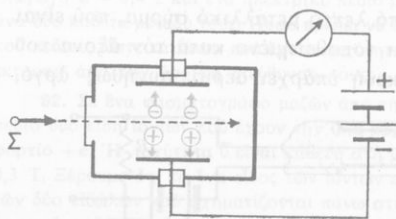
Σχ. 136. Σχηματικὴ παράσταση τοῦ ἀπαριθμητῆ Geiger - Müller.

υπό μικρή πίεση (5 - 10 cm Hg). Ο κύλινδρος αποτελεί τό αρνητικό ηλεκτρόδιο και τό σύρμα αποτελεί τό θετικό ηλεκτρόδιο. Μεταξύ αυτών των δύο ηλεκτροδίων εφαρμόζεται κατάλληλη τάση, χωρίς όμως νά είναι ικανή νά προκαλέσει έκκένωση. Αν μέσα στή συσκευή μπει ένα φορτισμένο σωματίδιο, αυτό δημιουργεί ζεύγη ιόντων και έτσι προκαλείται έκκένωση. Αυτή πρέπει νά διαρκέσει επί ελάχιστο χρόνο, ώστε ο άπαριθμητής νά είναι άμέσως έτοιμος νά λειτουργήσει πάλι, μόλις μπει μέσα σ' αυτόν ένα άλλο φορτισμένο σωματίδιο. Η γρήγορη άπόσβεση τής έκκενώσεως εξασφαλίζεται μέ διάφορους τρόπους και έτσι ο άπαριθμητής μπορεί νά λειτουργεί ταχύτατα.

Κάθε έκκένωση είναι ένα στιγμιαίο ρεύμα (ρευματική ώθηση) πού, άφου ένισχυθεί, μπορεί νά καταγραφεί πάνω σέ φωτογραφικό φίλμ ή νά διαβιβαστεί σέ μεγάφωνο, όποτε θά ακούσουμε ένα σύντομο ήχο (κρότο) ή νά διαβιβαστεί σέ κατάλληλη διάταξη καταμετρήσεως. Έτσι μπορούμε νά άποκαλύψουμε τήν παρουσία φορτισμένων σωματιδίων και νά μετρήσουμε πόσα φορτισμένα σωματίδια μπαίνουν μέσα στόν άπαριθμητή στή διάρκεια όρισμένου χρόνου. Ο άπαριθμητής Geiger - Müller χρησιμοποιείται στήν έργαστηριακή έρευνα και γιά τήν εύκολη άνίχνευση φορτισμένων σωματιδίων στό έδαφος ή στόν άέρα.

65. Θάλαμος ιονισμού

Ο θάλαμος ιονισμού είναι ένας επίπεδος πυκνωτής πού βρίσκεται μέσα σέ δοχείο πού περιέχει άέριο (συνήθως εύγενές άέριο). Μεταξύ των δύο όπλισμών του πυκνωτή δημιουργείται κατάλληλη τάση (σχ. 137). Όταν ανάμεσα στους δύο όπλισμούς φτάσει ένα φορτισμένο σωματίδιο, τότε δημιουργούνται πολλά ζεύγη ιόντων. Μέ τήν επίδραση του ηλεκτρικού πεδίου τά έτερώνυμα ίοντα κινούνται μέ επιτάχυνση κατά άντίθετη φορά πρós τους άντίστοιχους όπλισμούς του πυκνωτή. Αυτή ή κίνηση των ιόντων ίσοδυναμεί μέ ηλεκτρικό ρεύμα πού μπορούμε νά τό παρατηρήσουμε μέ



Σχ. 137. Σχηματική παράσταση του θαλάμου ιονισμού.

ένα εύαίσθητο όργανο (μιλιαμπερόμετρο, άμπερόμετρο). Μέ τό θάλαμο ιονισμού μπορούμε νά μετρήσουμε τόν αριθμό των φορτισμένων σωματιδίων πού μπαίνουν μέσα στό θάλαμο στή διάρκεια όρισμένου χρόνου. Επίσης μπορεί νά προσδιοριστεί τό είδος και ή ενέργεια αυτών των σωματιδίων.

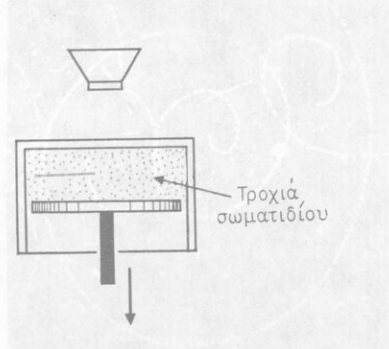
Ημιαγωγοί άπαριθμητές (semi-

conductor counters). Σέ μία κρυσταλλοδίοδο $p-n$ ή περιοχή τής συνδέσεως τών δύο διαφορετικῶν ἡμιαγωγῶν (p καί n) εἶναι ἰδιαίτερα εὐαίσθητη στά ἰονίζοντα σωματίδια. Ὄταν ἓνα τέτοιο σωματίδιο εἰσχωρήσει στήν περιοχή συνδέσεως τών δύο ἡμιαγωγῶν τότε ἡ κρυσταλλοδίοδος λειτουργεῖ σάν στερεός θάλαμος ἰονισμοῦ, πού εἶναι πολύ ἀπλούστερος ἀπό τό θάλαμο ἰονισμοῦ μέ ἀέριο.

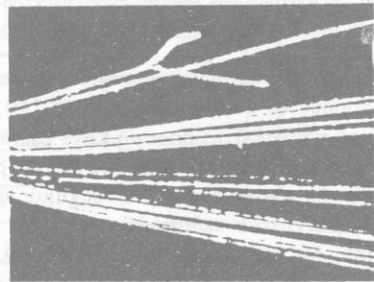
66*. Θάλαμος Wilson

Ὁ θάλαμος Wilson ἢ θάλαμος νεφώσεως ἀποτελεῖται ἀπό ἓναν κύλινδρο καί μέσα σ' αὐτόν ὑπάρχει ἀέρας καί κορεσμένοι ἀτμοί αἰθυλικῆς ἀλκοόλης. Ἡ πάνω βάση τοῦ κυλίνδρου εἶναι μία γυάλινη πλάκα, ἐνῶ ἡ κάτω βάση του ἀποτελεῖ ἔμβολο (σχ. 138). Ἄν τό ἔμβολο μετακινηθεῖ ἀπότομα πρὸς τά κάτω, τότε ὁ ἀέρας παθαίνει ἀδιαβατική ἐκτόνωση καί ψύχεται. Ἐνα μέρος τῶν κορεσμένων ἀτμῶν ὑγροποιοῦνται καί σχηματίζουν μικρά σταγονίδια.

Ἄν ἐκεῖνη τή στιγμή μπεῖ μέσα στό θάλαμο ἓνα φορτισμένο σωματίδιο, αὐτό δημιουργεῖ κατά μήκος τῆς τροχιᾶς του ζεύγη ἰόντων καί τό καθένα ἰόν γίνεται κέντρο συγκεντρώσεως τῶν μικρῶν σταγονιδίων. Ἐτσι κατά μήκος τῆς τροχιᾶς τοῦ σωματιδίου σχηματίζεται μία λεπτή γραμμή πού μπορεῖ νά φωτογραφηθεῖ (σχ. 139). Συνήθως ὁ θάλαμος βρίσκεται μέσα σέ ὁμογενές μαγνητικό πεδίο καί τότε τό σωματίδιο διαγράφει καμπυλόγραμμη τροχιά. Ἀπό τή μορφή τῆς τροχιᾶς, τό συνολικό μήκος τῆς καί τήν πυκνότητα τῶν σχηματιζόμενων ἰόντων ἐξάγονται συμπεράσματα γιά τό εἶδος τοῦ σωματιδίου, τή μάζα του καί τήν ἐνέργειά του. Μετά τήν ἐκτόνωση ἓνα ἠλεκτρικό πεδίο καθαρίζει τό θάλαμο ἀπό τά ἰόντα πού σχηματί-



Σχ. 138. Σχηματική παράσταση τοῦ θαλάμου Wilson (θαλάμου νεφώσεως).

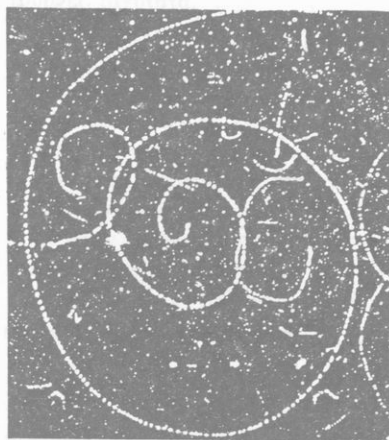


Σχ. 139. Φωτογραφία πού πάρθηκε μέ θάλαμο Wilson. Ἡ διακλαδισμένη τροχιά δείχνει τό πείραμα τοῦ Rutherford.

στηκαν, για να είναι έτοιμος για τη νέα έκτόνωση. Ο θάλαμος Wilson πρόσφερε μεγάλες υπηρεσίες στην αναγνώριση και τη μελέτη των φορτισμένων σωματιδίων.

67* Θάλαμος Glaser

Ο θάλαμος Glaser ή θάλαμος φουσαλίδων αποτελείται από κλειστό δοχείο που είναι γεμάτο με ένα καθαρό υγρό (προπάνιο, υγρό υδρογόνο, φρεόν κ.ά.). Αυτό το υγρό διατηρείται υπό πίεση μεγαλύτερη από την τάση

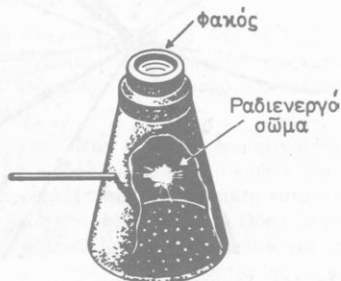


Σχ. 140. Φωτογραφία που πάρθηκε με θάλαμο Glaser (θάλαμο φουσαλίδων). Διακρίνεται η σπειροειδής τροχιά ενός ηλεκτρονίου που κινείται μέσα σε μαγνητικό πεδίο.

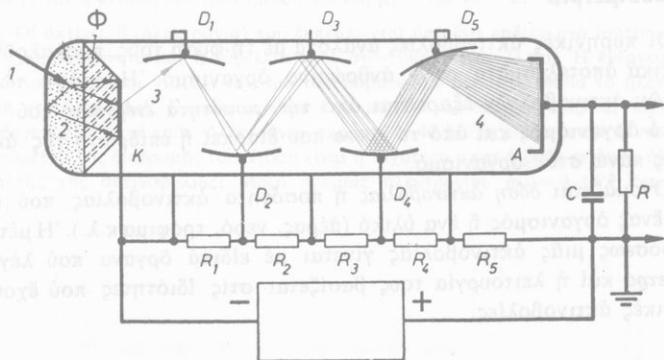
των κορεσμένων ατμών που αντιστοιχεί στη θερμοκρασία την οποία έχει το υγρό κατά τη στιγμή του πειράματος. Υπό τις συνθήκες αυτές δεν μπορεί να συμβεί βρασμός του υγρού. Με ένα έμβολο προκαλούμε απότομη ελάττωση της πίεσεως που επιφέρεται στο υγρό. Έτσι η πίεση αυτή γίνεται μικρότερη από την αντίστοιχη τάση των κορεσμένων ατμών και μπορεί να συμβεί βρασμός, δηλαδή σχηματισμός φουσαλίδων από ολόκληρη τη μάζα του υγρού. Η έναρξη όμως του βρασμού καθυστερεί επί ένα ελάχιστο χρόνο (της τάξεως του msec). Αν στη διάρκεια αυτού του χρόνου κινείται μέσα στο υγρό ένα φορτισμένο σωματίδιο, τότε κατά μήκος της τροχιάς του σχηματίζονται μικρές σφαιρικές φουσαλίδες υγρού, που αιωρούνται μέσα στο υγρό και μπορούν να φωτογραφηθούν (σχ. 140). Το σωματίδιο που κινείται μέσα στο υγρό προκαλεί το βρασμό κατά μήκος της τροχιάς του. Αυτός ο βρασμός οφείλεται στον ιονισμό που δημιουργεί το κινούμενο σωματίδιο κατά μήκος της τροχιάς του. Ο θάλαμος φουσαλίδων βρίσκεται μέσα σε ομογενές μαγνητικό πεδίο που προκαλεί καμπύλωση της τροχιάς του σωματιδίου. Με το θάλαμο φουσαλίδων μελετάμε τα σωματίδια υψηλής ενέργειας που παράγονται στους μεγάλους επιταχυντές. Η λειτουργία του θαλάμου είναι απόλυτα συγχρονισμένη με τη λειτουργία του επιταχυντή.

68*: Απαριθμητές σπινθηρισμών

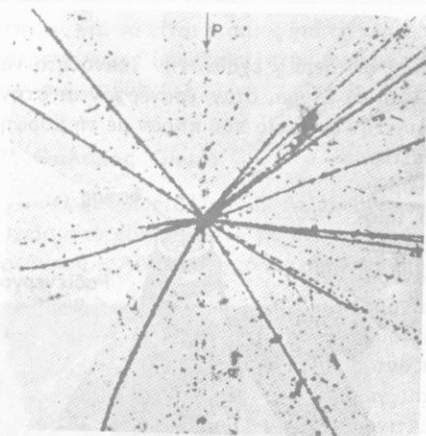
Τά φορτισμένα σωματίδια καί τά φωτόνια γ έχουν τήν ικανότητα νά προκαλούν *διέγερση* τών ατόμων. Αὐτά τά άτομα, όταν ἐπανέρχονται στήν κανονική κατάστασή τους ἐκπέμπουν τήν ἐνέργεια πού πήραν μέ τή μορφή φωτονίου ὄρατης ἢ ὑπεριώδους ἀκτινοβολίας. Πολλές ὀργανικές καί ἀνόργανες ἐνώσεις ἔχουν τήν παραπάνω ιδιότητα τοῦ *φθορισμοῦ* (π.χ. ὁ θειοῦχος ψευδάργυρος, τό ἰωδιούχο νάτριο, τό ἀνθρακένιο, τό σιλβένιο κ.ἄ.). Στό φαινόμενο τοῦ φθορισμοῦ στηρίζεται ἡ λειτουργία ἐιδικῶν φωρατῶν, πού ὀνομάζονται *σπινθηριστές* καί χρησιμοποιοῦνται γιά τήν ἀνίχνευση τών πυρηνικῶν ἀκτινοβολιῶν. Ὁ ἀπλούστερος σπινθηριστής εἶναι τό *σπινθηροσκόπιο* (σχ. 141). Σ' αὐτό τά σωματίδια α , πού ἐκπέμπονται ἀπό ἕνα ραδιενεργό σῶμα, πέφτουν πάνω σέ ἕνα λεπτό στρώμα ἀπό θειοῦχο ψευδάργυρο. Ἄν μέ τή βοήθεια φακοῦ παρατηρήσουμε στό σκοτάδι τό στρώμα πού φθορίζει, διακρίνουμε πάνω σ' αὐτό φευγαλέες ἐκπομπές φωτός ἀπό διάφορα σημεῖα. Κάθε μικρή λάμψη φανερώνει τή σύγκρουση ἑνός σωματιδίου α πάνω στό διάφραγμα πού φθορίζει.



Σχ. 141. Σχηματική παράσταση τοῦ σπινθηροσκοπίου.



Σχ. 142. Συνδυασμός σπινθηροσκοπίου καί φωτοπολλαπλασιαστή.
 1 σωματίδιο. 2 φθορίζον στρώμα. Φ φακός. Κ φωτοκάθοδος. 3 φωτοηλεκτρόνια. D_1, D_2, \dots ηλεκτρόδια πού ἐκπέμπουν δευτερογενή ἠλεκτρόνια (δύνοδοι). Α ἄνοδος (συλλέκτης). Στή διάταξη ἐφαρμόζεται ψηλή τάση.



Σχ. 143. Σχηματισμός άστέρων σε πυρηνικό γαλάκτωμα από τη σύγκρουση ενός σωματιδίου υψηλής ενέργειας με έναν ατομικό πυρήνα του γαλακτώματος. Από τη συντριβή του πυρήνα σχηματίστηκαν πολλά ιονίζοντα σωματίδια.

δίου. Από τη μελέτη της τροχιάς βγάζουμε διάφορα συμπεράσματα (σχ. 143).

70* Δοσιμετρία

Οι πυρηνικές ακτινοβολίες ανάλογα με τη φύση τους, προκαλούν διαφορετικά αποτελέσματα στον ανθρώπινο οργανισμό. Η δράση των πυρηνικών ακτινοβολιών εξαρτάται από την ποσότητα ενέργειας που απορροφά ο οργανισμός και από το χρόνο που διαρκεί ή επίδραση της ακτινοβολίας πάνω στον οργανισμό.

Ονομάζεται δόση ακτινοβολίας ή ποσότητα ακτινοβολίας που απορροφά ένας οργανισμός ή ένα υλικό (αέρας, νερό, τρόφιμα κ.λ.). Η μέτρηση της δόσεως μιας ακτινοβολίας γίνεται με ειδικά όργανα που λέγονται δοσίμετρα και η λειτουργία τους βασίζεται στις ιδιότητες που έχουν οι πυρηνικές ακτινοβολίες.

Η νεώτερη τεχνική συνδυάζει ένα σπινθηριστή με ένα φωτοπλασσιαστή (σχ. 142) και έτσι η φωτεινή ενέργεια του σπινθηρισμού μετατρέπεται σε ένα στιγμιαίο ηλεκτρικό ρεύμα (ρευματική ώθηση).

69* Πυρηνικά γαλακτώματα

Όταν ένα φορτισμένο σωματίδιο περνάει μέσα από ειδικό φωτογραφικό γαλάκτωμα (πυρηνικό γαλάκτωμα) που αποτελείται από βρωμιούχο άργυρο, τότε κατά μήκος της τροχιάς του σωματιδίου σχηματίζονται ίοντα άργύρου. Έτσι μετά την εμφάνιση της πλάκας διακρίνουμε την τροχιά του σωματι-

ΠΡΟΒΛΗΜΑΤΑ

83. Ένα ραδιενεργό ισότοπο εκπέμπει σωματίδια α με ενέργεια $E = 5 \text{ MeV}$ τα όποια στον αέρα έχουν εμβέλεια $s = 5 \text{ cm}$. Για τον ιονισμό ενός μορίου του αέρα απαιτείται κατά μέσο όρο ενέργεια $E_{\text{ιον}} = 25 \text{ eV}$. Πόσα ζεύγη ιόντων δημιουργεί μέσα στον αέρα αυτό το σωματίδιο και πόσα κατά χιλιοστόμετρο της διαδρομής του;

84. Για τον ιονισμό του ατόμου υδραργύρου απαιτείται ενέργεια ίση με $E_{\text{ιον}} = 10,4 \text{ eV}$. Πόση πρέπει να είναι η μικρότερη δυνατή ταχύτητα ενός ηλεκτρονίου, που κατά τη σύγκρουσή του με ένα άτομο υδραργύρου θα προκαλέσει τον ιονισμό του ατόμου υδραργύρου; $m_e = 9 \cdot 10^{-31} \text{ kg}$.

85. Ένας θάλαμος ιονισμού συνδέεται με ηλεκτρόμετρο που έχει χωρητικότητα $C = 0,5 \cdot 10^{-12} \text{ F}$ και η ευαισθησία της κλίμακας του είναι 4 διαιρέσεις για κάθε 1 Volt. Ένα σωματίδιο α που μπαίνει μέσα στο θάλαμο προκαλεί έκτροπή του δείκτη κατά 0,8 διαιρέσεις. Για το σχηματισμό ενός ζεύγους ιόντων απαιτείται ενέργεια 35 eV. Πόσα ζεύγη ιόντων σχηματίζονται μέσα στο θάλαμο και πόση ενέργεια σε MeV απαιτείται για το σχηματισμό αυτών των ιόντων; Καθένα ιόν έχει κατά απόλυτη τιμή φορτίο ίσο με e.

86. Σε ένα θάλαμο ιονισμού ο όπλισμός A_1 του πυκνωτή έχει εμβαδό $S = 1 \text{ cm}^2$ και η μιá επιφάνειά του έχει σκεπαστεί ομοιόμορφα με ένα ραδιενεργό ισότοπο που μετασχηματίζεται με έκπομπή ηλεκτρονίου. Άπέναντι από αυτή την επιφάνεια και σε απόσταση $l = 1 \text{ mm}$ βρίσκεται ο άλλος όπλισμός A_2 που είναι μονωμένος και βρήκαμε

οτι δέχεται 1000 ηλεκτρία κατά δευτερόλεπτο που εκπέμπονται από το ραδιοϊσότοπο. α) Γιατί μεταξύ των δύο όπλισμών του πυκνωτή δημιουργείται μιá διαφορά δυναμικού που μεταβάλλεται με τό χρόνο; β) Έπειτα από πόσο χρόνο αυτή η διαφορά δυναμικού θά είναι ίση με $U = 1 \text{ V}$; Υποθέτουμε οτι όλα τα ηλεκτρία που εκπέμπονται από τον όπλισμό A_1 φτάνουν στον όπλισμό A_2 . γ) Όταν η διαφορά δυναμικού είναι $U = 1 \text{ V}$ πόση είναι η ένταση του ηλεκτρικού πεδίου; $|e| = 1,6 \cdot 10^{-19} \text{ C}$. $\epsilon_0 = 8,85 \cdot 10^{-12} \text{ F/m}$.

87. Οι άκτινες β (ηλεκτρία) που εκπέμπονται από ένα ραδιενεργό ισότοπο έχουν πολύ μεγάλη ταχύτητα και η εμβέλειά τους στον αέρα είναι 25 cm. Η ενέργεια κάθε ηλεκτρονίου ξοδεύεται για τον ιονισμό των μορίων του αέρα, τα όποια τό ηλεκτρόνιο συναντά στο δρόμο του. Για τον ιονισμό ενός μορίου του αέρα χρειάζεται κατά μέσο όρο ενέργεια 25 eV και κάθε ηλεκτρόνιο σχηματίζει 40 ζεύγη μονοσθενών ιόντων κατά χιλιοστόμετρο της διαδρομής του. Πόση είναι η ταχύτητα v και η μάζα m ενός ηλεκτρονίου αυτής της ακτινοβολίας; Μάζα ήρεμίας ηλεκτρονίου $m_e = 9 \cdot 10^{-31} \text{ kg}$.



Ἐπιταχυντές

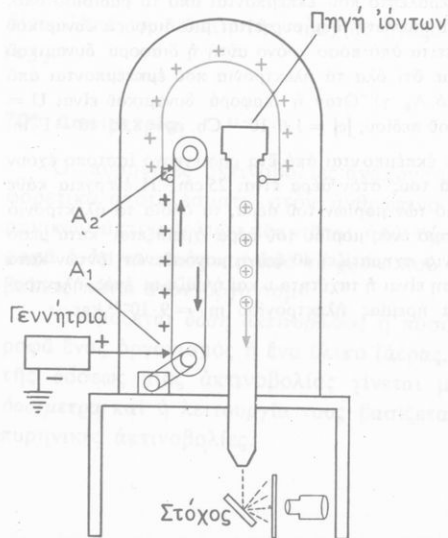
71. Ἐπιταχυντές

Γιά νά γνωρίσουμε τίς ιδιότητες καί τή δομή τοῦ πυρήνα, βομβαρδίζουμε ὀρισμένους πυρήνες μέ ἕνα εἶδος φορτισμένου σωματιδίου καί παρατηροῦμε τά ἀποτελέσματα τῆς ἀντιδράσεως τοῦ βλήματός μας μέ τόν πυρήνα. Ἀρχικά ὡς βλήματα χρησιμοποιήθηκαν τά σωματίδια α , πού ἐκπέμπονται ἀπό τά φυσικά ραδιοϊσότοπα καί ἡ ἐνέργειά τους δέν ξεπερνάει τά 8 MeV. Γιά νά ἀποκτήσουν τά φορτισμένα σωματίδια μεγάλες ἐνέργειες, χρησιμοποιοῦνται οἱ ἐπιταχυντές, δηλαδή εἰδικές διατάξεις πού ἐπιταχύνουν τά φορτισμένα σωματίδια μέ τήν ἐπίδραση ἠλεκτρικοῦ πεδίου.

Ἐπάρχουν δύο κατηγορίες ἐπιταχυντῶν, οἱ γραμμικοὶ καί οἱ κυκλικοὶ ἐπιταχυντές.

Στούς γραμμικοὺς ἐπιταχυντές ἡ ταχύτητα \vec{v} τῶν σωματιδίων ἔχει πάντοτε τήν ἴδια διεύθυνση καί φορά, γιατί πάνω στά σωματίδια ἐπιδρᾷ μόνο ἕνα ἠλεκτρικό πεδίο.

Στούς κυκλικούς ἐπιταχυντές πάνω στά σωματίδια ἐπιδρᾷ ἐκτός ἀπό τό ἠλεκτρικό πεδίο καί ἕνα μαγνητικό πεδίο πού ὀδηγεῖ τό σωματίδιο πάνω σέ μιά κυκλική τροχιά. Τό ἠλεκτρικό πεδίο δίνει στό σωματίδιο ρυθμικά ἐπιτάχυνση, π.χ. στό τέλος κάθε μισῆς στροφῆς.



Σχ. 144. Σχηματική παράσταση τῆς μηχανῆς Van de Graaff.

72*. Μηχανή Van de Graaff

Ἡ μηχανή Van de Graaff εἶναι ἕνας ἠλεκτροστατικός ἐπιταχυντής. Ξέρουμε ὅτι στή μηχανή Van de Graaff ἡ σφαῖρα ἀποκτᾷ θετικό φορτίο καί πολύ ψηλό δυναμικό (σχ. 144). Τά θετικά ἰόντα, πού θέλουμε νά ἐπιταχυνθοῦν, δημιουργοῦνται στήν ἀνώτερη ἄκρη ἑνός εὐθύγραμμου ἀερόκενου σωλήνα. Στήν κα-

τώτερη άκρη του σωλήνα βρίσκεται ο στόχος πού πάνω του πέφτουν τά ιόντα, αφού επιταχυνθούν. Αν π.χ. τό δυναμικό τής σφαίρας σχετικά μέ τό έδαφος είναι $U = 8 \text{ MV}$, τότε ένα σωματίδιο α , πού έχει φορτίο $q = 2e$ άποκτά κινητική ένέργεια ίση μέ :

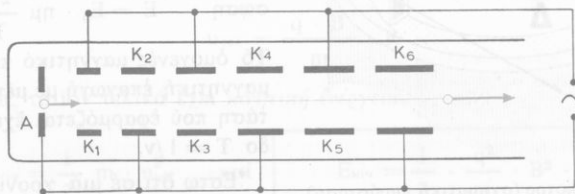
$$E_{\text{κιν}} = q \cdot U = 2e \cdot 8 \cdot 10^6 \text{ V} = 16 \cdot 16^6 \text{ eV} \text{ και } E_{\text{κιν}} = 16 \text{ MeV}$$

Η μηχανή Van de Graff μπορεί νά χρησιμοποιηθεί και γιά τήν επίταχυνση ηλεκτρονίων, αλλά σ' αυτή τήν περίπτωση ή σφαίρα τής μηχανής άποκτά άρνητικό φορτίο και μέσα στό σωλήνα εισάγονται τά ηλεκτρόνια πού θέλουμε νά επιταχυνθούν.

73*. Γραμμικός επίταχυντής

Ο γραμμικός επίταχυντής άποτελείται από μιά σειρά κοίλων μεταλλικών κυλίνδρων πού έχουν κοινό άξονα και βρίσκονται μέσα σέ μακρύ άερόκενο σωλήνα (σχ. 145). Οί κύλινδροι συνδέονται μέ μιά πηγή έναλλασσόμενης τάσεως έτσι, ώστε σέ κάθε στιγμή δύο διαδοχικοί κύλινδροι νά είναι άντίθετα φορτισμένοι. Έτσι, όταν οί περιττής τάξεως κύλινδροι (K_1, K_3, K_5) είναι θετικά φορτισμένοι, οί άρτιας τάξεως κύλινδροι (K_2, K_4, K_6) είναι άρνητικά φορτισμένοι και άντίστροφα. Η πολικότητα τών κυλίνδρων άντιστρέφεται κάθε μισή περίοδο ($T/2$).

Στό έσωτερικό του κάθε κυλίνδρου δέν ύπάρχει ηλεκτρικό πεδίο. Στό διάκενο όμως πού ύπάρχει μεταξύ δύο κυλίνδρων δημιουργείται έναλλασσόμενο ηλεκτρικό πεδίο. Τό ιόν διατρέχει μέ σταθερή ταχύτητα κάθε κύλινδρο στή διάρκεια μιās ήμιπεριόδου (δηλαδή σέ χρόνο $T/2$) και βγαίνει από τόν κύλινδρο στό διάκενο τή στιγμή πού ή τάση μεταξύ τών δύο γειτονικών κυλίνδρων έχει λάβει τή μέγιστη τιμή τής U_0 (δηλαδή όταν στό σχήμα τό ηλεκτρικό πεδίο έχει φορά πρός τά δεξιά). Έτσι τό ιόν πηγαίνοντας από τόν έναν κύλινδρο στόν άμέσως επόμενο κύλινδρο επίταχύνεται. Έπομένως, αν τό ιόν έχει φορτίο q , τότε κάθε φορά πού τό ιόν δια-



Σχ. 145. Σχηματική παράσταση γραμμικού επίταχυντή. Στή διάταξη εφαρμόζεται υψηλή συχνότητα

τρέχει τό διάκενο μεταξύ δύο διαδοχικῶν κυλίνδρων, ἡ ἐνέργεια τοῦ ἰόντος αὐξάνεται κατά $q \cdot U_0$.

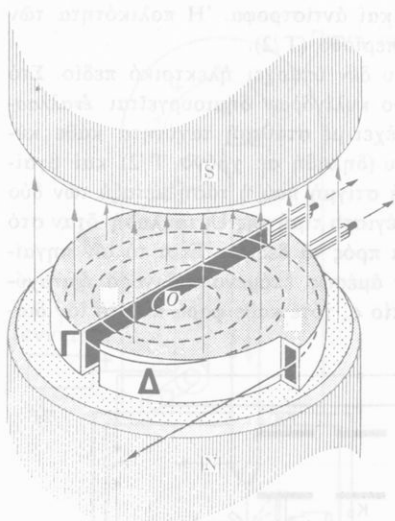
Ἐπειδή τό ἰόν διατρέχει διαδοχικά τοὺς κυλίνδρους μέ διαρκῶς μεγαλύτερη ταχύτητα, γι' αὐτό τά μήκη τῶν κυλίνδρων γίνονται διαρκῶς μεγαλύτερα.

Τό ἰόν ἀποκτᾶ πολύ μεγάλες ταχύτητες. Ἄρα, γιά νά μή ἔχουν οἱ κύλινδροι πολύ μεγάλο μήκος, χρησιμοποιοῦμε πολύ ψηλές συχνότητες (ὑπερ-συχνότητες, 200 MHz γιά τά ἰόντα, ὡς 3000 MHz γιά τά ἠλεκτρόνια).

Μέ τοὺς γραμμικούς ἐπιταχυντές τά πρωτόνια ἀποκτοῦν ἐνέργεια ὡς 100 MeV καί τά ἠλεκτρόνια ὡς 1 GeV (10^3 MeV).

74. Κύκλωτρο

Τό κύκλωτρο (cyclotron) ἀποτελεῖται ἀπό κοῖλο μεταλλικό κύλινδρο, πού ἔχει κοπεῖ σέ δύο ἡμικυλίνδρους σέ σχῆμα D. Αὐτοὶ ἀποτελοῦν τά δύο ἠλεκτρόδια τῆς συσκευῆς καί μεταξύ τους ὑπάρχει διάκενο (σχ.146). Τά δύο ἠλεκτρόδια βρίσκονται μέσα σέ ἀερόκενο θάλαμο πού εἶναι τοποθετημένος μεταξύ τῶν πόλων ἰσχυροῦ ἠλεκτρομαγνήτη. Στό κέντρο τοῦ



Σχ. 146. κύκλωτρο (σχηματική παράσταση). Στά δύο ἠλεκτρόδια Γ καί Δ ἐφαρμόζεται ψηλή τάση.

διάκενου εἶναι ἡ πηγή τῶν ἰόντων τά ὁποῖα θέλομε νά ἐπιταχύνουμε. Στά δύο ἠλεκτρόδια ἐφαρμόζεται ἐναλλασσόμενη τάση πού ἔχει συχνότητα ν .

α. Ἀρχή τῆς λειτουργίας. Στό ἐσωτερικό τῶν δύο ἠλεκτροδίων δέν ὑπάρχει ἠλεκτρικό πεδίο, ἀλλά στό μεταξύ τῶν δύο ἠλεκτροδίων διάκενο δημιουργεῖται ἐναλλασσόμενο ἠλεκτρικό πεδίο πού ἡ ἔντασή του μεταβάλλεται σύμφωνα μέ τήν ἐξίσωση

$$E = E_0 \cdot \eta \mu \frac{2\pi}{T} t.$$

Τό ὁμογενές μαγνητικό πεδίο ἔχει μαγνητική ἐπαγωγή μέ μέτρο B . Ἡ τάση πού ἐφαρμόζεται ἔχει περίοδο $T = 1/\nu$.

Ἐστω ὅτι σέ μία χρονική στιγμή ἔνα θετικό ἰόν, πού ἔχει μάζα m καί φορτίο q , βρίσκεται στό διά-

κενο, όταν το ηλεκτρόδιο Γ έχει θετικό δυναμικό και το ηλεκτρόδιο Δ έχει αρνητικό δυναμικό. Τότε στο διάκενο υπάρχει ηλεκτρικό πεδίο, το ιόν επιταχύνεται και μπαίνει μέσα στο ηλεκτρόδιο Δ, όπου δεν υπάρχει ηλεκτρικό πεδίο. Μέσα στο ηλεκτρόδιο Δ το ιόν κινείται με σταθερή ταχύτητα v , εξαιτίας όμως του μαγνητικού πεδίου διαγράφει κυκλική τροχιά με ακτίνα:

$$r = \frac{v \cdot m}{q \cdot B} \quad (1)$$

Το ιόν έχει:

$$\begin{aligned} \text{γωνιακή ταχύτητα} \quad \omega &= \frac{v}{r} & \eta & \quad \omega = \frac{q \cdot B}{m} \\ \text{καί περίοδο} \quad T &= \frac{2\pi}{\omega} & \eta & \quad T = \frac{2\pi \cdot m}{q \cdot B} \end{aligned} \quad (2)$$

Η εξίσωση (2) δείχνει ότι η περίοδος T της κυκλικής κινήσεως του ιόντος είναι ανεξάρτητη από την ακτίνα r της κυκλικής τροχιάς που διαγράφει το ιόν.

Το ιόν κινείται μέσα στο ηλεκτρόδιο Δ επί χρόνο $T/2$ και βγαίνει από αυτό το ηλεκτρόδιο, όταν έχει αλλάξει η πολικότητα των δύο ηλεκτροδίων. Τότε το ιόν, διατρέχοντας το διάκενο, επιταχύνεται και μπαίνει μέσα στο ηλεκτρόδιο Γ, όπου κινείται με μεγαλύτερη ταχύτητα και επομένως διαγράφει κυκλική τροχιά με μεγαλύτερη ακτίνα (εξίσ. 1). Έτσι σε κάθε εναλλαγή της τάσεως (δηλαδή δύο φορές μέσα σε κάθε περίοδο) το ιόν επιταχύνεται, η ταχύτητά του διαρκώς αυξάνεται και επομένως διαρκώς αυξάνεται και η ακτίνα r της κυκλικής τροχιάς. Το ιόν διαγράφει ένα είδος ελικοειδούς τροχιάς και τελικά βγαίνει με μεγάλη κινητική ενέργεια από ένα κατάλληλο άνοιγμα και πέφτει πάνω στο στόχο.

Υπολογισμός της ενέργειας του βλήματος. Αν η τελική κυκλική τροχιά που διαγράφει το βλήμα έχει ακτίνα R , τότε το ιόν βγαίνει από το κύκλο με τελική ταχύτητα:

$$v_{\text{τελ}} = \frac{q \cdot B}{m} \cdot R$$

Επομένως το ιόν τελικά έχει κινητική ενέργεια:

$$E_{\text{κιν}} = \frac{1}{2} m \cdot v_{\text{τελ}}^2 \quad \text{καί} \quad E_{\text{κιν}} = \frac{1}{2} \cdot \frac{q^2}{m} \cdot B^2 \cdot R^2$$

β. Συγχροκύκλοτρο. Στο κύκλοτρο ή συχνότητα ν της κινήσεως του

ιόντος είναι σε κάθε στιγμή ίση με τη συχνότητα της εναλλασσόμενης τάσεως και δίνεται από την εξίσωση:

$$\text{συχνότητα κινήσεως ιόντος} \quad v = \frac{1}{T} \quad \eta \quad v = \frac{q \cdot B}{2\pi \cdot m} \quad (3)$$

Όταν όμως το ιόν αποκτά πολύ μεγάλη ταχύτητα, που πλησιάζει την ταχύτητα του φωτός, τότε η μάζα του ιόντος συνεχώς αυξάνεται και στην εξίσωση (3) πρέπει να βάλουμε:

$$m = \frac{m_0}{\sqrt{1 - (v/c)^2}}$$

όπου m_0 είναι η μάζα ηρεμίας του ιόντος. Επομένως σύμφωνα με την εξίσωση (3) ή συχνότητα v της κινήσεως του ιόντος *συνεχώς ελαττώνεται* και τότε η εναλλαγή της πολικότητας των ηλεκτροδίων *δέ συμπίπτει* με την έξοδο του ιόντος από το ηλεκτρόδιο.

Σε μία διάταξη που ονομάζεται *συγχροκύκλοτρο* ή συχνότητα της εναλλασσόμενης τάσεως συνεχώς ελαττώνεται, ώστε σε κάθε στιγμή να υπάρχει *συγχρονισμός* της συχνότητας της τάσεως με τη συχνότητα της κινήσεως του ιόντος.

Με το συγχροκύκλοτρο τά ιόντα αποκτούν πολύ μεγάλες ενέργειες (π.χ. ως 720 MeV τά πρωτόνια και ως 380 MeV τά σωματίδια α).

Παρατήρηση. Εκτός από το κύκλοτρο και το συγχροκύκλοτρο υπάρχουν και άλλοι πιά πολύπλοκοι κυκλικοί επιταχυντές (π.χ. τό βήτατρο για την επιτάχυνση ηλεκτρονίων, τό σύγχροτρο πρωτονίων κ.ά.).

ΠΡΟΒΛΗΜΑΤΑ

88. Ένα σωματίδιο κινούμενο με μεγάλη ταχύτητα πλησιάζει σε έναν πυρήνα μαγνίου ($Z = 25$). Πόση δύναμη ενεργεί πάνω στο σωματίδιο α , όταν αυτό φτάσει σε απόσταση $r = 10^{-12}$ cm από τον πυρήνα μαγνίου και πόση είναι τότε η δυναμική ενέργεια του σωματιδίου α ; $e = 1,6 \cdot 10^{-19}$ Cb.

89. Ένα ισότοπο του θορίου εκπέμπει σωματίδια α με ενέργεια $E = 7,33$ MeV. Ένα τέτοιο σωματίδιο σε πόση απόσταση r μπορεί να πλησιάσει σε έναν πυρήνα χρυσού ($Z = 79$): $m_\alpha = 6,69 \cdot 10^{-27}$ kg. 1 MeV = $1,6 \cdot 10^{-13}$ Joule. $e = 1,6 \cdot 10^{-19}$ Cb

90. Σε ένα γραμμικό επιταχυντή τό ιόν, που έχει μάζα m και φορτίο q , ξεκινάει από την ηρεμία και κινείται μεταξύ του ηλεκτροδίου A και του πρώτου κυλίνδρου K_1 (σχ. 160), διαν στο διάκενο υπάρχει επιταχύνουσα τάση U_0 . α) Νά βρεθεί με πόση ταχύτητα v_1 μπαίνει τό ιόν μέσα στον κύλινδρο K_1 και έπειτα με πόση ταχύτητα v_2 μπαίνει μέσα στον κύλινδρο K_2 . β) Άν ό επιταχυντής αποτελείται από n κυλίνδρους, και τό ιόν επι-

ταχυνθεί n φορές, να βρεθεί εξίσωση που να δίνει στην τελική ταχύτητα v_n του ιόντος σε συνάρτηση με τον αριθμό n των κυλίνδρων.

91. Στο γραμμικό επιταχυντή του προηγούμενου προβλήματος 3 να βρεθεί: α) Ποιές σχέσεις δίνουν το μήκος l_1 και l_2 των δύο πρώτων κυλίνδρων K_1 και K_2 ; β) αν ο επιταχυντής αποτελείται από n κυλίνδρους, ποιά σχέση δίνει το μήκος l_n του n τάξεως κυλίνδρου K_n ;

92. Ένας γραμμικός επιταχυντής αποτελείται από $n = 16$ κυλίνδρους. Η εφαρμοζόμενη εναλλασσόμενη τάση έχει συχνότητα $\nu = 10$ MHz και πλάτος $U_0 = 10$ kV. Το ιόν είναι πρωτόνιο με μάζα $m_p = 1,67 \cdot 10^{-27}$ kg και φορτίο $q = 1,6 \cdot 10^{-19}$ Cb. Να βρεθεί η τελική ταχύτητα του ιόντος v_n και τα μήκη l_1, l_2, l_3 των τριών πρώτων κυλίνδρων.

93. Σε ένα κύκλοτρο το μαγνητικό πεδίο έχει μαγνητική επαγωγή $B = 1,2$ T και η διάμετρος του θαλάμου επιταχύνσεως είναι $2R = 1$ m. α) Πόση ταχύτητα έχει ένα δευτερόνιο, όταν τελειώσει το στάδιο της επιταχύνσεώς του; β) Πόση τάση θα έπρεπε να διαθέτουμε για να προσδώσουμε στο δευτερόνιο αυτή την ταχύτητα; $m_D = 3,3 \cdot 10^{-27}$ kg.

94. Ένα σωματίδιο έχει μάζα m , θετικό φορτίο q και κινούμενο μέσα στο κύκλοτρο διαγράφει τελική τροχιά που έχει ακτίνα R . Να δείχτει ότι το σωματίδιο αυτό μπορεί να αποκτήσει την ίδια κινητική ενέργεια, αν επιταχυνθεί από τάση U που δίνεται από την εξίσωση:

$$U = \frac{1}{2} \cdot \frac{q}{m} \cdot B^2 \cdot R^2$$

όπου B είναι η μαγνητική επαγωγή του μαγνητικού πεδίου.

Έφαρμογή. Το σωματίδιο είναι δευτερόνιο που έχει

$$q/m = 4,8 \cdot 10^7 \text{ Cb/kg. } R = 0,48 \text{ m. } B = 1,8 \text{ T.}$$

95. Από 1 gr ραδίου εκπέμπονται κάθε δευτερόλεπτο $n = 15,7 \cdot 10^{10}$ σωματίδια α.

1) Με πόση ένταση ρεύματος I_1 αντιστοιχεί αυτή η ροή των σωματιδίων α; 2) Ένα κανονικό κύκλοτρο δημιουργεί ροή θετικών ιόντων που αντιστοιχεί σε ένταση ρεύματος $I_2 = 100 \cdot 10^{-6}$ A. Πόση μάζα ραδίου απαιτείται, για να παραχθεί ρεύμα της ίδιας εντάσεως I_2 ;

96. Ένα κύκλοτρο έχει ακτίνα $R = 0,5$ m και το μαγνητικό πεδίο έχει μαγνητική επαγωγή $B = 0,75$ T. α) Πόση ενέργεια αποκτά ένα πρωτόνιο; β) Στα δύο ηλεκτρόδια εφαρμόζεται εναλλασσόμενη τάση που έχει πλάτος $U_0 = 20$ kV. Πόση ενέργεια αποκτά το πρωτόνιο κάθε φορά που περνάει μέσα από το μεταξύ των δύο ηλεκτροδίων διάκενο; Πόσες φορές το πρωτόνιο θα περάσει μέσα από το διάκενο ώπου να αποκτήσει την τελική ενέργειά του; γ) Πόση πρέπει να είναι η συχνότητα της εφαρμοζόμενης τάσεως; δ) Σε πόσο χρόνο το πρωτόνιο αποκτά την τελική ενέργειά του; $m_p = 1,67 \cdot 10^{-27}$ kg.

97. Σε ένα κύκλοτρο εισάγονται θετικά ιόντα που το καθένα έχει μάζα m και φορτίο q . Η επιταχύνουσα τάση είναι U και η μαγνητική επαγωγή του μαγνητικού πεδίου είναι B . Να βρεθεί εξίσωση που να δίνει την ακτίνα r της κυκλικής τροχιάς του ιόντος σε συνάρτηση με τα μεγέθη m, q, U, B και του αριθμού n των διαβάσεων του ιόντος από το μεταξύ των δύο ηλεκτροδίων διάκενο.

98. Σε ένα κύκλοτρο εισάγονται πρωτόνια με ασήμαντη αρχική ταχύτητα. Η εφαρμοζόμενη στά δύο ηλεκτρόδια εναλλασσόμενη τάση έχει πλάτος $U_0 = 5000$ V και η μα-

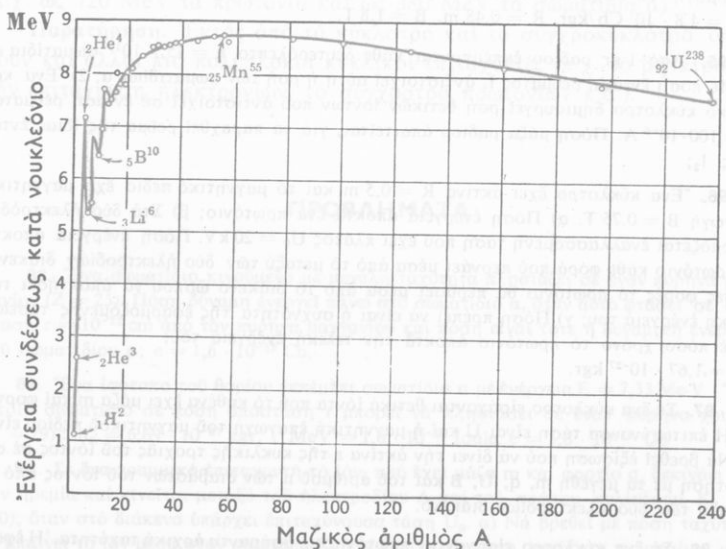
γνητική επαγωγή του μαγνητικού πεδίου είναι $B = 0,5 \text{ T}$. α) Νά υπολογιστεί ή άκτινα r τής τροχιάς του πρωτονίου σε συνάρτηση με τόν αριθμό n των διαβάσεων του πρωτονίου από τό διάκενο πού ύπάρχει μεταξύ των δύο ηλεκτροδίων. β) Νά υπολογιστούν οι άκτινες πού αντίστοιχουν στις τέσσερις πρώτες διαβάσεις του πρωτονίου από τό διάκενο καί οι αντίστοιχες ταχύτητες. $m_p = 1,67 \cdot 10^{-27} \text{ kg}$.

99. Σε ένα κύκλοτρο εισάγονται πρωτόνια με άσημαντη αρχική ταχύτητα. 'Η επιταχύνουσα τάση είναι $U = 5000 \text{ V}$ καί ή μαγνητική επαγωγή του μαγνητικού πεδίου είναι $B = 0,5 \text{ T}$. α) Πόσο χρόνο διαρκεί ή κίνηση του πρωτονίου μέσα σε κάθε ηλεκτρόδιο; β) 'Η άκτινα τής τελικής τροχιάς είναι $R = 40 \text{ cm}$. Πόση είναι τελικά ή ταχύτητα καί ή ενέργεια του πρωτονίου; γ) Πόσο χρόνο διαρκεί ή κίνηση του πρωτονίου μέσα στη συσκευή; δ) Πόση είναι ή συχνότητα τής τάσεως πού εφαρμόζεται στα ηλεκτρόδια; $m_p = 1,67 \cdot 10^{-27} \text{ kg}$.

Σύντηξη έλαφρών πυρήνων

75. Σύντηξη

'Η καμπύλη του σχήματος 147 δείχνει τήν ενέργεια συνδέσεως κατά νουκλεόνιο. Όσο μεγαλύτερη είναι αυτή ή ενέργεια, τόσο σταθερότερος είναι ό πυρήνας.

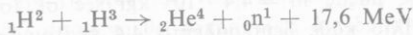


Σχ. 147. 'Η ενέργεια συνδέσεως κατά νουκλεόνιο μεταβάλλεται με τό μαζικό άριθμό A .

Από τους ελαφρούς πυρήνες ο πυρήνας ήλιου ${}^2\text{He}^4$ είναι εξαιρετικά σταθερός και χαρακτηρίζεται από μεγάλη ενέργεια συνδέσεως κατά νουκλεόνιο ίση με 7 MeV κατά νουκλεόνιο.

Σύντηξη ονομάζεται ή πυρηνική αντίδραση κατά την οποία ελαφροί πυρήνες συνδέονται μεταξύ τους, όποτε σχηματίζεται ένας βαρύτερος και σταθερότερος πυρήνας και ταυτόχρονα ελευθερώνεται ενέργεια.

Παραδείγματα συντήξεως είναι οι ακόλουθες πυρηνικές αντιδράσεις:



Συνθήκες για την πραγματοποίηση συντήξεως. Μεταξύ των δύο πυρήνων που πρόκειται να συνδεθούν εξασκεύεται ηλεκτροστατική άπωση. Έπομένως οι δύο πυρήνες πρέπει να έχουν τόση κινητική ενέργεια, ώστε να πλησιάσουν πολύ ο ένας με τον άλλο και να μπορέσουν τότε να δράσουν οι πυρηνικές δυνάμεις που θα συνδέσουν τους δύο πυρήνες.

Η κινητική ενέργεια που έχουν οι δύο προς σύντηξη πυρήνες οφείλεται σε πολύ ψηλές θερμοκρασίες που φτάνουν σε αρκετά εκατομμύρια βαθμούς. Γι' αυτό οι πυρηνικές αντιδράσεις συντήξεως ονομάζονται και θερμοπυρηνικές αντιδράσεις.

76*. Προέλευση της αστρικής ενέργειας

Υπολογίζεται ότι ο Ήλιος εκπέμπει ισχύ $P = 4 \cdot 10^{26} \text{ W}$. Επίσης βρέθηκε ότι στον Ήλιο καθώς και στους περισσότερους άπλανεις άστερες ο πιο συνηθισμένος πυρήνας είναι ο πυρήνας υδρογόνου, δηλαδή το πρωτόνιο.

Η θεωρητική έρευνα, για να ερμηνεύσει την προέλευση της αστρικής ενέργειας, δέχεται ότι η αστρική ενέργεια ελευθερώνεται, όταν συμβαίνει σύντηξη τεσσάρων πρωτονίων, H^1 , και σχηματίζεται ένας πυρήνας ήλιου, He^4 . Αυτή η αντίδραση γίνεται στον κεντρικό πυρήνα των αστερών, όπου επικρατεί θερμοκρασία περίπου 20 εκατομμυρίων βαθμών. Έξαιτίας αυτής της τεράστιας θερμοκρασίας τα πρωτόνια έχουν μεγάλη κινητική ενέργεια και τότε μπορούν να συμβούν θερμοπυρηνικές αντιδράσεις.

Ακόμη δέν ξέρουμε πώς ακριβώς συμβαίνουν αυτές οι αντιδράσεις, αλλά τό τελικό αποτέλεσμα τους είναι ή σύντηξη τεσσάρων πρωτονίων και ο σχηματισμός ενός πυρήνα ήλιου He^4 . Ωστε:

Η αστρική ενέργεια ελευθερώνεται, όταν σχηματίζεται ένας πυρήνας ήλιου He^4 από τη σύντηξη τεσσάρων πρωτονίων H^1 .



Τα δύο ποζιτρόνια προκύπτουν από τη μετατροπή δύο πρωτονίων σε νετρόνια.

Η αστρική ενέργεια προέρχεται από τη συνεχή μετατροπή αστρικής ύλης σε ισοδύναμη ενέργεια σύμφωνα με την εξίσωση $E = mc^2$. Έτσι βρίσκουμε ότι η ισχύς P που εκπέμπει ο Ήλιος προέρχεται από τη μετατροπή ήλιακής μάζας $m = 4,4 \cdot 10^9 \text{ kg/sec}$ σε ισοδύναμη ενέργεια, δηλαδή στον Ήλιο κάθε δευτερόλεπτο 4,4 εκατομμύρια τόνοι ήλιακής μάζας μετατρέπονται σε ενέργεια. Υπολογίζεται ότι ο Ήλιος έχει την ικανότητα να εκπέμπει ενέργεια με τό σημερινό ρυθμό επί 30 δισεκατομμύρια έτη.

177. Έφαρμογές της θερμοπυρηνικής αντίδρασης

α. Τό πλάσμα. Για να εκμεταλλευτούμε την ενέργεια που ελευθερώνεται κατά τη θερμοπυρηνική αντίδραση, πρέπει να πετύχουμε την έναρξη της πυρηνικής αντίδρασης και τη διατήρησή της. Οι ενέργειες, που πρέπει να αποκτήσουν οι δύο ελαφροί πυρήνες για να αρχίσει η θερμοπυρηνική αντίδραση, υπολογίζεται ότι απαιτούν θερμοκρασία πάνω από 10 εκατομμύρια βαθμούς. Αλλά σ' αυτή τη θερμοκρασία συμβαίνει πλήρης ιοντισμός των ατόμων και τό αέριο μεταβάλλεται σε ένα μίγμα από ελεύθερους πυρήνες και ελεύθερα ηλεκτρόνια. Αυτό τό μίγμα ηλεκτρικώς είναι ουδέτερο και ονομάζεται πλάσμα (plasma).

Τό πλάσμα θεωρείται ως μία τέταρτη κατάσταση της ύλης. Υπολογίζεται ότι τό 99 % της ύλης που υπάρχει στους άστρες και στους γαλαξίες είναι στην κατάσταση πλάσματος. Οι πυρήνες που υπάρχουν στο πλάσμα κινούνται με πολύ μεγάλες ταχύτητες και επομένως έχουν τόση κινητική ενέργεια, που μπορεί να προκαλέσει θερμοπυρηνική αντίδραση. Ωστε:

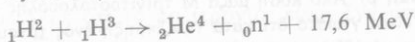
Γιά την έναρξη και τη διατήρηση της θερμοπυρηνικής αντίδρασης απαιτείται θερμοκρασία πολλών εκατομμυρίων βαθμών, στην όποία τό υλικό, που πρόκειται να υποβληθεί σε σύντηξη, έχει μεταβληθεί σε πλάσμα.

β. Μή ελεγχόμενη θερμοπυρηνική αντίδραση. Κατά την έκρηξη της βόμβας ουρανίου δημιουργείται θερμοκρασία περίπου 50 εκατομμυρίων

βαθμών και η πίεση φτάνει σε 10^{11} ατμόσφαιρες. Σ' αυτές τις συνθήκες είναι δυνατή η έναρξη της θερμοπυρηνικής αντίδρασης. Στη *θερμοπυρηνική βόμβα* ή και *βόμβα υδρογόνου*, εκτός από το υλικό που πρόκειται να υποβληθεί σε σύντηξη, υπάρχει και μία μικρή βόμβα ουρανίου που δημιουργεί τις απαραίτητες συνθήκες για την έναρξη της θερμοπυρηνικής αντίδρασης. Αυτή εξελίσσεται πολύ γρήγορα (μέσα σε χρονικό διάστημα της τάξεως του 10^{-6} sec), ώστε η ενέργεια ελευθερώνεται σχεδόν άκαριαϊά. Η έκρηξη της βόμβας είναι μία *μή ελεγχόμενη θερμοπυρηνική αντίδραση*.

Η θερμοπυρηνική βόμβα έχει πολύ μεγάλη ισχύ, είναι ένα τρομερό όπλο, μπορεί όμως να χρησιμοποιηθεί και για ειρηνικούς σκοπούς (π.χ. για έκβραχισμούς, για τη διάνοιξη νέων κόλπων στις ακτές κ.ά.).

Η πιο γρήγορα εξελισσόμενη θερμοπυρηνική αντίδραση είναι η εξής:



γ. Έλεγχόμενη θερμοπυρηνική αντίδραση. Η πραγματοποίηση στο εργαστήριο μιας *ελεγχόμενης θερμοπυρηνικής αντίδρασης* είναι πολύ δύσκολη και κυρίως για τους εξής λόγους:

1. Για την έναρξη και τη διατήρηση της αντίδρασης απαιτούνται πολύ *ψηλές θερμοκρασίες* που φτάνουν σε πολλά εκατομμύρια βαθμούς.
2. Το πλάσμα πρέπει να δημιουργηθεί μέσα στο κενό, να έχει *μεγάλη πυκνότητα* και να μη έρχεται σε επαφή με τα τοιχώματα του δοχείου που μέσα σ' αυτό υπάρχει το πλάσμα.

Η θεωρητική και η πειραματική έρευνα προσπαθεί να πετύχει την ελεγχόμενη θερμοπυρηνική αντίδραση, ή όποια ελπίζουμε ότι θα λύσει οριστικά το *ενεργειακό πρόβλημα* της ανθρωπότητας.

ΠΡΟΒΛΗΜΑΤΑ

100. Από τη σύντηξη τεσσάρων πρωτονίων, ${}_1\text{H}^1$, σχηματίζεται ένας πυρήνας ήλιου, ${}_2\text{He}^4$. α) Να γραφεί η πυρηνική αντίδραση. β) Πόση ενέργεια σε MeV ελευθερώνεται όταν σχηματίζεται ένας πυρήνας ήλιου; γ) Πόση ενέργεια σε Joule ελευθερώνεται όταν σχηματίζεται 1 gr ήλιου;

Ατομικές μάζες σε amu :

$$\text{H}^1 = 1,007\ 825. \text{He}^4 = 4,002\ 604. N_A = 6 \cdot 10^{23} \text{ άτομα/gr - atom. } 1 \text{ amu} = 931 \text{ MeV.}$$

$$1 \text{ MeV} = 1,6 \cdot 10^{-13} \text{ Joule.}$$

101. Από τη σύντηξη δύο δευτερονίων, ${}_1\text{H}^2$, σχηματίζεται ένας πυρήνας ήλιου, ${}_2\text{He}^4$. α) Να γραφεί η πυρηνική αντίδραση. β) Πόση ενέργεια ελευθερώνεται σε MeV όταν σχηματίζεται ένας πυρήνας ήλιου; γ) Πόση ενέργεια σε Joule ελευθερώνεται όταν σχηματίζεται 1 gr ήλιου;

Ατομικές μάζες σε amu :

$$H^2 = 2,0141. \quad He^4 = 4,0026. \quad N_A = 6 \cdot 10^{23} \text{ άτομα/gr-atom.}$$

102. Όταν από τη σύντηξη τεσσάρων πυρήνων υδρογόνου σχηματίζεται ένας πυρήνας ήλιου, τότε τα 7/1000 της μάζας του υδρογόνου μετατρέπονται σε Ισοδύναμη ενέργεια. Πόση ενέργεια σε κιλοβατώρα μπορεί να έχουμε από 1 kg υδρογόνου που το υποβάλλουμε σε σύντηξη;

103. Να βρεθεί η ενέργεια συνδέσεως του πυρήνα ήλιου, ${}_2He^4$, και να υπολογιστεί σε κιλοβατώρα η ενέργεια που ελευθερώνεται, όταν σχηματίζεται από τα συστατικά του 1 kg ήλιου.

Ατομικές μάζες σε amu :

$$m_p = 1,007825. \quad m_n = 1,008665. \quad He^4 = 4,002604. \quad N_A = 6 \cdot 10^{23} \text{ άτομα/gr-atom.}$$

104. Κατά τη δοκιμή μιάς θερμοπυρηνικής αντιδράσεως (βόμβα υδρογόνου) βρέθηκε ότι μάζα $m = 100$ gr μετατρέπεται σε Ισοδύναμη ενέργεια. α) Πόση είναι σε kcal η ενέργεια που ελευθερώνεται; β) Από πόση μάζα M τρινιτροτολουόλης μπορεί να προκύψει αυτή η ενέργεια, αν είναι γνωστό ότι κατά την εκρηξη ενός τόνου τρινιτροτολουόλης εκλύεται ενέργεια ίση με 10^6 kcal; $J = 4,2 \cdot 10^3$ Joule/kcal.

105. Σε μάζα υδρογόνου ίση με 1 gr περιέχονται $N_H = 6 \cdot 10^{23}$ άτομα υδρογόνου, ενώ σε μάζα 1 gr ουρανίου ${}_{235}U$, περιέχονται $N_U = 1,8 \cdot 10^{19}$ άτομα ουρανίου. Κατά τη σύντηξη 4 ατομικών πυρήνων υδρογόνου για το σχηματισμό ενός πυρήνα ήλιου He^4 , ελευθερώνεται ενέργεια ίση με 28 MeV. Ένω κατά τη διάσπαση ενός πυρήνα ουρανίου ${}_{235}U$ ελευθερώνεται ενέργεια ίση με 200 MeV. Να βρεθεί ο λόγος των ενεργειών E_H και E_U που ελευθερώνονται από ίση μάζα υδρογόνου και ουρανίου κατά τις αντίστοιχες πυρηνικές αντιδράσεις.

106. Ο Ήλιος εκπέμπει ισχύ $P = 3,8 \cdot 10^{26}$ W που προέρχεται από τη σύντηξη πρωτονίων για το σχηματισμό πυρήνων ήλιου He^4 . α) Πόση ηλιακή μάζα μετατρέπεται σε ενέργεια κατά δευτερόλεπτο; β) Η μάζα του Ήλιου είναι ίση με $M = 1,99 \cdot 10^{30}$ kg. Έπειτα από πόσο χρόνο από σήμερα η μάζα του Ήλιου θα έχει ελαττωθεί κατά το ένα χιλιοστό της;

107. Είναι δυνατή η ακόλουθη πυρηνική αντίδραση (σύντηξη) :



Στό νερό βρίσκεται το δευτέριο (H^2) σε αναλογία 0,0156%. Για την εκμετάλλευση της παραπάνω πυρηνικής αντιδράσεως χρησιμοποιείται το νερό μιάς λίμνης. Η μάζα του νερού είναι ίση με $m = 26 \cdot 10^{18}$ kg. Πόση ενέργεια σε kWh θα λάβουμε; $N_A = 6,02 \cdot 10^{23}$ μόρια/gr-mol.

108. Να βρεθεί σε Joule και kcal η ενέργεια που ελευθερώνεται από ένα γραμμάτιο λιθίου ${}_{7}Li^7$, κατά την ακόλουθη πυρηνική αντίδραση (σύντηξη) :



Ατομικές μάζες σε amu :

$$H^1 = 1,007825. \quad Li^7 = 7,016004. \quad He^4 = 4,002604 \quad N_A = 6 \cdot 10^{23} \text{ άτομα/gr-atom}$$

$$J = 4,2 \cdot 10^3 \text{ Joule/kcal. } 1 \text{ amu} = 1,49 \cdot 10^{-10} \text{ Joule.}$$

Στοιχειώδη σωματίδια

78. Στοιχειώδη σωματίδια και αντίσωματίδια

Όπως ξέρουμε μέσα στο άτομο υπάρχουν τρία στοιχειώδη σωματίδια: το ηλεκτρόνιο e^- , το πρωτόνιο p και το νετρόνιο n .

Σε όρισμένες πυρηνικές αντιδράσεις εμφανίζονται άλλα τρία στοιχειώδη σωματίδια:

τό ποζιτρόνιο e^+ , τό νεutrίνο ν και τό αντίνεutrίνο $\bar{\nu}$.

Τό ποζιτρόνιο είναι ένα ηλεκτρόνιο, αλλά με θετικό φορτίο, δηλαδή είναι ένα αντιηλεκτρόνιο. Λέμε ότι τό ποζιτρόνιο είναι ένα αντίσωματίδιο. Επίσης τό αντίνεutrίνο $\bar{\nu}$ είναι αντίσωματίδιο.

Η πειραματική έρευνα απέδειξε ότι σε κάθε σωματίδιο αντιστοιχεί ένα αντίσωματίδιο. Έτσι βρέθηκε ότι τό πρωτόνιο p έχει αντίσωματίδιο τό αντιπρωτόνιο \bar{p} , πού είναι ένα πρωτόνιο, αλλά με αρνητικό φορτίο.

Αντισωματίδια έχουν όχι μόνο τά σωματίδια πού έχουν ηλεκτρικό φορτίο, αλλά και τά ουδέτερα σωματίδια. Έτσι τό νετρόνιο n έχει αντίσωματίδιο τό αντίνεutrίνο \bar{n} πού διαφέρει από τό νετρόνιο ως προς τή μαγνητική ροπή.

Ωστε πειραματικά βρέθηκε ότι:

I. Όλα τά σωματίδια έχουν αντίσωματίδια.

II. Τά αντίσωματίδια τών φορτισμένων σωματιδίων διαφέρουν από τά αντίστοιχα σωματίδια ως προς τό σημείο τού φορτίου, ενώ τά αντίσωματίδια τών ουδέτερων σωματιδίων διαφέρουν από τά αντίστοιχα σωματίδια ως προς τή μαγνητική ροπή.

79. Μεσόνια

Όνομάζονται μεσόνια (mesons, από τήν ελληνική λέξη μέσος) άσταθή σωματίδια πού ή μάζα τους είναι μεγαλύτερη από τή μάζα τού ηλεκτρονίου, αλλά μικρότερη από τή μάζα τών νουκλεονίων.

α. Μιόνια ή μ μεσόνια. Τά μιόνια ή μ μεσόνια (σύμβολο μ) είναι σωματίδια πού έχουν φορτίο ίσο με ένα στοιχειώδες ηλεκτρικό φορτίο, θετικό ή αρνητικό (μ^+ , μ^- μιόνιο). Τό μ^+ και τό μ^- μιόνιο είναι σωματίδια ανάλογα με ποζιτρόνιο (e^+) και τό ηλεκτρόνιο (e^-) με τή διαφορά ότι έχουν μάζα 207 φορές μεγαλύτερη από τή μάζα (m_e) τού ηλεκτρονίου. Τά μιόνια είναι άσταθή σωματίδια. Τό μ^+ και τό μ^- μιόνιο διασπώνται

άντιστοιχα σέ ποζιτρόνιο (e^+) καί ηλεκτρόνιο (e^-). Κατά τή διάσπαση τοῦ μ^+ καί τοῦ μ^- μιονίου σχηματίζονται καί δύο νέα σωματίδια πού ἀντίστοιχα ὀνομάζονται μ^- ἀντινετρίνο $\bar{\nu}_\mu$ καί μ^- νετρίνο ν_μ .

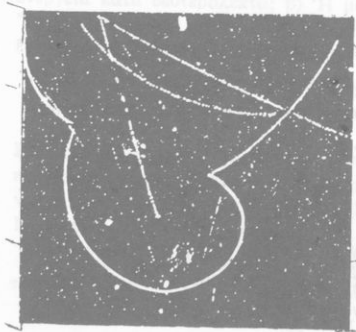
Ὡστε ὑπάρχουν δύο τύποι νετρίνων καί ἀντινετρίνων, ἐκεῖνα πού συνδέονται μέ τή γένεση τοῦ ποζιτρονίου ἢ τοῦ ηλεκτρονίου (ν_e καί $\bar{\nu}_e$) καί ἐκεῖνα πού συνδέονται μέ τή διάσπαση τῶν μιονίων (ν_μ καί $\bar{\nu}_\mu$). Ἔτσι ἔχουμε ὅτι:

- τό νετρίνο ν_e συνοδεύει τή γένεση τοῦ ποζιτρονίου·
- τό ἀντινετρίνο $\bar{\nu}_e$ συνοδεύει τή γένεση τοῦ ηλεκτρονίου·
- τό μ^- ἀντινετρίνο $\bar{\nu}_\mu$ συνοδεύει τή διάσπαση τοῦ μ^+ μιονίου·
- τό μ^- νετρίνο ν_μ συνοδεύει τή διάσπαση τοῦ μ^- μιονίου.

Ἡ παραγωγή τῶν νετρίνων καί ἀντινετρίνων φαίνεται στόν παρακάτω πίνακα.

Νετρίνα καί ἀντινετρίνα

p	\rightarrow	n	$+$	e^+	$+$	ν_e
n	\rightarrow	p	$+$	e^-	$+$	$\bar{\nu}_e$
μ^+	\rightarrow	e^+	$+$	ν_e	$+$	$\bar{\nu}_\mu$
μ^-	\rightarrow	e^-	$+$	$\bar{\nu}_e$	$+$	ν_μ



Σχ. 148. Φωτογραφία πού πάρθηκε μέ θάλαμο Glaser. Διακρίνονται ἡ διάσπαση ἑνός π^+ πιόνιου σέ μ^+ μιονίου καί ἡ διάσπαση τοῦ μ^+ μιονίου σέ ποζιτρόνιο e^+ . Ἡ καμπύλωση τῶν τροχιῶν ὀφείλεται στό μαγνητικό πεδίο.

β. Πιόνια ἢ π μεσόνια. Τά πιόνια ἢ π μεσόνια (σύμβολο π) εἶναι σωματίδια πού ἔχουν φορτίο ἴσο μέ ἓνα στοιχειῶδες ηλεκτρικό φορτίο, θετικό ἢ ἀρνητικό (π^+ , π^- πιόνιο) ἢ εἶναι οὐδέτερα (π^0 πιόνιο). Τά φορτισμένα πιόνια (π^+ , π^-) ἔχουν μάζα ἴση μέ 273 m_e , ἐνῶ τό οὐδέτερο πιόνιο (π^0) ἔχει μάζα ἴση μέ 264 m_e .

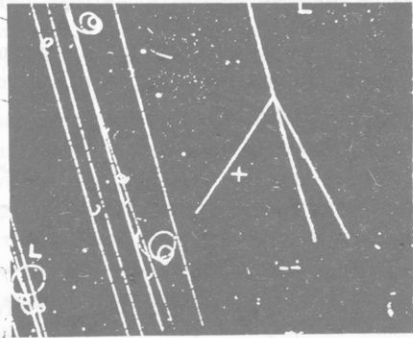
Εἶναι ἀσταθῆ σωματίδια. Τά φορτισμένα π^+ καί π^- πιόνια διασπῶνται ἀντίστοιχα σέ μ^+ καί μ^- μιονία. Ἀντίθετα τό οὐδέτερο π^0 πιόνιο διασπᾶται σέ δύο φωτόνια γ .

Στό σχῆμα 148 φαίνεται ἡ διάσπαση ἑνός πιονίου.

γ. Καόνια ἢ K μεσόνια. Τά καόνια ἢ K μεσόνια (σύμβολο K) εἶναι σωματίδια πού ἔχουν φορτίο ἴσο μέ ἓνα στοιχειῶδες ηλεκτρικό φορτίο, θετικό ἢ ἀρνητικό (K^+ , K^- καόνιο) ἢ εἶναι οὐδέτερα (K^0 καόνιο). Τά φορτισμένα καόνια (K^+ καί K^-) ἔχουν μάζα ἴση μέ 966 m_e , ἐνῶ τό οὐδέτερο καόνιο (K^0) ἔχει μάζα

ιση με 974 me. Είναι άσταθή σωματίδια και διασπώνται κατά διάφορους τρόπους δίνοντας πιόνια, μίονια, ποζιτρόνια και ηλεκτρόνια (σχ. 149).

δ. Τό η⁰ μεσόνιο. Στά μεσόνια υπάρχει και τό η⁰ μεσόνιο (σύμβολο η) πού είναι σωματίδιο ουδέτερο, έχει μάζα 1074 me και διασπάζεται σε δύο φωτόνια γ.



80. Ύπερόνια

Τά ύπερόνια είναι σωματίδια πού ή μάζα τους είναι μεγαλύτερη από τή μάζα του πρωτονίου και έχουν φορτίο ίσο με ένα στοιχειώδες ηλεκτρικό φορτίο ή είναι ουδέτερα. Είναι άσταθή σωματίδια και από τή διάσπασή τους προκύπτουν γενικά ένα νουκλεόνιο (πρωτόνιο ή νετρόνιο) και ένα πιόνιο (π). Τά ύπερόνια αποτελούν τής έξης τέσσερις ομάδες:

Σχ. 149 Φωτογραφία πού πάρθηκε μέ θάλαμο Glaser.

Διακρίνεται ή διάσπαση ενός K μεσονίου σε τρία π μεσόνια.

Τό K μεσόνιο σχηματίστηκε στό σύγχροτρο πρωτονίων.

Λ ύπερόνια (σύμβολο Λ)

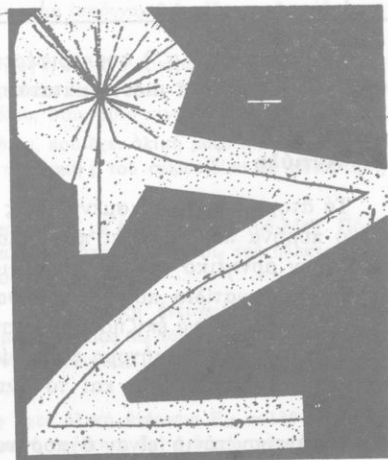
Ξ ύπερόνια (σύμβολο Ξ)

Σ ύπερόνια (σύμβολο Σ)

Ω ύπερόνια (σύμβολο Ω)

Σχ. 150

Ένα κοσμικό σωματίδιο (πρωτόνιο) συγκρούεται μέ έναν πυρήνα του γαλακτώματος και σχηματίζεται πλήθος από θραύσματα του πυρήνα. (ό άστερας πάνω άριστερά). Ένα πιόνιο (π) αφού διατρέξει μεγάλη τροχιά διασπάζεται μέ μίονιο (μ) και νετρίνο (πάνω δεξιά γωνία). Τό μίονιο έπειτα από μακριά διαδρομή διασπάζεται (κάτω άριστερά γωνία) σε ηλεκτρόνιο πού κινείται πρós τά δεξιά.



81. Κατάταξη τών σωματιδίων

Τά γνωστά σωματίδια καί αντισωματίδια κατατάσσονται σέ τρείς κατηγορίες τά λεπτόνια, τά μεσόνια καί τά βαρύνια όπως φαίνεται στόν παρακάτω πίνακα.

Κατάταξη τών στοιχειωδών σωματιδίων

Κατηγορία	Σωματίδια	
Λεπτόνια	νεutrino ν_e αντινεutrino $\bar{\nu}_e$ μ νεutrino ν_μ , μ αντινεutrino $\bar{\nu}_\mu$ ήλεκτρονιο e^- , ποζιτρόνιο e^+ μύονια (μ^+ , μ^-)	
Μεσόνια	πίονια (π^+ , π^- , π^0) καόνια (K^+ , K^- , K^0) η μεσόνιο (η^0)	
Βαρύνια	Νουκλεόνια	πρωτόνιο p, αντιπρωτόνιο \bar{p} νεutrónιο n, αντινεutrónιο \bar{n}
	Ύπερónια	ύπερónια Λ , ύπερónια Σ ύπερónια Ξ , ύπερónια Ω

Τό μύονιο (μ^+ , μ^-) συμπεριφέρεται σάν ένα άσταθές «βαρύ ήλεκτρόνιο» καί γι' αυτό τά μύονια κατατάσσονται στά λεπτόνια.

82. Αντιύλη

Τά άτομα τής συνηθισμένης ύλης άποτελοϋνται από ένα θετικά φορτισμένο πυρήνα πού περιέχει πρωτόνια καί νεutrónια, καί από ήλεκτρόνια πού έχουν άρνητικό φορτίο καί περιφέρονται γύρω από τόν πυρήνα. Τό πρώτο αντισωματίδιο πού ανακαλύψαμε είναι τό ποζιτρόνιο, πού, όπως είδαμε, δέν μπορεί νά επιζήσει μέσα στό δικό μας κόσμο πού είναι γεμάτος από ήλεκτρόνια καί γρήγορα εξαφανίζεται. Τό ίδιο συμβαίνει μέ τό αντιπρωτόνιο. Τό ποζιτρόνιο καί τό αντιπρωτόνιο είναι δύο σωματίδια τής αντιύλης.

Τό αντιπρωτόνιο είναι ό πυρήνας του άτόμου ύδρογόνου, αλλά μέ

ένα αρνητικό στοιχειώδες ηλεκτρικό φορτίο. Άς υποθέσουμε ότι γύρω από τό αντιπρωτόνιο περιφέρεται ένα ποζιτρόνιο, όπως στο άτομο υδρογόνου τό ηλεκτρόνιο περιφέρεται γύρω από τό πρωτόνιο. Αυτό τό άτομο πού φανταστήκαμε είναι ένα άτομο αντιυδρογόνου στό όποιο ισχύουν όλοι οί γνωστοί μας νόμοι. Άλλά στό δικό μας κόσμο αυτό τό άτομο δέν μπορεί νά επιζήσει καί άμέσως θά εξαφανιστεί. Είναι όμως πιθανό άπομακρυσμένες περιοχές του Σύμπαντος νά άποτελούνται από αντίτυλη. Άς υποθέσουμε ότι σήμερα δεχόμαστε τίς άκτινοβολίες πού εκπέμπουν αυτά τά άπομακρυσμένα άτομα αντιυδρογόνου. Ποτέ δέν θά μπορούσαμε νά άνακαλύψουμε ότι αυτές οί άκτινοβολίες προέρχονται από άτομα αντιυδρογόνου, γιατί καί σ' αυτά τά άτομα τά πηδήματα των ποζιτρονίων προκαλούν έκπομπή φωτονίων (hν) σύμφωνα μέ τή γνωστή συνθήκη του Bohr.

ΠΡΟΒΛΗΜΑΤΑ

109. Ένα σωματίδιο έχει μάζα M κινείται μέ ταχύτητα V καί συγκρούεται κεντρικά μέ άλλο σωματίδιο πού έχει μάζα m καί βρίσκεται σέ ήρεμία. Νά δείχτει ότι, άν τό δεύτερο σωματίδιο μετά τήν κρούση έχει ταχύτητα v κατά τή διεύθυνση καί τή φορά τής ταχύτητας V , τότε ισχύει ή εξίσωση :

$$v = \frac{2M}{M + m} V$$

110. Ένα σωματίδιο πού έχει μάζα ήρεμίας m_0 καί κινείται μέ ταχύτητα v , έχει μάζα $m = m_0 / \sqrt{1 - \beta^2}$, όπου $\beta = v/c$. Μέ πόση ενέργεια ισοδυναμεί ή αύξηση τής μάζας του σωματιδίου;

111. Σύμφωνα μέ τή θεωρία τής σχετικότητας ή όλική ενέργεια $E_{ολ}$ ενός σωματιδίου πού έχει όλική μάζα m , δίνεται από τήν εξίσωση $E_{ολ} = mc^2$. Νά βρεθει εξίσωση πού νά δίνει τήν κινητική ενέργεια του σωματιδίου, όταν αυτό κινείται μέ ταχύτητα v .

112. Η όλική ενέργεια $E_{ολ}$ ενός σωματιδίου, πού έχει όλική μάζα m , είναι $E_{ολ} = mc^2$. Νά βρεθει εξίσωση πού νά δίνει τήν όρμη p του σωματιδίου σέ συνάρτηση μέ τήν όλική ενεργεία του $E_{ολ}$.

113. Η μάζα ήρεμίας m_{μ} ενός μιονίου ισοδυναμεί μέ ενέργεια $E = 106 \text{ MeV}$. Πόση είναι ή μάζα m_{μ} καί πόσες φορές είναι μεγαλύτερη από τή μάζα m_e του ηλεκτρονίου; $m_e = 9,1 \cdot 10^{-31} \text{ kg}$. $1 \text{ MeV} = 1,6 \cdot 10^{-13} \text{ Joule}$.

114. Ένα θετικά φορτισμένο σωματίδιο έχει κινητική ενέργεια $E_{κιν} = 62 \text{ MeV}$ καί όρμη $p = 335 \text{ MeV/c}$. α) Πόση είναι ή μάζα ήρεμίας m_0 του σωματιδίου, άν είναι γνωστό ότι ή μάζα ήρεμίας m_e του ηλεκτρονίου ισοδυναμεί μέ ενέργεια $E_e = 0,5 \text{ MeV}$; Πόση είναι ή ταχύτητα v του σωματιδίου;

115. Ένα θετικά φορτισμένο σωματίδιο έχει όλική ενέργεια $E_{ολ} = 135 \text{ MeV}$ καί κινητική ενέργεια $E_{κιν} = 10 \text{ MeV}$. Πόση είναι ή ταχύτητα καί ή όρμη του σωματιδίου;

116. Ένα σωματίδιο έχει μάζα ήρεμίας m_0 και όρμη p . Νά βρεθεί εξίσωση που νά δίνει τήν ταχύτητα v του σωματιδίου σέ συνάρτηση μέ τά μεγέθη m_0 καί p .

117. Όταν ένα πρωτόνιο συλλαμβάνει ένα αρνητικό πόνιο π^- , τότε σχηματίζεται ένα νετρόνιο n καί ένα φωτόνιο $h\nu$. Πόση είναι ή ενέργεια του νετρονίου;

$$m_n = 939 \text{ MeV}, \quad m_p = 938 \text{ MeV}, \quad m_\pi = 273 m_e, \quad m_e = 0,51 \text{ MeV}.$$

118. Στο άτομο υδρογόνου ή άκτινα των κβαντικών τροχιών του ηλεκτρονίου καί ή ενέργειά του πάνω στις κβαντικές τροχιές δίνονται από τις εξισώσεις :

$$r_n = 4\pi\epsilon_0 \cdot \frac{n^2 h}{4\pi^2 m_e e^2} \quad (1)$$

$$E_n = -\frac{1}{4\pi\epsilon_0} \cdot \frac{e^2}{2r_n} \quad (2)$$

Τό μ^- μόνιο είναι ανάλογο μέ τό ηλεκτρόνιο μέ τή διαφορά ότι ή μάζα του είναι $m_\mu = 207 m_e$ όπου m_e είναι ή μάζα του ηλεκτρονίου. α) Άν στό άτομο υδρογόνου τό ηλεκτρόνιο αντικατασταθεί μέ ένα μ^- μόνιο, νά βρεθεί ή άκτινα $r_{1\mu}$ τής θεμελιώδους τροχιάς γι' αυτό τό άτομο υδρογόνου. β) Νά συγκριθοῦν οί ενέργειες του μ^- μιονίου πάνω στις κβαντικές τροχιές μέ τις αντίστοιχες του κανονικού άτόμου υδρογόνου. γ) Πόση είναι ή συχνότητα καί τό μήκος κύματος του φωτονίου που εκπέμπεται όταν τό μ^- μόνιο πέφτει από τήν κβαντική τροχιά $n = 2$ στήν τροχιά $n = 1$; Σέ ποιά κατηγορία ηλεκτρομαγνητικής άκτινοβολίας άνήκει αυτό τό φωτόνιο; Δίνονται γιά τό υδρογόνο :

$$r_1 = 0,529 \cdot 10^{-10} \text{ m}, \quad E_1 = -13,53 \text{ eV}, \quad E_2 = -3,38 \text{ eV}, \quad h = 6,6 \cdot 10^{-34} \text{ Joule} \cdot \text{sec}.$$

119. Τό ουδέτερο πόνιο π^0 έχει μάζα ήρεμίας $m_\pi = 264 m_e$ καί διασπάται σέ δύο φωτόνια γ . α) Πόση ενέργεια σέ MeV μεταφέρει τό καθένα από αυτά τά φωτόνια καί πόσο είναι τό μήκος κύματος τής άκτινοβολίας; β) Νά συγκριθεί ή ενέργεια του παραπάνω φωτονίου μέ τήν ενέργεια ενός φωτονίου τής άκρας ορατής ιώδους άκτινοβολίας που έχει μήκος κύματος $\lambda = 0,4 \cdot 10^{-6} \text{ m}$.

Μάζα ήρεμίας ηλεκτρονίου $m_e = 0,5 \text{ MeV}$.

$$1 \text{ MeV} = 1,6 \cdot 10^{-13} \text{ Joule} \quad h = 6,6 \cdot 10^{-34} \text{ Joule} \cdot \text{sec}.$$

120. Τό φωτόνιο γ που προκύπτει από τή διάσπαση του ουδέτερου πιονίου π^0 πέφτει πάνω σέ μία πλάκα μαλύβδου που βρίσκεται μέσα στό θάλαμο Wilson. Τότε σχηματίζεται ένα ζευγος από ετερώνυμα ηλεκτρόνια (ποζιτρόνιο + ηλεκτρόνιο) που οί τροχιές τους γίνονται ορατές. Άν ή ενέργεια του φωτονίου γ είναι ίση μέ 2,65 MeV, πόση ταχύτητα έχει τό καθένα από τά δύο σωματίδια;

Μάζα ήρεμίας ηλεκτρονίου $m_0 = 0,51 \text{ MeV}$.

121. Νά βρεθεί πόση ενέργεια σέ MeV καί Joule προκύπτει από τήν εξαθλωση ενός πρωτονίου καί ενός αντιπρωτονίου.

$$1 \text{ amu} = 931 \text{ MeV}. \quad \text{Μάζα πρωτονίου ή αντιπρωτονίου } m_p = 1,007 \text{ 825}$$

122. Πόση ενέργεια σέ MeV καί Joule προκύπτει από τήν εξαθλωση ενός άτόμου ήλιου He^4 καί ενός άτόμου αντιήλιου;

$$\text{Άτομική μάζα ήλιου } m_{\text{He}} = 4,002 \text{ 604 amu}. \quad 1 \text{ amu} = 931 \text{ MeV}.$$

123. Γιά τήν κινητική ενέργεια ενός σωματιδίου ως ποιά τιμή τής ταχύτητάς του μπορούμε νά χρησιμοποιήσουμε τήν εξίσωση τής Κλασσικής Μηχανικής, αν θέλουμε τό λάθος μας νά φτάνει στό 10 % τής κινητικής ενέργειας που καθορίζει ή Σχετικιστική Μηχανική;

Ἡ εἰκόνα τοῦ ἐξώφυλλου

Φωτογραφία πού πάρθηκε μέ θάλαμο Wilson.

Στό σύγχροτρο δημιουργήθηκαν ἀκτίνες Röntgen πολύ ψηλῆς ἐνέργειας.

Ἀπό τήν ὑλοποίηση τῆς ἐνέργειας πολλῶν φωτονίων Röntgen γεννήθηκαν πολλά ζεύγη ἑτερώνυμων ἠλεκτρονίων (ποζιτρόνιο - ἠλεκτρόνιο). Διακρίνονται στή φωτογραφία πολλά ζεύγη ἑτερώνυμων ἠλεκτρονίων.

Ἐνα ἠλεκτρόνιο μέ ἐνέργεια 30 MeV ἐνός τέτοιου ζεύγους μέ τήν ἐπίδραση τοῦ μαγνητικοῦ πεδίου ἐκτελεῖ πάνω ἀπό τριάντα στροφές.

ΠΙΝΑΚΑΣ 1

Φυσικές σταθερές

Ταχύτητα φωτός στο κενό	c	$3 \cdot 10^8$ m/sec
Έπιτάχυνση βαρύτητας (45° , 0 m)	g	9,80665 m/sec ²
Σταθερή Faraday	F	96490 Cb/γραμμοϊσοδύναμο
Σταθερή Planck	h	$6,6256 \cdot 10^{-34}$ Joule·sec
Σταθερή Stefan - Boltzan	σ	$5,669 \cdot 10^{-8}$ W·m ⁻² ·grad ⁻⁴
Σταθερή μετατοπίσεως	b	$0,2897 \cdot 10^{-2}$ m·grad
Σταθερή Rydberg	R _H	$10974 \cdot 10^3 \cdot m^{-1}$
Στοιχειώδες ηλεκτρικό φορτίο	e	$1,602 \cdot 10^{-19}$ Cb
Διηλεκτρική σταθερή κενού	ϵ_0	$8,85 \cdot 10^{-12}$ Cb ² /(N· m ²)
Μαγνητική διαπερατότητα κενού	μ_0	$4\pi \cdot 10^{-7}$ N/A ²
Ήλεκτρονιοβόλτ	1 eV	$1,602 \cdot 10^{-19}$ Joule
Μονάδα ατομικής μάζας	1 amu	$1,6604 \cdot 10^{-27}$ kgr
Ή ακτίνα θεμελιώδους τροχιάς	r ₁	$0,529 \cdot 10^{-10}$ m

120. Η ύλη μπορεί να απορροφήσει ενέργεια σε MeV και να εκπέμπει ενέργεια από την εξουχίωση ενός πρωτονίου και ενός νετρονίου.

1 amu = 931 MeV. Μόδα κενώνων ξ αντιπροσώπευσε $\xi = 1,00727$.

122. Πόση ενέργεια σε MeV και J εκλύεται από την εξουχίωση ενός ατόμου He^4 και ενός ατόμου άνθρακα.

Ατομική μάζα υδρογ. = 1,00727 amu. 1 amu = 931 MeV.

123. Για την κινητική ενέργεια ενός σωματίου σε κατάσταση ηρεμίας της ταχύτητας να υπολογιστεί να χρησιμοποιήσουμε την εξίσωση της Κλασικής Μηχανικής, αν θέλουμε να λάβουμε ως φαινόμενο 10% της κινητικής ενέργειας που καθορίζεται από την Ειδική Θεωρία.

ΠΙΝΑΚΑΣ 2

Μάζες ήρεμίας στοιχειωδών σωματιδίων

Μονάδα	E	amu	kg	MeV
1 gr	1	$6,02 \cdot 10^{23}$		
1 amu	$1,66 \cdot 10^{-24}$	1		
1 erg	$1,11 \cdot 10^{-5}$		$1,07 \cdot 10^{-8}$	6,71 · 10 ⁻⁶
1 MeV	$1,78 \cdot 10^{-6}$		$1,07 \cdot 10^{-3}$	1
1 Joule	$1,11 \cdot 10^{10}$			6,71 · 10 ¹⁰
1 cal	$5,65 \cdot 10^{14}$			3,51 · 10 ¹⁴
1 kWh	$4 \cdot 10^6$			$2,41 \cdot 10^{10}$

0,000 548 amu	Ήλεκτρονίο m_e	$9,109 \cdot 10^{-31}$ kg	0,511 MeV
1,007 825 amu	Πρωτόνιο m_p	$1,6725 \cdot 10^{-27}$ kg	938,26 MeV
1,008 665 amu	Νετρόνιο m_n	$1,6748 \cdot 10^{-27}$ kg	939,55 MeV

ΠΙΝΑΚΑΣ 3

Εξισώσεις Κβαντομηχανής

Ενέργεια φωτονίου	$E_{\text{φωτ}} = h\nu$
Μάζα φωτονίου	$m_{\text{φωτ}} = \frac{h\nu}{c^2} = \frac{h}{c\lambda}$
Όρμη φωτονίου	$p_{\text{φωτ}} = \frac{h\nu}{c} = \frac{h}{\lambda}$
Μήκος κύματος λ ύλικου κύματος σωματιδίου	$\lambda = \frac{h}{mv}$
Ενέργεια σωματιδίου	$E = h\nu$
Όρμη σωματιδίου	$p = \frac{h}{\lambda}$
Αρχή άβεβαιότητας	$\Delta x \cdot \Delta p \geq h$

ΠΙΝΑΚΑΣ 4

Μετατροπές μονάδων ενέργειας

Μονάδα	gr	amu	erg	MeV	Joule	cal
1 gr	$\boxed{1}$	$6,02 \cdot 10^{23}$	$9 \cdot 10^{20}$	$5,62 \cdot 10^{26}$	$\cdot 10^{13}$	$2,15 \cdot 10^{13}$
1 amu	$1,66 \cdot 10^{-24}$	$\boxed{1}$	$1,49 \cdot 10^{-3}$	931	$1,49 \cdot 10^{-10}$	$3,56 \cdot 10^{-11}$
1 erg	$1,11 \cdot 10^{-21}$	671	$\boxed{1}$	$6,24 \cdot 10^5$	10^{-7}	$2,59 \cdot 10^{-8}$
1 MeV	$1,78 \cdot 10^{-27}$	$1,07 \cdot 10^{-3}$	$1,60 \cdot 10^{-6}$	$\boxed{1}$	$1,60 \cdot 10^{-13}$	$3,83 \cdot 10^{-14}$
1 Joule	$1,11 \cdot 10^{-14}$	$6,71 \cdot 10^9$	10^7	$6,24 \cdot 10^{12}$	$\boxed{1}$	0,239
1 cal	$5,65 \cdot 10^{-14}$	$2,81 \cdot 10^{10}$	$4,1 \cdot 10^7$	$2,61 \cdot 10^{13}$	4,18	$\boxed{1}$
1 kWh	$4 \cdot 10^{-3}$	$2,41 \cdot 10^{16}$	$3,60 \cdot 10^{13}$	$2,5 \cdot 10^{19}$	$3,60 \cdot 10^6$	$0,86 \cdot 10^6$

Μολύβι	Βλ.	παιγ.	ειδ.	ΜΑΣ	10ηρ.	5ηρ.
1 ΚΜΡ	4 · 10-9	5'41 · 10 ⁶	3'90 · 10 ⁶	5'52 · 10 ⁶	3'40 · 10 ⁶	0'80 · 10 ⁶
1 εση	2'92 · 10-9	5'81 · 10 ⁶	4'1 · 10 ⁶	5'01 · 10 ⁶	4'14	<input type="checkbox"/>
1 γοηρ	1'11 · 10-14	6'51 · 10 ⁶	10 ⁶	6'54 · 10 ⁶	<input type="checkbox"/>	0'270
1 ΜΣΛ	1'38 · 10-9	1'03 · 10-9	1'40 · 10-9	<input type="checkbox"/>	1'60 · 10-9	3'92 · 10-9
1 εΔΕ	1'11 · 10-9	6'31	<input type="checkbox"/>	6'31 · 10 ⁶	10 ⁶	3'23 · 10-9
1 πση	1'60 · 10-9	<input type="checkbox"/>	1'46 · 10-9	6'31	6'54 · 10-9	3'20 · 10-9
1 βλ.	<input type="checkbox"/>	6'05 · 10 ⁶	6 · 10 ⁶	2'03 · 10 ⁶	3 · 10 ⁶	5'15 · 10 ⁶

Αναλυτική κατάσταση
 ΠΡΩΤΟΚΟΛΛΟ

ΠΕΡΙΕΧΟΜΕΝΑ

ΜΗΧΑΝΙΚΗ

Ταλαντώσεις – Κυματική

- 1. Φυσικό έγκκεμές. – 2. 'Ανάλυση περιοδικής κινήσεως κατά Fourier. – 3. Προβολή ταλαντώσεως πάνω σέ σταθερό άξονα. – 4. Διαφορά φάσεως. – 5. Σύζευξη ταλαντευόμενων συστημάτων. – 6. 'Αρχή του Huygens. – 7. 'Ανάκλαση τών κυμάτων. – 8. Διάθλαση τών κυμάτων. – 9. 'Εξίσωση τής κινήσεως ενός ύλικού σημείου. – 10. Συμβολή τών κυμάτων. – 11. Περίθλαση τών κυμάτων 5

ΑΚΟΥΣΤΙΚΗ

Φαινόμενο Doppler – Μουσικές κλίμακες

- 12. Φαινόμενο Doppler. 34

ΟΠΤΙΚΗ

Πόλωση καί διπλή διάθλαση τού φωτός

- 13. Συμβολή τού φωτός. – 14. Πόλωση τού φωτός. – 15. 'Ολική πόλωση τού φωτός. Νόμος τού Brewster. – 16. 'Εξήγηση τής πολώσεως τού φωτός από ανάκλαση. – 17. 'Οπτικώς ισότροπα καί άνισότροπα ύλικά. – 18. Διπλή διάθλαση τού φωτός. – 19. Πολωτικές συσκευές. – 20. Στροφή τού επιπέδου ταλαντώσεως τού πολωμένου φωτός. – 21. Διπλή διάθλαση σέ όπτικώς ισότροπα ύλικά 40

Νόμοι τής άκτινοβολίας

- 22. 'Η έκπομη άκτινοβολιών από θερό στερεό σώμα. – 23. 'Απόλυτα μαύρο σώμα. – 24. 'Ικανότητα έκπομτής. – 25. 'Ικανότητα απορροφήσεως. – 26. Νόμος τού Kirchhoff. – 27. Νόμος Stefan - Boltzmann. – 28. Νόμος τού Wien 59

ΗΛΕΚΤΡΙΣΜΟΣ

Ἐπαγωγή

29. Δημιουργία ἐπαγωγικῆς τάσεως. – 30. Ρεύματα Foucault. –
31. Ἐνέργεια τοῦ μαγνητικοῦ πεδίου 68

Ἐναλλασσόμενο ρεύμα

32. Κύκλωμα ἐναλλασσόμενου ρεύματος. – 33. Κύκλωμα μέ καθαρή ὠμική ἀντίσταση R . – 34. Πηνίο σέ κύκλωμα ἐναλλασσόμενου ρεύματος. – 35. Πυκνωτής σέ κύκλωμα ἐναλλασσόμενου ρεύματος. – 36. Νόμος τοῦ Ohm γιά κύκλωμα ἐναλλασσόμενου ρεύματος. – 37. Συντονισμός. – 38. Μέση ἰσχύς καί συντελεστής ἰσχύος 68

Μερικά ἐνδιαφέροντα φαινόμενα

39. Φαινόμενο Peltier. – 40. Φωτοπολλαπλασιαστής. – 41. Ἡλεκτρονική Ὀπτική. – 42. Ξηροί ἀνορθωτές. – 43. Πιεζοηλεκτρισμός ... 95

Ἀγωγιμότητα τῶν ἀερίων

44. Μορφές ἀγωγιμότητας τῶν ἀερίων. – 45. Γήινο ἠλεκτρικό πεδίο 104

Ἀμείωτες ἠλεκτρικές ταλαντώσεις

46. Ἀμείωτες ἠλεκτρικές ταλαντώσεις. – 47. Παραγωγή ἠλεκτρικῶν ταλαντώσεων. – 48. Ραντάρ. – 49. Ραδιοαστρονομία 109

ΑΤΟΜΙΚΗ ΚΑΙ ΠΥΡΗΝΙΚΗ ΦΥΣΙΚΗ

ΑΤΟΜΙΚΗ ΦΥΣΙΚΗ

Τά ἠλεκτρόνια γύρω ἀπό τόν πυρήνα

50. Φάσμα ἐκπομπῆς τοῦ ἀτόμου ὕδρογόνου. – 51. Κίνηση τοῦ ἠλεκτρονίου τοῦ ἀτόμου ὕδρογόνου γύρω ἀπό τόν πυρήνα. – 52. Ἐρμη-

νεία τῆς ἐκπομπῆς τοῦ φάσματος τοῦ ὑδρογόνου. – 53. Οἱ δύο κινήσεις τοῦ ἠλεκτρονίου στό ἄτομο ὑδρογόνου. – 54. Κβαντικοί ἀριθμοί τοῦ ἠλεκτρονίου. – 55. Ἀρχή τοῦ Pauli. – 56. Λέηζερ	115
57. Φασματοσκοπία τῶν ἀκτίνων Röntgen	138

Φαινόμενο Compton – Φασματογράφος μαζῶν

58. Φαινόμενο Compton. – 59. Ὑλικά κύματα. – 60. Ὑλικά κύματα μέσα στό ἄτομο ὑδρογόνου. – 61. Ἀρχή τῆς ἀβεβαιότητας. – 62. Φασματογράφος μαζῶν	141
--	-----

ΠΥΡΗΝΙΚΗ ΦΥΣΙΚΗ

Ἀνίχνευση τῶν σωματιδίων

63. Μέθοδοι ἀνιχνεύσεως τῶν σωματιδίων. – 64. Ἀπαριθμητής Geiger - Müller. – 65. Θάλαμος Ἴονισμοῦ. – 66. Θάλαμος Wilson. – 67. Θάλαμος Glaser. – 68. Ἀπαριθμητές σπινθηρισμῶν. – 69. Πυρηνικά γαλακτώματα. – 70. Δοσιμετρία	157
---	-----

Ἐπιταχυντές

71. Ἐπιταχυντές. – 72. Μηχανή Van de Graaff. – 73. Γραμμικός ἐπιταχυντής. – 74. Κύκλωτρο	164
--	-----

Σύντηξη ἐλαφρῶν πυρήνων

75. Σύντηξη. – 76. Προέλευση τῆς ἀστρικής ἐνέργειας. – 77. Ἐφαρμογές τῆς θερμοπυρηνικῆς ἀντιδράσεως	170
---	-----

Στοιχειώδη σωματίδια

78. Στοιχειώδη σωματίδια καί ἀντισωματίδια. – 79. Μεσόνια. – 80. Ὑπερόνια. – 81. Κατάταξη τῶν σωματιδίων. – 82. Ἀντιύλη	175
Εἰκόνα ἐξώφυλλου. Πίνακες	181

ΕΚΔΟΣΗ ΚΑΤ. ΚΕ. 1982 (IV) - ΑΝΤΙΤΥΠΑ 68.990 - ΣΥΜΒΑΣΗ 3729/9-1-82

ΕΚΤΥΠΟΣΗ - ΒΙΒΛΙΟΔΕΣΙΑ: Ν. ΤΡΕΒΑΛΙΚΗ ΑΙΘΕΡΑΦΑ Ε.Π.Ε.

J. FORSLANDER & SIA O.E.

ΕΛΛΗΝΙΚΗ
ΔΗΜΟΚΡΑΤΙΑ
ΥΠΟΥΡΓΕΙΟ ΠΑΙΔΕΙΑΣ
ΚΑΙ ΘΡΗΣΚΕΥΜΑΤΩΝ

ΕΠΙΧΕΙΡΗΣΙΑΚΟ
ΠΡΟΓΡΑΜΜΑ
ΕΚΠΑΙΔΕΥΣΗ ΚΑΙ
ΔΙΑ ΒΙΟΥ ΜΑΘΗΣΗ



024000019643

ΕΚΔΟΣΗ ΚΒ', ΚΓ' 1982 (IV) - ΑΝΤΙΤΥΠΑ 60.000 - ΣΥΜΒΑΣΗ 3759/9-2-82

ΕΚΤΥΠΩΣΗ - ΒΙΒΛΙΟΔΕΣΙΑ: Ν. ΠΕΙΡΑΪΚΗ ΛΙΘΟΓΡΑΦΙΑ Ε.Π.Ε.
Ι. ΙΟΡΔΑΝΙΔΗΣ & ΣΙΑ Ο.Ε.



Ψηφιοποιήθηκε από το Ινστιτούτο Εκπαιδευτικής Πολιτικής